

**MINISTERUL EDUCAȚIEI SI ÎNVÂTAȚĂMINTULUI
INSTITUTUL POLITEHNIC "TRAIAN VULIU" TIMIȘOARA
FACULTATEA DE MECANICA**

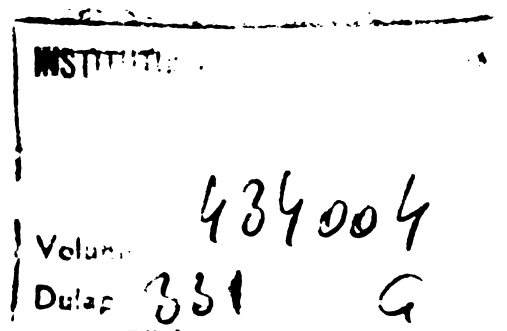
ING. MĂHEA L. LAURSAN MARINEL

**CONTRIBUTII PRIVIND INFLUENȚA PERETILOR REFRACTARI
PERMEABILI ASUPRA SCHIMBULUI DE CALDURA ÎN CUPTOARE**

M E T A L U R G I C E

- TEZA DE DOCTORAT -

BIBLIOTECA CENTRALĂ
UNIVERSITATEA "POLITEHNICA"
TIMIȘOARA



**CONDUCATOR STIINȚIFIC,
PROF. DR. ING. CORNEL UNGUREANU**

- TIMIȘOARA 1981 -

INTRODUCERE

Stiința și tehnica cunosc în prezent o evoluție fără precedent, determinată atât de necesitățile implicate de dezvoltarea mijloacelor de producție cât și de acumularea unor descoperiri și rezultate remarcabile, care măresc considerabil posibilitățile de investigație în absolut toate domeniile.

Introducerea tehnicii noi în toate ramurile industriale este astăzi caracterizată de tendința principală a utilizării cât mai rationale și la întreaga capacitate a tuturor utilajelor, astfel încât să se asigure o productivitate maximă a acestora și un consum minim de energie și combustibili.

Industria siderurgică, căreia i se prevede o dezvoltare puternică în următorii ani (pînă în 1990, producția de oțel a României va ajunge la cel puțin loco Kg/locuitor), este un mare consumator de combustibili. Totodată, sectoarele de prelucrări la cald din industria constructoare de mașini bazate în cea mai mare parte pe funcționarea cu gaz natural sau păcură, au ponderea cea mai însemnată din consumul total de hidrocarburi.

Avinde în vedere avantajele cuptoarelor cu flacără în precesele de încălzire și tratament termic, comparativ cu cuptoarele electrice de același gen (instalații mai simple, capacitați mai mari, existența unei atmosfere controlate asigurată prin însăși procesul de ardere, randamentele globale mai bune, etc.), măsurile de reducere a consumului de combustibili trebuie luate în primul rînd prin perfectionarea procesului de schimb de căldură din spațiul de lucru al cuptoarelor.

Toate aceste tipuri de cuptoare utilizează drept combustibil hidrocarburi, doar în industria siderurgică, gazul natural este înlocuit doar în parte cu gaz de furnal sau gaz de cocs, limitarea fiind cauzată de necesitatea realizării temperaturilor impuse de tehnologia de încălzire.

Avinde în vedere actuala penuria a resurselor energetice pe plan mondial, care nu va fi soluționată în viitorul apropiat, o atenție deosebită se acordă reducerii consumului de combustibil în special de hidrocarburi, problemă care la noi reprezintă o sarcină permanentă pentru cercetători, rezultată din documentele

Congresului al XII-lea al Partidului Comunist Român.

Prezenta teză de doctorat se înscrie pe linia acestei preocupații, scopul principal al cercetărilor teoretice și experimentale efectuate de autor fiind reducerea consumului de hidrocarburi la cupoarele de încălzire și tratament termic industriale prin recuperarea căldurii gazelor de ardere în spațiul de lucru, cu ajutorul peretilor refractari permeabili ce ecranează zidăria clasică a cuporului.

Utilizarea peretilor refractari permeabili în scopul amplificării radiativi termice a zidăriei și, deci, a reducerii consumului de combustibil, nu s-a aplicat pînă în prezent în R. S. România dar se aplică în R. F. G. cu rezultate excepționale, cercetările nefiind publicate în detaliu.

În urma rezultatelor cercetărilor de laborator efectuate în Laboratorul de Cupoare metalurgice din Institutul de Subingineri Hunedoara, s-au efectuat experimentări industriale pe un cupor de tratament termic pentru cilindrii de laminor de la Turnătoria de cilindri a Intreprinderii "Victoria" Călan. Rezultatele obținute cu această ocazie (reduceri ale consumului de gaz natural între 10 - 23 %), duc la concluzia necesității dezvoltării unor studii sistematice pentru întreaga gamă de cupoare de încălzire și tratament termic, atât din industria siderurgică cît și mai ales din industria constructoare de mașini.

Lucrarea de față, prin chestiunile teoretice și experimentale cu caracter original pe care le conține, se consideră a fi utilă tuturor celor care se ocupă cu problematica reducerii consumului de combustibil la cupoarele industriale din întreaga industrie.

Autorul își exprimă întreaga sa recunoștință conducătorului științific, Prof. Dr. Ing. CORNEL UNGUREANU, adresîndu-i vîi multumiri, atât pentru îndrumările atente primite pe tot parcursul pregătirii și elaborării lucrării, cît și pentru înaltul nivel științific pe care a reușit să-l insuflle.

Autorul își îndeplinește, de asemenea, o plăcută datorie, mulțumind pe această cale, în modul cel mai sincer, colegilor din Catedra de Metalurgie a Institutului de Subingineri Hunedoara și Colectivului Turnătoriei II - Cilindri a Intreprinderii "Victoria" Călan, care l-au sprijinit la realizarea și experimentarea tezei de doctorat.

CAPITOLUL 1

METODE DE CERCETARE A SCHIMBULUI DE CALDURA PRIN RADIA-TIE IN SPATIUL DE LUCRU AL CUPTOARELOR INDUSTRIALE CU FLACARA

După cum s-a arătat în Introducerea prezentei lucrări, problema reducerii consumului de combustibil și în special a consumului de hidrocarburi își găsește rezolvarea în cunoașterea cît mai amănunțită dar și exactă a fenomenelor de transfer a căldurii care au loc în spațiul de lucru al cuptoarelor de încălzire și tratament termic utilizate atât în industria siderurgică cît și în industria constructoare de mașini.

Transferul de căldură de la gazele de ardere și zidăria cuporului, la semifabricatele supuse încălzirii sau tratamentului termic este un proces foarte complex depinzînd de numeroși factori specifici fiecărei instalații în parte.

Privit în ansamblu, transferul căldurii la semifabricatele ce formează încărcătura cuptorului, este constituit din transferul de căldură de la gazele de ardere și de la zidăria cuptorului. Majoritatea cuptoarelor de încălzire și tratament termic lucrează în domeniul temperaturilor finale ($800 - 1100^{\circ}\text{C}$) cînd rolul preponderent al transferului termic îl detine radiatia calorică.

Măsurile luate pînă în prezent pentru amplificarea radiatiei gazelor de ardere au dat rezultate mulțumitoare (carburarea flăcării, injectarea de abur supraîncălzit, etc.) dar sub aspectul economiei de combustibil, ele devin adevărate consumatoare suplimentare, care duc la creșteri însemnate ale consumului specific de combustibil și, în final, la ridicarea prețului de cost al semifabricatelor.

Orientările cercetărilor actuale trebuie să îndrepte spre studiul comportării zidăriei cuptorului în procesul schimbului de căldură prin radiatie termică asociat cu efectul radiant al gazelor de ardere, în condițiile conducerii unei arderi economice a combustibilului.

Prezentul capitol tratează cele mai moderne metode de cercetare a schimbului de căldură în spațiul cuptorului care sunt uti-

lizate apoi ca baze teoretice și experimentale în cercetările de laborator și în aplicarea acestora la scară industrială.

Toate aceste metode conduc la concluzia că îmbunătățirea substanțială a randamentului termic, deci reducerea consumului de combustibil, se poate realiza nu prin amplificarea radiatiei gazelor de ardere ci prin creșterea aportului zidăriei în procesul de transmitere a căldurii.

Bazată pe legea radiatiei termice a lui Stefan - Boltzmann, radiatia emisă de zidărie depinde, așa cum va reieși din cele ce urmează, de puterea a patra a temperaturii absolute a pereților, astfel că pentru o creștere relativ mică a temperaturii, radiatia crește în mod substanțial.

1.1. Schema ideală a schimbului de căldură prin radiatii în cazul mediului mobil

Se consideră un spațiu delimitat de suprafete absolut negre, în care mediul gazos se deplasează avînd temperatura σ .

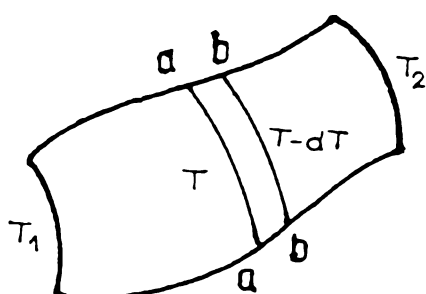


Fig. 1.1.1.

de volumul elementar este :

$$dQ = 4 \alpha \cdot \sigma_0 \cdot T^4 \cdot dV , \quad (1.1.1)$$

egală cu micșorarea conținutului de căldură aparținind mediului mobil

$$dQ = - G \cdot c \cdot dT . \quad (1.1.2)$$

Integrînd expresiile (1.1.1) și (1.1.2) :

$$\frac{4 \sigma_0 \cdot V}{G \cdot c} = \int_{T_2}^{T_1} \frac{dT}{\alpha_0 \cdot T^4} \quad (1.1.3)$$

va rezulta

$$\frac{T_2}{T_1} = \sqrt[3]{\frac{1}{1 + \frac{12 \alpha \cdot \sigma_0 \cdot V \cdot T_1^3}{G \cdot c}}} . \quad (1.1.4)$$

Energia cedată va avea expresia

$$Q_r = G \cdot c (T_1 - T_2) = G \cdot c \cdot T_1 \left(1 - \sqrt[3]{\frac{1}{1 + \frac{12 \alpha \cdot \sigma_0 \cdot V \cdot T_1^3}{G \cdot c}}} \right) \quad (1.1.5)$$

Relația (1.1.5) dă valoarea maximă a energiei cedate teoretic de volumul de gaze mobil, cunoscând temperatura inițială T_1 , debitul G și proprietățile fizice ale mediului.

Temperatura T_2 din relația (1.1.4) reprezintă limită inferioară imaginabilă teoretic, de răcire a mediului mobil. Concluziile de față sunt complete și întărite de considerațiile privitoare la radiația mediului fix /1, 3/ .

Adoptînd noțiunea de temperatură efectivă de radiație $T_{ef.}$, energia emisă este exprimată cu ajutorul relației

$$Q_r = 12 \cdot \alpha \cdot \sigma_0 \cdot V \cdot \frac{T_1^3 \cdot T_2^3}{T_1^2 + T_1 T_2 + T_2^2} \quad [J] \quad (1.1.6)$$

sau

$$Q_r = 4 \cdot \alpha \cdot \sigma_0 \cdot V \cdot T_{ef.}^4 \quad (1.1.7)$$

unde

$$T_{ef.}^4 = 3 \cdot \frac{T_1^2 \cdot T_2^2}{\frac{T_1^2}{T_2} + 1 + \frac{T_2^2}{T_1}} \quad (1.1.8)$$

1.2. Calculul transferului termic radiant după schema monodimensională

Acest calcul reprezintă o metodă ce continuă ideea metodei precedente, avînd o largă răspîndire datorită expeditivității și gradului de exactitate destul de ridicat.

Camera de lucru a cuptorului se asimilează cu un canal de secțiune constantă prin care se deplasează gazele arse (mediul mobil). Schema de calcul a fost analizată de M. T. Smirnov (V.T.I. nr. 3 - 1929) și se bazează pe ecuația diferențială a bilanțului

energetic :

$$B \cdot V_g \cdot c_g \cdot dT + q_x \cdot f \cdot dx = \varepsilon_g \cdot \sigma_0 \cdot p \cdot \Psi_1 (T^4 - T_1^4) dx + \\ + p (1 - \Psi_1) E_{p,z} \cdot dx \quad (1.2.1)$$

unde :

f - secțiunea camerei [m²] ;

p - perimetrul secțiunii camerei [m] ;

ε_g - coeficient de negreală a mediului gazos ;

Ψ_1 - gradul de negreală a suprafeței laterale a camerei .

Generalizând, mărimele f , p și Ψ_1 s-ar putea analiza ca fiind variabile pe lungimea camerei, dar pentru simplificare se vor considera constante. Din aceleasi motive, se va considera și căldura specifică a gazelor, c_g , constantă.

Pentru determinarea coeficientului de negreală ε_g , a mediului gazos, se va considera că suprafețele radiante sunt distribuite pe suprafața laterală a camerei iar căldura pierdută prin peretei coincide cu căldura transmisă către aceștia prin convecție :

$$q_{ef} = q_i (1 - \Psi_1) + q_i \cdot \Psi_1 \cdot r_1 + a_1 \cdot \Psi_1 \cdot \sigma_0 \cdot T_1^4 \quad (1.2.2)$$

Densitatea fluxului termic rezultant este :

$$q_{rez} = q_i - q_{ef} \quad (1.2.3)$$

unde : q_{ef} - reprezintă densitatea fluxului termic efectiv de radiație [W/m²] ;

q_i - este densitatea fluxului termic de radiație incident [W/m²]

și se obține din rezolvarea ecuațiilor (1.2.2) și (1.2.3) :

$$q_{rez} = \frac{\Psi_1 \cdot \sigma_0 (T^4 - T_1^4)}{\frac{1}{\varepsilon_1} + \frac{1}{\varepsilon_g} - \Psi_1} = \Psi_1 \cdot \varepsilon_g \cdot \sigma_0 (T^4 - T_1^4) \quad (1.2.4)$$

Temperatura teoretică de ardere se obține transformînd ecuația (1.2.1) în ecuație adimensională :

$$T_a = T_1 + \frac{f \cdot \int_0^1 q_0 \cdot dx}{B \cdot V_g \cdot c_g} \quad (1.2.5)$$

înlocuind temperatura și coordonatele prin mărimi adimensionale conform cu

$$z = \frac{x}{l}; \quad \theta = \frac{T}{T_a}; \quad \theta_1 = \frac{T_1}{T_a}; \quad \theta_4 = \frac{T_4}{T_a} \quad (1.2.6)$$

rezultă

$$\frac{d\theta}{dz} - (1 - \tilde{\pi}_2)(q_1 - \tilde{\pi}_5) + \varepsilon_g \cdot \tilde{\pi}_1 \cdot (\theta^4 - \theta_1^4) = 0 \quad (1.2.7)$$

unde

$$\tilde{\pi}_1 = \frac{\Psi_1 \cdot p \cdot l \cdot \Gamma_0 \cdot T_a^3}{B \cdot V_g \cdot c_g} \quad (1.2.8)$$

$$\tilde{\pi}_2 = \theta_1 = \frac{T_1}{T_a} \quad (1.2.9)$$

$$\tilde{\pi}_5 = \frac{(1 - \Psi_1) \cdot p \cdot l \cdot E_{p,z}}{f \cdot \int_0^l q_x dx}, \quad (1.2.10)$$

reprezintă pierderile de căldură prin răcire.

$$q_0 = \frac{q_x \cdot l}{\int_0^l q_x \cdot dx}, \quad (1.2.11)$$

mărime adimensională a degajării de căldură, și

$$\Psi_1 \cdot p \cdot l = H_1, \quad (1.2.12)$$

mărimea suprafeței radiante [m^2].

Ecuatia de bilanț devine :

$$\frac{d\theta}{dz} = \varepsilon_g \cdot \tilde{\pi}_1 \cdot u^4 - \varepsilon_g \cdot \tilde{\pi}_1 \cdot \theta^4 \quad (1.2.13)$$

unde

$$u^4 = \theta_1^4 + \frac{(1 - \tilde{\pi}_2)(q_0 - \tilde{\pi}_5)}{\varepsilon_g \cdot \tilde{\pi}_1} \quad (1.2.14)$$

Dacă degajarea de căldură are loc pe lungimea camerei, relațiile (1.2.1), (1.2.7) sau (1.2.13), permit determinarea temperaturii pe lungimea camerei.

Pentru o zonă oarecare a camerei delimitată de coordonatele z_1 și z_2 , relația (1.2.14) devine

$$\int_{\theta_1}^{\theta_2} \frac{d\theta}{u^4 - \theta^4} = \varepsilon_g \cdot \pi_1 (z_2 - z_1) \quad (1.2.15)$$

Dacă pentru portiunile separate mărimile "u" nu se modifică, atunci expresia (1.2.15) se poate integra :

$$u^3 \cdot \varepsilon_g \cdot \pi_1 \cdot (z_2 - z_1) = \Psi^t \left(\frac{\theta_2}{u} \right) - \Psi^t \left(\frac{\theta_1}{u} \right) \quad (1.2.16)$$

unde funcția Ψ^t pentru cazul cînd $\theta < u$:

$$\Psi^t \left(\frac{\theta}{u} \right) = \frac{1}{4} \ln \frac{\frac{\theta}{u} + 1}{1 - \frac{\theta}{u}} + \frac{1}{2} \arctg \frac{\theta}{u} \quad (1.2.17)$$

iar cînd $\theta > u$

$$\Psi^t \left(\frac{\theta}{u} \right) = \frac{1}{4} \ln \frac{\frac{\theta}{u} + 1}{\frac{\theta}{u} - 1} + \frac{1}{2} \arctg \frac{\theta}{u} \quad (1.2.18)$$

Aceste funcții se pot prezenta sub forma unor serii rapid convergente, astfel pentru $\theta < u$

$$\Psi^t(y) = y + \frac{1}{5} y^5 + \frac{1}{9} y^9 + \frac{1}{13} y^{13} + \dots \quad (1.2.19)$$

și pentru $\theta > u$:

$$\Psi^t(y) = \frac{1}{4} + \frac{1}{3y^3} + \frac{1}{7y^7} + \frac{1}{11y^{11}} + \dots \quad (1.2.20)$$

funcții ce au fost tabelate de G. P. Ivanțov [46].

Împărțind lungimea camerei în zone separate și considerînd că în fiecare zonă degajarea de căldură este constantă, se poate, cu metoda de mai sus, determina variația temperaturii pe lungimea camerei, prin rezolvarea ecuației (1.2.15) pentru fiecare zonă.

Ecuția se poate rezolva și prin integrare numerică, astfel, dacă temperatura de la capătul camerei este constantă, căldura cedată suprafeței de încălzire se determină conform ecuației bilanțului termic al camerei :

$$B \cdot V_g \cdot c_g \cdot (T_a - T_y) = Q_{r,l} + Q_5 \quad (1.2.21)$$

sau folosind expresiile criteriale

$$\theta_y + (1 - \pi_2) (\pi_5 + \pi_{l_0}) = 1 \quad (1.2.22)$$

unde

$$\tilde{\pi}_{1,0} = \frac{q_{r,1}}{q_x} \quad (1.2.23)$$

care reprezintă criteriul cedării de căldură în camera cuptorului.

De remarcat că pentru valori mici ale lui "u" și valori mari ale raportului $\frac{\theta}{u}$, calculul se complică deoarece funcția (1.2.17) se modifică puțin cu variația lui $\frac{\theta}{u}$.

În aceste condiții, se adoptă un procedeu aproximativ, notând relația (1.2.15) sub forma :

$$-\int \frac{d\theta}{(1 - \frac{u^4}{\theta^4}) \theta^4} = \varepsilon_g \cdot \tilde{\pi}_1 (z_2 - z_1) \quad (1.2.24)$$

și considerînd că $1 - \frac{u^4}{\theta^4}$ este apropiat de 1 iar prin integrare soluția devine :

$$\frac{1}{(\theta'')^3} - \frac{1}{(\theta')^3} = \frac{3 \cdot \varepsilon_g \cdot \tilde{\pi}_1 (z_2 - z_1)}{1 - \frac{u^4}{\theta^4}} \quad (1.2.25)$$

unde $\frac{u}{\theta}$ se ia ca valoare medie în intervalul analizat.

Cazul cel mai simplu este schimbul de căldură prin radiație cînd combustibilul arde instantaneu la intrarea în cameră fără pierderi de căldură în zidărie și la temperaturi T_1 joase.

În acest caz, $q_0 = 0$; $\tilde{\pi}_5 = 0$; $T_1 = T_a$

deci : $u \approx 0$ și $\theta' \approx 1$.

Relația (1.2.25) devine :

$$\frac{t_y}{\theta''} = \frac{1}{\sqrt[3]{1 + 3 \varepsilon_g \cdot \tilde{\pi}_1}} \quad (1.2.25)$$

Utilizînd această metodă se poate stabili influența consumului de combustibil și aer, a preîncălzirii aerului, a vitezei de ardere și a pierderilor prin zidărie asupra schimbului de căldură prin radiație.

Metoda a fost utilizată la studiul funcționării cuptoarelor [24], [11], [42], dar luînd în considerare că la baza ei se află o serie de ipoteze care demonstrează legitatea de bază a schim-

bului de căldură prin radiații.

Ipoteza că mărimele locale ale cedării de căldură se determină tot prin mărimi locale ale temperaturii nu corespunde realității, deoarece ele se definesc prin întregul cîmp de temperaturi în cameră, depinzînd de fluxul efectiv de radiație ale tuturor suprafețelor. Nu se ia în considerare schimbul reciproc de căldură prin radiații între volumele și suprafețele care se află la diferite distanțe de la capetele camerei.

Pentru înlăturarea acestor neajunsuri, problema s-ar putea rezolva cu ajutorul principiului zonal, formînd ecuația de bilanț pentru fiecare zonă "i" :

$$B \cdot V_g \cdot c_g (T_i - T_{i+1}) + q_x \cdot f \cdot \Delta x_i = \epsilon_{gi} \cdot G_o \cdot p \cdot \Psi_1 (T_i^4 - T_1^4) \cdot \Delta x_i + (1 - \Psi_1) \cdot p \cdot E_{r,z} \cdot \Delta x_i \quad (1.2.27)$$

unde T_i este temperatura medie a zonei "i".

Pe măsura creșterii numărului de zone, rezolvarea cu ajutorul ecuației (1.2.27) se apropie însă de valoarea exactă.

1.3. Metoda zonală de calcul a cedării de căldură prin radiație

termică

La baza calculului schimbului de căldură prin radiație, prin metoda zonală, stă sistemul de ecuații :

$$\begin{aligned} & - \frac{(E_{ri})}{a_i} + \sum \frac{r_k}{a_k} \cdot \Psi(i,k) (E_{rk})^I + \sum_{k=n'+1}^n \Psi(i,k) G_o (T_k^4)^{II} + \\ & + \sum_{q=1}^n \Psi_{F-v}(i,q) G_o \cdot T_q^4 = - \sum_{k=n'+1}^n \frac{r_k}{a_k} \Psi(i,k) (E_{rk})^{II} - \\ & - \sum_{k=1}^{n'} \Psi(i,k) \cdot G_o (T_k^4)^I + G_o \cdot T_i^4 \quad [W/m^2] i = 1 \dots n' \quad (1.3.1) \\ & \sum_{k=1}^{n'} \frac{r_k}{a_k} \Psi(i,k) (E_{rk})^I - G_o (T_i^4)^{II} + \sum_{k=n'+1}^n \Psi(i,k) \cdot G_o (T_k^4)^{II} + \\ & + \sum_{q=1}^n \Psi_{F-v}(i,q) \cdot G_o \cdot T_q^4 = \frac{(E_{ri})}{a_i} - \sum_{k=n'+1}^n \frac{r_k}{a_k} \Psi(i, \end{aligned}$$

$$\cdot k) (E_{r,k})^{II} - \sum_{k=1}^{n'} \Psi(i,k) \cdot \sigma_o (T_k^4)^I \quad i = (n'+1) \dots n$$

(1.3.2)

$$\sum_{k=1}^{n'} \frac{r_k}{a_k} \Psi_{F-V} (p,k) (E_{r,k})^I + \sum_{k=n'+1}^n \Psi_{V-F} (p,k) \cdot \sigma_o (T_k^4)^I -$$

$$- \varepsilon_p \cdot \sigma_o \cdot T_p^4 + \sum_{\substack{q=1 \\ q \neq p}}^m \Psi_{V-V} (p,q) \cdot \sigma_o \cdot T_q^4 =$$

$$= - \sum_{k=n'+1}^n \frac{r_k}{a_k} \cdot \Psi_{V-F} (p,q) (E_{r,k})^{II} = \sum_{k=1}^{n'} \Psi_{V-F} (p,k) \sigma_o (T_k^4)^I -$$

$$- \frac{Q_{CV}(p)}{F_p}, [W/m^2] \quad p = 1 \dots m \quad (1.3.3)$$

unde toate suprafetele care delimită volumul sunt împărțite în două categorii (suprafețe de tip I și II).

Astfel, ecuația (1.3.1) se referă la suprafața de tip I, ecuația (1.3.2) pentru suprafața de tip II (1.3.3) pentru fiecare rind "p".

Pentru suprafețele de tip I sunt date mărimile temperaturii și pentru cele de tip II, valorile schimbului termic rezultant, valorile determinabile vor fi schimbul de căldură rezultant (dintre suprafețele de tip I și II).

Temperatura suprafeței radiante se analizează ca fiind de tipul I, iar suprafața zidăriei se identifică cu suprafața de tip II (pentru calculul pierderilor prin zidărie).

Temperaturile zonelor volumetrice trebuie primite ca determinabile, termenul $\frac{Q_{CV}(p)}{F_p}$ din sistemele (1.3.1 - 1.3.3) ținând

seama atât de degajarea termică chimică cât și de toate celelalte componente ale bilanțului de energie a zonei, cu excepția componentelor de transfer a energiei de radiație.

Între ele, cel mai important este transferul convectiv de căldură. Separînd din spațiul de lucru un volum oarecare "p", volumele vecine "q" se ating cu acesta după suprafețele q' și q'' (fig. 1.3.1).

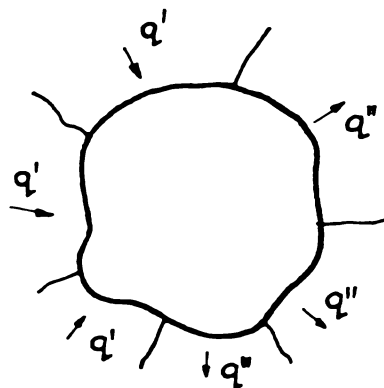


Fig. 1.3.1.

Notând cu $W_n(p, q)$ proiecțiile pe normală la suprafața ΔF a cîmpului vitezei mediului, volumele q' intră în volumul considerat iar q'' părăsesc volumul de referință.

Astfel, pe seama transferului de mediu prin pătrunderea lui q' în volumul p , acesta primește căldura

$$\sum_{q'} \rho' \cdot W_n' \cdot \Delta F(p, q') \cdot \bar{c}_q \cdot t_q' \quad (1.3.4)$$

iar prin ieșirea volumului q'' , volumul "p" va pierde căldura

$$\sum_{q''} \rho'' \cdot W_n'' \cdot \Delta F(p, q'') \cdot \bar{c}_p \cdot t_p'' = \bar{c}_p \cdot t_p' \sum_{q''} \rho'' \cdot W_n'' \cdot \Delta F(p, q'') \quad (1.3.5)$$

unde : t_p' , t_q' sunt temperaturile la ieșirea mediului din volumul p și q [$^{\circ}\text{C}$] ;

\bar{c}_p , \bar{c}_q sunt capacitatele calorice specifice medii ale mediului între valorile de temperatură de 0°C și t_p' respectiv t_q' [$\text{KJ/Kg} \cdot \text{K}$] .

Cresterea de entalpie a volumului se constituie din diferența expresiilor (1.3.4) și (1.3.5)

$$H_{tr} = \sum_{q'} \rho' \cdot W_n' \cdot \Delta F(p, q') \cdot \bar{c}_q \cdot t_q' - \bar{c}_p \cdot t_p' \sum_{q''} \rho'' \cdot W_n'' \cdot \Delta F(p, q'') \quad (1.3.6)$$

iar în baza legii conservării masei

$$\sum_{q'} \rho' \cdot W_n' \cdot \Delta F(p, q') = \sum_{q''} \rho'' \cdot W_n'' \cdot \Delta F(p, q'') \quad (1.3.7)$$

rezultînd astfel din relațiile (1.3.6) și (1.3.7)

$$\begin{aligned} H_{tr} &= \sum_{q'} \rho' \cdot W_n' \cdot \Delta F(p, q') (\bar{c}_q \cdot t_q' - \bar{c}_p \cdot t_p') = \\ &= \sum_{q'} \rho' \cdot W_n' \cdot \Delta F(p, q') \bar{c}_{pq} (T_q' - T_p') \quad [\text{J/s}] \end{aligned} \quad (1.3.8)$$

Transferul de căldură prin conductibilitate între două zone se poate considera proporțional cu diferența de temperaturi ale

acestor zone, astfel că mărimea schimbului de căldură este dată de relația :

$$K_{tr} \cdot \Delta F(p, q) (T_q^* - T_p^*) [W] \quad (1.3.9)$$

Căldura degajată este

$$Q_{deg.,p} = Q_{xr} + \sum_q N(p, q) (T_q^* - T_p^*) , [W] \quad (1.3.10)$$

unde

$$N(p, q) = \rho' \cdot W_n^* \cdot \Delta F(p, q') \cdot \bar{c}_{pq} + K_{tr} \cdot \Delta F(p, q) \quad (1.3.11)$$

și \bar{c}_{pq} – capacitatea calorică specifică medie a mediului în intervalul de temperaturi t_p^* și t_q^* [KJ/Kg K] ;

K_{tr} – coeficient de schimb termic datorat turbulentei [$W/m^2 K$].

Considerarea valorii lui K_{tr} este îngreunată de ireexistența unor date concrete, clarificarea valorilor acestei mărimi necesitând efectuarea unor experimentări, drept pentru care calculele de față nu țin seama de schimbul de căldură datorat turbulentei. Capacitățile calorice specifice medii $\bar{c}_{p,q}$ depind de valorile temperaturilor T_p^* și T_q^* , care pentru simplificarea problemei se consideră constante și cimpul vectorial al vitezei, drept cunoscut.

În aceste condiții, termenii $N(p, q)$ se determină conform condițiilor date, nedepinzînd de mărimile constante. Astfel ecuația (1.3.3) devine :

$$\begin{aligned} & \sum_{k=1}^{n'} \frac{r_k}{a_k} H_{F-V}(k, p) \cdot E_{rk}^{s.rad} + \sum_{k=n'+1}^n H_{F-V}(k, p) \cdot \bar{C}_o(T_k^4)^{zid.} - \\ & - F_p \cdot \varepsilon_p \cdot \bar{C}_o \cdot T_p^4 + \sum_{\substack{q=1 \\ q \neq p}}^m H_{V-V}(p, q) \bar{C}_o \cdot T_q^4 = \\ & = - \sum_{k=n'+1}^n \frac{r_k}{a_k} H_{F-V}(k, p) \cdot E_{r,k}^{zid.} - \sum_{k=1}^{n'} H_{F-V}(k, p) \bar{C}_o \cdot \\ & \cdot (T_k^4)^{s.rad} - Q_{xr} - \sum_{q'} N(p, q) (T_q^* - T_p^*) [W] \quad p = 1 \dots m \end{aligned} \quad (1.3.12)$$

Sistemul de ecuații zonale (1.3.1), (1.3.2) și (1.3.12) dă soluția cerută a problemei schimbului de căldură prin radiație cu considerarea deplasării mediului gazos.

Se deosebește de sistemul (1.3.1 - 1.3.3) prin faptul că în ultimele m ecuații valorile mărimii degajării termice cunoscute sunt înlocuite cu degajările termice chimice, fiind inclusi factorii ce determină degajarea sau consumul de căldură pe seama deplasării mediului. Acești factori depind de valorile temperaturii mediului la intrarea și ieșirea din fiecare zonă.

De menționat că temperaturile T_q^* și T_p^* din membrii convecțiivi nu sunt egale cu T_q și T_p , prezентate în stînga ecuațiilor și pentru determinarea sistemului de ecuații este necesară o corelare matematică a acestor temperaturi.

Cel mai simplu ar fi să se considere că temperaturile efective T_q și T_p pentru fiecare zonă volumetrică sunt egale cu temperaturile T_q^* și T_p^* , la ieșirea din zone deși, în principiu, procedeul nu este cel mai bun.

Determinarea precisă a temperaturilor efective T_p și T_q este imposibilă, putind fi evaluate însă aproximativ pornind de la ideea că trebuie să fie egale cu valorile medii ale temperaturilor de la intrarea și ieșirea din zona volumetrică.

Se poate considera că :

$$T_p = \sqrt{T_p^* \left(\prod_{i=1}^r T_q^* \right)^{\frac{1}{r}}} \quad (1.3.13)$$

unde : r este numărul zonelor q prin limitele cărora mediul intră în zona p .

și dacă o astfel de limită pentru fiecare zonă este doar una, atunci

$$T_p = \sqrt{T_p^* \cdot T_q^*} \quad (1.3.14)$$

Problema medierii temperaturilor este importantă la un număr mic de zone volumetrice dar își pierde din importanță la un număr mai mare.

Coeficienții necunoscute din ecuațiile (1.3.1 - 1.3.3 și 1.3.12) se obțin prin calcule complexe legate de determinarea coeficienților unghiulari generalizați și stăcurearea unor greșeli este foarte facilă, astfel că după alcătuirea ecuațiilor se va verifica corectitudinea determinării coeficienți-

lor necunoscuteelor.

Verificarea se realizează pe baza proprietății de închidere a coeficienților, notând prin c_{ik} coeficienții necunoscuteelor din sistemul (1.3.1 - 1.3.3) unde "i" este numărul de ordine al ecuației iar "k" numărul membrului din fiecare ecuație. Pentru coeficienții mărimilor necunoscute $E_{r,i}$ se va respecta egalitatea :

$$\sum_i c_{i,k} F_i = F_k \quad (1.3.15)$$

iar pentru necunoscutele la mărimile T_0 , T^4 relative la zidărie și volume, se va obține :

$$\sum_i c_{i,k} \cdot F_i = 0 \quad (1.3.16)$$

Astfel, coeficienții ultimelor ecuații "m" nu trebuie să multiplișă cu valorile suprafetelor volumelor.

1.4. Metode de rezolvare a ecuațiilor zonale

Sistemul de ecuații (1.3.1 - 1.3.3) este liniar în raport cu necunoscutele $E_{r,k}$, T_k^4 , T_r^4 și se rezolvă cu ajutorul matricei inverse a sistemului .

Înlocuirea ultimei ecuații din (1.3.3) cu (1.3.12) modifică sistemul în tipul neliniar, chiar și aplicând cea mai simplă legătură T_p și T_q cu T_q^4 și T_p^4 necunoscutele din ultimele "m" ecuații vor conține necunoscutele T_p^4 de gradul unu și $1/4$.

Prima metodă de rezolvare se aplică pentru cazul cînd membrii $\mathbf{B}(p,q)$ sunt mici, sistemul rezolvîndu-se iterativ. Valorile Q_{xr} se consideră nule sau se determină arbitrar în baza distribuției temperaturii în cameră, temperatura zonelor volumetrice determinîndu-se după formula :

$$x_i = \sum c_{i,k} b_k \quad (1.4.1)$$

unde x_i sunt necunoscutele, b_k termenii liberi și $c_{i,k}$ elementele matricei inverse. Conform valorilor obținute ale temperaturilor se află membrii Q_{xr} și termenii din dreapta ecuației (1.3.12). După formula de mai sus se calculează din nou temperaturile zonelor volumetrice, se determină valorile membrilor Q_{xr} și membrii din dreapta ecuației (1.3.12) etc., pînă cînd valorile necunoscute

telor în rezolvările succesive nu se repetă.

O astfel de metodă nu este universală, deoarece în cazul mărimilor N (p, q) nu se obține o serie convergentă de rezolvări succesive.

A doua metodă de rezolvare se bazează pe considerarea mărimilor degajărilor de căldură drept cunoscute, necunoscutele determinându-se cu relația (1.4.1).

Conform degajărilor de căldură date și a valorilor obținute a temperaturilor zonelor volumetrice după relația (1.3.10) se poate afla degajarea termică chimică în zonele volumetrice. Metoda fiind și simplă, permite obținerea soluției exacte a problemei și se utilizează cu succes cînd în problema calculelor intră comparația soluțiilor obținute prin metoda zonală cu soluțiile obținute prin alte metode.

A treia metodă, care este universală, se utilizează pornind de la relația (1.4.1), astfel că pentru fiecare zonă volumetrică

$$\sigma_0 \cdot T_p^4 = \sum c_{i,k} (b_k^0 + Q_{Xk}) \quad (1.4.2)$$

unde : b_k^0 reprezintă termenii membrului drept al ecuației fără termenul convectiv [W/m^2], obținîndu-se "m" egalități. Termenii convectivi conțin temperatura zonelor volumetrice de gradul unu, ecuația (1.4.2) devenind sub forma generală :

$$\sigma_0 \cdot T_I^4 = k_1 + a_{1,1} T_I + a_{1,2} T_{II} + \dots$$

$$\begin{aligned} \sigma_0 \cdot T_{II}^4 &= k_2 + a_{2,1} T_I + a_{2,2} T_{II} + \dots \\ &\vdots \end{aligned} \quad (1.4.3)$$

$$\sigma_0 \cdot T_m^4 = k_m + a_{m,1} T_I + a_{m,2} T_{II} + \dots$$

Sistemul astfel obținut are "m" ecuații cu necunoscutele de gradul unu și patru, numărul ecuațiilor reducîndu-se față de sistemul inițial (1.3.1 - 1.3.3), pînă la "m", adică pînă la numărul zonelor volumetrice (sistem rezolvat de D. Gleset).

Sistemul (1.4.3) se poate transforma în :

$$k_1 + (a_{1,1} - \bar{v}_0 \cdot T_I^3) T_I + a_{1,2} T_{II} + a_{1,3} T_{III} + \dots = 0$$

$$k_2 + a_{2,1} T_I + (a_{2,2} - \bar{v}_0 \cdot T_{II}^3) T_{II} + a_{2,3} T_{III} + \dots = 0 \quad (1.4.4)$$

$$k_i + a_{i,1} T_I + \dots + (a_{i,i} - \bar{v}_0 \cdot T_i^3) T_i + \dots = 0$$

Sistemul obținut se rezolvă destul de ușor cu ajutorul calculatorului electronic, fiind însă necesare valorile relative ale necunoscutelor T_i și coeficienții necunoscutelor în membrii diagonali. Se obține un sistem liniar din care rezultă valori aproximative ale temperaturilor zonelor volumetrice, cu ajutorul cărora se află iterativ membrii diagonali și sistemul se rezolvă succesiv pînă la obținerea valorilor exacte.

Este de preferat ca sistemul de ecuații să fie dat sub formă adimensională.

Analizînd ceva mai în detaliu metodele teoretice de calcul a temperaturii și fluxului termic în spațiul de lucru al cupotorului rezultă următoarele :

Conform cu metoda simplificată, temperatura T_i este egală cu temperatura gazelor la ieșirea din zonă, întocmai după procesul la metoda zonală. Coeficientul de negreală s-a determinat după relația :

$$\epsilon_g = \frac{1}{\frac{1}{\epsilon_1} + \frac{\Psi_1}{\epsilon_g} - \frac{\Psi_1}{\epsilon_1}} \quad (1.4.5)$$

unde $\Psi_1 = 1$ este gradul de negreală a volumului camerei corespunzînd unui volum infinit lung, de secțiune pătrată.

Potrivit datelor obținute experimental [48] s-a obținut pentru $\epsilon_g = 0,4$ valoarea $\epsilon_g = 0,31$ și pentru $\epsilon_g = 0,2$, $\epsilon_g = 0,1746$.

În cazul calculului după metoda experimentală a lui Timofeev și Gurvici [16], [42], radiația specifică și coeficientul de negreală al mediului gazos rezultă din

$$\epsilon_g = \epsilon_1 \frac{1 - \epsilon_1 \cdot \Psi_1}{\epsilon_1 + (1 - 2\epsilon_1) \Psi_1} \quad (1.4.6)$$

iar temperatura de ardere

$$T_a = 300 + \frac{Q_x}{V_g \cdot c_g} \quad [K] \quad (1.4.7)$$

În diagrama din figura 1.4.1., curba 5 s-a obținut conform rezultatelor calculului efectuat cu relația (1.2.27) temperatura

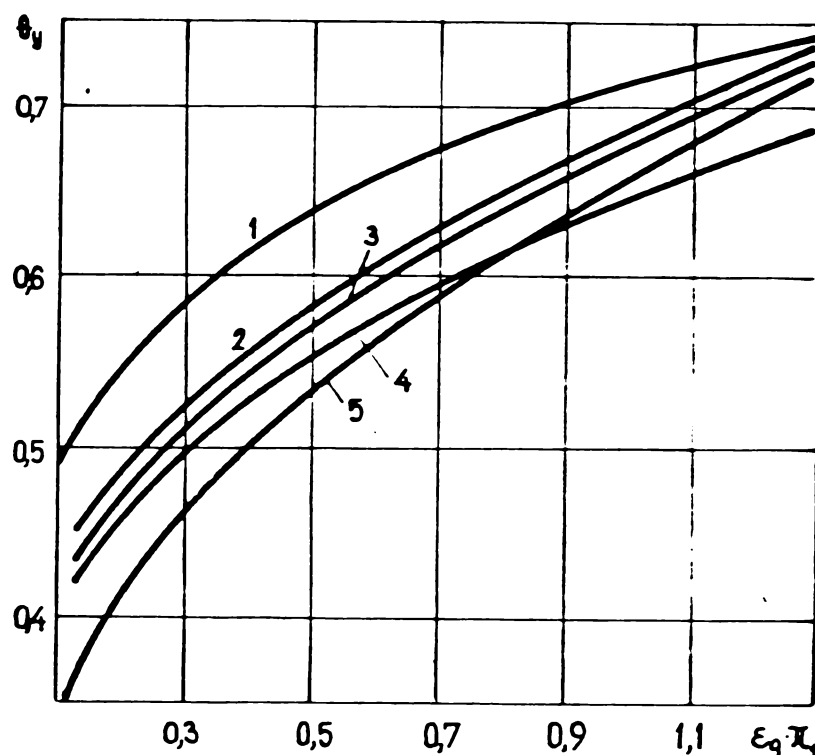


Fig. 1.4.1.

T_i în cazul dat, coincide cu temperatura gazelor arse. Alura curbelor temperaturilor adimensionale a gazelor, este identică pentru toate metodele.

Temperatura și cedarea de căldură s-au obținut valeric într-un mod analog.

Metoda zonală dă o distribuție mai neuniformă a cedării de căldură (curbele 1, 2, 4, 5) pe cind metoda simplificată fără împărțirea în zone (curba 3) dă valori ceva mai mici ale temperaturii adimensionale.

Pentru varianta cu o zonă (curba 1), valorile sunt mai mari decit în varianta cu zece zone (curba 5). Curbele Θ_y ce depind de variabila combinată $\varepsilon_g \cdot \pi_l$, dau o relație funcțională minoră potrivit unui interval destul de larg de valori a lui $\varepsilon_g \cdot$

Considerarea influenței caracteristicilor de radiație a flăcării și suprafeței pereților prin introducerea în criteriul Bo a gradului efectiv de negreală a camerei este deplin justificată, de asemenea calculele efectuate pentru mediul gazos fix și mobil diferă mult, neglijarea deplasării mediului fiind inadmisibilă.

Pentru cazul cuptorului cu flacără întoarsă (în experimentările de laborator s-a utilizat un cuptor cameră, cu flacără întoarsă), distribuția degajării de căldură pe lungimea camerei reiese din figura 1.4.2.

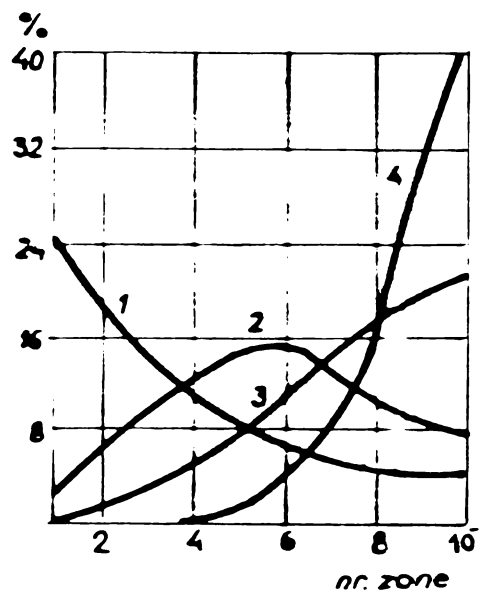


Fig. 1.4.2.

- 1 - arderea momentană la intrarea în cameră ;
- 2 - ardere normală ;
- 3 - degajare uniformă de căldură pe lungimea camerei ;
- 4 - ardere la capătul camerei .

Influența preîncălzirii aerului asupra distribuției degajării de căldură pe lungimea camerei este redată în figura 1.4.3.

Coefficientul de absorbție a mediului gazos s-a considerat constant, propagarea căldurii fiind unidimensională.

Sistemul de ecuații (1.3.1 - 1.3.3) și (1.3.12) se aplică fără modificări și la schemele de propagare bidimensională și tridimensională, pentru ϵ_g constant sau variabil, dar calculul se complică foarte mult.

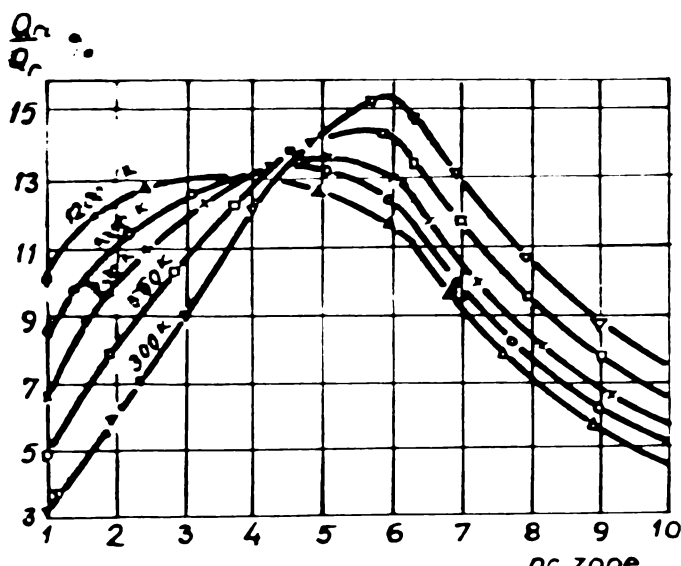


Fig. 1.4.3.

1.5. Metode zonale, bazate pe utilizarea coeficientilor de determinare a schimbului reciproc de căldură prin radiatie

Variantele unei astfel de scheme au fost propuse de Hottel și Cohen [49], la baza lor stând relațiile

$$E_{r.} = E_{abs.} - E_{pr.} \quad [W] \quad (1.5.1)$$

în care : $E_{r.}$ - energia termică rezultantă [W];
 $E_{abs.}$ - energia termică absorbită [W];
 $E_{pr.}$ - energia termică proprie [W],

sau

$$Q_{abs.} - Q_{pr.} + Q_{intr.} = 0 \quad [W] \quad (1.5.2)$$

pentru zonele de suprafață

$$Q_{intr.} = - Q_r \quad [W] \quad (1.5.3)$$

dacă nu se ia în considerare și convecția.

Pentru determinarea cantității de căldură absorbită de fiecare zonă se utilizează numărul coeficienții "total interchange aerea", astfel $Q_{abs.}$ se poate explicita

$$Q_{abs.1} = \sum_j \overline{S_i S_j} \cdot \overline{\sigma_0} \cdot T_j^4 \quad [W] \quad (1.5.4)$$

pentru schimbul termic între suprafețele "j" și "i". și

$$Q_{abs.p} = \sum_p \overline{G_p \cdot G_q} \cdot \overline{\sigma_0} \cdot T_q^4 \quad [W] \quad (1.5.5)$$

pentru schimbul termic între volumele p și q.

Pentru schimbul de căldură între suprafețele și zonele volumetrice :

$$Q_{abs.i} = \sum_q \overline{G_q \cdot S_i} \cdot \overline{\sigma_0} \cdot T_q^4 \quad [W] \quad (1.5.6)$$

$$Q_{abs.q} = \sum_i \overline{S_i \cdot G_q} \cdot \overline{\sigma_0} \cdot T_i^4 \quad [W] \quad (1.5.7)$$

Reflectarea multiplă de la suprafetele limită se ia în considerare prin coeficienții $\sigma_0 T^4$, legați de coeficienții de determinare a schimbului reciproc de căldură prin radiație prin

$$\overline{S_i} \overline{S_j} = \epsilon_i \cdot \epsilon_j H_{ij}^d \quad (1.5.8)$$

$$\overline{S_i} \overline{G_q} = \overline{G_q} \cdot \overline{S_i} = \epsilon_i H_{F-V}^d (i, q) \quad (1.5.9)$$

$$\overline{G_p} \cdot \overline{G_q} = H_{V-V}^d (p, q) \quad (1.5.10)$$

Coeficienții de determinare H_{ij}^d , H_{F-V}^d și H_{V-V}^d vor rezulta din rezolvarea sistemului de ecuații liniare (1.5.8 - 1.5.10). E. A. Klekl [22] a reluat relația (1.5.2) generalizând-o pentru zonele volumetrice și de suprafață. Căldura absorbită apare sub forma

$$Q_{abs.} = \sum_j f_{i,j} Q_{pr.,i} \quad (1.5.11)$$

unde $f_{i,j}$ este coeficientul ce determină partea din energia iradiată de zona j și absorbită de zona i , ținând seama de reflexia multiplă. Coeficienții $f_{i,j}$ se pot exprima cu ajutorul coeficienților de determinare a schimbului reciproc de căldură prin radiații, prin metoda statistică Monte - Carlo.

Radiația proprie a zonelor volumetrice va fi :

$$Q = 4 \alpha_0 \cdot E_0 \cdot V \quad [J] \quad (1.5.12)$$

Dacă condițiile problemei sunt date ca mai sus (prin substituirea lui $Q_{abs.}$, $Q_{pr.}$ și $Q_{intr.}$) din relația (1.5.2) se obține sistemul neliniar de ecuații având ca necunoscute temperaturile zonelor volumetrice și de suprafață.

Metoda dă rezultate foarte bune [18], [50], [51], pentru studiul schimbului de căldură prin radiații în aggregatele industriale, iar E. A. Klekl a utilizat-o în scopul calculului schimbului de căldură bidimensional cu valori diferite ale coeficiențului de absorbție a mediului în diferite zone, metodă utilizată și în cercetările experimentale de laborator [65].

Se redau mai jos rezultatele unor calcule ale distribuției degajării de căldură într-o cameră cu secțiunea $1,6 \times 1,6$ m și lungimea de 5,4 m, ca în figura 1.5.1.

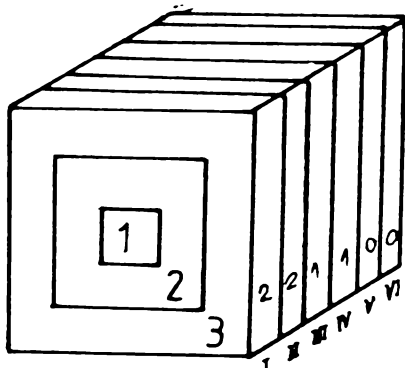


Fig. 1.5.1.

Pe secțiune, camera este împărțită în trei zone și pe lungime în şase zone identice, gazele arse se deplasează de-a lungul camerei fără a se amesteca.

Sarcina termică Q_x este distribuită uniform pe secțiune, iar pe lungime în raportul 2:2:1:1:0:0. Coeficientii de absorbție ai mediului sănt identici pe lungimea camerei dar diferă în secțiune, oscilând între 0,1 și 0,3.

Calculele au fost conduse atât după schema monodimensională de transmitere a căldurii cît și după schema bidimensională.

Distribuția coeficientului de absorbție pe zone, influențează puternic asupra distribuției cedării de căldură pe fiecare zonă volumetrică în parte.

Pentru un coefficient de negreală al mediului constant pe secțiune, cedarea de căldură crește odată cu îndepărțarea de axul camerei, spre zona pereților laterali, în valori absolute rămînind totuși nesemnificativă.

La o creștere însemnată a coeficientului de absorbție a zonei centrale are loc o ponderare masivă a cedării calorice în zona centrală odată cu scăderea cedării de căldură spre zonele marginale (zona 2), urmînd o creștere spre zona periferică, zona 3 (figura 1.5.1).

Este interesant de remarcat că, în acele situații cînd coefficientul de absorbție al mediului din zona centrală a fost mai mare ca în zonele periferice, temperatura mediului din zona centrală a fost mai mică decît în zonele periferice, fenomen ce se explică prin faptul că capacitatea de radiație a zonei centrale crește ca urmare a măririi coeficientului de absorbție.

În această schemă de rezolvare (propusă de I. A. Surinov) se scriu în formă generală ecuațiile pentru temperatura zonelor volumetrice exprimate prin coeficientii de determinare a schimbului reciproc de căldură prin radiații și pentru degajările de căldură.

Valorile degajărilor se află concret din relația (1.3.10) în care Q_x se înlocuiește cu $Q_k \cdot \pi$, obținindu-se un sistem de

ecuații cu n necunoscute, analog sistemului de ecuații (1.4.3).

Un aspect foarte important îl reprezintă influența numărului de zone de calcul asupra preciziei calculului. O comparare între rezultatele calculului cu un număr diferit de zone și ale metodei cu o singură zonă (fără împărțirea în zone), se poate realiza utilizând metoda simplificată conform relației (1.2.27) cu împărțirea camerei în "i" zone și relația (1.2.16) reprezentând metoda simplificată fără împărțirea în zone.

S-a considerat ca valoare exactă, temperatura determinată conform relației (1.2.16), rezultatele calculului fiind redate în Tabelul 1.5.1.

Tabelul 1.5.1.

Nr. de zone	Metoda de determinare a temperaturii medii	T_y : K]	Eroare [%]
/	$\bar{T}_i = T_{i-1}$	1216	0
1	$\bar{T}_i = T_{i-1}$	1330	9,37
5	$\bar{T}_i = T_{i+1}$	1240	1,97
10	$\bar{T}_i = T_{i+1}$	1234	1,48
40	$\bar{T}_i = T_{i+1}$	1220	0,33
5	$\bar{T}_i = \sqrt{T_i \cdot T_{i+1}}$	1219	0,25
10	$\bar{T}_i = \sqrt{T_i \cdot T_{i+1}}$	1217	0,08

De remarcat că rezultatul calculului conform temperaturii de radiație în zonă, luată ca medie geometrică între temperaturile de la intrarea și ieșirea din zonă, este considerabil mai precis fără chiar să se mai recurgă la împărțirea la un număr relativ mare de zone. Precizia calculului cu cinci zone este comparabil cu calculul cu 40 de zone, dar cînd $\bar{T}_i = T_{i+1}$, adică temperatura medie a zonei se ia egală cu temperatura de la ieșirea din zonă.

Utilizînd schema de calcul conform temperaturii medii geometrice de radiație a zonelor volumetrice, rămîn valabile ecuațiile (1.3.1), (1.3.2) și (1.3.12) cu specificația că în locul necunos-

cutelor T_I^4 , T_{II}^4 , T_{III}^4 , apar produsele pătratelor acestor temperaturi : $T_0^2 \cdot T_I^2$, $T_I^2 \cdot T_{II}^2$, $T_{II}^2 \cdot T_{III}^2$, rezultînd astfel, ținînd seama și de (1.4.2), sistemul

$$k_1 + (a_{1,1} - \sigma_0 T_0^2 T_I) T_I + a_{1,2} T_{II} + a_{1,3} T_{III} + \dots = 0$$

$$k_2 + a_{2,1} T_I + (a_{2,2} - \sigma_0 T_I^2 T_{II}) T_{II} + a_{2,3} T_{III} + \dots = 0 \quad (1.5.13)$$

$$k_i + a_{i,1} T_I + a_{i,2} T_{II} + \dots (a_{i,i} - \sigma_0 T_i^2 T_{i+1}) T_{i+1} + \dots = 0$$

rezolvabil prin aceeași metodă ca și sistemul (1.4.4).

1.6. Aspecte particulare ale schimbului termic în cuptoarele de încălzire și tratament

La încălzirea materialelor metalice (lingouri, semifabricate, etc.), pentru pregătirea lor în vederea deformărilor plastice la cald sau pentru tratament termic, apare o diferență de temperatură între suprafața exterioară și straturile din profunzime cu atît mai mare cu cît conductibilitatea termică a materialului este mai mică.

La limită, admitînd o conductibilitate λ egală cu infinit, diferența de temperatură între diferitele puncte ale secțiunii materialului, este nulă, concluzionînd că încălzirea este uniformă pe secțiune. Un astfel de corp poartă denumirea de corp subțire din punct de vedere termic, denumire dată de P. V. Stark [52].

Potrivit acestor considerații [52], sursa de radiație cu temperatură constantă, emite spre corpul de încălzit cantitatea de căldură

$$dQ = F \cdot \sigma_g (T_S^4 - T_m^4) d\tau \quad [J] \quad (1.6.1)$$

unde : T_S - temperatura sursei de radiație [K] ;

T_m - temperatura materialului [K] ;

F - suprafața materialului de încălzit [m^2] ;

σ_g - coeficientul de radiație a mediului radiant [$W/m^2 K^4$] ;

τ - timpul [s] .

care contribuie la ridicarea temperaturii corpului în final cu

ΔT_m :

$$F \cdot \sigma_g (T_S^4 - T_m^4) d\tau = m \cdot c \cdot dT_m \quad [J] \quad (1.6.2)$$

Integrînd ecuația (1.6.2) în limitele modificării temperaturilor materialului, rezultă

$$\int_1^2 \frac{dT_m}{T_S^4 - T_m^4} = \frac{F \cdot \sigma_g}{m \cdot c} \cdot \tau \quad (1.6.3)$$

iar prin integrarea relației (1.6.2) în raport cu τ va rezulta timpul de încălzire a materialului de la T_{m1} la T_{m2} :

$$\tau_x = \frac{m \cdot c}{F \cdot \sigma_g \cdot T_S^3} \left[\Psi^t \left(\frac{T_{m2}}{T_S} \right) - \Psi^t \left(\frac{T_{m1}}{T_S} \right) \right] \quad [s] \quad (1.6.4)$$

$$\Psi^t \left(\frac{T}{T_S} \right) = \frac{1}{4} \ln \frac{1 + \frac{T}{T_S}}{1 - \frac{T}{T_S}} + \frac{1}{2} \arctg \frac{T}{T_S} , \quad (1.6.5)$$

relație care coincide cu (1.2.17) și (1.2.18).

Dacă materialul încălzit este masiv, dT_m din (1.6.3) reprezintă diferențiala temperaturii medii a masei corpului încălzit iar la numitorul expresiei de sub integrală locul lui T_m trebuie luat de temperatura suprafeței (corpului) radiate. Se obține astfel egalitatea

$$\int_1^2 \frac{dT_m}{T_S^4 - T_{Sc}^4} = \frac{F \cdot \sigma_g}{m \cdot c} \cdot \tau \quad (1.6.6)$$

T_{Sc} reprezentînd temperatura materialului la suprafață.

Pentru integrarea relației (1.6.6), trebuie stabilită legătura dintre T_m și T_{Sc} prin diferite metode de aproximare prezentate în literatura de specialitate privind tehnologia de încălzire a metalelor [53], [33].

O schemă comodă de calcul pentru încălzirea metalului în condiții statioare (cuptoare adânci, cuptoare cu propulsie, etc.), este schema unidimensională.

Relației (1.2.1) i se va atașa

$$\varepsilon_g \cdot \sigma_0 \cdot p \cdot \Psi^t (T_S^4 - T_{Sc}^4) dx = P \cdot c \cdot d T_m \quad (1.6.7)$$

în care : p - perimetrul materialului de încălzit ;
 P - productivitatea cuptorului , [Kg/s] .

În ipoteza încălzirii metalului subțire, T_m și T_{Sc} sunt identice și asociaind relațiile (1.2.1) și (1.6.7) într-un sistem, se poate determina temperatura gazelor de ardere și a materialului pe lungimea cuptorului.

La încălzirea materialului masiv (încălzirea corpului real), este necesară stabilirea unei relații funcționale între T_{Sc} și T_m așa cum s-a arătat. Metoda a fost dezvoltată prima dată de Eberhardt și Hottel [11] cu completări de către A. V. Kovaderov [24].

La calculul cuptoarelor cu funcționare periodică în cazul cînd temperatura efectivă în spațiul cuptorului nu se modifică sensibil, se vor utiliza relațiile (1.6.4) și (1.6.6).

Dacă variațiile de temperatură sunt considerabile, ele vor fi luate în considerare utilizînd și relația (1.6.2), astfel că :

$$m \cdot c \frac{dT}{dt} = B \cdot v_g \cdot c_g (T_S - T_y) - Q_5 - Q_k = \\ = H_{S1} \cdot \sigma_g (\mu \cdot T_a^{4(1-n)} \cdot T_y^{4n} - T_l^4) [w] \quad (1.6.8)$$

unde : T_l - temperatura suprafeței de încălzire [K] ;

μ - coeficient de corecție pentru erorile de determinare a temperaturii efective ;

n - coeficient de corecție ($n = 0,85$ pentru gaze naturale și păcură) depinzînd de rolul temperaturii gazelor de ardere ;

T_a - temperatura de ardere [K] ;

H_{S1} - mărimea suprafeței radiante a camerei [m^2] .

În cazul încălzirii metalului subțire, $T_l = T_m$, obținîndu-se două ecuații cu două necunoscute T_m și T_y iar dacă aportul schimbului convectiv este nul ($Q_k = 0$) și pierderile prin pereti se neglijeză ($Q_5 = 0$), din relația (1.6.8) se formează o ecuație în raport cu T_m^4 :

$$T_m^4 = \mu \cdot T_a^{4(1-n)} \cdot T_y - \frac{B \cdot V_g \cdot c_g}{H_{Sc} \cdot G_g} (T_a - T_y) \quad (1.6.9)$$

în care substituind pe T_y , rezultă :

$$T_m^4 + \frac{G \cdot c}{H_{Sl} \cdot G_g} \cdot \frac{dT}{dC} - \mu \cdot T_a^{4(1-n)} \left(T_a - \frac{G \cdot c}{B \cdot V_g \cdot c_g} \cdot \frac{dT}{dC} \right) = 0 \quad (1.6.10)$$

relația pentru determinarea temperaturii metalului în timp.

Metoda prezintă o serie de neajunsuri și anume : la încălzirea în cuptoarele cu funcționare periodică, materialele nu pot fi considerate corpuri subțiri, problema complicîndu-se serios prin necesitatea determinării dependenței dintre temperaturile T_l și T_m .

În majoritatea cazurilor, forma volumului liber a cuptorului este destul de complexă, ceea ce împiedică determinarea valorii precise a coeficientului de schimb termic prin radiații. Metoda nu permite determinarea distribuției temperaturii în masa materialului, lucru foarte important în studiul proceselor de încălzire.

Pentru calculul schimbului de căldură prin radiație atât la cuptoarele de elaborare cât și la cale de încălzire, se poate utiliza calculul bazat pe utilizarea temperaturilor efective de radiație și a coeficientului de radiație specifică.

Fiind vorba de cuptoare de încălzire și tratament termic cu funcționare periodică, calculul se poate realiza pentru perioade separate ale procesului de funcționare, pentru care temperatura suprafetei încălzite se schimbă puțin [54], [55].

Cînd temperatura suprafetei radiante este aceeași pe întreaga suprafață, determinarea schimbului de căldură se realizează cu relațiile

$$Q_r = H_{Sl} \cdot G_g \cdot \left(\mu \cdot T_a^{4(1-n)} \cdot T_y^{4n} - T_l^4 \right) \quad (1.6.11)$$

și

$$Q_r = \varepsilon_g \cdot G_o \cdot \mu' \cdot \left(T_a^{4(1-n)} \cdot T_y^{4n} - T_l^4 \right) \quad (1.6.12)$$

Dacă temperatura suprafetei de încălzire nu este identică pe tot spațiul de lucru, temperatura T_l se va afla ca valoare medie

$$T_1 = \frac{1}{H_{Sl}} \sum_i H_{Sl_i} \cdot T_{l_i}^4 \quad (1.6.13)$$

Relativ la relația (1.6.12), P. A. Miasnikov a determinat $\bar{v}_o \cdot \mu'$ pentru $n = 0,5$ [56], creând posibilitatea comparării mărimilor $\bar{v}_o \cdot \mu'$ la arderea diferitor combustibili.

La cuptoarele de cercetare (cuptoare metodice) unde temperatura suprafeței radiante se modifică pe lungimea cuporului, temperatura medie este :

$$T_{ef.}^4 - T_1^4 = \sqrt[4]{(T_a^4 - T_{l_2}^4)(T_y^4 - T_{l_1}^4)} \quad (1.6.14)$$

unde T_{l_1} și T_{l_2} sunt temperaturile suprafeței radiante dinspre zona de ieșire a gazelor arse și zona de intrare a combustibilului.

Căldura iradiată fiind

$$Q_r = H_{Sl} \cdot \bar{v}_g \cdot \mu' \sqrt[4]{(T_a^4 - T_{l_2}^4)(T_y^4 - T_{l_1}^4)} \quad (1.6.15)$$

valoarea $\bar{v}_g \cdot \mu'$ fiind determinată conform [11] .

1.7. Concluzii privind metodele de calcul a schimbului de căldură prin radiație

Din cele expuse se poate concluziona că metoda teoretică simplificată, cu schema unidimensională este destul de larg răspândită, în calculul transmisiei de căldură prin radiație. Metoda poate da un prețios material pentru studiul fenomenelor termodynamice, care au loc în spațiul cupoarelor cu toate că din punct de vedere teoretic gradul de perfecționare este destul de modest.

Dezavantajul caracteristic acestei metode este unidimensionalitatea sa ce introduce erori în calcule și limitează domeniul de aplicare a metodei la camerele alungite cu secțiune constantă și densitatea fluxului termic constant.

Pentru calculul schimbului de căldură prin radiație la cuptoarele cu flacără, se utilizează în prezent metoda zonală, care prezintă avantajul unui grad mai ridicat de perfecțiune fiind universală. Ea permite determinarea influenței consumului de combustibil, a excesului de aer, a preîncălzirii aerului și caracterului arde-

rii asupra schimbului de căldură.

Neajunsul metodei constă în introducerea de erori ca urmare a împărțirii spațiului de lucru în zone, dar care pot fi reduse prin creșterea numărului de zone și alegerea judicioasă a temperaturii efective de radiație a zonei. Metoda fiind însă foarte complexă deoarece nu poate fi aplicată în calculele ingineresti practice, utilizarea ei pretîndu-se pentru cercetări speciale sau pentru corectarea unor metode mai simple de calcul.

Sarcina cercetătorilor constă în simplificarea acestei metode precum și a extinderii gamei posibilităților de aplicare la sisteme radiante mai complexe, apropriate de aggregatele calculate.

În prezent, nici una din metodele teoretice cunoscute nu poate lua în considerare în totalitate, fenomenele reale din spațiul de lucru al cupoarelor, toate metodele conțin ipoteze uneori foarte aproximante, fiind imposibilă, cu ajutorul metodelor pur teoretice, determinarea schimbului radiant de căldură în funcționarea reală a cuporului.

Metodele semiempirice fac posibilă depășirea acestui neajuns, bazîndu-se pe un material experimental (metodele T.K.T.I., V.T.I. și E. N. I. M.), fiecare metodă dînd, în fond, descrierea experimentului.

În majoritatea cazurilor, autorii metodelor compară datele experimentale cu cele de calcul, apreciind gradul de precizie a metodelor.

Cînd aprecierea unei metode se face pe baza materialului utilizat pentru creearea respectivei metode, ea este mult prea incompletă.

Diminuarea discordanțelor dintre datele de calcul și cele experimentale se poate realiza prin introducerea coeficienților empirici suplimentari, iar dacă operația nu este justificată de considerentele teoretice ci este un pur procedeu empiric, ea servește la aprecierea negativă a metodei.

În fond, la aprecierea calității metodei, atenția va fi îndreptată asupra numărului de coeficienți empirici conținuți. Metoda care conține un număr redus de coeficienți trebuie apreciată ca mai perfecționată.

Ca rezultat al unor calcule preliminare privind determinarea fluxului termic cît mai ales a coeficienților globali de transfer de căldură în spațiul de lucru al cuporului, s-a ales metoda zo-

nală după schema bidimensională de propagare a fluxului termic (v. Cap. 3) prin împărțirea spațiului de lucru al cuptorului experimental în trei zone (zona 1 fiind cea dinspre arzător, zona centrală și zona 2 dinspre ușa cuptorului).

O împărțire în mai multe zone nu ar fi fost posibilă din motive tehnice, întrucât amplasarea termocuplurilor pentru măsurarea temperaturii pe o lungime de 500 mm pe mai mult de trei zone era, practic, imposibilă, în plus mărirea exactității datelor prin această măsură nu devinea esențială.

Prin împărțirea camerei de lucru în trei zone și aparatul matematic de calcul este ceva mai simplu, putîndu-se aplica în mod concret oricărui tip de cuptor de încălzire și tratament termic industrial.

Din analiza acestor metode rezultă că odată cu creșterea temperaturii zidăriei cuptorului, coeficientul global de transfer de căldură se mărește, utilizîndu-se astfel mai intensiv energia gazelor de ardere pusă la dispoziție prin procesul de combustie care are loc în spațiul de lucru al cuptorului.

La un cuptor cu zidărie clasică, creșterea temperaturii zidăriei nu se poate realiza decît prin o mai bună organizare a circulației gazelor de ardere în spațiul de lucru al cuptorului și prin ridicarea încărcării termice, măsură ce duce, evident, la mărirea consumului de combustibil.

Dacă circulația gazelor de ardere ar fi astfel condusă încît gazele să spele o suprafață cît mai mare de zidărie căreia să-i cedeze o cantitate mai mare de căldură, temperatura zidăriei va crește fără modificarea consumului de combustibil. Ori, acest deziderat este foarte greu de realizat fără chiar a reproiecta întreg cuptorul, cu atît mai mult cu cît o reușită fără încercări experimentale este îndoioelnică.

Ideea montării în spațiul de lucru al cuptorului a pereților refractari permeabili prin care gazele de ardere să fie obligate să treacă înainte de a părăsi camera de lucru suplineste modificarea radicală a cuptorului (în cazul cel mai defavorabil, modificările necesare sănt minore), efectul acestor pereți de tip special avînd însă rezultate sigure. Astfel, fără a mai modifica încărcarea termică a cuptorului, gazele de ardere vor reuși să încălzească în mai mare măsură zidăria permeabilă și mult mai uniform. Aceasta devine, pentru zidăria normală, un adevărat ecran care diminuează mult

fluxul termic incident, gazele de ardere părăsind cuptorul depo-
sedate de o cantitate de energie care se transmite încărcăturii.

Pentru obținerea datelor necesare calculului transferului
de căldură în cuptorul cu zidărie clasică și apoi în cel cu zidă-
rie refracțară permeabilă, a fost necesar ca în prealabil să fie
determinați toți parametrii termidinamici ai cuptorului pe cale
teoretică și experimentală, determinări ce fac obiectul Capitole-
lor 2 și 3 .

CAPITOLUL 2

BAZELE TEORETICE ALE CERCETARII PROCESULUI DE AMPLIFICARE A RADIATIEI TERMICE IN CUPTOARELE INDUSTRIALE, PRIN UTILI- ZAREA PERETILOR REFRACTARI PERMEABILI

2.1. Problematica teoretică generală a funcționării cuptoarelor industriale

În sectoarele de prelucrări la cald și tratamente termice din industria metalurgică, semifabricatele și piesele de diferite dimensiuni și greutăți trebuie încălzite pînă la temperatura de plastifiere sau la temperatura prescrisă de tratamentul termic.

Desele introduceri de materiale reci au o influență negativă asupra procesului de schimb calorific, coborînd temperatura din camera de lucru, implicînd creșterea consumului de combustibil. Mai mult, cuptoarele de capacitate medie și mică au și o inertie termică redusă, astfel că în perioadele de încărcare - descărcare, căldura acumulată în zidărie nu poate prelua pierderea survenită prin deschiderea ușii, practic temperatura din cupor scăzînd.

Din totalul cuptoarelor de încălzire și tratament, un număr important îl constituie cuptoarele cu funcționare necontinuă (unul sau două schimburi). Aceste cuptoare, datorită specificului regimului de funcționare, nu-și ating regimul termic staționar, astfel că la fiecare pornire, cca 25 - 40 % din căldura dezvoltată prin ardere se acumulează în zidărie, care în perioada de repaus și-a pierdut în parte sau total căldura înmagazinată la ciclul termic anterior.

Timpul de staționare a semifabricatelor în cupor este de asemenea relativ îndelungat, comparativ cu timpul necesar calculat conform valorilor maxime admisibile a vitezei de încălzire. Aceasta implică, deci, un consum specific de combustibil ridicat, productivitatea vărei scăzută și, deci, un cost de fabricație mare.

Din aceste motive, randamentele termice ale cuptoarelor cu flacără funcționînd în regim intermitent se situează la valori reduse 22 - 28 %, doar în cazuri de excepție ating valori de 30 - 35 %.

De altfel și cuptoarele de încălzire de mare capacitate au un randament termic destul de coborît chiar cu recuperarea unei părți din energia gazelor de ardere prin preîncălzirea aerului de combustie, valoarea lui fiind și mai mică în special în perioada de încălzire.

Specific pentru funcționarea cuptoarelor de încălzire din sectoarele de laminare la cald, este încărcarea și desărcarea periodică cu blumuri, fapt ce duce la variații mari de temperatură în cuptor datorită deschiderii și închiderii repetitive a celulelor. Aceste variații de temperatură duc la creșterea consumului de combustibil datorită răcirii zidăriei care reintră în regim termic tranzitoriu.

Este cunoscută măsura de ameliorare a randamentului termic al cuptorului prin preîncălzirea aerului de ardere cu ajutorul recuperatorului metalic sau ceramic.

Metoda constă din extragerea în afara cuptorului a unei părți, de preferat cât mai mari, din energia gazelor de ardere care au părăsit spațiul de lucru și transmiterea acesteia aerului necesar arderii. Conform cu Tab. 2.1.1. efectul preîncălzirii aerului asupra randamentului termic este deosebit, dar gazele de ardere părăsesc recuperatorul în cele mai multe cazuri la un nivel energetic ridicat care nu se mai utilizează.

Prin construcția lor, recuperatoarele, care preîncălzeșc aerul folosind gaze de ardere la temperaturi relativ ridicate ($800-900^{\circ}\text{C}$), nu extrag o cantitate de energie care să coboare temperatura la ieșire sub $400-500^{\circ}\text{C}$ și aceasta în cazul cel mai bun, al circulației fluidelor în contracurent.

Recuperatoarele de radiație prin destinația lor, preîncălzeșc aerul de ardere utilizând gaze de ardere cu temperaturi numai peste 800°C , cînd schimbul termic preponderent este prin radiație termică, fiind deci utilizabile în exclusivitate la cuptoarele cu regim permanent de funcționare și de mare capacitate. Randamentul cuptoarelor de radiație este mai mic decît a celor de convecție, dar se preferă acolo unde temperaturile gazelor de ardere sunt mari și conțin mult praf, aceste tipuri de recuperatoare, prin construcția lor mai simplă fiind ușor de curățat.

Avantajele celor două tipuri de recuperatoare pot fi materializate însă prin montarea lor în serie, ultimul fiind cel de convecție.

Potrivit relației

$$\eta_{th} = 1 + \frac{i_r}{i_1} - \frac{i_2}{i_1}, \quad (2.1.1)$$

unde :

$i_1 = \frac{I_1}{Vgt}$, reprezintă entalpia specifică a gazelor de ardere proaspete ; [KJ/m³N] ;

$i_2 = \frac{I_2}{Vgt}$, reprezintă entalpia specifică a gazelor de ardere evacuate din spațiul cuptorului [KJ/m³N] ;

$i_r = \frac{i_{aer} \cdot L_{min.}}{Vgt}$, reprezintă entalpia specifică a aerului de ardere preîncălzit necesar producerii unui metru cub de gaze de ardere [KJ/m³N] ..

Randamentul termic al cuptorului este influențat de termenul $\frac{i_r}{i_1}$ care reprezintă efectul recuperării prin preîncălzirea aerului de ardere. Valorile acestui termen, în funcție de temperatura de preîncălzire, sunt centralizate în Tab. (2.1.1).

Tab. 2.1.1.

Temp. de preîncălzire [°C]	$\frac{i_r}{i_1}$		
	gaz furnal	gaz de cocs	gaz natural
300	0,05	0,06	0,10
400	0,10	0,13	0,14
600	0,15	0,20	0,22
800	0,21	0,27	0,30

Reiese că randamentul termic se va îmbunătăți substanțial odată cu mărirea gradului de recuperare ($\frac{i_r}{i_1}$), adică odată cu creșterea temperaturii aerului preîncălzit.

Această măsură constituie, de fapt, o extragere a unei cantități de căldură din gazele de ardere în afara instalației propriu-zise, în cadrul unui aparat de schimb termic. Dar valoarea randa-

mentului termic mai poate fi influențată și prin mărirea entalpiei gazelor de ardere existente în spațiul de lucru al cuptorului (i_1), adică prin creșterea temperaturii de ardere.

Din diagrama I - t a combustibilului utilizat rezultă temperatura teoretică de ardere cu excesul de aer respectiv, care însă nu corespunde cu valoarea reală, datorită radiației de căldură din timpul arderii. Temperatura reală se situează ca valoare cam la 80 % din valoarea teoretică, fiind dependentă de buna organizare a arderii și viteza de ardere.

Dezavantajul principal îl constituie însă cedarea incompletă, cu producere de CO având ca efect atât creșterea consumului de combustibil cât și poluarea atmosferei.

La peste 1500°C apare fenomenul disociației CO_2 în CO și O_2 și a H_2O în H_2 și O_2 , din gazele de ardere, fenomen care duce la scăderea temperaturii. Căldura latentă astfel legată se degajează abia la scăderea temperaturii.

Echilibrul reacțiilor se deplasează odată cu creșterea temperaturii spre reacția endotermă, disociația fiind mai intensă la temperaturi ridicate decât la temperaturi coborîte unde poate fi neglijată.

În metalurgia extractivă, unde cuptoarele de elaborare utilizează gaze de ardere cu temperaturi peste 1500°C , este absolut necesară preîncălzirea aerului în scopul atingerii acestor temperaturi.

Apare astfel dublul aspect al efectului preîncălzirii aerului: pe de o parte obținerea temperaturilor ridicate necesare tehnologiielor metalurgice de elaborare iar pe de altă parte reducerea consumului de combustibil la funcționarea cuptoarelor pentru elaborarea și topirea materialelor ușor fuzibile cât, mai ales, a cuptoarelor de încălzire și tratament termic aparținând sectoarelor metalurgice de prelucrări la cald.

Analizând mai îndeaproape funcționarea cuptoarelor de încălzire, rândamentul termic deși mai ridicat decât al cuptoarelor de elaborare este mult diminuat de valoarea relativ ridicată a nivelului energetic cu care gazele de ardere părăsesc cuptorul și în ultimă instanță, recuperatorul preîncălzitor de aer.

Este cunoscut că transferul termic este cu atât mai eficient cu cât calitatea conținutului de energie calorică este mai bună adică temperatura mai mare.

În condițiile în care s-ar putea extrage suplimentar căldură de la produsele de ardere existente în spațiul cuptorului valoarea randamentului termic devine :

$$\eta_{th} = 1 + \frac{i_r}{i_1} + \frac{i_{r1}}{i_1} - \frac{i_2}{i_1} = 1 + \frac{i_r}{i_1} - \frac{i_2}{i_1} \quad (2.1.2)$$

unde : $\frac{i_{r1}}{i_1}$ - reprezintă recuperarea de căldură chiar în incinta

spațiului de lucru și i_{r1} este entalpia specifică a gazelor de ardere a căror energie s-a recuperat în spațiul de lucru al cuptorului [KJ/m³N].

Pornind de la aceste relații generale pentru calculul randamentului termic (2.1.1 și 2.1.2), în subcapitolul 2.2 se tratează mai în detaliu metodologia de calcul a randamentului termic al cuptoarelor de încălzire și tratament termic, metodologie utilizată în cadrul calculului randamentelor termice a cuptorului experimental cu cele două tipuri de zidării precum și a cuptorului industrial.

2.2. Calculul bilanțului și randamentului termic optim al cuptoarelor industriale cu funcționare necontinuă

Cuptoarele industriale cu exploatare discontinuă funcționând cu combustibil lichid sau gazos se caracterizează printr-un randament mediu de exploatare care în sine nu este o valoare concluzivă în ce privește economicitatea cuptorului. Compararea acestui randament cu al altor cuptoare având diferite destinații, dar în condiții de funcționare asemănătoare, nu poate fi decât orientativă.

Evaluarea randamentului maxim drept criteriu de comparație pentru cuptoarele de diverse construcții și destinații este posibilă numai pe baza analizei termodinamice a cuptorului.

În cele ce urmează se propune evaluarea unui randament drept criteriu de comparație (asemănător randamentului ciclului Carnot) între limitele temperaturilor de funcționare a cuptorului.

Astfel, randamentul optim se poate compara cu randamentul ideal, calculat în cele ce urmează.

Se va considera că procesul termodinamic al transferului termic din cuptor este izobar și adiabatic, pierderile de căldură prin pereți fiind nule iar modificarea regimului termic nu presupune acumularea sau degajarea suplimentară de căldură de către zi-dărie. Totodată, se presupune că temperatura gazelor de ardere care părăsesc spațiul de lucru al cuptorului este identică cu temperatura momentană a materialului, neexistând o amestecare a gazelor de ardere.

Singura pierdere o constituie doar căldura gazelor evacuate la cos.

Cu aceste considerante s-a efectuat calculul randamentului optim, în următoarele variante :

Varianta 1

Se presupune că materialul introdus în cuptor ocupă întreg spațiul de lucru, astfel încât spațiul liber dintre pereți și material pe unde are loc scurgerea produselor arderii, este neglijabil.

Condiția de echilibru termic dintre materialul de lucru și produsele de ardere, este :

$$m \cdot c_m \cdot d t_m = c_g (t_g - t_2) d V_g \quad (2.2.1)$$

unde : m - masa materialului [Kg] ;

c_m - capacitatea calorică specifică medie a materialului [J/Kg.K] ;

t_m - temperatura materialului [$^{\circ}$ C] ;

c_g - capacitatea calorică specifică medie a gazelor arse [J/Kg.K] ;

t_g - temperatura produselor de ardere din spațiul cuptorului [$^{\circ}$ C] ;

t_2 - temperatura produselor de ardere evacuate la cos [$^{\circ}$ C];

V_g - volumul real al gazelor de ardere .

Procesul de încălzire a materialului este prezentat de ecuația

$$\frac{dt_m}{t_g - t_2} = \frac{c_g}{c_m \cdot m} \cdot d V_g \quad (2.2.2)$$

Capacitățile calorice a materialului și produselor de ardere fiind :

$$\begin{aligned} C_m &= m \cdot c \\ C_g &= V_g \cdot c_g \end{aligned} \quad (2.2.3)$$

Rezolvînd ecuația diferențială cu notațiile de mai sus, rezultă :

$$\frac{1}{t_g - t_m} = c \cdot \exp \left[\frac{C_g}{C_m} \right] \quad (2.2.4)$$

Punînd condiția inițială ($V_g = 0$; $t_m = t_{mo}$) va rezulta soluția ecuației diferențiale :

$$\frac{t_g - t_{mo}}{t_g - t_m} = \exp \left[- \frac{C_g}{C_m} \right] \quad (2.2.5)$$

Variatia temperaturii materialului va fi :

$$t_m = t_g - (t_g - t_{mo}) \cdot \exp \left[- \frac{C_g}{C_m} \right], \quad (2.2.6)$$

iar raportul dintre temperatura materialului și a produselor de ardere

$$\frac{t_m}{t_g} = 1 - \left(1 - \frac{t_{mo}}{t_g} \right) \exp \left[- \frac{C_g}{C_m} \right] \quad (2.2.7)$$

va determina în final valoarea randamentului termic "momentan".

Pentru obținerea temperaturii finale a materialului, capacitatea calorică a gazelor de ardere va avea valoarea maximă

$$C_{g \text{ max.}} = - C_m \ln \frac{t_g - t_{mf}}{t_g - t_{mo}} \quad (2.2.8)$$

unde : t_{mf} - temperatura finală a materialului [°C];

Q_1 - căldura introdusă prin arderea combustibilului [J];

Q_2 - căldura gazelor evacuate la cos [J].

În condițiile constanței temperaturii materialului și produselor de ardere, randamentul

$$\eta = 1 - \frac{Q_2}{Q_1} \quad (2.2.9)$$

poate fi considerat și ca randament "momentan", referindu-se însă la temperaturile momentane ale gazelor arse și a materialului din cupor :

$$\eta = 1 - \frac{Q_2}{Q_1} = 1 - \frac{\frac{C_g}{t_m}}{\frac{C_g}{t_g}} \quad (2.2.10)$$

Pentru întreg procesul de încălzire, randamentul mediu se obține prin integrarea tuturor randamentelor momentane :

$$Q_2 = \int_0^{C_g} \left\{ t_g - (t_g - t_{mo}) \exp \left[-\frac{C_g}{C_m} \right] \right\} d C_g \quad (2.2.11)$$

rezultând soluția generală :

$$Q_2 = C_g \cdot t_g + (t_g - t_{mo}) C_m \cdot \exp \left[-\frac{C_g}{C_m} \right] + C \quad (2.2.12)$$

Din condițiile la limită ($C_g = 0$ și $Q_2 = 0$), rezultă că

$$C = - (t_g - t_{mo}) C_m \quad (2.2.13)$$

Astfel că, în timpul procesului de încălzire, căldura totală pierdută prin produsele de ardere va fi :

$$Q_2 = C_g \cdot t_g + (t_g - t_{mo}) C_m \left\{ \exp \left[-\frac{C_g}{C_m} \right] - 1 \right\} \quad (2.2.14)$$

Randamentul mediu devine

$$\bar{\eta} = \frac{t_g - t_{mo}}{t_g} \cdot \frac{C_m}{C_g} \left\{ 1 - \exp \left[-\frac{C_g}{C_m} \right] \right\} \quad (2.2.15)$$

Randamentul termic instantaneu are valoarea mai mică decât randamentul mediu referitor la întreg procesul, conform cu figura 2.2.1.

Dacă temperatura inițială a materialului introdus se schimbă, raportul temperaturilor materialului și a gazelor arse va fi

$$\frac{t_m}{t_g} = 1 - \left[1 - \frac{t_{mo}}{t_g} \right] \exp \left[-\frac{C_g}{C_m} \right] \quad (2.2.16)$$

În figura 2.2.2. s-au reprezentat dependențele funcționale de mai sus ($\bar{\eta}$; $\frac{t_{mo}}{t_g}$; $\frac{t_m}{t_g}$; $\frac{C_g}{C_m}$) .

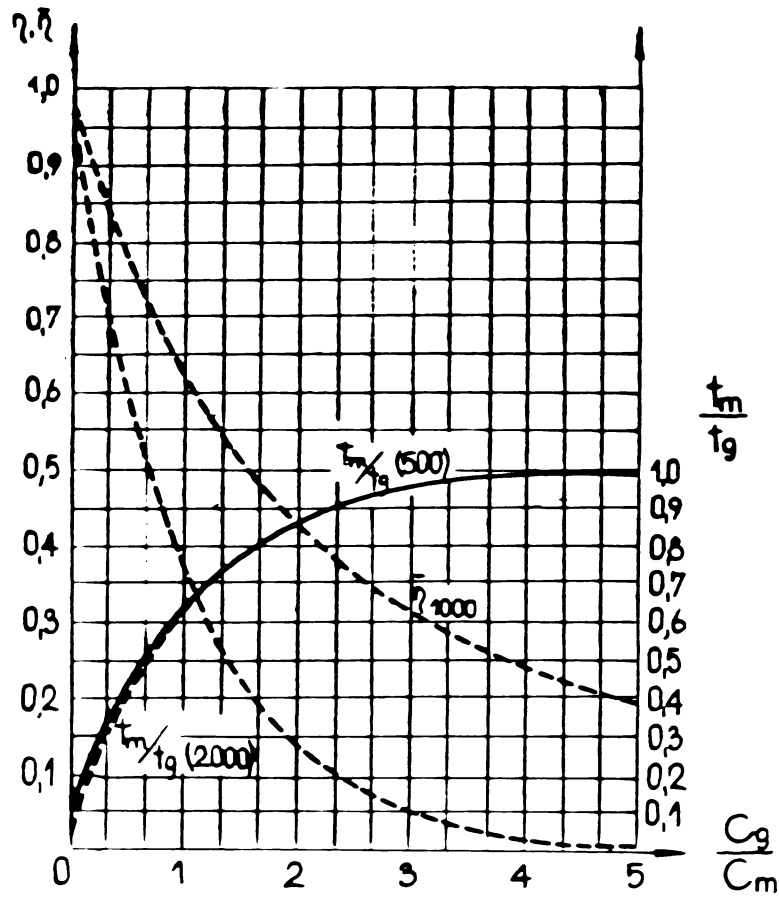


Fig. 2.2.1.

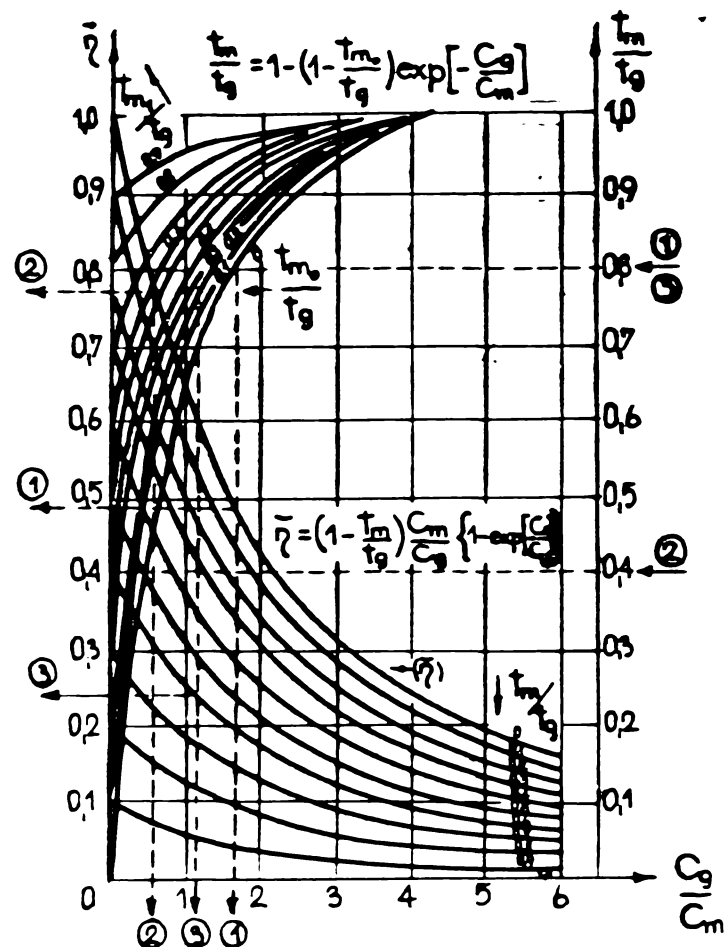


Fig. 2.2.2.

Varianta 2

Volumul spațiului de lucru se consideră mai mare decît volumul materialului introdus, dar căldura necesară încălzirii produselor de ardere rămase în spațiul de lucru neocupat pînă la valoarea temperaturii materialului, nu se ia în considerare.

Volumul de gaze rămase în cuptor este

$$V_{lg} = V_l - V_m \quad (2.2.17)$$

unde : V_l - volumul spațiului de lucru [m³] ;

V_{lg} - volumul gazelor de ardere din spațiul liber [m³] ;

V_m - volumul materialului de lucru .

Căldura necesară încălzirii materialului și produselor de ardere remanente este :

$$dQ_n = (m \cdot c + V_{lg} \cdot c_g) d t_m = (C_m + C_{lg}) dt_m \quad (2.2.18)$$

Ecuția diferențială a schimbului de căldură dintre gazele introduse și materialul de lucru

$$\frac{d t_m}{t_g - t_m} = \frac{d C_g}{C_m + C_{lg}} \quad (2.2.19)$$

rezolvată, avind în vedere și condițiile inițiale $t_m/c_{g=0} = t_{mo}$, se obține

$$t_m = t_g - (t_g - t_{mo}) \exp \left[-\frac{C_g}{C_g + C_{lg}} \right] \quad (2.2.20)$$

Procedînd analog variantei 1, pierderile cauzate de evacuarea gazelor arse eliminate (pentru întreg procesul), sunt :

$$Q_2 = C_g \cdot t_g - (t_g - t_{mo})(C_m - C_{lg}) \left\{ 1 - \exp \left[-\frac{C_g}{C_m + C_{lg}} \right] \right\} \quad (2.2.21)$$

Rândamentul mediu are expresia

$$\bar{\eta} = \left(1 - \frac{t_{mo}}{t_m} \right) \frac{C_m + C_{lg}}{C_g} \left\{ 1 - \exp \left[-\frac{C_g}{C_g + C_{lg}} \right] \right\} \quad (2.2.22)$$

și analizînd-o se constată că la debite calorice introduse egale, temperatura materialului va fi mai mică în comparație cu varianta 1. În acest scop, se utilizează monograma din fig. 2.2.2., cu specificația ca pe abscisă în locul raportului $\frac{C_g}{C_m}$ se ia $\frac{C_g}{C_m + C_{lg}}$, determinîndu-se $\frac{t_m}{t_g}$ și $\bar{\eta}$ aferent acestor valori.

Varianta 3

Si în acest caz, raportul volumelor materialului de lucru și produselor arderii din spațiul de lucru se menține identic cu a doua variantă, cu deosebirea că, cantitatea de căldură necesară încălzirii produselor de ardere din spațiul excedentar pînă la temperatura materialului se consideră pierdere.

Valoarea pierderii va fi :

$$dQ = c_g \cdot t_m \cdot dV_g + c_g V_{lg} \cdot d t_m , \quad (2.2.23)$$

legea de variație a temperaturii produselor de ardere, exprimîndu-se după relația

$$d t_m = \frac{(t_g - t_{mo})}{C_m + C_{lg}} \cdot \exp \left[-\frac{C_g}{C_m + C_{lg}} \right] d V_g \quad (2.2.24)$$

Tinind seama de ecuațiile (2.2.23) și (2.2.24) și de condiția inițială

$$Q_2 \Big|_{V_g=0} = 0 , \quad (2.2.25)$$

va rezulta valoarea pierderilor de căldură

$$Q_2 = t_g \cdot c_g \cdot V_g - \left\{ 1 - \exp \left[- \frac{C_g}{C_m + C_{lg}} \right] \right\} c_g (t_g - t_{m0}) \quad (2.2.26)$$

Randamentul mediu al întregului proces este

$$\bar{\eta} = \left(1 - \frac{t_m}{t_g} \right) \frac{C_m}{C_g} \left\{ 1 - \exp \left[- \frac{C_g}{C_m + C_{lg}} \right] \right\} \quad (2.2.27)$$

$$\bar{\eta} = \left(1 - \frac{t_m}{t_g} \right) \frac{C_m}{C_g} \left\{ 1 - \exp \left[- \frac{C_g}{C_m + C_{lg}} \right] \right\}$$

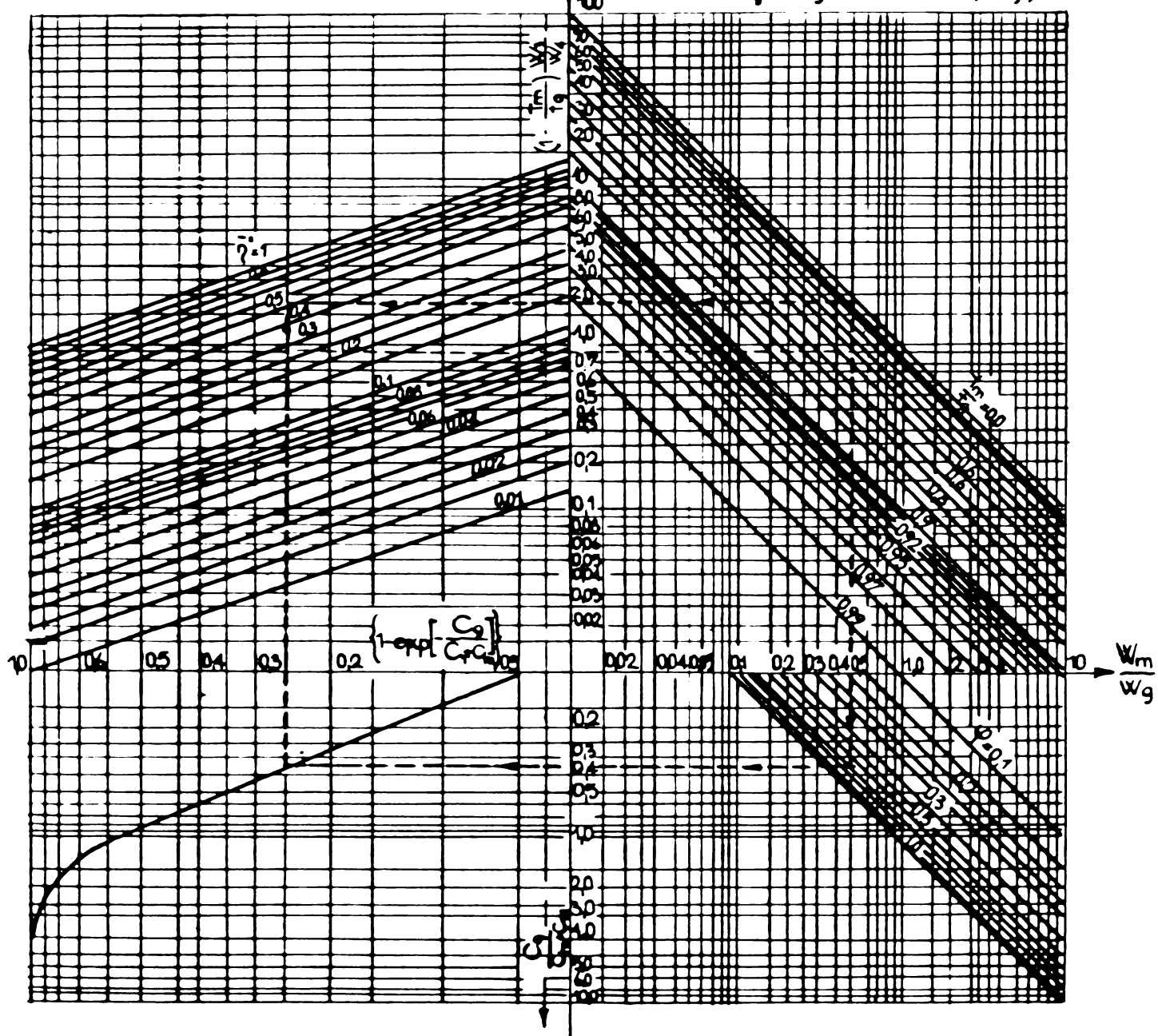


Fig. 2.2.3.

În monograma din figura 2.2.3. s-a reprezentat valoarea randamentului mediu, în care

$$\varphi = \frac{\frac{C_g}{C_g + C_{lg}}}{\frac{C_g}{C_m}} = \frac{1}{1 + \frac{C_{lg}}{C_m}} \quad (2.2.28)$$

și, evident, pentru $\varphi = 1$, $\frac{C_{lg}}{C_m} = 0$, regăsindu-se astfel condițiile de la prima variantă.

Varianta 4

Cuprinde și cazul mai complex al recuperării unei părți din energia gazelor de ardere, prin preîncălzirea aerului și a gazului combustibil (unde este cazul), după care produsele arderii părăsesc circuitul.

Ipotezele anterioare (v. varianta 1, 2, 3) se mențin cu adăugarea altor ipoteze ce vizează recuperatorul :

- recuperatoarele de aer sunt etanșe, iar dacă se preîncălzește și combustibilul, recuperatorul de aer va fi primul în drumul gazelor de ardere ;
- temperatura de intrare a gazelor de ardere în recuperator este identică cu temperatura la care acestea părăsesc cuptorul ;
- presupunând recuperatorul în contracurent, temperatura de preîncălzire a aerului coincide cu temperatura gazelor la evacuare la cos ;
- temperatura de intrare în recuperator, a aerului este 0°C .

Considerînd rapoartele

$$\delta = \frac{C_L}{C_g} \quad (2.2.29)$$

și

$$p = \frac{C_c}{C_g} \quad (2.2.30)$$

unde : C_L - capacitatea calorică a aerului de combustie [J/K] ;

C_c - capacitatea calorică a combustibilului [J/K] ,

valorile δ și p sunt comparabile cu raportul volumic dintre aer - gaze arse și gaze combustibile - gaze de ardere.

Tinind seama de relatiile (2.2.29) si (2.2.30), se poate calcula caldura cedata aerului in recuperator

$$t_{g_{rl}} \cdot dC_L = (t_{g_{rl}} - t_{g_{r2}}) dC_g \quad (2.2.31)$$

si temperatura aerului preincalzit

$$t_{g_{r2}} = (1 - \delta) t_{g_{rl}} \quad (2.2.32)$$

iar : $t_{g_{rl}}$ - temperatura gazelor de ardere la intrarea in recuperatorul de aer [°C] ;

$t_{g_{r2}}$ - temperatura gazelor de ardere la ieșirea din recuperatorul preincalzitor de combustibil [°C] ;

$t_{g_{r3}}$ - temperatura gazelor la ieșirea din recuperatorul preincalzitor de combustibil [°C] .

Caldura cedata gazului combustibil va fi :

$$p \cdot t_{g_{r2}} \cdot dC_g = (t_{g_{r2}} - t_{g_{r3}}) dC_g \quad (2.2.33)$$

rezultind astfel temperatura de ieșire a gazelor din preincalzitorul de gaz

$$t_{g_{r3}} = (1 - p) t_{g_{r2}} = (1 - p) (1 - \delta) t_{g_{rl}} = (1 - \alpha) t_{g_{r2}} \quad (2.2.34)$$

unde

$$(1 - p) (1 - \delta) = 1 - \alpha \quad (2.2.35)$$

iar caldura teoretica recuperata din preincalzitoare (aer si gaz) este

$$dQ_r = (t_{g_{rl}} - t_{g_{r3}}) dC_g = \alpha \cdot t_{\underline{z}} \cdot dC_g \quad (2.2.36)$$

Caldura pierduta cu gazele evacuate la cos se exprima prin relatie

$$dQ_2 = (1 - \alpha) t_{g_{rl}} \cdot dC_g \quad (2.2.37)$$

Temperatura produselor de ardere devine :

$$t_{gr} = \frac{v_L \cdot c_L \cdot t_{gr_{rl}} + v_c \cdot c_c \cdot t_{gr_{r2}} + v_c \cdot H_i}{v_g \cdot c_g} = \\ = \tilde{\nu} \cdot t_{gr_{rl}} + p \cdot t_{gr_{r2}} + t_g \quad (2.2.38)$$

sau

$$t_{gr_r} = t_g + [\tilde{\nu} + p(1 - \tilde{\nu})] t_{gr_{rl}} = t_g + \alpha \cdot t_{gr_{rl}} \quad (2.2.39)$$

Ecuatia diferențială a echilibrului termic ținind seama de relația (2.2.39), devine :

$$C_m \cdot d t_m = - [t_g - (1 - \alpha) t_m] d C_m \quad (2.2.40)$$

cu soluția generală

$$t_m = \frac{t_m}{1-\alpha} - \frac{t_g}{1-\alpha} \exp \left[-\frac{C_g}{C_m} (1 - \alpha) \right] + t_{mo} \exp \left[-\frac{C_g}{C_m} (1 - \alpha) \right] \quad (2.2.41)$$

Punind condițiile inițiale

$$t_m = t_{mo} \quad (2.2.42)$$

$$C_g = 0$$

și

$$t_{mo} = 0^\circ C$$

se obține

$$t_m = \frac{t_g}{1-\alpha} \left\{ 1 - \exp \left[-\frac{C_g}{C_m} (1 - \alpha) \right] \right\} \quad (2.2.43)$$

Raportul temperaturii materialului și a temperaturii inițiale a produselor de ardere cu considerarea că $t_{mo} = 0^\circ C$

$$\frac{t_m}{t_g} = \frac{1}{1-\alpha} - \frac{1}{1-\alpha} \exp \left[-\frac{C_g}{C_m} (1 - \alpha) \right] \quad (2.2.44)$$

iar temperatura produselor de ardere

$$t_g = \left(1 + \frac{\alpha}{1-\alpha} \right) t_g + \left[\alpha \cdot t_{mo} - \frac{\alpha}{1-\alpha} t_g \right] \exp \left[-\frac{C_g}{C_m} (1 - \alpha) \right] \quad (2.2.45)$$

Pierderea de căldură cauzată de produsele arderii ce pără-

sesc recuperatorul

$$Q_2 = \int_0^{C_g} t_{g_r3} d C_g = (1 - \alpha) \int_0^{C_g} t_m \cdot d C_g , \quad (2.2.46)$$

se determină punind condiția la limită $Q_2|_{C_g=0} = 0$:

$$Q_2 = t_g \cdot C_g - \left\{ 1 - \exp \left[- \frac{C_g}{C_m} (1 - \alpha) \right] \right\} t_g \frac{C_m}{1 - \alpha} , \quad (2.2.47)$$

iar

$$\tilde{\eta} = \frac{Q_1 - Q_2}{Q_2} = \left\{ 1 - \exp \left[- \frac{C_g}{C_m} (1 - \alpha) \right] \right\} \frac{C_m}{C_g} \cdot \frac{1}{1 - \alpha} \quad (2.2.48)$$

reprezentînd randamentul mediu.

În condițiile în care combustibilul nu este preîncălzit,

$$\alpha \equiv \Gamma$$

iar valorile coeficientilor Γ , p și α depind în bună măsură și de coeficientul excesului de aer, mai cu seamă factorul p. Din acest motiv, la cuptoarele cu recuperator randamentul optim se va defini prin calcul, drept pentru care nu s-au ridicat diagrame.

2.3. Controlul combustiei

Caracterul chimic al gazelor de ardere din spațiul de lucru al cuptorului are o importanță deosebită asupra modificărilor compoziției metalului încălzit. La cuptoarele de tratament, caracterul chimic al atmosferei cuptorului va imprima noua compoziție chimică a semifabricatelor în urma reacțiilor care au loc între material și diferite componente ale gazelor de ardere [5], [63].

La încălzirea otelului, de exemplu, în vederea călirii, atmosfera din cuptor trebuie să evite formarea țunderului și decarburarea pe cînd la cuptoarele de maleabilizare fontei scopul tratamentului constă tocmai într-o reacție de decarburare.

Pentru buna funcționare a cuptoarelor de tratament, caracterul chimic al atmosferei nu va fi imprimat numai de componente de ardere ci și de gaze de reacție introduse în spațiul de lucru, în mod artificial. Raportul de concentrații ale gazelor de reacție va fi dependent de temperatura din cuptor precum și de pre-

zența tuturor elementelor componente în ansamblul lor (figura 2.3.1) .

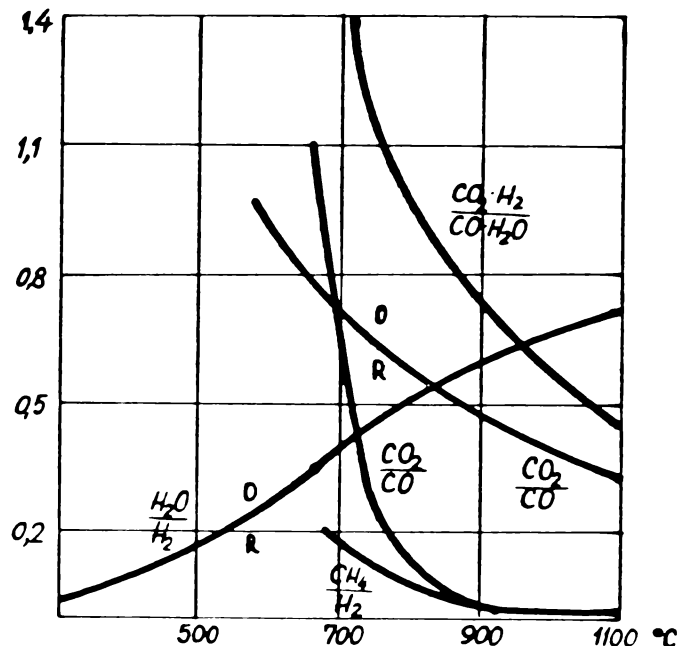


Fig. 2.3.1.

La cuptoarele de încălzire problema se pune ceva mai simplu, în sensul că arderea combustibilului va fi organizată astfel încât să se evite la maximum pierderile prin oxidare.

Prin arderea cu un coeficient al excesului de aer peste valoarea stoichiometrică, atât indicele de oxidare

$$I.O. = \frac{M' - M_0}{S \cdot \tau} [\text{Kg/cm}^2 \cdot \text{min}] \quad (2.3.1)$$

unde :

M' - masa materialului la finele procesului de încălzire [Kg]

M_0 - masa inițială a materialului [Kg] ;

S - suprafața materialului expusă oxidării [cm²] ;

τ - timpul afectat încălzirii [min] .

cît și pierderea prin oxidare

$$P.O. = \frac{M_0 - M''}{S \cdot \tau} [\text{Kg/cm}^2 \cdot \text{min}] \quad (2.3.2)$$

unde : M'' - masa materialului după curățirea de oxizi (țunder) [Kg] ,

devin apreciabile, conducînd la micșorarea "scoaterii de metal" fără a mai considera și deficiențele create în procesul de deformare plastică la cald.

Dintre toți factorii care conduc la creșterea pierderilor prin oxidare (durata de menținere în cuptor, circulația gazelor, configurația stratului de oxizi, coeficientul excesului de aer de combustie), ultimul are cea mai mare pondere.

Rezultă astfel ca foarte necesară cunoașterea plasamentului punctelor figurative ale arderii în diagrama Ostwald pentru ca în orice moment, potrivit analizei chimice a gazelor de ardere, să se poată constata natura arderii și eventual măsurile care se

impun pentru evitarea oxidării exagerate a materialului.

Potrivit analizei chimice volumetrice a gazului natural utilizat atât la experimentările de laborator cît și la cele industriale

$$\begin{aligned} (\text{CH}_4)_C &= 98,73 \% \\ (\text{C}_2\text{H}_6)_C &= 0,91 \% \\ (\text{O}_2)_C &= 0,09 \% \\ (\text{N}_2)_C &= 0,27 \% \end{aligned} \quad (2.3.3)$$

- oxigenul minim necesar arderii este :

$$Q_{\min.} = 2(\text{CH}_4)_C + 3,5 (\text{C}_2\text{H}_6)_C - (\text{O}_2)_C = 2,0064 [\text{m}^3 \text{N}/\text{m}^3 \text{Nc}] \quad (2.3.4)$$

- aerul minim necesar arderii :

$$L_{\min.} = \frac{Q_{\min.}}{0,21} = 9,5285 [\text{m}^3 \text{N}/\text{m}^3 \text{Nc}] \quad (2.3.4 \text{ a})$$

S-a admis ipoteza că dacă arderea este imperfectă, imperfecțiunea arderii are loc numai la oxidarea carbonului nu și a hidrogenului [44]. Notându-se cu x C partea din carbon care se oxidează în CO_2 și cu $(1-x)C$ partea din carbon care se oxidează în CO , atunci oxigenul consumat se calculează cu relația :

$$\begin{aligned} O_C &= x (\text{CH}_4)_C + \frac{1-x}{2} (\text{CH}_4)_C + (\text{CH}_4)_C + 2x (\text{C}_2\text{H}_6)_C + \\ &+ 2 \frac{1-x}{2} (\text{C}_2\text{H}_6)_C + 1,5 (\text{C}_2\text{H}_6)_C = 0,5027 x + 1,5037 \end{aligned} \quad (2.3.5)$$

Produsele arderii imperfecte :

- cantitatea de bioxid de carbon :

$$V_{\text{CO}_2} = x (\text{CH}_4)_C + 2x (\text{C}_2\text{H}_6)_C = 1,0055 x [\text{m}^3 \text{N}/\text{m}^3 \text{Nc}] \quad (2.3.6)$$

- cantitatea de oxid de carbon :

$$V_{\text{CO}} = (1-x)(\text{CH}_4)_C + 2(1-x)(\text{C}_2\text{H}_6)_C = 1,0055 - 1,0055 x \quad (2.3.7)$$

- cantitatea de oxigen liber :

$$V_{\text{O}_2} = Q_{\min.} - O_C = 2,0064 - 0,5027 x - 1,5037 \quad (2.3.8)$$

- cantitatea de azot :

$$V_{N_2} = (N_2)_C + \frac{0,79}{0,21} \cdot \lambda \cdot 0_{\min.} = 0,0027 + 7,5478 \cdot \lambda \quad (2.3.9)$$

Cantitatea gazelor uscate este egală cu :

$$V_{g.u.} = V_{CO_2} + V_{CO} + V_{O_2} + V_{N_2} = 9,5542 \cdot \lambda - 0,5027 \cdot x - 0,4955 \quad (2.3.10)$$

iar participarea diferitelor componente rezultă :

$$(CO_2)_f = \frac{1,0055 \cdot x}{9,5542 \cdot \lambda - 0,5027 \cdot x - 0,4955} \quad (2.3.11)$$

$$(CO)_f = \frac{1,0055 - 1,0055 \cdot x}{9,5542 \cdot \lambda - 0,5027 \cdot x - 0,4955} \quad (2.3.12)$$

$$(O_2)_f = \frac{2,0064 \cdot \lambda - 0,5027 \cdot x - 1,5037}{9,5542 \cdot \lambda - 0,5027 \cdot x - 0,4955} \quad (2.3.13)$$

$$(N_2)_f = \frac{0,0027 + 7,5478 \cdot \lambda}{9,5542 \cdot \lambda - 0,5027 \cdot x - 0,4955} \quad (2.3.14)$$

Eliminând pe x și λ se obține ecuația planului de ardere :

$$1,7870 (CO_2)_f + 1,3920 (CO)_f + (O_2)_f = 0,21 \quad (2.3.15)$$

Intersecția acestui plan cu planul arderii perfecte definit prin condiția $(CO)_f = 0$, permite stabilirea ecuației dreptei arderilor perfecte :

$$1,7870 (CO_2)_f + (O_2)_f = 0,21 \quad (2.3.16)$$

În sistemul de coordonate $(CO_2)_f$ și $(O_2)_f$ dreapta arderilor perfecte taie axele de coordonate în punctele M și N.

În originea axelor de coordonate în care $(CO_2)_f = 0$ și $(O_2)_f = 0$, rezultă conținutul maxim de oxid de carbon în fumul uscat :

$$(CO)_f \text{ max.} = \frac{0,21}{1,3920} = 0,1508 \quad (2.3.17)$$

Dreptele de $(CO)_f = ct$ sunt paralele cu dreapta arderilor perfecte și echidistante.

Pe aceeași diagramă au fost trasate și dreptele $\lambda = ct.$, obținute din ecuațiile (2.3.11) și (2.3.13) în care s-au înlocuit $x = 1$ și $\lambda = ct$ pentru intersecția cu dreapta arderilor perfecte și $x = 0$, $\lambda = ct$ pentru intersecția cu axa absiselor.

Astfel, dreptele $\lambda = ct$ sunt definite analitic prin coordonatele a două puncte, unul situat pe dreapta arderilor perfecte și celălalt, pe axa absciselor. Rezultatele calculelor sunt concentrate în Tab. (2.3.1.).

Tab. 2.3.1.

		1,0	1,1	1,2	1,3	1,4	1,6	1,8	1,9	2,0
Intersect. cu dreapta $x=1$	$(CO_2)_f$ [%]	11,75	10,57	9,61	8,80	8,12	7,04	6,21	5,86	5,55
Intersect. cu dreapta $x=0$	$(O_2)_f$ [%]	0,00	2,11	3,83	5,27	6,48	8,42	9,91	10,52	11,08
Intersect. cu dreapta $x=0$	$(CO_2)_f$ [%]	0,00	0,00	0,00	0,00	0,00	0,00	0,00	0,00	0,00
	$(O_2)_f$ [%]	5,55	7,02	8,24	9,26	10,13	11,53	12,62	13,07	13,48

Pe diagrama Ostwald reprezentată în figura 2.3.2. se vor plasa punctele figurative ale arderii notate cu P_1 , P_2 și P_3 respectiv corespunzătoare combustiei în cuptorul din Laboratorul de cuptoare (încălzirea cu zidărie normală și zidărie permeabilă) și în cuptorul de tratament termic pentru cilindrii de laminor din cadrul I. V. Călan.

Se va observa că, potrivit analizei gazelor de ardere aferente cercetărilor de laborator (v. cap. 3) și industriale (v. cap. 4), procesul de ardere a fost astfel conceput ca proba de oțel să suferă pierderi prin oxidare minime (figura 2.3.1.) iar cilindrii de laminor din fontă ce constituie încărcătura cuptorului industrial de tratament, să nu fie decarburați.

În capitolele afectate descrierii și interpretării rezultatelor cercetărilor de laborator și industriale se vor face referiri la diagrama din fig. 2.3.2. pentru determinarea coeficientului excesului de aer, necesar calculelor cantității produselor de ardere.

În scopul prelucrării rezultatelor obținute la încercările din cadrul experimentărilor de laborator și industriale, diagrama $I - t$ (entalpie - temperatură) a gazelor de ardere are o deosebită importanță. Cu ajutorul acestei diagrame se poate determina atât

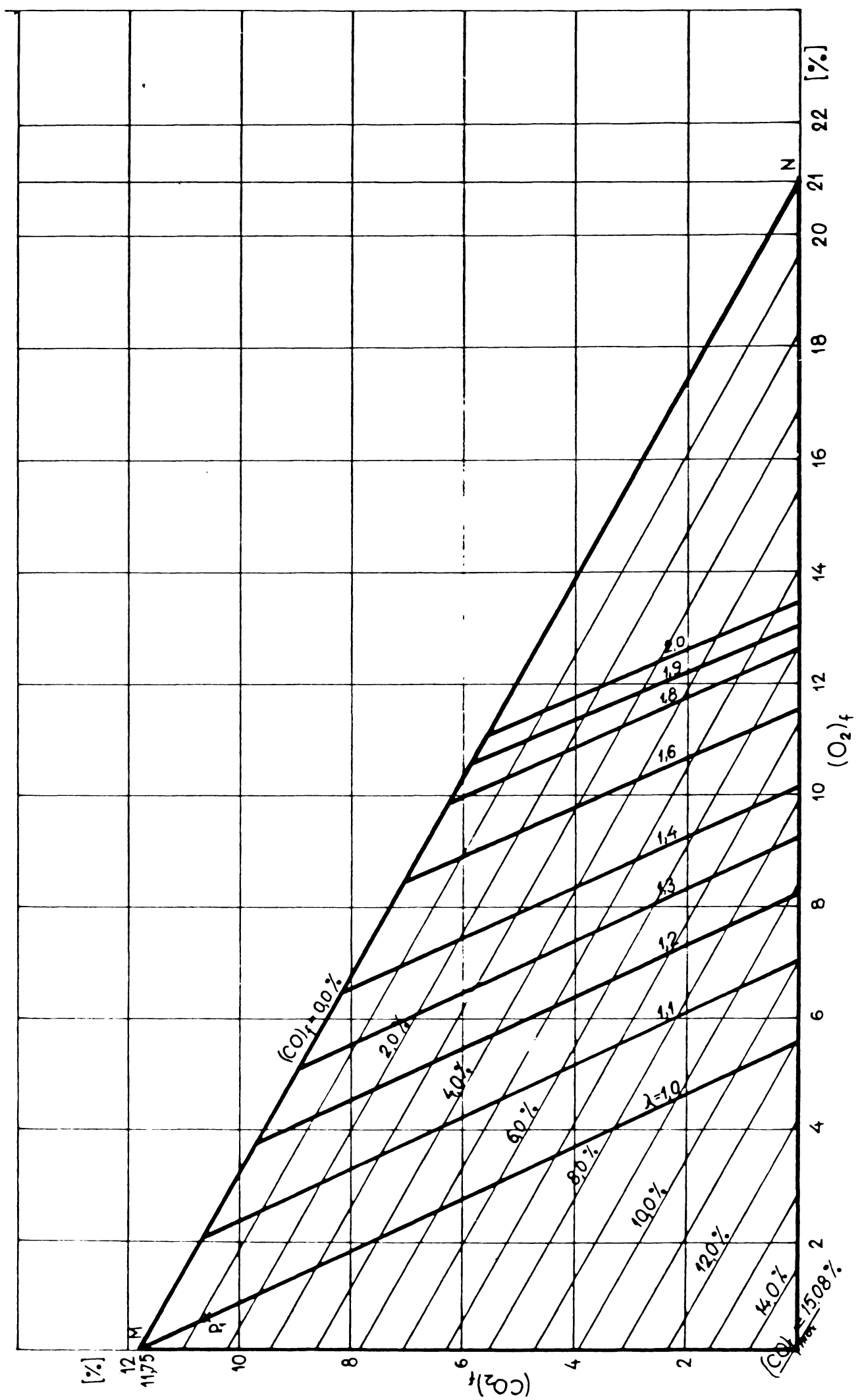


Fig. 2.3.2

temperatura teoretică de ardere cît și valoarea temperaturii reale de ardere pentru diferite valori ale coeficientului excesului de aer.

Pornind de la ideea că încălzirea și răcirea gazelor în spațiul de lucru al cupoarelor precum și în recuperatoarele diferente, are loc, practic, la presiune constantă, egală aproximativ cu presiunea atmosferică, în calculele termice se admit valoările capacităților calorice specifice la presiune constantă, raportate la unitatea de volum.

Valoarea entalpiei aerului teoretic necesar arderii rezultă din relația :

$$I_{L \text{ min.}} = L_{\text{min.}} \cdot c_a \cdot t_a \quad [\text{KJ/m}^3 \text{ N}] \quad (2.3.18)$$

în care c_a este capacitatea calorică specifică a aerului umed cu un conținut de umiditate $d = 10 \text{ g/Kg}$. De altfel, produsul $c_a \cdot t_a = i_a$ este tabelat [44] împreună cu entalpiile specifice ale CO_2 , N_2 , H_2O , în funcție de temperatura gazelor arse.

Entalpia volumului teoretic de gaze arse se calculează în conformitate cu compoziția sa, după formula :

$$I_{V \text{ gt}}^0 = V_{\text{CO}_2} \cdot i_{\text{CO}_2} + V_{\text{N}_2} \cdot i_{\text{N}_2} + V_{\text{H}_2\text{O}} \cdot i_{\text{H}_2\text{O}} \quad [\text{KJ/m}^3 \text{ Nc}] \quad (2.3.19)$$

iar entalpia volumului real de gaze arse se calculează după relația :

$$I_{V \text{ gt}} = I_{V \text{ gt}}^0 + (\lambda - 1) I_{L \text{ min.}} \quad [\text{KJ/m}^3 \text{ Nc}] \quad (2.3.20)$$

Ridicarea diagramei $I - t$ va rezulta din rezultatele calculelor executate după relațiile (2.3.18 - 2.3.20), centralizate în Tab. 2.3.2. care în ultima linie concentrează entalpia volumului de gaze teoretic. Adăugînd la această valoare succesiv entalpia excesului de aer ($0,1 \cdot I_{L \text{ min.}}$) se obțin toate valorile necesare trasării diagramei.

În figura 2.3.3. este prezentată diagrama $I - t$ a gazelor de ardere a gazului natural cu compoziția volumetrică conform relației (2.3.3), pentru diferite valori ale coeficientului excesului de aer.

Tab. 2.3.2.

Entalpia [KJ/m ³ Nc]		Temperatura gazelor arse [°C]									
		200	400	600	800	1000	1200	1400	1600	1800	2000
$I_{CO_2} - V_{CO_2} \cdot {}^1CO_2$		358,9	775,1	1227,3	1710,6	2210,7	2727,7	3253,1	3782,7	4320,6	4862,8
$I_{H_2O} - V_{H_2O} \cdot {}^1H_2O$		656,4	1350,7	2085,6	2826,0	3719,8	4595,6	5516,6	6473,6	7457,8	8469,0
$I_{N_2} = V_{N_2} \cdot {}^1N_2$		1959,9	3970,4	6059,7	8426,8	10478,3	12782,2	15149,3	17421,7	19915,1	22345,2
$I_{V^o} = I_{CO_2} + {}^1H_2O + {}^1N_2$		2975,2	6096,2	9372,6	12963,4	16408,8	20105,5	23919	27678	31693	35677
$I_{V^o,1} I_L \min.$		60,6	123,3	188,8	257,3	326,8	399,2	472,6	546,9	621,2	697,5
$I_{V^g t}$	$\lambda = 1,1$	3035,8	6219,5	9561,4	13220,7	16735,6	20504,7	24391,6	28224,9	32314,7	36374,5
$I_{V^g t}$	$\lambda = 1,2$	3096,4	6342,8	9750,2	13478	17062,4	20903,9	24864,2	28771,8	32935,9	37072
$I_{V^g t}$	$\lambda = 1,4$	3217,6	6589,4	10127,8	13992,6	17716	21702,3	25809,4	29865,6	34178,3	38467
$I_{V^g t}$	$\lambda = 1,6$	3338,6	6836	10505,4	14507,2	18369,6	22500,7	26754,6	30959,4	35420,7	39862
$I_{V^g t}$	$\lambda = 1,9$	3520,4	7205,9	11071,8	15279,1	19350	23698,3	28172,4	32600,1	37284,3	41954,5

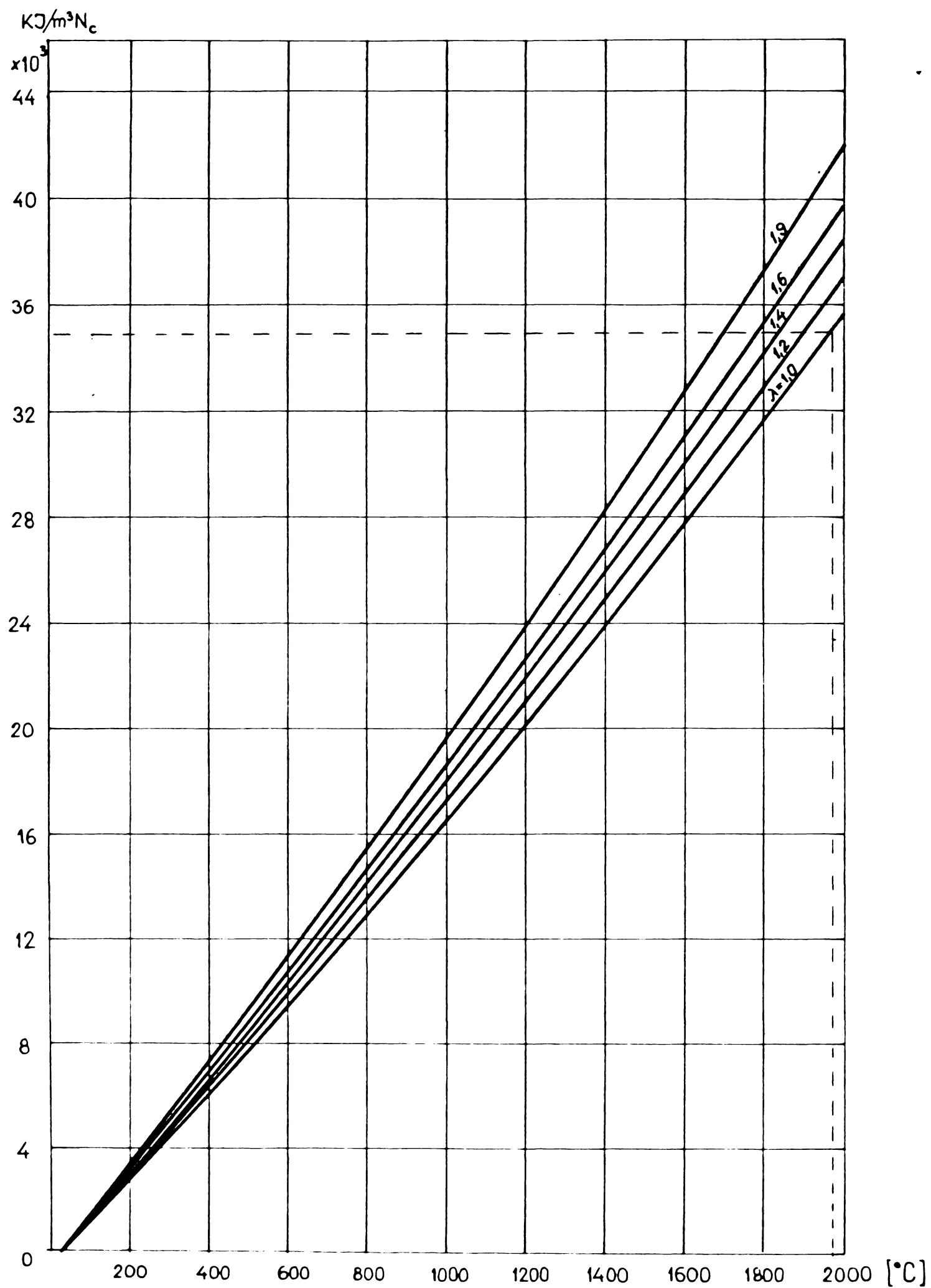


Fig. 2.3.3

Măsurarea temperaturii gazelor de ardere precum și a zidăriei cuptorului și probei de încălzit este afectată de existența unor erori de care s-a ținut seama la centralizarea și prelucrarea datelor. Bazele teoretice pentru calculul erorilor de măsurare a temperaturilor fac obiectul subcapitolului 2.4.

2.4. Analiza erorilor la măsurarea temperaturii

Datorită diferenței de temperatură stabilită între temperatura sondei și corpul sau fluidul a cărui temperatură se măsoară, apare o eroare de măsurare, întrucât în mod real este măsurată valoarea temperaturii sondei.

Diferența apare ca rezultat al transferului de căldură dintre sondă și mediul ambient.

În condițiile măsurării temperaturii fluidelor cu viteze mari de curgere apar diferențe suplimentare de temperatură datorită transformării energiei cinetice în energie termică în stratul limită din jurul sondei.

Eroarea datorată transferului de căldură apare datorită transferului termic prin conductibilitate și radiație dintre peretii sondei (mai calzi sau mai reci decât fluidul) și fluid.

În condițiile măsurătorilor efectuate asupra materialului de lucru din incinta cuptorului, termocuplul după ce a traversat zidăria cuptorului (mantaua metalică, stratul de azbest, stratul de diatomită și șamotă) a ajuns în contact cu punctul de măsură din material trecind printr-o teacă din oțel refractar inoxidabil, conform cu figura 2.4.1.

Teaca termocuplului de lungime l, în regim termic staționar va avea o temperatură $t_{t,x}$ depinzînd de distanța x de la perete, valoare ce este dictată de convecția ce are loc dintre fluidul din camera de lucru cu temperatura t_f și conductia cu zidăria care are o temperatură t_p .

Considerînd transferul termic unidimensional, rezultă că :

$$\dot{Q}_x = - \lambda \cdot A \cdot \frac{d t_{tx}}{d x} \quad (2.4.1)$$

și

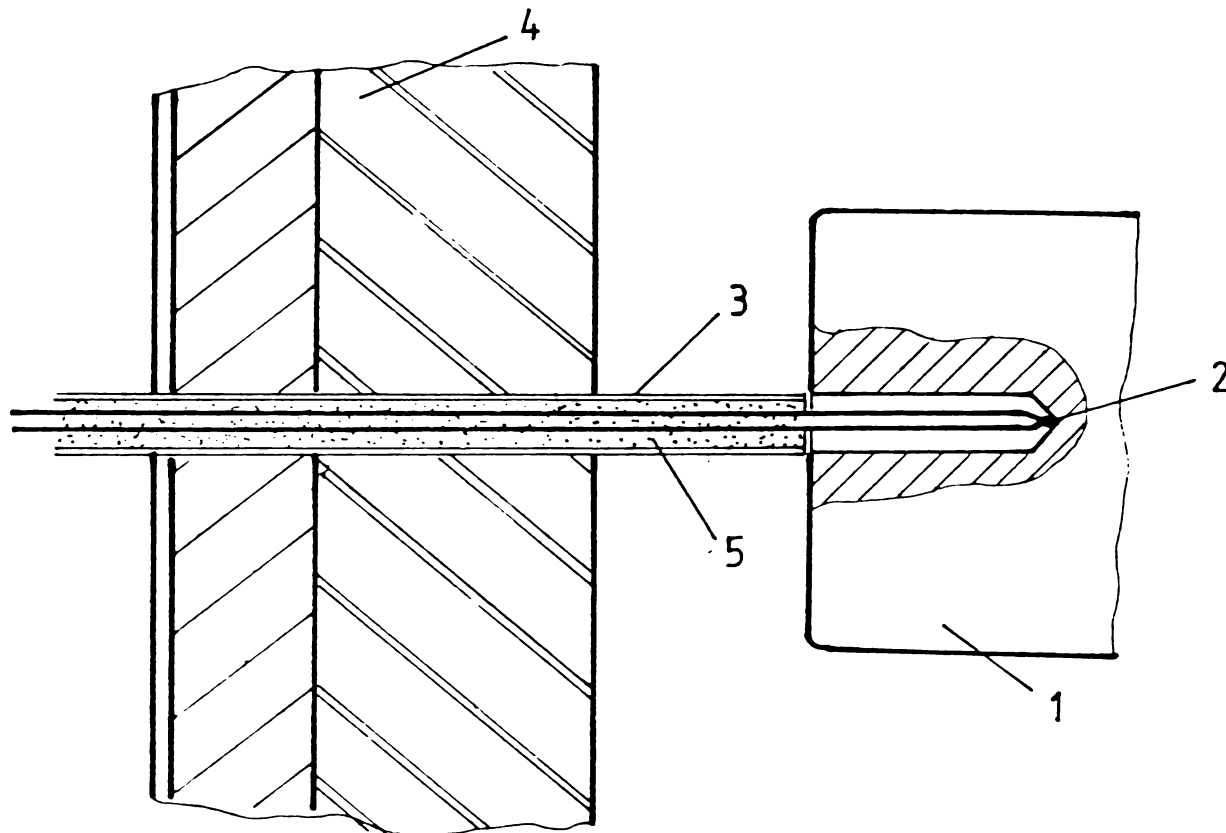


Fig. 2.4.1.

- 1 - materialul de încălzit (proba) ;
- 2 - sudura caldă a termocuplului ;
- 3 - teaca din oțel inox ;
- 4 - zidăria cuptorului ;
- 5 - pulbere izolatoare .

$$\dot{Q}_{x+dx} = - \lambda \cdot A \left(\frac{dt_{tx}}{dx} + \frac{d^2 t_{tx}}{dx^2} dx \right) \quad (2.4.2)$$

unde : λ - conductibilitatea termică a tecii [W/mK] ;

A - aria secțiunii tecii [m^2] ;

α - coeficientul de convecție [W/ m^2 K] ;

d_t - diametrul exterior al tecii [m] ;

A_c - suprafața laterală a tecii [m^2] ,

iar schimbul convectiv este

$$\dot{Q}_{cx} = \alpha \cdot \pi \cdot d_t (t_{tx} - t_f) dx \quad (2.4.3)$$

rezultînd

$$\dot{Q}_{x+dx} - \dot{Q}_x + \dot{Q}_{cx} = 0 \quad (2.4.4)$$

adică

$$\frac{d^2 t_{tx}}{dx^2} - \frac{4\alpha}{\lambda d_t} t_{tx} = - \frac{4\alpha}{\lambda \cdot d_t} \cdot t_f \quad (2.4.5)$$

Punind condițiile la limită

$$t_{t_0} = t_p \quad \text{și} \quad \frac{d t_{tl}}{d l} = 0 \quad (2.4.6)$$

soluția va fi tocmai eroarea prin conductibilitate

$$e_c = t_{tl} - t_f = \frac{t_p - t_f}{ch \cdot l \left(\frac{4 \cdot \alpha}{d_t \cdot \lambda} \right)^{0,5}} \quad (2.4.7)$$

Din observarea relației erorii rezultă că lungimea tijei are influența cea mai mare, coeficientul de convecție α se poate amplifica prin creșterea vitezei fluidului dar apar erori suplimentare de viteză. La valori mici ale cifrei Reynolds, așa cum se prezintă situația și în cazul experimentărilor și chiar la cuptoarele industriale, lungimea necesară reprezintă 20 ... 50 diametre.

Influența transferului termic prin radiație, dintre sondă și pereti, se separă de transferul prin conductie, în plus $d t_t/d x = 0$ ca și radiația gazelor de ardere din incinta camerei de lucru, relația finală devenind :

$$e_r = t_t - t_f = \frac{k_r \cdot \sigma \cdot \varepsilon \cdot A_r}{\alpha \cdot A_c} (T_p^4 - T_t^4) \quad (2.4.8)$$

unde : σ - coeficient de negreală a suprafeței tecii ($= 0,85$);

A_r - suprafața tecii disponibilă radiației m^2 ;

k_r - coeficient de formă .

Temperatura zidăriei (t_p) influențează cel mai mult valoarea erorii, fiind de dorit ca ea să fie foarte apropiată de temperatura gazelor din cuptor (t_f) .

Evitarea erorii de radiație se face prin ecranarea sondei, evitându-se radiația directă a sondei la perete, ecranele dobândind o temperatură mult mai apropiată de a fluidului. În cadrul experimentărilor, măsurarea temperaturii gazelor din spațiul de lucru al cuptorului s-a efectuat cu termocouple ecranate cu două tuburi concentrice din folie de aluminiu, distanța dintre ecrane fiind de 2 mm .

În condițiile măsurării temperaturii peretilor cuptorului, care reprezintă, de fapt, ca număr cele mai numeroase puncte de măsură și cele mai importante totodată, termocuplul a fost montat cu lipitură caldă chiar pe suprafața peretelui sau în planul de sepa-

rare dintre peretele refracțiar și cel izolator.

Astfel montat, termocuplul absoarbe căldură din zona de măsurare (zona de contact), prin conductie în lungul firelor termocuplului și prin convecție lateral.

Temperatura în zona de contact t_j măsurată efectiv de termocuplu diferă de temperatura peretelui t_p (fără termocuplu). Eroarea relativă, datorită prezenței termocuplului va fi :

$$e_t = \frac{t_p - t_j}{t_p - t_f} = \frac{\Sigma - \pi \cdot r_o^2 \cdot \alpha}{\Sigma + \lambda \cdot r_o \cdot Q_j} \quad (2.4.9)$$

unde

$$\Sigma = \lambda_1 A_1 \cdot m_1 \ln m_1 \cdot l + \lambda_2 \cdot A_2 \cdot m_2 \cdot \ln m_2 \cdot l \quad (2.4.10)$$

$$m_1 = \sqrt{C_1 \cdot \alpha / \lambda_1 \cdot A_1 \frac{\alpha \cdot \varphi_1}{\lambda_1} \frac{d_t - d_1}{1 + d_1/d_t}} \quad (2.4.11)$$

unde : \dot{Q}_j - fluxul termic datorat prezenței termocuplului [W] ;
 d_1, d_2 - diametrul electrozilor termocuplului [m] ;
 A_1, A_2 - aria secțiunii electrozilor [m^2] ;
 C_1, C_2 - suprafața exterioară pe unitatea de lungime [m^2/m] ;
 λ_1, λ_2 - conductibilitatea termică a electrozilor [W/mK] ;
 α - coeficientul convecției termice [$W/m^2 K$] ;
 l - lungimea electrozilor [m] .

Reiese că reducerea lungimii conductoarelor și a diametrului lor reduce eroarea datorată prezenței termocuplului.

În cadrul experimentărilor s-au utilizat termocouple cu lungimea redusă la minim (250 - 350 mm) avînd un diametru de 0,3 mm .

Se are în vedere faptul că în timpul experimentărilor regimul termic de încălzire a probei și zidăriei are, de fapt, un caracter nestaționar. Astfel apar erori determinate de întîrzierea cu care termocuplul urmărește variația de temperatură, întîrzierea depinzînd de acumularea de căldură în elementul sensibil și de caracterul transferului termic.

Astfel, neglijînd pierderile de căldură prin termoelement, ecuația conservării energiei are forma :

$$k \cdot A (t_f - t_t) dT = m \cdot c \cdot d \cdot t_t \quad (2.4.12)$$

sau

$$\frac{dt_t}{dt} + \frac{1}{C} \cdot t_t = \frac{1}{C} t_f \quad (2.4.14)$$

unde

$$C = m \cdot c / k \cdot A \quad (2.4.13)$$

reprezintă constanta de timp a termoelementului.

k - coeficientul global de transfer termic [$\text{W/m}^2 \text{ K}$] ;

m - masa termoelementului [Kg] ;

c - căldura specifică [$\text{J/Kg} \cdot \text{K}$] ;

A - suprafața de transfer [m^2] .

Această constantă reprezintă comportarea dinamică a sistemului (de ordinul întâi) sensibil propriu-zis. Măsurările de temperatură în cadrul experimentărilor s-au efectuat cu termoelemente fără protecție cu teacă în zona lipiturii calde, tocmai în scopul reducerii constantei de timp.

În general, termoelementul se află amplasat în teacă de cjeil termorezistent sau ceramică. Această variantă s-a utilizat într-o primă etapă la măsurarea temperaturii gazelor arse la intrarea și ieșirea din recuperatorul cu țevi precum și a aerului preîncălzit.

Astfel, iar apar două ecuații, pentru teacă și pentru termoelementul propriu-zis și, deci, două constante de timp :

$$C = \frac{m \cdot c}{k \cdot A}, \text{ pentru termoelement} \quad (2.4.15)$$

și

$$C_{tc} = \frac{m_{tc} \cdot C_{tc}}{k_{tc} \cdot A_{tc}} \quad (2.4.16)$$

Evident, comportarea termoelementelor cu teacă presupune o întârziere mai mare la percepere și măsurarea temperaturii, motiv pentru care în afara termorezistenței de platină ce măsoară temperatura aerului preîncălzit, toate termoelementele au fost dezafectate de tecni în zona de măsurare. Pentru compensarea dinamică a elementului sensibil s-a utilizat un circuit RC intercalat între elementul sensibil și instalația de măsurare.

CAPITOLUL 3

REZULTATELE CERCETARILOR DE LABORATOR ASUPRA UTILIZARII PERETILOR REFRACTARI PERMEABILI LA CUPTOARELE DE INCALZIRE SI TRATAMENT TERMIC

3.1. Instalația experimentală de laborator

Instalația experimentală constă dintr-un cuptor cu flacără înțoarsă (fig. 3.1.1.) având dimensiunile camerei de lucru $500 \times 500 \times 540$ mm cu un volum de $0,135 \text{ m}^3$.

S-a utilizat combustibil gazul natural, la o presiune după reductorul - regulator, de 350 mm H_2O . Pentru arderea combustibilului s-a utilizat un arzător "Tricem 3" de tipul cu jet paralel fără preamestec, modificat prin alezarea conductei de gaz pe suprafața cilindrică cu orificii $\varnothing 4$ mm și montarea aripioarelor pentru perturbionarea gazului (în interiorul conductei) și a aerului (pe suprafața conductei) pentru a realiza o preamestecare în corpul arzătorului și în scopul asigurării unei mai bune stabilități a flăcării.

Prin aceste modificări s-a putut mări și reglabilitatea arzătorului pînă la 1 : 3, astfel că debitul minim a atins valoarea de $1,8 \text{ m}^3/\text{N}/\text{h}$ și cel maxim de $5,4 \text{ m}^3/\text{N}/\text{h}$.

Aerul necesar arderii se asigură de un ventilator centrifugal a cărui debit se reglează pe refulare.

Înainte de a intra în procesul de ardere, aerul este preîncălzit într-un recuperator - preîncălzitor de aer, metalic cu țevi $\varnothing 25$ de tipul echicurent combinat cu curent încrucișat (figura 3.1.2.).

Gazele care sănătăte evacute din spațiul de lucru al cuptorului cu ajutorul unui exhaustor cu debitul reglat pe aspirație.

În spațiul de lucru al cuptorului, după cum reiese din figură, drumul gazelor este (fig. 3.1.6) în formă de U atât în sistemul de zidărie clasică cât și cu zidăria permeabilă.

Proba de încălzire a constat din laminat în profil patrat $100 \times 100 \times 290$ mm din oțel OSC și profil rotund $\varnothing 80 \times 270$ mm.

Temperatura probei s-a măsurat cu termocouple Cromel - Alumel în trei puncte (pe suprafață, la mijloc și la capătul anterior

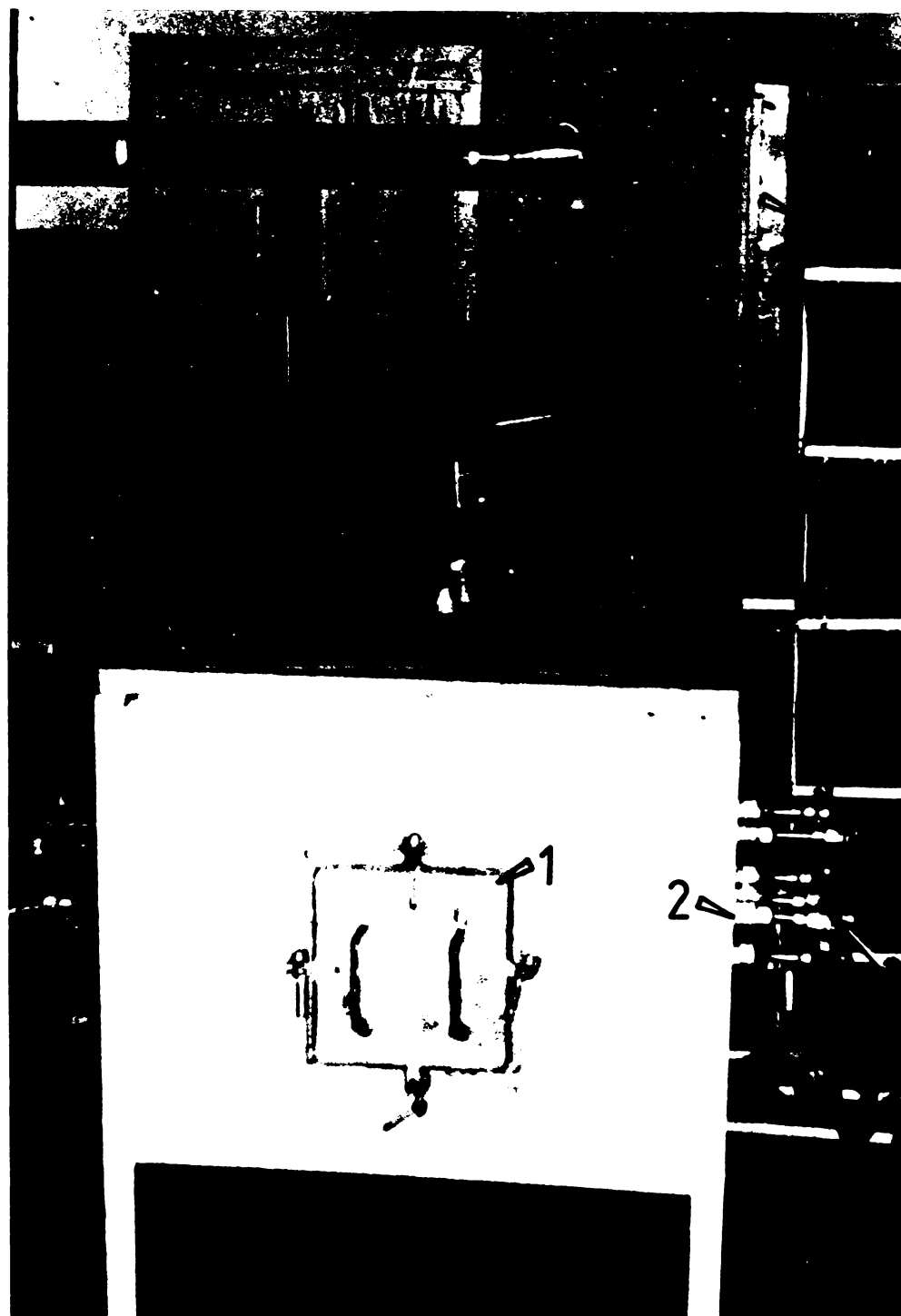


Fig. 3.1.1.

- 1 - ușa cuptorului ;
- 2 - termocouple ;
- 3 - cabluri de compensație aferente termocuplelor ;
- 4 - conductă de evacuare a gazelor de ardere .

și în centru la mijloc), precum și la suprafața superioară prin vizare prin bolți cu pirometrul optic.



Fig. 3.1.2.

- 1 - conducta de intrare a aerului de ardere ;
- 2 - conducta de ieșire a aerului preîncălzit ;
- 3 - intrarea gazelor de ardere ;
- 4 - conducta de gaz natural ;
- 5 - arzătorul cuptorului .

Temperatura zidăriei cuptorului (în șapte puncte), s-a măsurat tot cu termoelemente Cromel - Alumel în diferite zone :

- pereți laterali, la fața interioară în trei zone și la separarea zidăriei refractare de cea izolatoare ;
- vatră, la 60 mm de suprafață și la 125 mm ;
- boltă, la fața interioară .

Temperatura gazelor din spațiul de lucru s-a măsurat cu o termocuplă ecranată pentru a evita erorile datorate radiației gazelor. Toate aceste valori de temperaturi sunt înregistrate pe diagrame.

S-a măsurat, de asemenea, temperatura gazelor de ardere la ieșirea din cuptor și intrarea în recuperator, la ieșirea din recuperator precum și temperatura aerului la intrarea și ieșirea din recuperatorul preîncălzitor de aer.

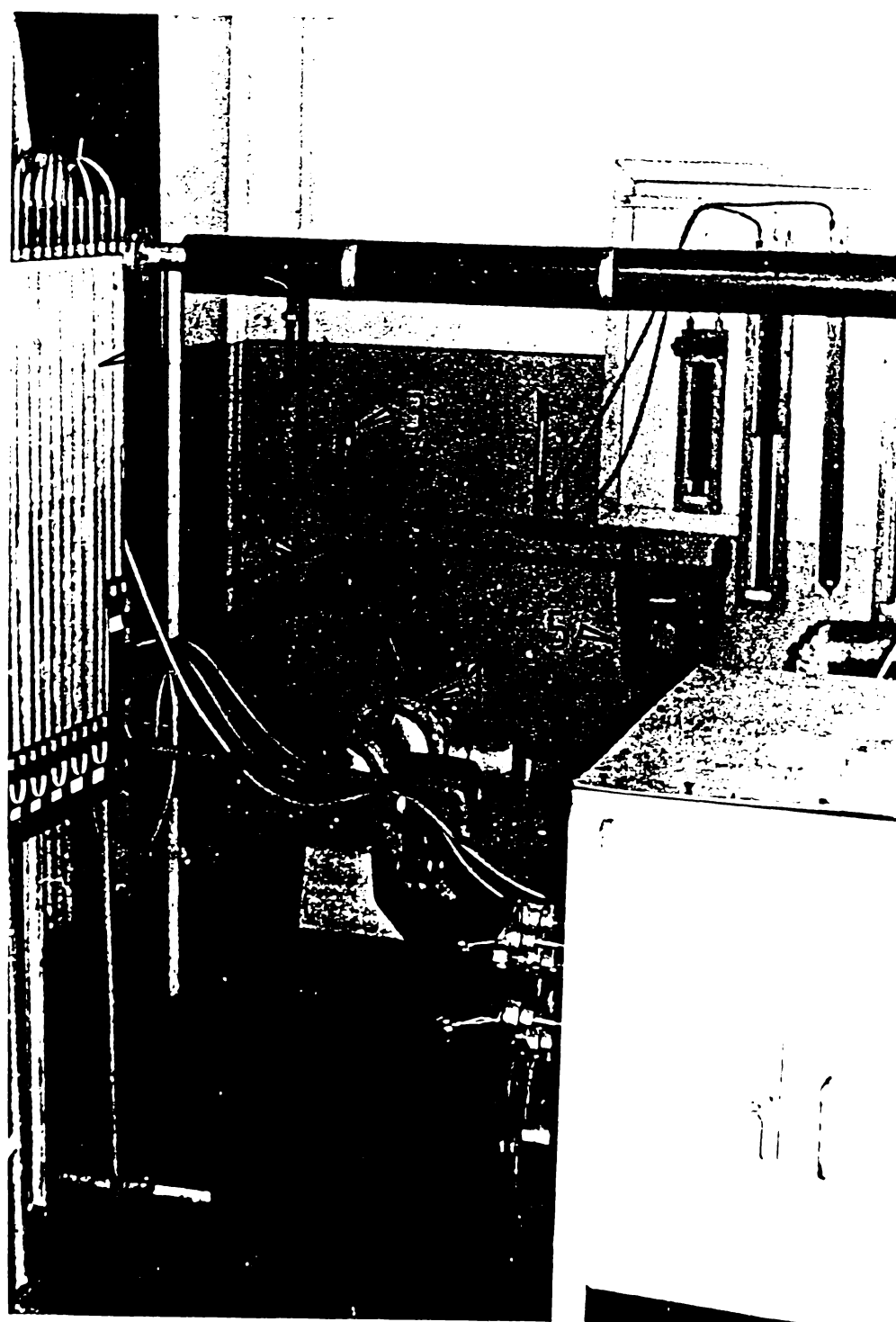


Fig. 3.1.3.

- 1 - traductoare de debit ;
- 2 - ciclografii (pentru aer) ;
- 3 - regulator de presiune pentru gaz natural ;
- 4 - panou cu piezometre ;
- 5 - centru pentru gaze naturale consumate .

Măsurarea debitului de gaz natural s-a realizat pe trei variante: prin contorizare, cu diafragmă cu prize la față și piezometru și cu diafragmă, traductor electronic ELT 370 A 1 de presiune diferențială și aparat indicator - înregistrator E L R 45.

Debitul de aer s-a măsurat pe două căi, prin măsurarea directă a căderii de presiune în diafragma cu prize la față și cu traductor electronic ELT 370 A 1 și aparat indicator - înregistrator E L R 45, iar debitul de gaze arse, cu ajutorul diafragmei și a piezometrului.

Presiunea din cuptor s-a determinat cu micromanometrul, prin sonda de presiune plasată în zona a 2-a a camerei de lucru, prelevându-se și probele pentru analiza chimică a gazelor arse.

Dispunerea punctelor de măsură a temperaturii zidăriei clasice și probei (fig. 3.1.4.) precum și a zidăriei cuptorului cu

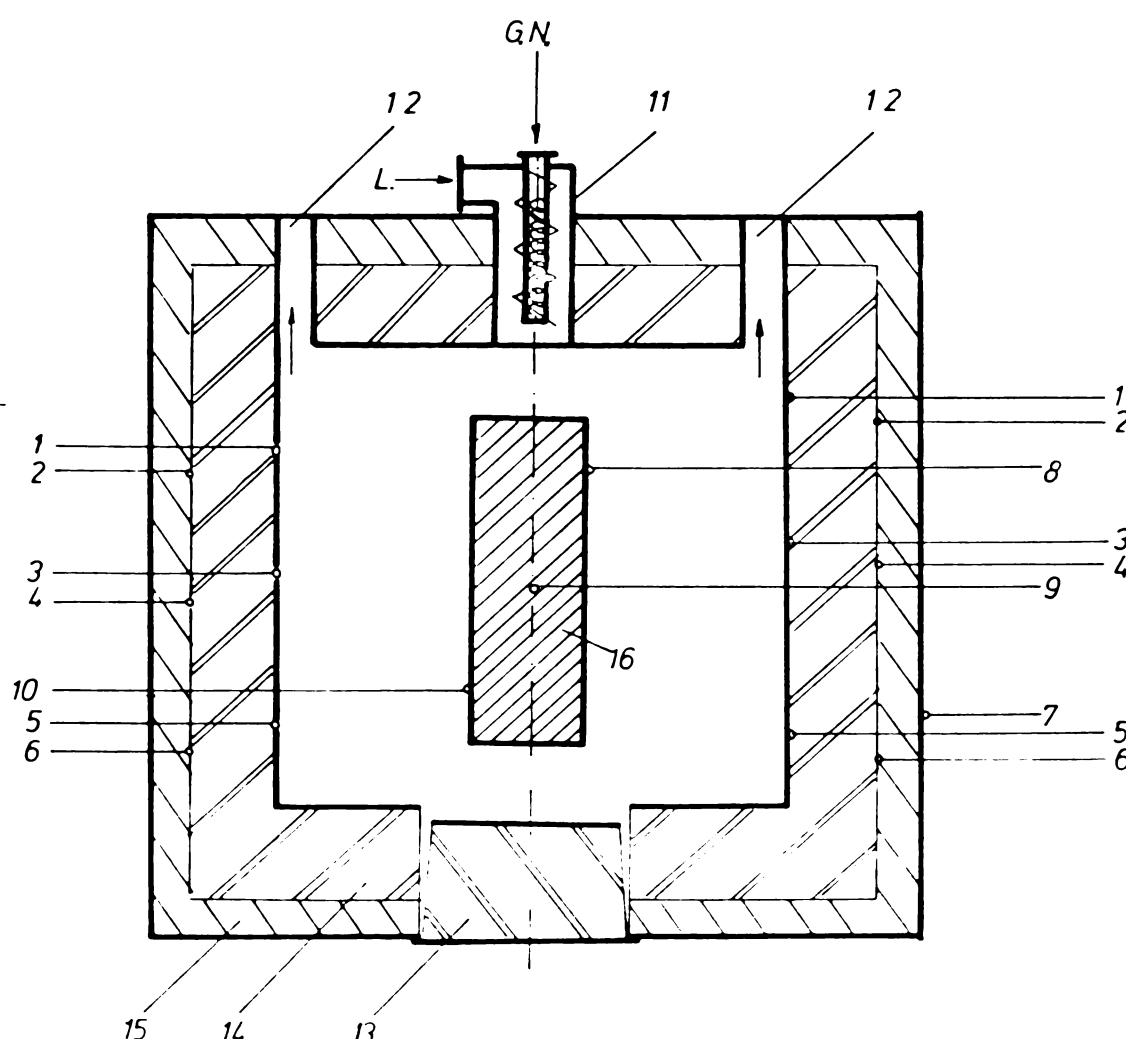


Fig. 3.1.4. Amplasarea punctelor de măsurare a temperaturii în cuptorul cu zidărie clasică ;

1,3,5 - temperatura zidăriei refractare normală pe față interioară în cele trei zone de temperatură ;

2,4,6 - temperatura zidăriei refractare normală pe față exterioară în cele trei zone de temperatură ;

- 7 - temperatura zidăriei la exterior ;
- 8, 9, 10 - temperatura probei ;
- 11 - arzătorul de gaz natural ;
- 12 - canalele de fum ;
- 13 - uşa cuptorului ;
- 14 - zidăria de şamotă RC 73 ;
- 15 - zidăria izolatoare de diatomită ;
- 16 - proba din oțel OSC .

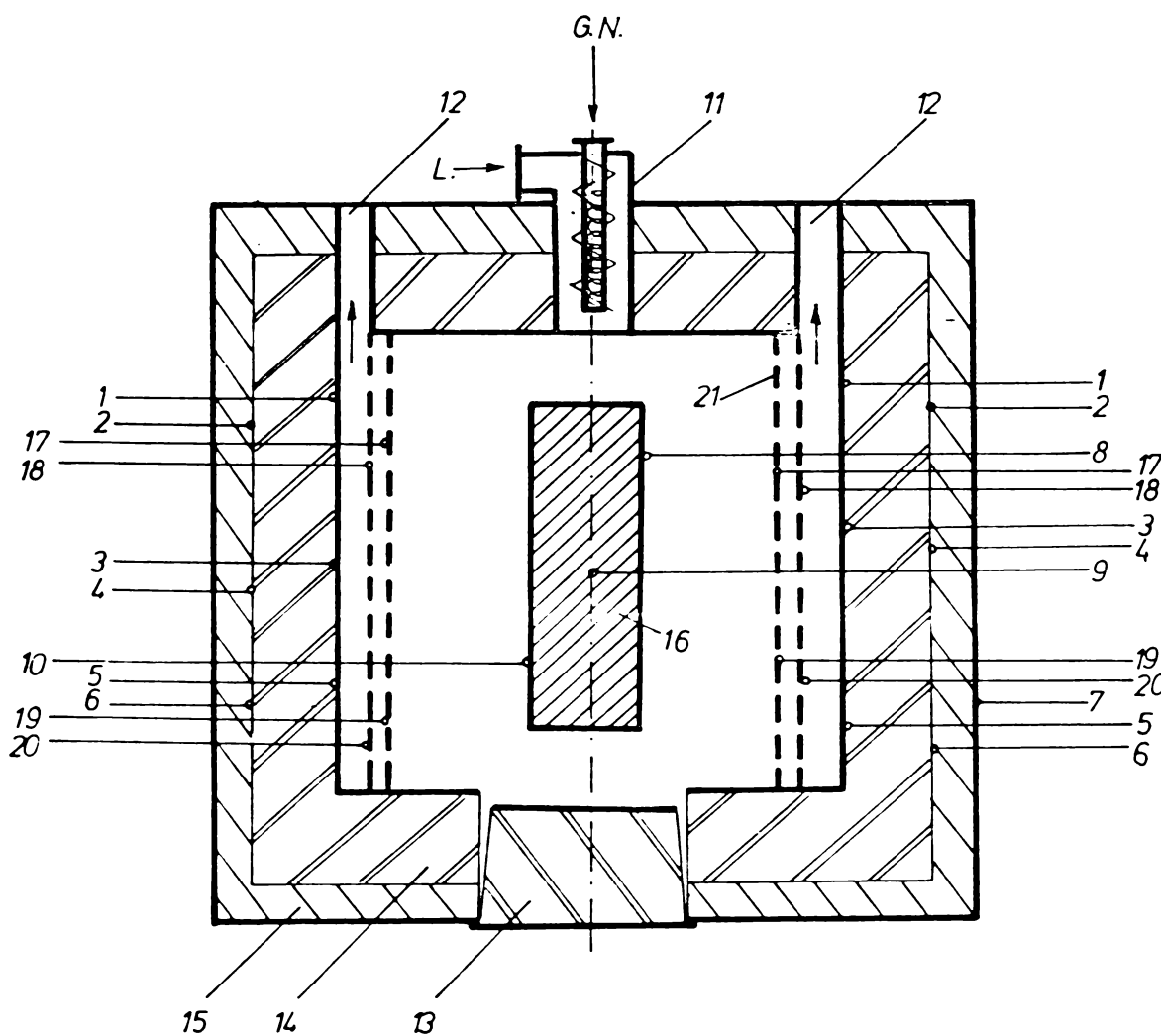


Fig. 3.1.5.

- 1 - 16 - idem ca în fig. 3.1.4. ;
- 17 - temperatura peretelui refractar permeabil pe fața interioară în zona 1 ;
- 18 - temperatura peretelui refractar permeabil pe fața exterioară în zona 1 ;
- 19 - temperatura peretelui refractar permeabil pe fața interioară în zona 2 ;
- 20 - temperatura peretelui refractar permeabil pe fața exterioară în zona 2 .

pereți refractari permeabili (figura 3.1.5.) s-a ales astfel ca după montarea pereților permeabili să existe posibilitatea măsurării temperaturii acestora în aceleasi zone ca și la zidărie normală în scopul creării posibilităților de comparare.

Pentru a se evita erorile provocate de radiație a flăcării asupra lipiturii calde a termocuprelor plasate pe suprafața interioară a zidăriei clasice și permeabile, acestea au fost ecranate cu mortar din șamotă cu grosimea sub 1 mm. În acest fel, termocuprele îm cauză măsoară temperatura reală a zidăriei și nu temperatura gazelor din spațiul de lucru al cuptorului.

De remarcat că toate termocuprelor au fost dezafectate de teacă pentru reducerea inertiei de măsurare, avînd în vedere dinamica intensă de variație a temperaturii în cuptor.

Amplasarea tuturor punctelor de măsură a parametrilor termo-dinamici la funcționarea cuptorului cu zidărie clasică rezultă din figura 3.1.6. iar din figura 3.1.7. reiesind disponerea aparatelor de măsură pentru instalația la care s-a montat și zidăria permeabilă. În Tabelul (3.1.1.) sînt centralizate punctele de măsură și apărantele aferente, pentru ambele sisteme de zidărie, care se regăsesc în figurile 3.1.6. și 3.1.7.

Tabelul 3.1.1.

Nr. crt.	Locul de măsură	Instrumentul de măsură	Obs.
0	1	2	3
1.	Temperatura materialului la suprafață	Cromel-Alumel E 1 36	S-a utilizat și Pt-Pt Rh
2.	Temperatura materialului în centru	Cromel-Alumel E 1 36	Pt-Pt Rh
3.	Temperatura materialului la suprafață	Cromel-Alumel E 1 36	Pt-Pt Rh
4.	Temperatura peretelui clasic la interior (st.)	Cromel-Alumel E 1 36	
5.	Temperatura peretelui clasic la interior (dr.)	Cromel-Alumel	
6.	Temperatura peretelui la separarea cu stratul izolator(st.)	Cromel-Alumel	
7.	Temperatura peretelui la separarea cu stratul izolator(dr)	Cromel-Alumel	
8.	Temperatura mantalei	Fe - Const.	
9.	Temperatura boltii	Cromel-Alumel	
10.	Temperatura spațiului de lucru	Cromel-Alumel	Pt-Pt Rh
11.	Temperatura în vatră(60 mm)(t)	Cromel-Alumel	

o	1	2	3
12.	Temperatura în vatră (123 mm) ()	Cromel-Alumel	
13.	Temperatură aer preîncălzit	Termorezistentă Pt	
14.	Temperatură intrare gaze arse în recuperator	Cromel-Alumel	
15.	Temperatură ieșire gaze arse din recuperator	Cromel-Alumel	
16.	Diafragmă pentru gaz natural	Piezometru ELR 36	să măsu- rat și cu contor cu burduf
17.	Diafragmă pentru aer	Piezometru ELR 36	
18.	Diafragmă gaze arse	Piezometru	
19.	Presiune în cuptor	Micromanometru	
20.	Presiune gaze arse	Piezometru	
21.	Presiune gaz natural	Piezometru	
1p	Temperatură perete permeabil pe față interioară.	Cromel-Alumel	La cuptor cu zidărie permeabilă
2p	Temperatură perete permeabil pe față exterioară	Cromel-Alumel	- " -
3p	Temperatură perete permeabil pe față exterioară	Cromel-Alumel	- " -
4p	Temperatură perete permeabil pe față interioară	Cromel-Alumel	- " -
1T	Traductor de presiune diferențială	E L T 370 A 1	H=300 mm CA
2T	Traductor presiune diferențială	E L T 370 A 1	H=50 mm CA

3.2. Calculul termic al zidăriei normale (de bază) aferentă

c u p t o r u l u i

Spațiul util de lucru al cuptorului experimental s-a considerat de $0,135 \text{ m}^3$ având dimensiunile $540 \times 500 \times 500 \text{ mm}$. Zidăria se compune din cărămidă de şamotă RC 73, format normal, cărămidă izolatoare din diatomită tot format normal și placă de loamă din azbest. La exterior, cuptorul are o manta din oțel de 4 mm grosime. Calculul de dimensionare a zidăriei a avut următoarele consideranțe :

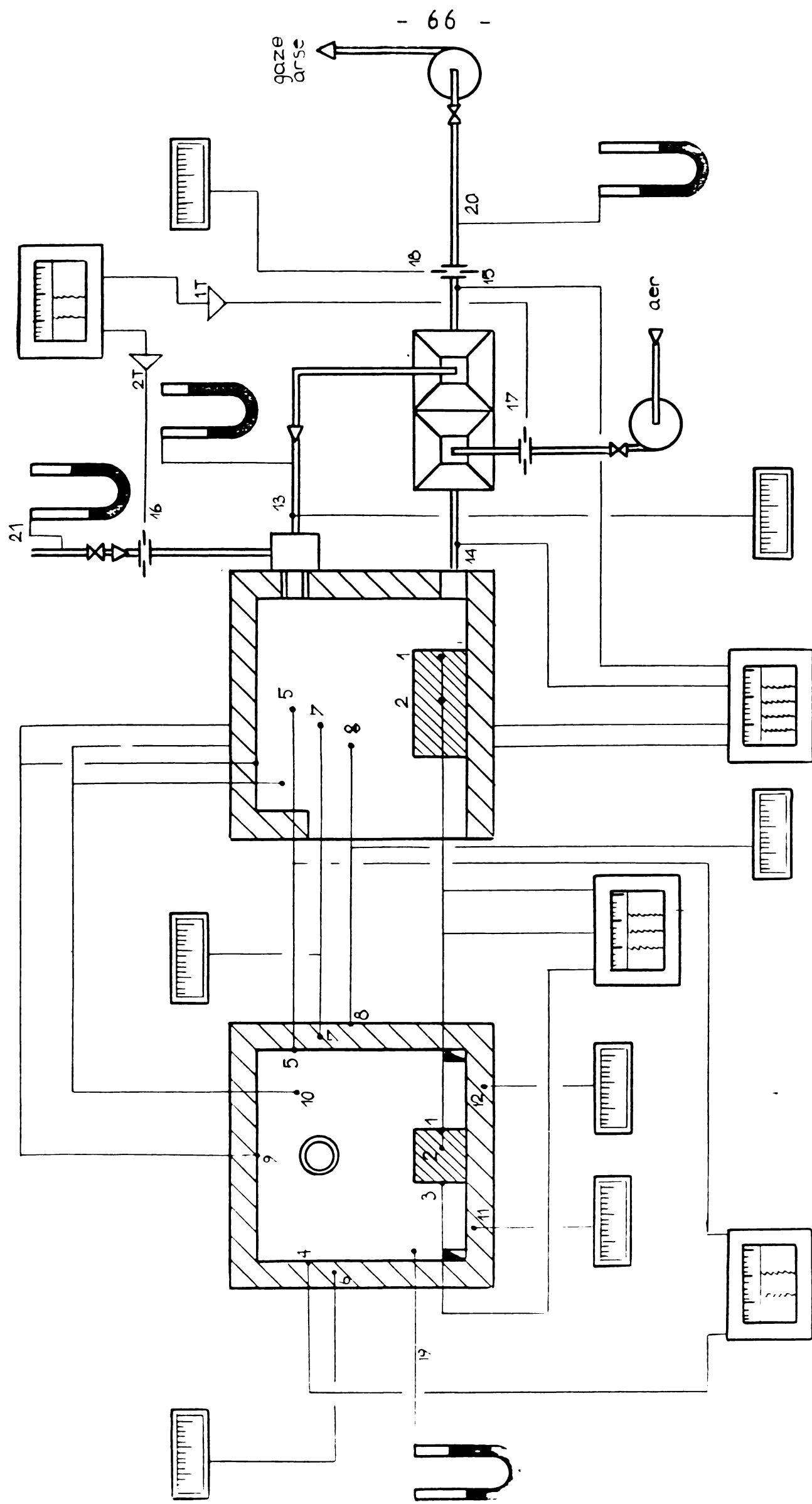


Fig. 3.1.6

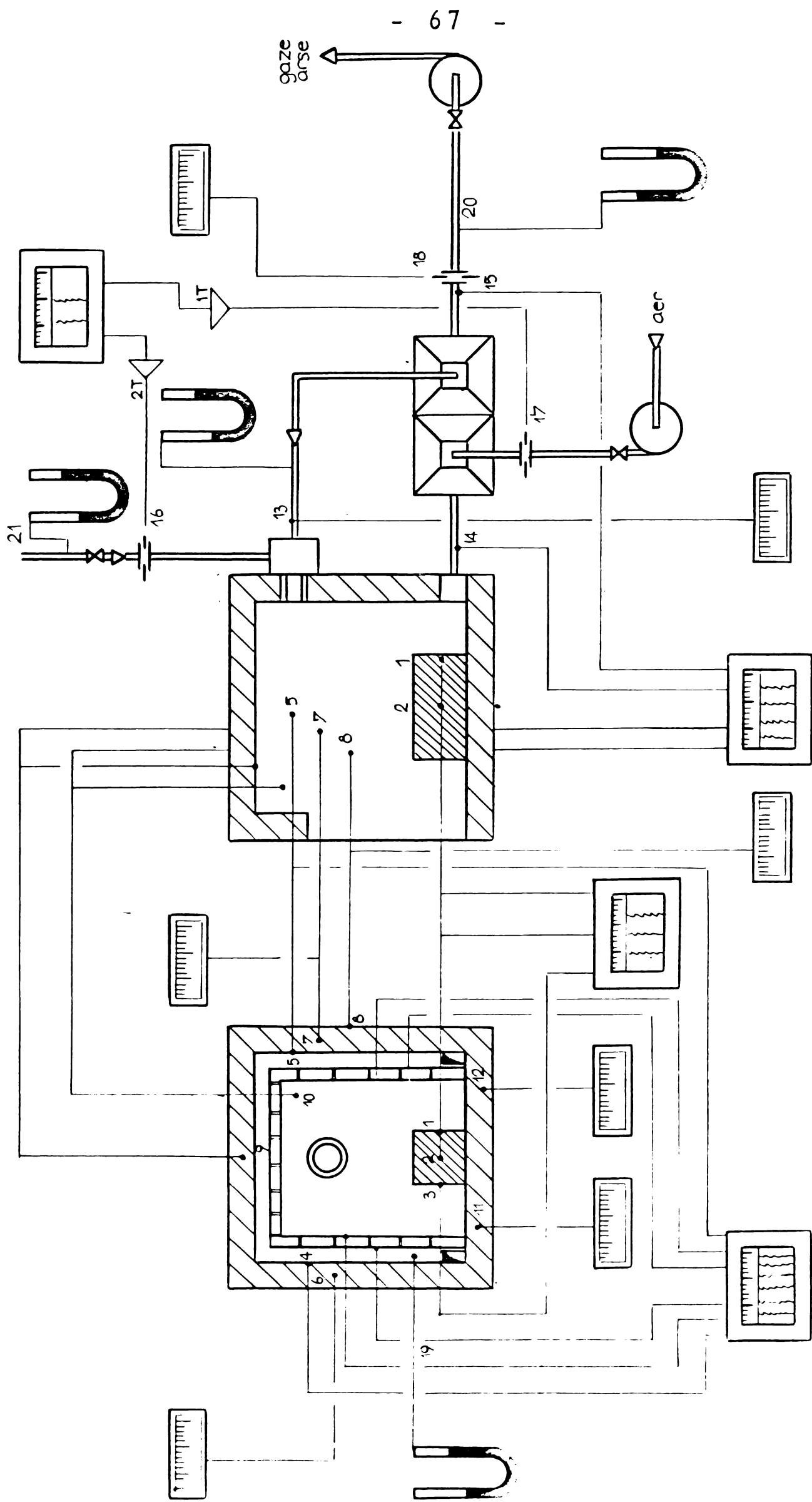


Fig. 3.1.7

- temperatura teoretică de ardere a gazului natural pentru un coeficient al excesului de aer $\lambda = 1,0$ este 1985°C (v. cap. 2, figura 2.3.3.) ;

- conductibilitatea termică și capacitatea calorică specifică pentru cele două tipuri de cărămizi s-au considerat ca valori medii .

Temperatura reală a gazelor arse, măsurată în spațiul de luncru al cuptorului este :

$$t_g = 1178^{\circ}\text{C} \quad (3.2.1)$$

Valoarea coeficientului transmiterii căldurii prin convecție de la zidăria cuptorului la mediul ambiant, rezultă conform [33] :

$$N_u = C (\text{Gr} \cdot \text{Pr})^n \quad (3.2.2)$$

unde :

$$N_u = \frac{\alpha \cdot l}{\lambda} \quad ; \quad \text{Gr} = \frac{g \cdot \beta \cdot \Delta t \cdot l^3}{\nu^2} \quad (3.2.3)$$

și

$$\Delta t = t_p - t_o \quad [\text{ }^{\circ}\text{C}] , \quad (3.2.4)$$

este diferența dintre temperatura peretelui exterior al zidăriei și a mediului ambiant.

α - coeficientul de convecție termică liberă [$\text{W}/\text{m}^2 \text{ K}$] ;

l - lungimea peretelui vertical [m] ;

λ - conductibilitatea termică a aerului [$\text{W}/\text{m K}$] ;

$\beta = \frac{1}{T}$ - coeficientul dilatării termice a aerului [$1/\text{K}$] ;

ν - vîscozitatea cinematică a aerului [m^2/s] .

$$\text{Gr} = \frac{9,8 \cdot 2,53 \cdot 193 (0,9)^3}{10^3 (23,13 \cdot 10^{-6})^2} = 6,75 \cdot 10^9 \quad (3.2.5)$$

$$\text{Pr} = 0,707 \quad (3.2.6)$$

$$\text{Gr} \cdot \text{Pr} = 6,75 \cdot 10^9 \quad (3.2.7)$$

Din [3,2.8], rezultă :

$$C = 0,135 \quad ; \quad n = \frac{1}{3} \quad ; \quad (3.2.8)$$

dacă $N_u = 0,135 \cdot (6,75 \cdot 10^9)^{\frac{1}{3}} = 255,22 \quad (3.2.9)$

$$\alpha = \frac{N_u \cdot \lambda}{l} = \frac{255,22 \cdot 0,028}{0,9} = 7,94 \quad \text{W}/\text{m}^2 \text{ K} \quad (3.2.10)$$

Pentru calculul coeficientului de convecție termică α de la bolta cuptorului la mediul ambient, se procedează în mod analog.

Pentru zidăria formată dintr-un strat de 125 mm șamotă și 75 mm diatomită, coeficientul trecerii căldurii este :

$$K = \frac{1}{\frac{1}{\alpha_1} + \frac{\delta_1}{\lambda_1} + \frac{\delta_2}{\lambda_2} + \frac{1}{\alpha_2}} = \frac{1}{\frac{1}{56} + \frac{0,125}{1,32} + \frac{0,075}{0,12} + \frac{1}{7,94}} \quad (3.2.11)$$

$$K = 1,22 \text{ [W/m}^2 \text{ K]} , \quad (3.2.12)$$

cu ajutorul căruia se calculează valoarea densității fluxului termic în regim staționar :

$$\dot{q} = K (t_g - t_e) = 1291 \text{ [W/m}^2] . \quad (3.2.13)$$

Temperatura la suprafața zidăriei este :

$$t_p = \frac{\alpha_1 \cdot t_g - \dot{q}}{\alpha_1} = 1155^\circ \text{C} \quad (3.2.14)$$

iar la suprafața de separație cu peretele izolator :

$$t_1 = t_p - q \cdot \frac{\delta_1}{\lambda_1} = 1033^\circ \text{C} . \quad (3.2.15)$$

Valoarea coeficientului global de transmitere a căldurii de la gazele arse la zidărie este $\alpha_1 = 56 \text{ [W/m}^2 \text{ K]} [5]$, fiind determinat și experimental, iar temperatura la exteriorul peretelui izolator este :

$$t_2 = t_1 - q \cdot \frac{\delta_2}{\lambda_2} = 191^\circ \text{C} . \quad (3.2.16)$$

Distribuția temperaturii în zidăria normală a cuptorului face obiectul calculelor din subcapitolul 3.3, efectuate în scopul determinării valorii căldurii acumulate în zidărie în diferite etape ale funcționării cuptorului.

3.3. Bilanțul termic al cuptorului cu zidărie normală

Întocmirea bilanțului termic al cuptorului de încălzire din cadrul Laboratorului de Cuptoare s-a efectuat în baza măsurătorilor asupra parametrilor termodinamici, conform descrierii instalației.

Conform compoziției chimice a gazului natural utilizat (v. cap. 2) și potrivit rezultatelor analizei chimice a gazelor de ardere :

$$\begin{aligned} (\text{CO}_2)_f &= 10,6 \% \\ (\text{CO})_f &= 1,1 \% \\ (\text{O}_2)_f &= 0,6 \% \end{aligned} \quad (3.3.1)$$

gradul de perfectiune al arderii rezultă din :

$$(\text{CO})_f = \frac{1,0055 (1 - x)}{9,5542 - 0,5027 x - 0,4955} \quad (3.3.2)$$

$$x = 0,9059 \quad (3.3.3)$$

deci

$$\begin{aligned} V_{\text{CO}_2} &= 0,9059 \cdot 0,9873 + 2 \cdot 0,9059 \cdot 0,0091 = \\ &= 0,9108 \quad [\text{m}^3/\text{m}^3 \text{ Nc}] \end{aligned} \quad (3.3.4)$$

$$\begin{aligned} V_{\text{N}_2} &= 0,79 \cdot \lambda \cdot L_{\min.} + (\text{N}_2)_C = 7,5505 \\ &\quad [\text{m}^3/\text{m}^3 \text{ Nc}] \end{aligned} \quad (3.3.5)$$

$$V_{\text{O}_2} = \lambda \cdot O_{\min.} - O_C = 0,0473 \quad [\text{m}^3/\text{m}^3 \text{ Nc}] \quad (3.3.6)$$

$$V_{\text{CO}} = 0,0946 \quad [\text{m}^3/\text{m}^3 \text{ Nc}] \quad (3.3.7)$$

$$V_{\text{gn}} = 8,6033 \quad [\text{m}^3/\text{m}^3 \text{ Nc}] \quad (3.3.8)$$

- volumul total al gazelor de ardere este :

$$V_{gt} = V_{gu} + V_{H_2O} \quad (3.3.9)$$

unde cantitatea vaporilor de apă

$$\begin{aligned} V_{H_2O} &= 2 \cdot x (\text{CH}_4)_2 + (1 - x) \cdot 2 (\text{CH}_4)_C + 3 \cdot x (\text{C}_2\text{H}_6)_2 + \\ &+ 3 (1 - x) (\text{C}_2\text{H}_6)_2 + \frac{\varrho_a \cdot \lambda \cdot L_{\min.} \cdot d}{1000 \cdot \varrho_{H_2O}} \end{aligned} \quad (3.3.10)$$

$$V_{H_2O} = 2,1326 \quad [\text{m}^3/\text{m}^3 \text{ Nc}] \quad (3.3.11)$$

și

$$V_{gt} = 10,7359 \quad [\text{m}^3/\text{m}^3 \text{ Nc}] \quad (3.3.12)$$

Compoziția volumetrică a gazelor de ardere este :

$$(\text{CO}_2)_{f_u} = \frac{V_{\text{CO}_2}}{V_{gt}} \cdot 100 = 8,48 \%$$

$$\begin{aligned}
 (CO)_{f_u} &= \frac{V_{CO}}{V_{gt}} \cdot 100 = 0,88 \% \\
 (O_2)_{f_u} &= \frac{V_{O_2}}{V_{gt}} \cdot 100 = 0,44 \% \\
 (N_2)_{f_u} &= \frac{V_{N_2}}{V_{gt}} \cdot 100 = 70,34 \% \\
 (H_2O)_{f_u} &= \frac{V_{H_2O}}{V_{gt}} \cdot 100 = 19,86 \% .
 \end{aligned} \tag{3.3.13}$$

Cantitățile de căldură care intră în bilanț sătă:

- căldura dezvoltată prin arderea combustibilului :

$$Q_b = B \cdot H_i \quad [\text{KJ}] \tag{3.3.4}$$

- căldura fizică a aerului de combustie preîncălzit la temperatură medie de 110°C :

$$Q_{f.aer} = \lambda \cdot L_{\min.} \cdot B \cdot i_{aer} \quad [\text{KJ}] \tag{3.3.15}$$

- căldura fizică a combustibilului :

$$Q_{f.comb.} = B \cdot i_{comb.} \quad [\text{KJ}] \tag{3.3.16}$$

Cantitățile de căldură rezultate :

- căldura necesară probei, ținând seama de distribuția cimpului de temperaturi în material :

$$Q_m = m \cdot c \cdot \Delta t \quad [\text{KJ}] \tag{3.3.17}$$

- căldura acumulată în zidărie se calculează conform [61], [51], capacitatea calorică specifică a șamotei RCA 73 depinzând de temperatură, după relația

$$c = 0,865 + 10^{-4} \cdot t \quad [\text{KJ/Kg} \cdot \text{K}] \tag{3.3.18}$$

având caracteristicile :

- grosimea peretelui $\delta_1 = 124 \text{ [mm]}$;
- conductibilitatea termică $\lambda_1 = 1,32 \text{ [W/m K]}$
- densitatea $\rho_1 = 1950 \text{ [kg/m}^3]$ (3.3.19)
- capacitatea calorică specifică $c_1 = 961 \text{ [J/kg} \cdot \text{K]}$.

La exterior s-a zidit un perete izolator din diatomită cu următoarele caracteristici :

- grosimea peretelui $\delta_2 = 75$ [mm] ;
- conductibilitatea termică $\lambda_2 = 0,12$ [W/m · K]
- densitatea $\rho_2 = 620$ [Kg/m³] , (3.3.20)
determinată experimental ;
- capacitatea calorică specifică $c_2 = 880$ [J/Kg · K]

Potrivit metodei de calcul a distribuției temperaturii [61] în pereți formați din materiale refractare și izolatoare, se împarte peretele din șamotă în patru straturi :

$$\Delta x_1 = \frac{\delta_1}{4} = 0,031 \text{ [m]} \quad (3.3.21)$$

rezultând [58], [43] :

$$\Delta \tau_1 = \frac{\Delta x_1^2}{2 a_1} = 0,18 \text{ [h]} \quad (3.3.22)$$

unde :

$$a_1 = \frac{\lambda_1}{\rho_1 c_1} , \quad \text{reprezintă difuzivitatea} \quad (3.3.23)$$

termică [m²/h] a șamotei ,

iar peretele de diatomită în patru straturi

$$\Delta x_2 = \frac{\delta_2}{4} = 0,019 \text{ [m]} \quad (3.3.24)$$

rezultând din relația

$$\Delta x_2 = \Delta x_1 \sqrt{\frac{a_2}{a_1}} . \quad (3.3.25)$$

Astfel, s-a realizat condiția [43], ca :

$$\Delta \tau_1 = \Delta \tau_2 \quad (3.3.26)$$

Valorile rezistenței termice pentru șamotă și diatomită sănt

$$r_1 = \frac{x_1}{\lambda_1} = 0,0235 \left[\frac{\text{m}^2 \text{K}}{\text{W}} \right] \quad \text{și} \quad (3.3.27)$$

$$r_2 = \frac{x_2}{\lambda_2} = 0,1583 \left[\frac{\text{m}^2 \text{K}}{\text{W}} \right]$$

iar rezistența termică totală

$$r = r_1 + r_2 = 0,1818 \left[\frac{\text{m}^2 \text{K}}{\text{W}} \right], \quad (3.3.28)$$

astfel că

$$t_{n\Delta\tau, b_2} = \frac{r_2 \cdot t_{n\Delta\tau}, 3\Delta x_1 + r_1 \cdot t_{n\Delta\tau}, \Delta x_2}{r_1 + r_2} \quad [^\circ\text{C}] \quad (3.3.29)$$

unde $t_{n\Delta\tau}$, b_2 reprezintă temperatura zidăriei în planul de separare dintre peretele de șamotă și cel de diatomită.

După [3, 50, 61], temperatura la momentul $n \cdot \Delta\tau$ a ultimului strat de șamotă este :

$$t_{4\Delta x_1} = 0,8707 t_{3\Delta x_1} + 0,1391 t_{\Delta x_2}, \quad (3.3.30)$$

și a ultimului strat de diatomită

$$t_{4\Delta x_2} = 11,1852 + 0,4444 t_{3\Delta x_2} \quad (3.3.31)$$

Valorile astfel calculate ale distribuției temperaturilor în zidărie cuptorului sunt centralizate în Tabelul 3.3.1.

Tabelul 3.3.1.

\bar{c} [h]	Grosimea zidăriei								
	t_{b1} [$^\circ\text{C}$]	$t_{\Delta x_1}$	$t_{2\Delta x_1}$	$t_{3\Delta x_1}$	$t_{4\Delta x_1}$	$t_{\Delta x_2}$	$t_{2\Delta x_2}$	$t_{3\Delta x_2}$	$t_{4\Delta x_2}$
1	2	3	4	5	6	7	8	9	10
0	20	20	20	20	20	20	20	20	20
0,18	410	20	20	20	20	20	20	20	20
0,36	575	215	20	20	20	20	20	20	20
0,54	660	298	118	20	20	20	20	20	20
0,72	720	389	159	69	20	20	20	20	20
0,90	790	440	229	90	63	20	20	20	20
1,08	820	510	265	146	81	42	20	20	20
1,26	885	543	328	173	133	51	31	20	20
1,44	940	607	358	231	157	82	36	26	20
1,62	992	649	419	258	212	97	54	28	24
1,80	1040	706	454	316	237	133	63	39	29
1,98	1080	747	511	346	278	150	86	46	32
2,16	1110	796	547	395	321	182	98	59	37
2,34	1135	829	596	434	367	210	121	68	41

1	2	3	4	5	6	7	8	9	10
2,52	1155	866	632	482	405	244	139	81	47
2,70	1155	894	674	519	451	272	163	93	53
2,88	1155	915	707	563	487	307	183	108	59
3,06	1155	931	739	597	529	335	208	121	65
3,24	1155	947	764	634	563	369	228	137	72
3,42	1155	960	791	664	600	396	253	150	78
3,60	1155	973	812	696	629	427	273	166	85
3,78	1155	984	835	721	661	451	297	179	91
3,96	1155	995	853	748	686	479	315	194	97
4,14	1155	1004	872	770	713	501	337	206	103
4,32	1155	1014	887	793	735	525	354	220	109
4,50	1155	1021	904	811	758	544	373	232	114
4,68	1155	1030	916	831	776	566	388	244	119
4,86	1155	1036	931	846	797	582	405	254	124
5,04	1155	1043	941	864	812	601	418	265	129
5,22	1155	1048	954	877	830	615	433	274	133
5,40	1155	1055	963	892	843	632	445	283	137
5,58	1155	1059	974	903	858	644	458	291	141
5,76	1155	1065	981	916	870	658	468	300	144
5,94	1155	1068	991	926	883	669	479	306	147
6,12	1155	1073	997	937	893	681	488	313	150
6,30	1155	1076	1005	945	904	691	497	319	153
6,48	1155	1080	1011	955	912	701	505	325	156
6,66	1155	1083	1018	962	922	709	513	331	158
6,84	1155	1087	1023	970	929	718	520	336	161
7,02	1155	1089	1029	966	937	725	527	341	163
7,20	1155	1092	1034	983	944	732	533	345	165
7,38	1155	1095	1038	989	951	739	539	349	166
7,56	1155	1097	1042	995	957	745	544	353	168
7,74	1155	1099	1046	1000	963	751	549	356	169
7,92	1155	1101	1050	1005	975	756	554	359	171
8,10	1155	1103	1053	1009	980	761	558	363	173
8,28	1155	1104	1057	1017	984	769	562	366	174
8,46	1155	1106	1062	1023	992	773	568	368	175
8,64	1155	1109	1065	1027	998	780	571	372	177
8,82	1155	1110	1068	1032	1003	785	576	374	178
9,00	1155	1112	1071	1036	1008	790	580	377	179

1	2	3	4	5	6	7	8	9	10
9,18	1155	1113	1074	1040	1012	794	584	380	180
9,36	1155	1115	1078	1043	1016	798	587	382	181
9,54	1155	1116	1079	1047	1019	802	590	384	182
9,72	1155	1117	1082	1049	1023	805	593	386	183
9,90	1155	1119	1083	1053	1025	808	596	388	184
10,08	1155	1119	1086	1054	1029	811	598	390	185
10,26	1155	1121	1087	1058	1031	814	601	392	185
10,44	1155	1121	1090	1059	1035	816	603	393	186
10,62	1155	1123	1090	1063	1036	819	605	395	187
10,80	1155	1123	1093	1065	1040	821	607	396	187
10,98	1155	1124	1094	1067	1042	824	609	397	188
11,16	1155	1125	1096	1068	1044	826	611	399	189
11,34	1155	1126	1097	1070	1045	828	613	400	189
11,52	1155	1127	1098	1071	1047	829	614	401	189
11,70	1155	1127	1099	1073	1048	831	615	402	190
11,88	1155	1127	1100	1074	1050	832	617	403	190
12,06	1155	1128	1101	1075	1051	834	618	404	191
12,24	1155	1128	1102	1076	1052	835	619	405	191
12,42	1155	1129	1102	1077	1053	836	620	405	191
12,60	1155	1129	1103	1078	1054	837	621	406	192
12,78	1155	1129	1104	1079	1055	838	622	407	192
12,96	1155	1130	1104	1080	1056	839	623	407	192
13,14	1155	1130	1105	1080	1057	840	623	408	193

Se constată că atingerea regimului termic staționar are loc după 13,14 ore cînd zidăria atinge la exterior temperatura de 193°C (față de 187°C măsurată experimental).

Densitatea fluxului termic ce străbate zidăria în regim staționar este :

$$q = \frac{\lambda_1}{\delta_1} (t_{b_1} - t_{4 \Delta x_1}) = 1043 \quad [\text{W/m}^2] \quad (3.3.32)$$

coeficientul de convecție al mantalei cuptorului la mediul ambient (calculat și în etapa preliminară a calculului zidăriei), fiind :

$$\alpha = \frac{q}{t_{4 \Delta x_2} - t_e} = 7,29 \quad [\text{W/m}^2 \cdot \text{K}] \quad (3.3.33)$$

Din diagrama din figura 3.3.1. care reprezintă distribuția temperaturii în zidăria cuptorului la momentul terminării încălzirii probei ($\bar{\tau} = 1,03$ ore) și la momentul intrării zidăriei în regim termic staționar ($\bar{\tau} = 13,14$ ore), prin integrarea suprafețelor delimitate de curbele de distribuție a temperaturii, va rezulta căldura acumulată de zidărie în cele două momente. Cu linie întreruptă este reprezentată distribuția temperaturii în zidăria clasică, după montarea pereților permeabili.

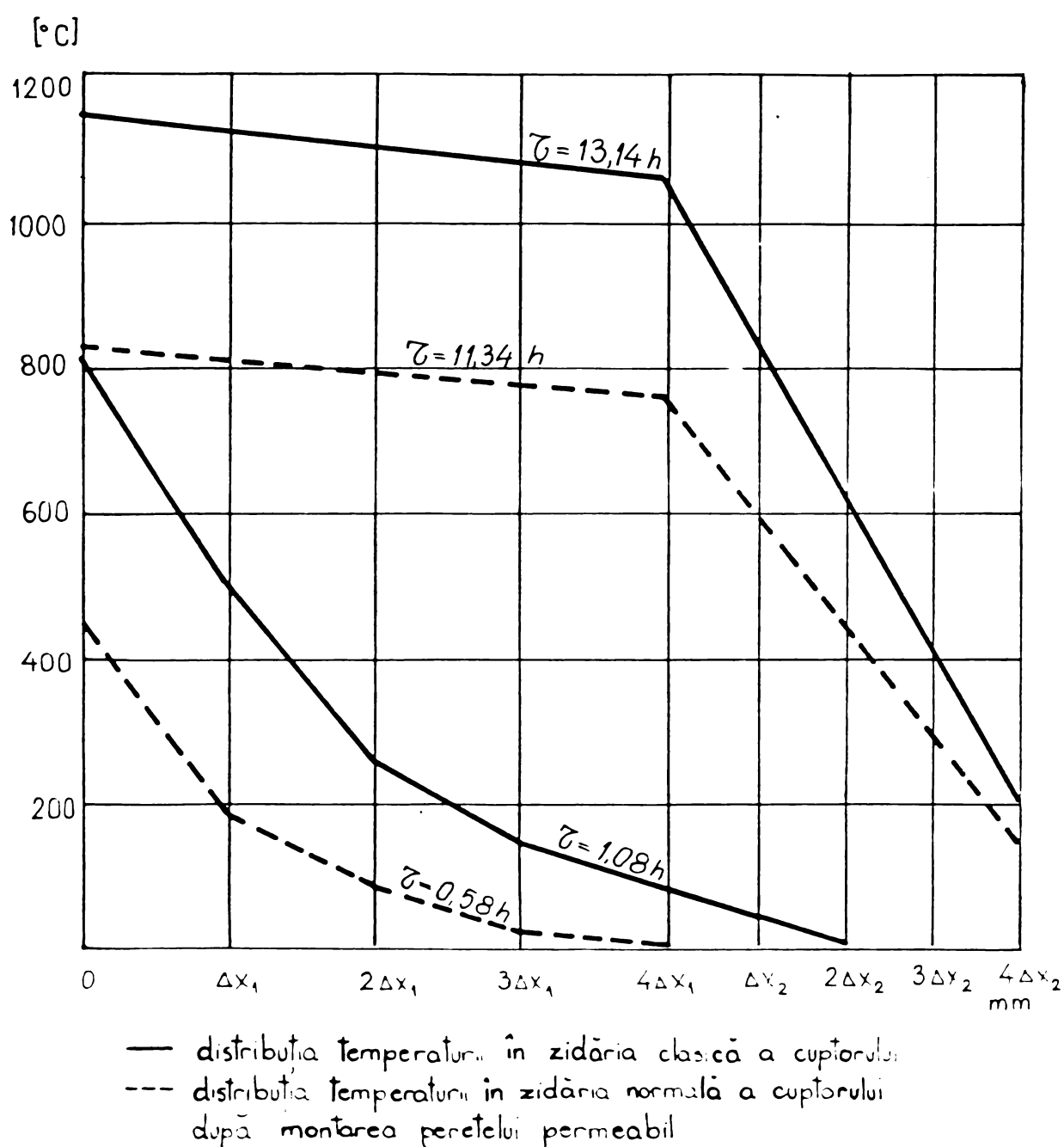


Fig. 3.3.1.

- Căldura acumulată de şamotă se calculează după relație:

$$\Delta x_1 \cdot \varrho_1 \cdot c_1 \left(\frac{t_{b_1} + t_{\Delta x_1}}{2} - 20 \right) = Q_{sp,s, \Delta x_1} [KJ/m^2] \quad (3.3.34)$$

$$Q_{sp,s} = \sum_1^4 Q_{sp,s, \Delta x_i} = 67642,9 [KJ/m^2] \quad (3.3.35)$$

iar căldura acumulată în peretele izolator de diatomită

$$\Delta x_2 \cdot \varrho_2 \cdot c_2 \left(\frac{t_{b_2} - t_{\Delta x_2}}{2} - 20 \right) = Q_{sp,d, \Delta x_2} [KJ/m^2] \quad (3.3.36)$$

$$Q_{sp,d} = \sum_1^4 Q_{sp,d, \Delta x_i} = 409 [KJ/m^2] \quad (3.3.37)$$

In conformitate cu metoda elaborată de Heiligenstaedt [64] se va lua în considerare dimensiunea medie a suprafeței zidăriei cupitorului (metoda se aplică la cupoare mici) ținându-se seama că încălzirea vărei este mult mai redusă decât a peretilor laterali, iar colțurile zidăriei nu au intrat în calculul suprafeței, astfel că suprafața totală de calcul a zidăriei este de $1,90 m^2$.

- Căldura evacuată cu gazele de ardere

$$Q_{sc} = B \cdot I_{sc} [KJ] \quad (3.3.38)$$

unde I_{sc} a rezultat din diagrama I-t (fig.2.3.3) pentru gazul natural corespunzător temperaturii medii de ieșire a gazelor arse din cupitor de $360^\circ C$.

- Căldura pierdută prin ardere imperfectă

$$Q_{a,i} = H_{i_{co}} \cdot V_{co} \cdot B [KJ] \quad (3.3.39)$$

In conformitate cu parametrii termici măsurăți și prezențați în tab.3.3.2, rezultatele calculelor expuse mai sus ce vizează elementele bilanțului termic sănt centralizate în tabelul 3.3.3.

Tabelul 3.3.2.

Timpul [min]	0	10	20	30	40	50	60	62
1	2	3	4	5	6	7	8	9
Temperatura perete- lui refracțar pe fa- ța interioară (zona 1) $[^\circ C]$	26	330	420	518	580	638	690	700

1	2	3	4	5	6	7	8	9
Temperatura perete-lui refractar pe fața interioară (zona centrală) [°C]	26	435	550	635	710	750	807	815
Temperatura perete-lui refractar pe fața interioară (zona 2) [°C]	26	500	600	685	755	800	840	850
Temperatura perete-lui refractar pe fața exterioară (zona 1) [°C]	26	50	58	60	62	75	90	95
Temperatura perete-lui refractar pe fața exterioară (zona 2) [°C]	26	50	58	65	70	78	95	102
Temperatura probei la suprafață (zona 1) [°C]	26	280	420	570	680	765	825	840
Temperatura probei la suprafață (zona 2) [°C]	26	360	520	670	760	820	895	900
Temperatura probei în centru (zona 1,2) [°C]	26	225	400	565	675	730	810	825
Temperatura gazelor arse la ieșirea din recuperator [°C]	26	210	310	380	420	470	510	530
Temperatura gazelor arse la ieșirea din recuperator [°C]	26	90	140	210	230	270	300	310
Temperatura în cupitor [°C]	26	710	780	825	880	900	920	935
Temperatura aerului preîncălzit [°C]	26	43	70	111	133	165	190	196
Debit gaz natural [m^3/h]	4,50	4,50	4,50	4,50	4,50	4,50	4,50	4,50
Încărcarea termică [kW/m^3]					331,00			

Tabel 3.3.3

Mărimea	[KJ]	[%]
Căldura dezvoltată prin ardearea combustibilului.	166.250,1	96,18
Căldura fizică a aerului de combustie.	6.447,8	3,73
Căldura fizică a combustibilului.	153,5	0,09
Total căldură intrată.	172.851,4	100
Căldură necesară probei.	16.123,5	9,32
Căldura acumulată în zidărie.	129.298,8	74,81
Căldura evacuate cu gazele de ardere.	26.889,3	15,56
Căldura pierdută prin ardere imperfectă.	516,2	0,29
Total căldură ieșită.	172.827,8	99,987
Eroare de bilanț.	23,6	0,013

3.4. Bilanțul termic al cuptorului cu zidărie permeabilă

Intocmirea bilanțului termic al cuptorului cu zidărie permeabilă a urmărit același procedeu ca și pentru bilanțul termic al funcționării cuptorului cu zidărie normală (3.3).

Având însă în vedere dimensiunile reduse ale camerei de lucru $V = 0,135 \text{ m}^3$, volumul ocupat de zidărie refracțiară permeabilă care ecranează peretii laterali și bolta, nu poate fi neglijat, spațiul efectiv de lucru al cuptorului reducindu-se la:

$$V = 0,1270 \text{ m}^3 \text{ pentru zidărie permeabilă cu orificii } \phi 4 \text{ mm} \quad (3.4.1)$$

și $V = 0,1264 \text{ m}^3$ pentru zidărie permeabilă cu orificii $\phi 10 \text{ mm}$

Cercetările experimentale au fost conduse în ideea constanței încărcării termice a spațiului de lucru al cuptorului pentru cele două variante constructive de funcționare.

Experimentările au vizat să se regimuri de încărcare termică a cuptorului cu diferite valori ale excesului de aer λ , pentru ambele

variante de zidărie. Pentru exemplificare s-a întocmit bilanțul pentru funcționarea cuptorului la o încărcare termică de 331 kW/m^3 , în tabelul 3.4.11 fiind centralizate valorile încărcărilor termice și debitele de gaz natural echivalente pentru fiecare tip de zidărie.

Tabel 3.4.11

Incărcarea termică [kW/m^3]	Debit de gaz natural pentru zidărie normală [$\text{m}^3/\text{N/h}$]	Debit de gaz natural pentru zidărie permeabilă [$\text{m}^3/\text{N/h}$]
183,89	2,5	2,35
220,67	3,0	2,82
257,45	3,5	3,29
294,23	4,0	3,76
331,00	4,5	4,23
367,78	5,0	4,70

Calculul bilanțului masic al arderii este identic calculului pentru funcționarea cuptorului cu zidărie normală.

Astfel, arderea a avut loc cu un coeficient al excesului de aer $\lambda = 1,0$:

$$L = \lambda \cdot L_{\min} = 9,5285 [\text{m}^3/\text{N} \cdot \text{N}_c] \quad (3.4.3)$$

și volumul produselor de ardere (v. cap. 2), rezultînd din analiza chimică a gazelor arse

$$\begin{aligned} (\text{CO}_2)_f &= 11,75\% \\ (\text{CO})_f &= 0,00\% \\ (\text{O}_2)_f &= 0,00\% \end{aligned} \quad (3.4.4)$$

din care rezultă că punctul figurativ al arderii coincide cu $(\text{CO}_2)_{f\max}$ (v. fig. 2.3.2), ceste.

$$\begin{aligned} V_{\text{CO}_2} &= 0,9873 + 2 \cdot 0,0091 = 1,0055 [\text{m}^3/\text{N} \cdot \text{N}_c] \\ V_{\text{N}_2} &= 0,79 \cdot \lambda \cdot L_{\min} + (\text{N}_2)_c = 7,5505 [\text{m}^3/\text{N} \cdot \text{N}_c] \end{aligned}$$

$$V_{\text{O}_2} = V_{\text{CO}} = 0,00 [\text{m}^3/\text{N} \cdot \text{N}_c]$$

$$V_{\text{su}} = V_{\text{CO}_2} + V_{\text{N}_2} = 8,5565 [\text{m}^3/\text{N} \cdot \text{N}_c] \quad (3.4.5)$$

$$V_{\text{H}_2\text{O}} = 2,1155 [\text{m}^3/\text{N} \cdot \text{N}_c] \quad (3.4.6)$$

și volumul total al gazelor de ardere:

$$V_{gt} = V_{gu} + V_{H_2O} = 10,6715 [m^3N/m^3N_c] \quad (3.4.7)$$

Compoziția volumetrică a gazelor de ardere este

$$(CO_2)_{fu} = \frac{V_{CO_2}}{V_{gt}} \cdot 100 = 9,43\%$$

$$(O_2)_{fu} = \frac{V_{O_2}}{V_{gt}} \cdot 100 = 0,00\%$$

$$(CO)_{fu} = \frac{V_{CO}}{V_{gt}} \cdot 100 = 0,00\% \quad (3.4.8)$$

$$(N_2)_{fu} = \frac{V_{N_2}}{V_{gt}} \cdot 100 = 70,75\%$$

$$(H_2O)_{fu} = \frac{V_{H_2O}}{V_{gt}} \cdot 100 = 19,82\%$$

Potrivit tabelului de măsurători (3.4.1) și relațiilor (3.3.17-3.3.25) s-a întocmit bilanțul termic al funcționării cuptorului cu zidărie permeabilă (tab.3.4.3).

Distribuția temperaturii în zidăria normală a cuptorului este reprezentată în diagrama din fig.3.3.1 (cu linie întreruptă) ridicată conform datelor din tabelul 3.4.3, cu distribuția temperaturii în zidărie.

Experimentările de laborator cuprind 74 cicluri de încălziri având parametrii termodinamici de bază înregistrați pe diagrame concomitent cu notarea lor în tabele de măsurători în care sunt cuprinse și valorile pierderilor de presiune a aerului în recuperator, presiunea aerului la arzător, presiunea gazului natural amonte de diafragmă și presiunea aerului amonte de diafragmă (pentru calcularea corecțiilor de debit) precum și căderile de presiune pe diafragmele de gaz, aer și gaze arse.

Din numărul total al ciclurilor de încălzire cîte două cicluri au fost afectate pentru verificarea parioadei de atingere a regimului termic staționar la fiecare tip de zidărie, restul încercărilor au făcut obiectul stabilirii comportării fiecărui tip de zidărie.

Tabelul 3.4.1

Timpul [min]	0	5	11	15	20	30	35
Temperatura peretelui permeabil pe față interioară (în zona dinspre arzător) (zona 1) [°C]	18	465	755	850	910	985	1020
Temperatura peretelui permeabil pe față interioară în zona dinspre ușă (zona 2) [°C]	18	570	760	818	867	959	995
Temperatura peretelui permeabil pe față exterioară în zona dinspre arzător [°C]	18	145	400	538	608	700	735
Temperatura peretelui permeabil pe față exterioară în zona dinspre ușă [°C]	18	140	355	465	555	670	695
Temperatura peretelui normal pe față interioară (zona 1) [°C]	18	48	142	210	275	390	455
Temperatura peretelui normal pe față interioară (zona 2) [°C]	18	45	130	195	255	360	410
Temperatura probei la suprafață (zona 1) [°C]	18	245	450	565	665	825	908
Temperatura probei la suprafață (zona 2) [°C]	18	260	425	520	618	790	875
Temperatura probei în centru (zona 1,2) [°C]	18	180	355	470	578	775	853
Temperatura gazelor arse la ieșire din cuptor [°C]	18	40	60	110	145	205	245
Temperatura gazelor arse la ieșirea din recuperator [°C]	18	30	40	70	90	125	150

Tabel 3.4.1 - continuare

Timpul [min]	0	5	11	15	20	30	35
Temperatura în cuptor [°C]	18	260	960	1000	1050	1130	1165
Temperatură aer preîncălzit [°C]	18	23	27	35	42	69	83
Debit gaz natural [m³N/h]	4,23	4,23	4,23	4,23	4,23	4,23	4,23
Incărcarea termică [KW/m³]			331,0				

Tabel 3.4.2

T [°C]	Peretele din samotă					Peretele din diatomită				
	t _b [°C]	t _{Δx1}	t _{2Δx1}	t _{3Δx1}	t _{4Δx1}	t _{Δx2}	t _{2Δx2}	t _{3Δx2}	t _{4Δx2}	
0,18	244	20								
0,36	352	132	20							
0,54	424	186	76	20						
0,72	488	250	103	48	20					
0,90	540	296	149	62	50	20				
1,08	580	345	179	103	95	38	20			
1,26	616	380	224	137	127	57	29	20		
1,44	656	420	258	175	164	78	39	25	20	
1,62	688	457	298	211	198	101	52	29	24	
1,80	716	493	334	248	233	125	65	38	28	
1,98	740	525	371	284	268	149	81	47	32	
2,16	760	556	405	319	302	174	98	57	36	
2,34	778	583	437	353	335	200	116	67	41	
2,52	796	608	468	386	368	226	134	78	46	
2,70	806	632	497	418	399	251	152	90	51	
2,88	812	652	525	448	428	275	170	101	56	
3,06	816	669	550	477	457	299	188	113	61	
3,24	820	683	573	503	483	322	206	125	67	
3,42	820	697	593	528	508	345	224	137	72	
3,60	820	707	612	551	530	366	241	148	77	
3,78	820	716	629	571	551	386	257	159	82	
3,96	820	725	644	590	570	404	272	169	86	
4,14	820	732	657	607	587	421	287	179	91	

Tabel 3.4.2 - continuare

T [h]	Peretele din șamotă					Peretele din diatomită				
	t _b [°C]	t ₁ Δx ₁	t ₂ Δx ₁	t ₃ Δx ₁	t ₄ Δx ₁	t ₁ Δx ₂	t ₂ Δx ₂	t ₃ Δx ₂	t ₄ Δx ₂	
4,32	820	739	670	622	603	437	300	189	95	
4,50	820	745	680	636	617	451	313	197	99	
6,68	820	750	691	649	630	465	324	206	103	
4,86	820	756	700	660	641	477	335	214	106	
5,04	820	760	708	670	652	488	345	221	99	
5,22	820	764	715	680	661	498	355	227	12	
5,40	820	768	722	688	670	508	363	233	115	
5,58	820	771	728	696	678	516	371	239	117	
5,76	820	774	734	703	685	524	378	244	120	
5,94	820	777	739	709	692	532	384	249	122	
6,12	820	780	743	715	698	538	390	253	124	
6,30	820	782	747	721	703	544	395	257	125	
6,48	820	784	751	725	708	549	400	260	27	
6,66	820	786	754	730	713	554	405	264	128	
6,84	820	787	758	734	717	559	409	266	130	
7,02	820	789	761	737	721	563	412	269	131	
7,20	820	791	763	741	724	566	416	272	132	
7,38	820	792	766	744	727	570	419	274	133	
7,56	820	793	768	746	730	573	422	276	134	
7,74	820	794	770	749	732	576	424	278	135	
7,92	820	795	772	751	734	578	427	280	135	
8,10	820	796	773	753	736	581	429	281	36	
8,28	820	797	775	755	738	583	431	283	37	
8,46	820	798	776	756	740	585	433	284	37	
8,64	820	798	777	758	742	587	434	285	138	
8,82	820	799	778	759	743	588	436	286	138	
9,00	820	799	779	761	744	590	437	287	139	
9,18	820	800	780	761	745	591	438	288	139	
9,36	820	800	780	763	746	592	439	289	139	
9,54	820	800	782	763	747	593	440	289	140	
9,72	820	801	782	764	748	594	441	290	140	
9,90	820	801	783	765	749	595	442	290	140	
10,08	820	802	783	766	750	595	442	291	140	
10,26	820	802	784	767	750	596	443	291	141	
10,44	820	802	785	767	751	597	443	292	141	

Tabel 3.4.2 - continuare

T [h]	Peretele din şamotă					Peretele din diatomită			
	t _b [°C]	t _{Δx1}	t _{2Δx1}	t _{3Δx1}	t _{4Δx1}	t _{Δx2}	t _{2Δx2}	t _{3Δx2}	t _{4Δx2}
10,62	820	803	785	768	752	597	444	292	141
10,80	820	803	785	768	752	598	444	293	141
10,98	820	803	785	769	753	598	445	293	141
11,16	820	803	786	769	753	599	446	293	141
11,34	820	803	786	769	754	600	446	293	142

Tabel 3.4.3

Mărimea	[KJ]	[%]
Căldura dezvoltată prin arderea combustibilului.	88219,8	98,07
Căldura fizică a aerului de combustie.	1650,4	1,83
Căldura fizică a combustibilului.	81,4	0,10
Total căldură intrată.	89954,6	100,0
Căldura necesară probei.	16123,5	18,02
Căldura acumulată în zidărie (perete normal+perete permeabil).	49932,4-19141,8= =69074	77,18
Căldura evacuată cu gazele de ardere.	4295,84	4,80
Căldura pierdută prin ardere imperfectă.	0,00	0,00
Total căldură ieșită.	89493,34	99,50
Eroare de bilanț.	461,26	0,5%

permeabilă (3 variante) și a zidăriei clasice a cuptorului. Probele de încălzire au fost semifabricate laminate $\Phi 80 \times 250$ mm și $\Phi 100 \times 290$ mm din oțel aliat OSC pregătite pentru măsurarea temperaturii pe suprafațe în cele trei zone ale cuptorului: zona 1 corespunzînd cu prima treime din spațiul de lucru al cuptorului dinspre arzător, zona centrală și zona 3 ce corespunde celei de-a treia zone din spațiul de lucru, în vecinătatea peretelui anterior al zidăriei.

Incălzirile probei $\Phi 100 \times 290$ în cuptorul cu zidărie normală au vizat influența excesului de aer de ardere asupra vitezei de în-

călzire a materialului pînă la 900°C pe suprafața acestuia în condițiile creșterii indicelui de oxidabilitate la diferite încărcări termice ale spațiului de lucru.

In diagrama din fig.3.4.1 este reprezentată variația vitezei de încălzire a probei la o încărcare termică de 331 KW/m^3 pentru valori ale coeficientului excesului de aer $\lambda = 0,9$, $\lambda = 1,0$ și $\lambda = 1,2$.

Se observă că odată cu creșterea indicelui de oxidabilitate ($\lambda = 1,2$), timpul de încălzire, pierderea prin oxizi și consumul specific de combustibil cresc iar pentru o atmosferă reducătoare ($\lambda = 0,9$), consumul specific de combustibil crește în raport cu o încălzire optimă, în atmosferă neutră cînd $\lambda = 1,0$.

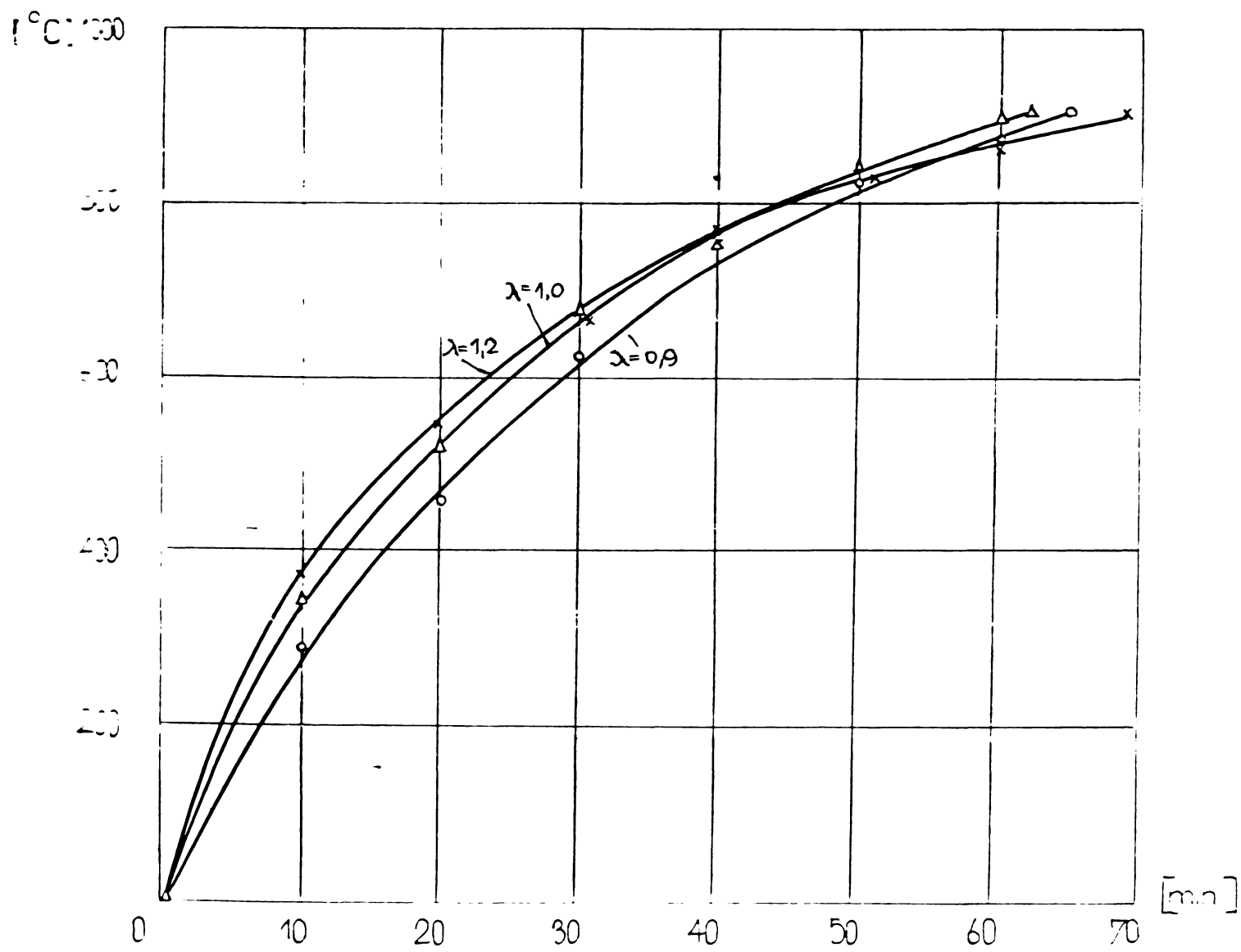


Fig.3.4.1

$$\circ \lambda = 0,9 ; \Delta \lambda = 1,0 ; \times \lambda = 1,2 .$$

Diagrama din fig.3.4.2 reprezintă variația vitezei de încălzire a materialului pentru cele cinci încărcări termice ale spațiului de lucru a cuptorului la arderea combustibilului cu excesul de aer $\lambda = 1,0$. Se remarcă, conform calculelor vitezei maxime admisibile

de încălzire, că viteza maximă obținută pentru încălzirea probei la o încărcare termică de 368 kW/m^3 este inferioară valorii maxime admisibile.

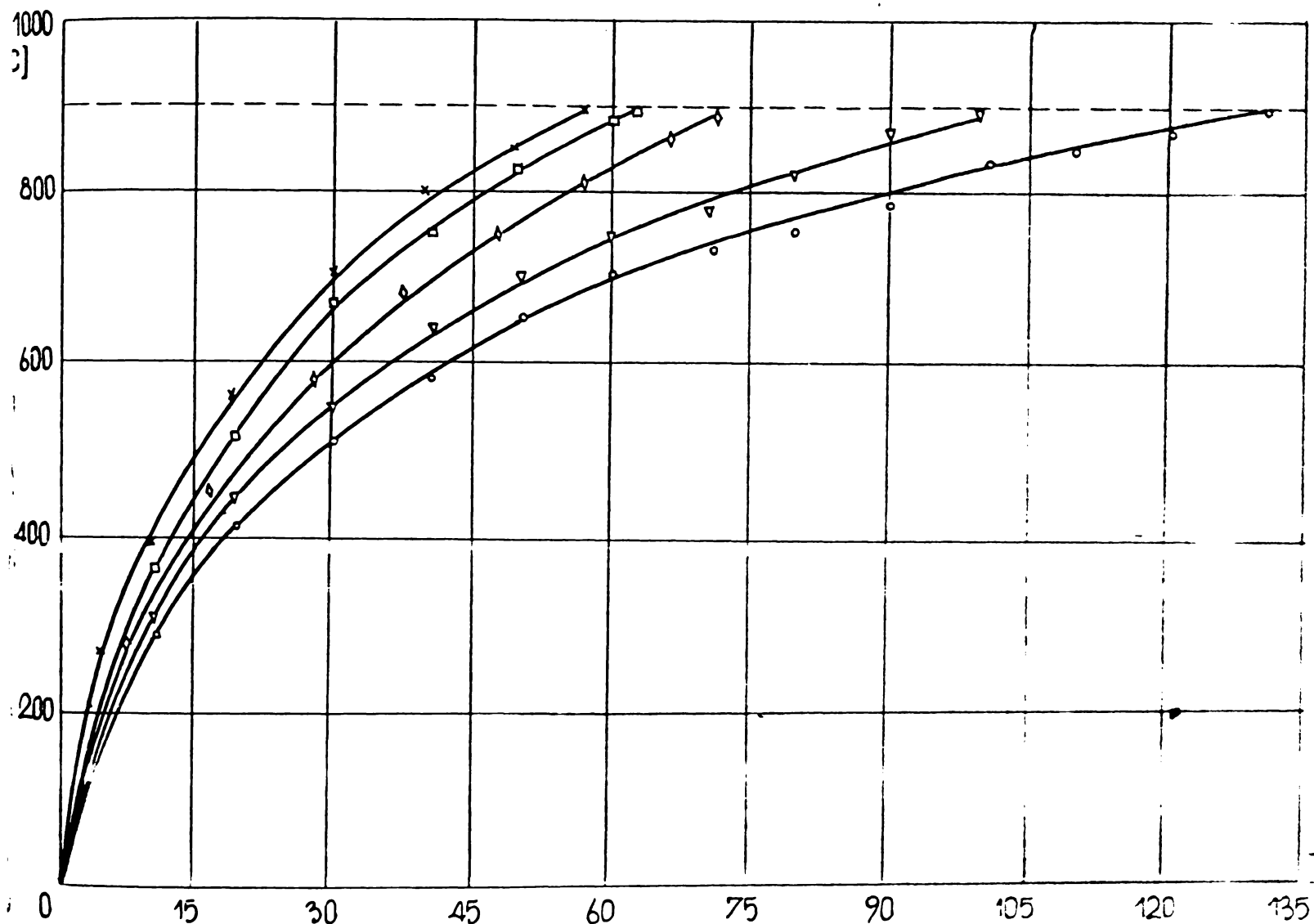


Fig.3.4.2
Viteza de încălzire a materialului, cu zidărie normală
 ○ 221 kW/m^3 ◇ 294 kW/m^3 × 368 kW/m^3
 ▽ 257 kW/m^3 □ 313 kW/m^3

Valorile temperaturilor peretelui refracțar în cele trei zone, pentru încărcarea termică de 331 kW/m^3 sunt reprezentate în diagrame din fig.3.4.3, unde se observă o diferență a temperaturilor zonale destul de accentuată ca urmare a degajării termice a flăcărilor [39] cu pondere în zona 2. Din aceste motive și gradul de neuniformitate a încălzirii probei a fost destul de pronunțat, apărând diferențe de temperatură pe suprafață, de la o zonă la alta.

Modificarea zidăriei cuptorului a constat din montarea în fața peretilor lateral și a boltii a unui ecran refracțar permeabil la gaze (fig.3.4.4), prin orificiile căruia gazele arse vor trece între de a ajunge la cele două canale de fum (2,fig.3.4.4).

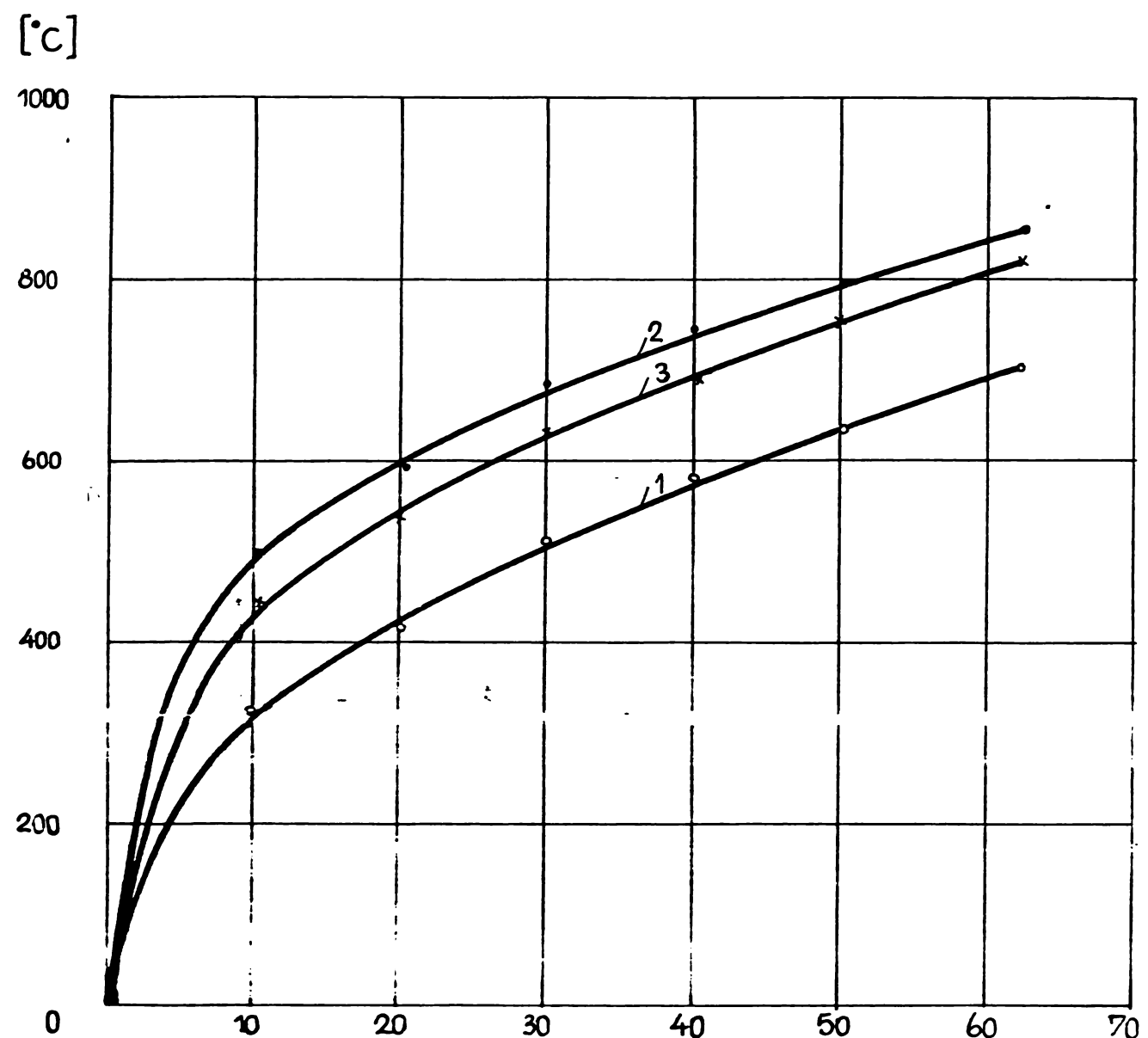


Fig.3.4.3 - Variatia temperaturii zidăriei normale pe cele 3 zone pentru încărcarea termică de 331 kW/m^3 .

○ zona 1; × zona centrală; • zona 2

Peretele permeabil este format din cărămizi refractare RCA 73 de format standardizat ($250 \times 125 \times 35$) și ($250 \times 125 \times 65$) care prin tehnologia de fabricare (produs al I.P.R.Baru) au fost prevăzute cu 250 orificii $\phi 4 \text{ mm}$ sau 50 orificii $\phi 10 \text{ mm}$, fiecare cărămidă (fig.3.4.5).

Intregul ecran este format din 12 asemenea cărămizi montate pe față $125 \times 35 \text{ mm}$ respectiv $125 \times 65 \text{ mm}$, legătura între ele realizându-se cu mortar din şamotă.

Măsurarea temperaturii peretelui permeabil s-a efectuat în patru puncte, pe față interioară și exterioară cu ajutorul termocuplurilor.

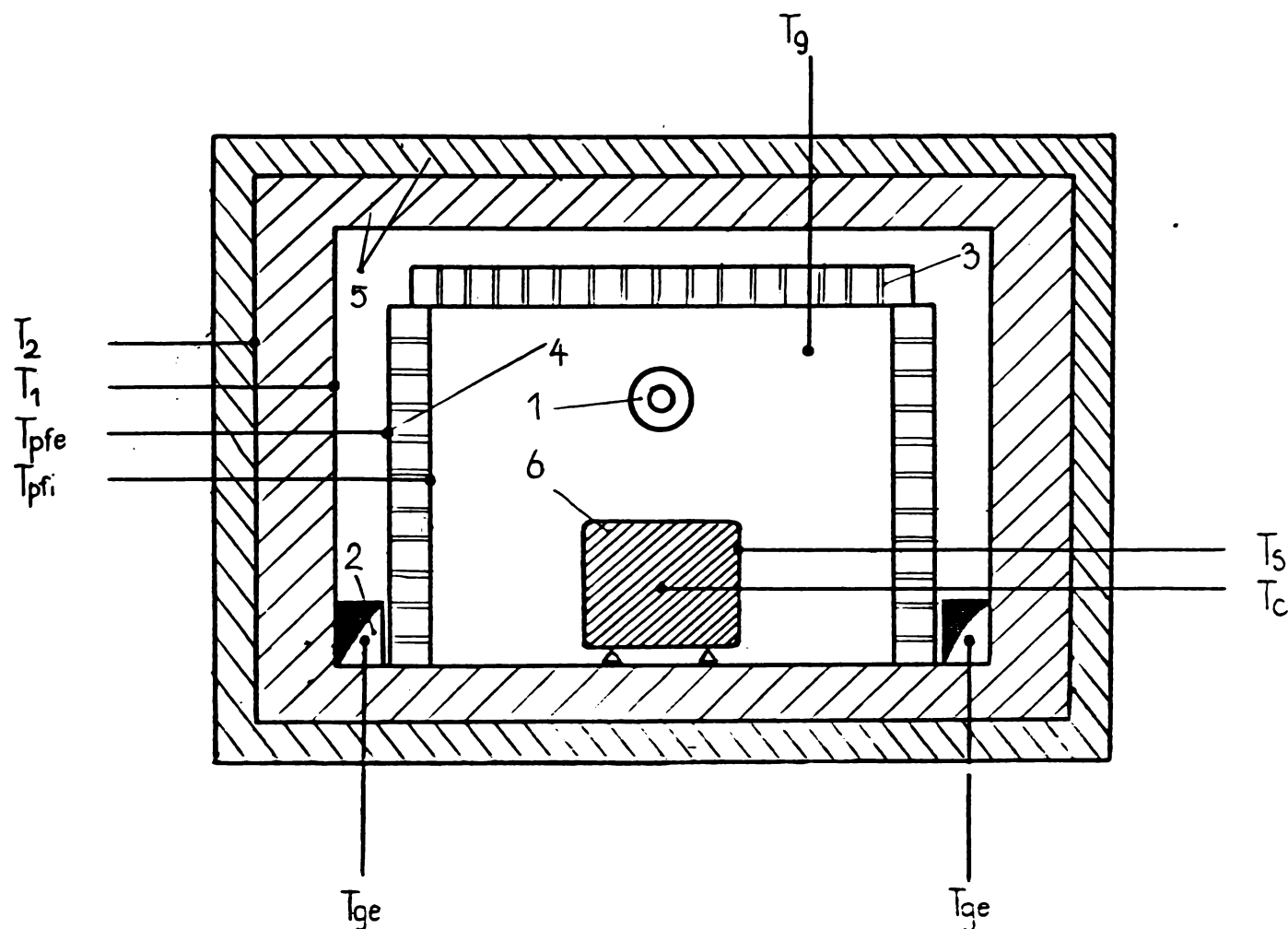


Fig.3.4.4. - Secțiune transversală în cuptor

1-arzător; 2-canale de fum; 3-zidărie permeabilă; 4-termoelemente; 5-zidărie clasică; 6-proba $100 \times 100 \times 290$ mm; T_1, T_2 -punctele de măsurare a temperaturii peretelui normal; T_{pfe}, T_{pfi} -punctele de măsurare a temperaturii peretelui permeabil; T_{ge} -punctul de măsurare a temperaturii gazelor de ardere evacuate din cuptor; T_s, T_c -punctele de măsurare a temperaturii probei.

In fotografia din fig.3.4.6. se observă canalele prin care au fost introduse termocuplurile pentru măsurarea temperaturii peretelui permeabil și a probei pe suprafața laterală și în centru.

S-a studiat comportarea funcționării cuptorului cu zidărie permeabilă utilizând cele trei variante de cărămizi:

- cărămidă RCA73 $250 \times 125 \times 65$ cu 50 orificii/buc, $\varnothing 10$ mm
- cărămidă RCA73 $250 \times 125 \times 35$ cu 50 orificii/buc, $\varnothing 10$ mm
- cărămidă RCA73 $250 \times 125 \times 35$ cu 250 orificii/buc, $\varnothing 4$ mm

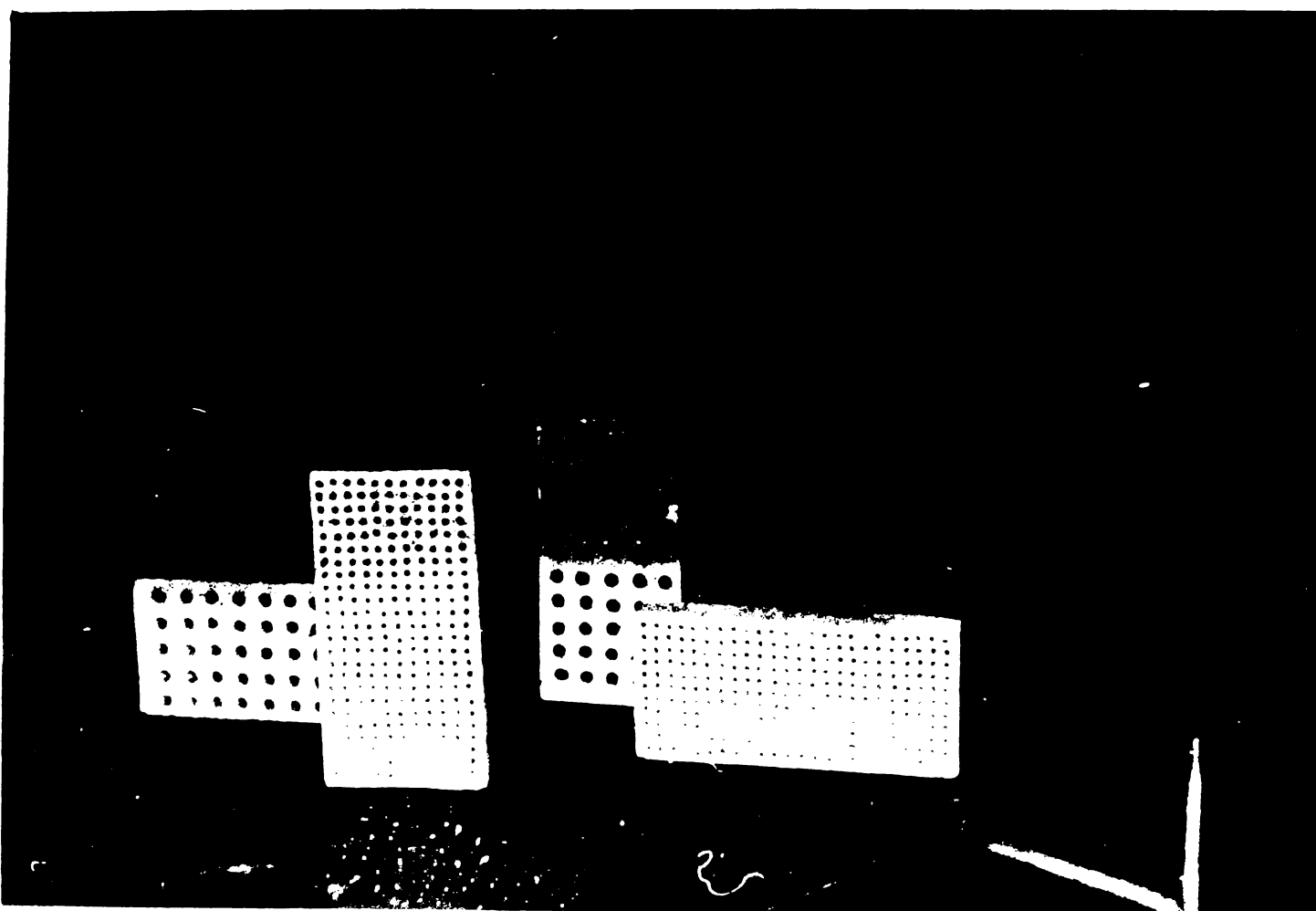


Fig.3.4.5

- 1- cărămidă permeabilă 250 x 125 x 35 Ø 4 mm
- 2- cărămidă permeabilă 250 x 125 x 35 Ø 10 mm
- 3- cărămidă permeabilă 250 x 125 x 65 Ø 10 mm

Interpretarea rezultatelor cercetării de laborator se anunță în principal asupra comportării ultimelor două tipuri de cărămizi permeabile la care gazodinamica prezintă aspecte diferențiate.

Referitor la comportarea celor două tipuri de zidării permeabile ($\phi 4$ și $\phi 10$ mm) se poate afirma că odată cu mărirea numărului de orificii concomitent cu reducerea diametrului, fără modificarea secțiunii echivalente de trecere a gazelor arse, efectul radiant al zidăriei permeabile se amplifică prin creșterea temperaturii.

În tabelul 3.4.4 se redau valorile calculate ale vitezei medii a gazelor prin orificii, vîscozității cinematice și cifrei Reynolds la o încărcare termică a cuptorului de 331 KW/m^3 .

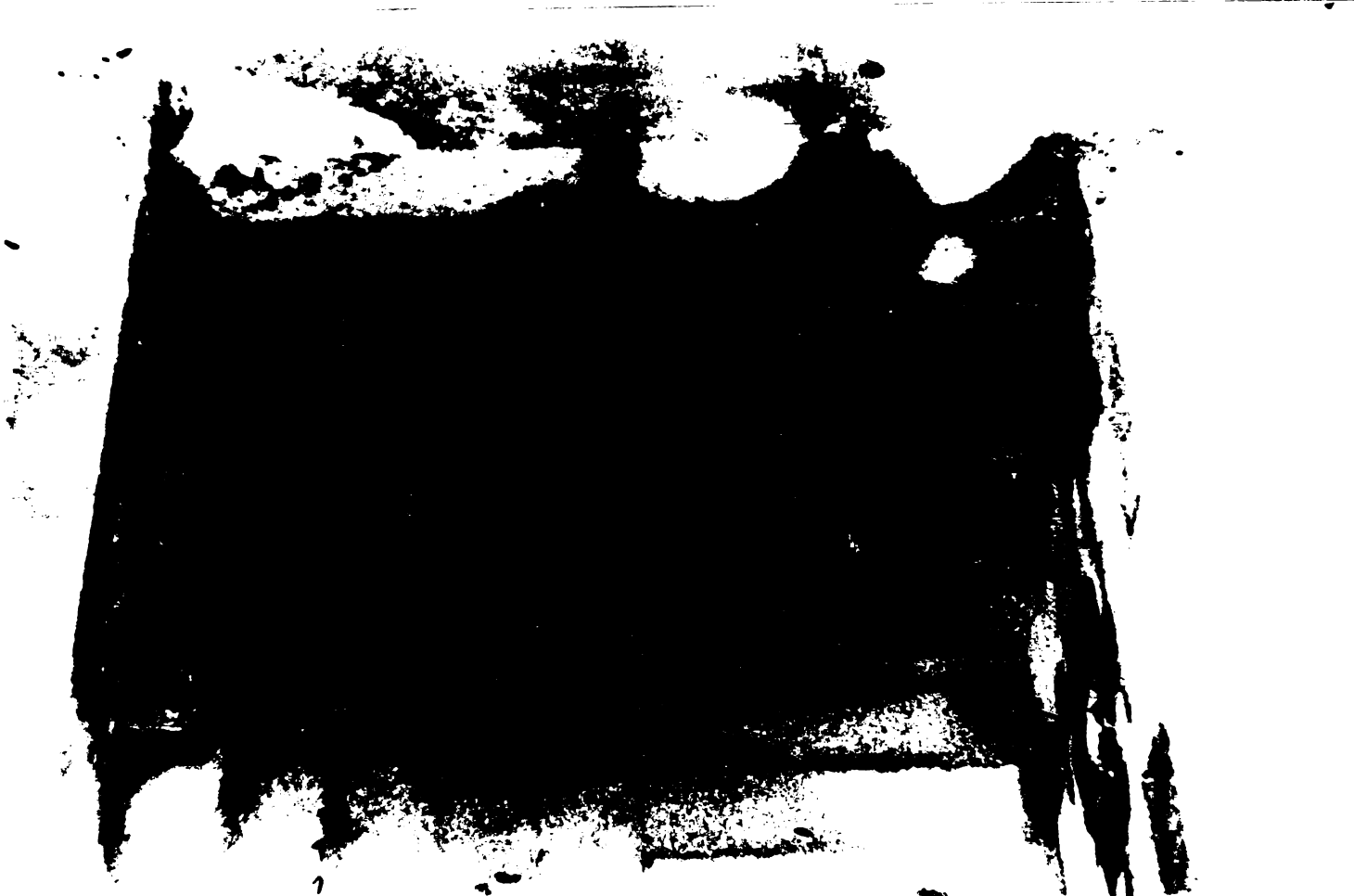


Fig. 3.4.6

- 1- arzător
- 2- canalul (sting) de evacuare a gazelor de ardere
- 3- deschiderea ușii cuptorului
- 4- tijă de termocoplă

Tabel 3.4.4

Tipul zidăriei	$W[m/s]$	$\nu [\frac{m^2}{s}]$	Re	Pr	$L[m]$	Pr_p	Nu	$\alpha [W/m^2K]$
perete permeabil $\varnothing 10$	0,4461	163,23	27,33	0,714	0,035	0,698	4,116	33,21
perete permeabil $\varnothing 4$	0,4461	179,45	9,96	0,717	0,035	0,706	3,699	74,64

In ultima rubrică săt trecute valorile coeficientului α de convecție al gazelor arse [11] prin canalele din cărămizile permeabile conform relației (3.4.9):

$$Nu = \sqrt[3]{3,66^3 + 1,61^3} Re Pr \frac{di}{L} \left(\frac{Pr}{Pr_p} \right)^{0,11} \quad (3.4.9)$$

Din analiza acestor valori rezultă că pentru aceeași viteză a gazelor arse prin orificii, coeficientul de schimb prin convecție este mult mai mare în cazul peretelui permeabil cu orificii $\phi 4$ mm.

Sub această valoare a diametrului orificiilor pierderile de presiune cresc foarte mult iar în cazul cuptoarelor de încălzire și tratament care în majoritate funcționează cu tiraj natural sau cu evacuarea gazelor arse prin sisteme cu ejection, suplimentarea peste valoarea maximă a pierderilor hidraulice duce la înrăutățirea tirajului, a creșterii presiunii în cuptor, implicit crescând mult pierderile de căldură prin neetanșeități și răbufniri de flacără.

Evacuarea gazelor arse la cuptorul cu care s-au efectuat cercetările s-a asigurat cu un exhaustor reglat pe admisie, putîndu-se măsura precis modificarea rezistenței hidraulice a peretelui permeabil prin măsurarea directă a depresiunii pe conductă de evacuare a gazelor arse între cuptor și aspirația exhaustorului. Pierderile hidraulice în peretele permeabil se situează în limita valorilor de $0,018 - 0,024 \text{ daN/m}^2$ pentru peretele permeabil cu orificii $\phi 10$ mm și $0,124 - 0,162 \text{ daN/m}^2$ pentru peretele permeabil cu orificii $\phi 4$ mm.

In fig.3.4.7 și 3.4.8 sunt reprezentate curbele de încălzire pentru probă de OSC $100 \times 100 \times 290$ mm în condițiile funcționării cuptorului cu zidărie permeabilă $\phi 10$ respectiv $\phi 4$ mm, pentru șase regimuri termice ale spațiului de lucru al cuptorului.

Din ambele figuri reiese evident că viteză de încălzire a materialului crește odată cu intensificarea regimului termic, dar pînă la valori situate sub cele maxime admisibile.

Din compararea celor două diagrame de încălzire rezultă că zidăria permeabilă cu orificii $\phi 4$ se recuperează o cantitate mai mare de căldură din gazele arse comparativ cu zidăria permeabilă cu orificii $\phi 10$ mm, ceea ce se materializează printr-o viteză sporită de încălzire a materialului. Astfel dacă pentru regimul de încărcare termică de 331 kW/m^3 timpul de încălzire a probei pînă la 900°C este de 44 minute cînd cuptorul avea montată zidăria permeabilă $\phi 10$ mm, prin reducerea diametrului orificiilor la $\phi 4$ mm și creșterea numărului lor, astfel ca viteză gazelor prin orificii să rămînă constantă, timpul de încălzire este de 35 minute.

Explicația constă în amplificarea schimbului termic dintre gazele arse și peretele permeabil (tabel 3.4.4), rezultînd o încal-

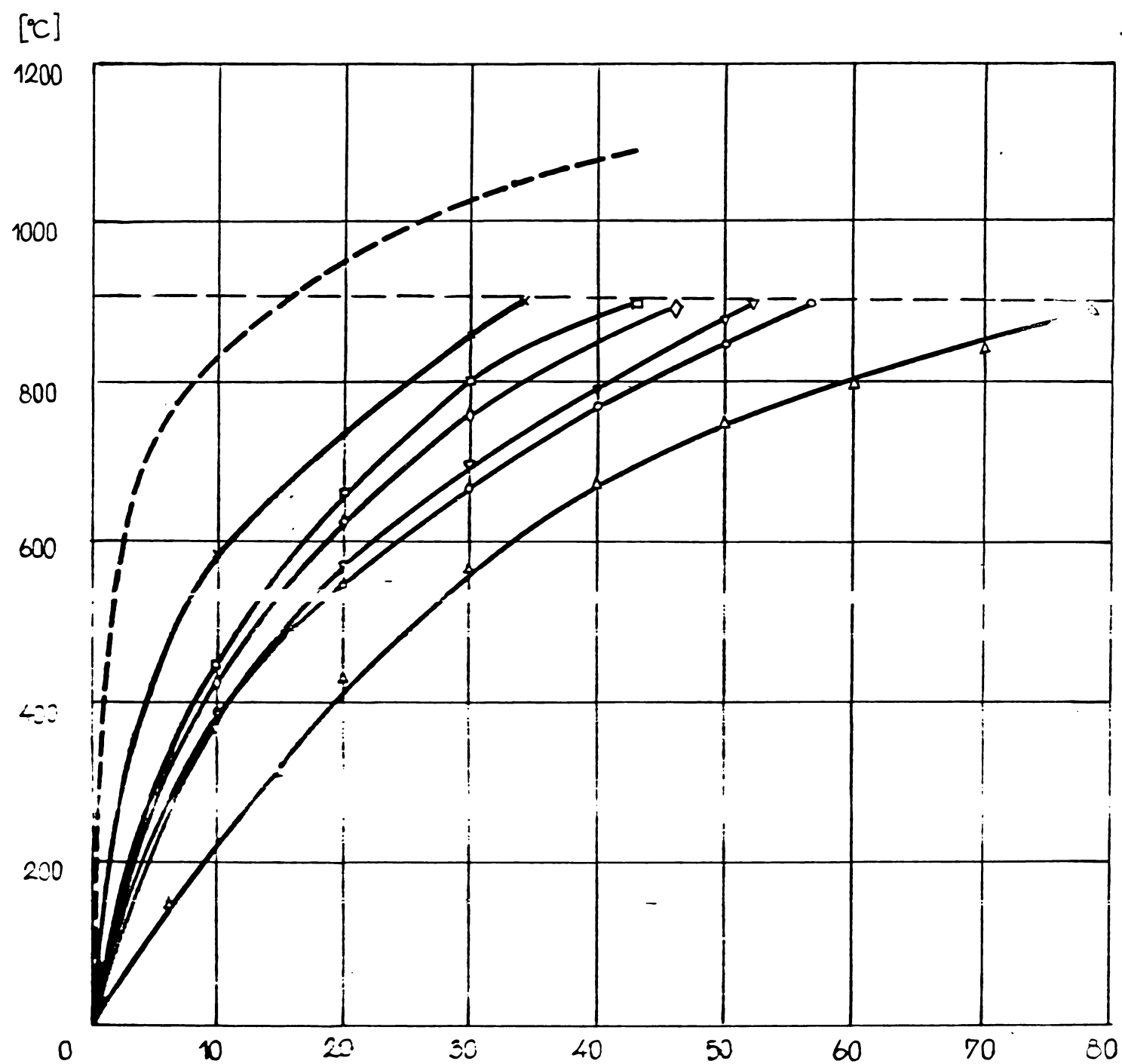


Fig.3.4.7 - Viteza de încălzire a materialului cu zidărie permeabilă Ø 10.

- △ încărcare termică 184 [kW/m³]
- încărcare termică 221 [kW/m³]
- ▽ încărcare termică 257 [kW/m³]
- ◊ încărcare termică 294 [kW/m³]
- încărcare termică 331 [kW/m³]
- × încărcare termică 364 [kW/m³]
- temperatura în cuptor pentru încărcarea termică de 331 [kW/m³]

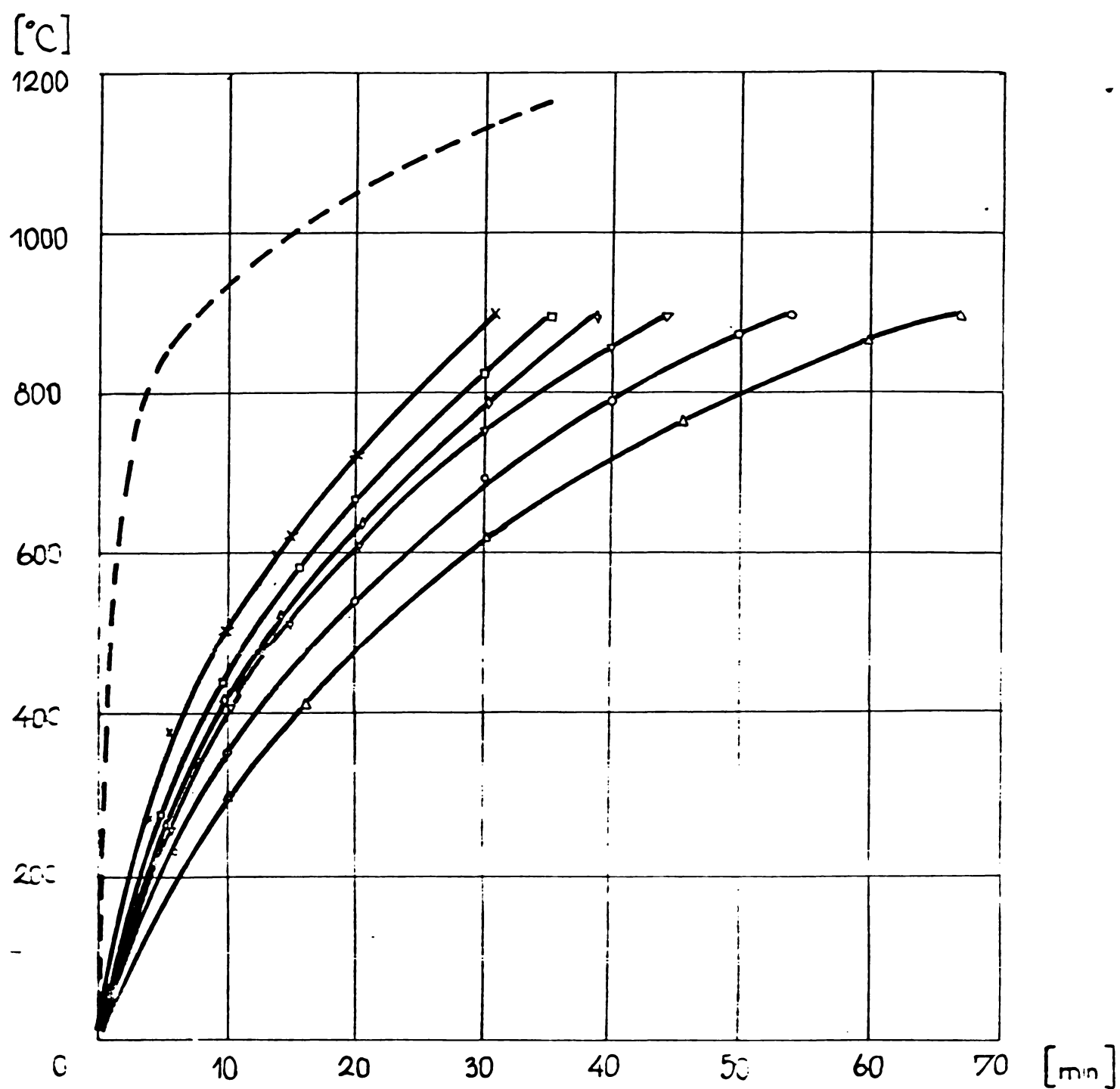
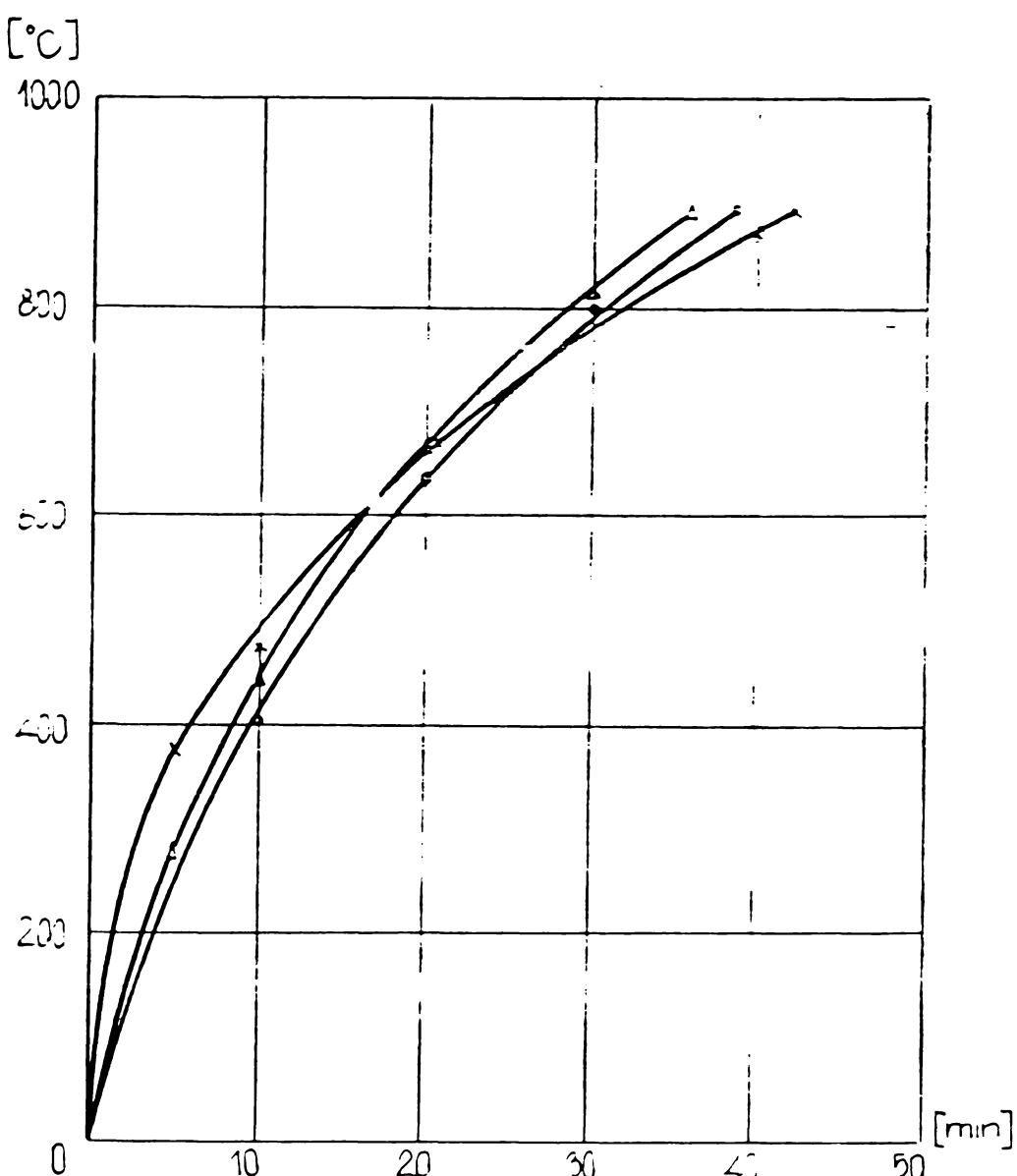


FIG.3.4.8 - Viteza de încălzire a materialului cu zidărie permeabilă $\varnothing 4$.

- △ încărcare termică $184 \text{ [kW/m}^3]$
- încărcarea termică $221 \text{ [kW/m}^3]$
- ▽ încărcarea termică $257 \text{ [kW/m}^3]$
- ◊ încărcarea termică $294 \text{ [kW/m}^3]$
- încărcarea termică $331 \text{ [kW/m}^3]$
- ✗ încărcarea termică $368 \text{ [kW/m}^3]$
- temperatura în cuptor pentru încărcarea termică de $331 \text{ [kW/m}^3]$.

zire suplimentară a peretelui permeabil și deci intensificarea schimbului termic global în spațiul de lucru al cuptorului. De altfel, și temperatura în spațiul de lucru al cuptorului (curba de linie înterruptă fig.3.4.7 și 3.4.8) este mai mare cu aproximativ $70\text{--}95^{\circ}\text{C}$ în cazul zidăriei $\phi 4\text{ mm}$ comparativ cu zidăria permeabilă $\phi 10\text{ mm}$.

Ca și în condițiile de funcționare a cuptorului cu zidărie normală, influența excesului aerului de ardere se repercuzează supra timpului de încălzire (fig.3.4.9), observându-se ca la un interval



Variatia temperaturii probei în cuptorul cu zidărie permeabilă $\phi 4$, la o încărcare termică de $331[\text{Kw/m}^3]$, pentru diferite valori ale excesului aerului de ardere (λ).

- -temperatura probei pentru $\lambda = 0,9$
- △ -temperatura probei pentru $\lambda = 1,0$
- ✗ -temperatura probei pentru $\lambda = 1,2$

Fig.3.4.9

de aer de ardere $\lambda = 1,2$, viteza de încălzire pînă la 500°C cînd pot apărea tensiuni termice periculoase, are valori ce se apropie mult de valoarea maximă admisibilă, și mult gradul de oxidabilitate crește prin producerea unei cantități însemnante de oxid pe suprafața probei.

In timpul funcționării cuptorului cu zidăria permeabilă temperatura acesteia depășește cu mult valoarea atinsă a temperaturii zidăriei cuptorului la funcționarea cu zidăria clasică la aceeași sarcină termică. Gazele arse din spațiul de lucru al cuptorului transmit o parte din căldură materialului de încălzit cît și zidăriei permeabile care la valori ale temperaturii de peste 600°C devine puternic radiantă amplificînd schimbul termic global din spațiul de lucru.

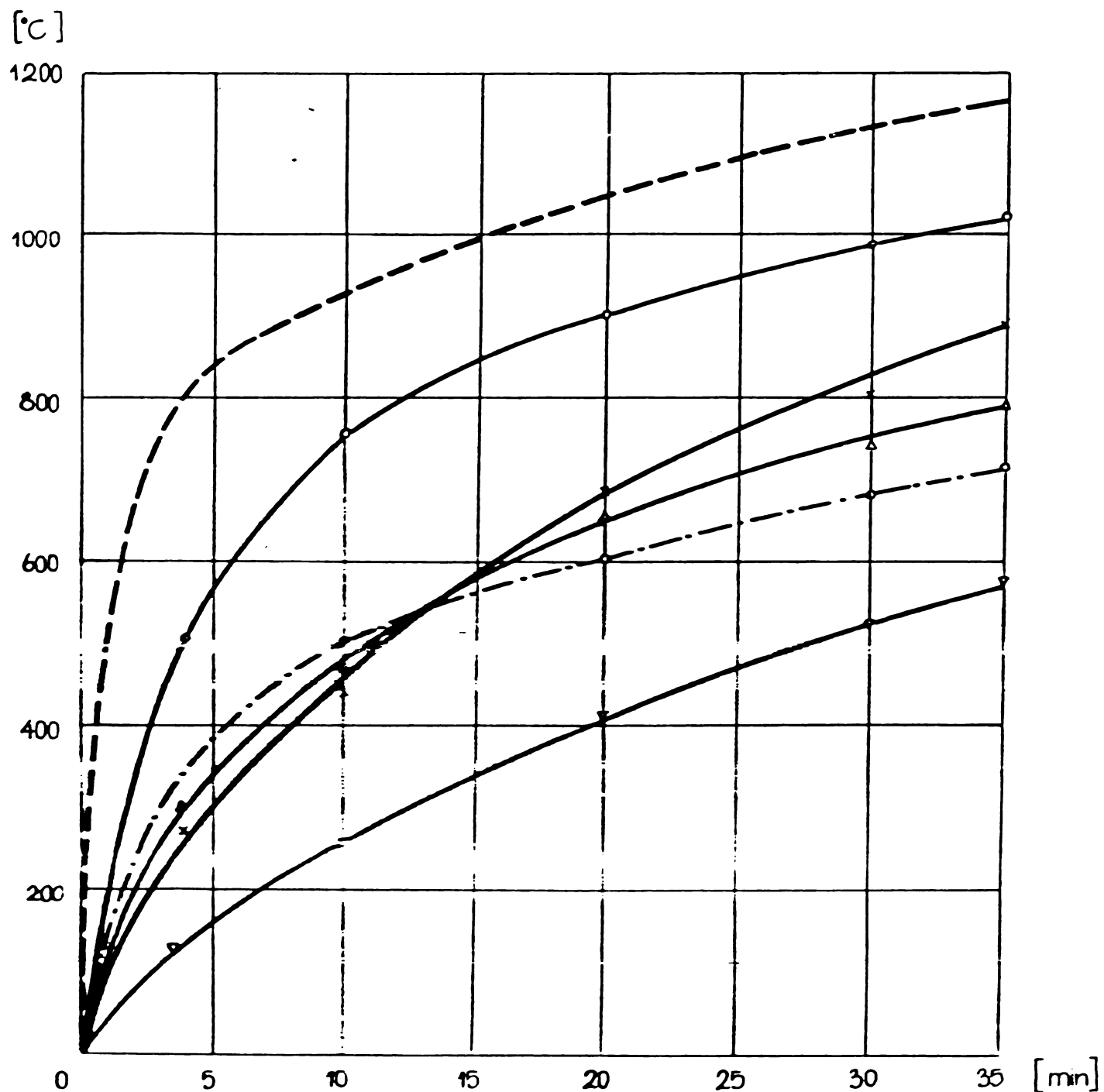
Temperatura atinsă de zidăria normală devine mult mai scăzută (fig.3.4.10) comparativ cu temperatura pe care ar fi avut-o la funcționarea cuptorului fără montarea pereților permeabili.

Această situație ar crea posibilitatea reducerii dimensiunilor zidăriei normale a cuptorului cu pereți permeabili, ușurînd instalația în general, dar efectul simțitor ar fi reducerea prețului de cost a instalației și reducerea căldurii acumulate în zidărie implicit a consumului de combustibil.

Așa cum reiese și din diagrama temperaturilor din fig.3.4.11 la aceeași încărcare termică a cuptorului (331 KW/m^3), temperatura pe față interioară a peretelui permeabil se situează la finalul încălzirii la 1020°C iar temperatura feței interioare a zidăriei normale la cca 580°C . La funcționarea cuptorului fără pereți permeabili aceeași zidărie normală atinge valori la finalul încălzirii probei, de 840°C .

Să din această diagarmă rezultă că reducerea de consum de combustibil, utilizînd pereți refractari permeabili este de 43,54% la funcționarea cuptorului în regim termic nestaționar.

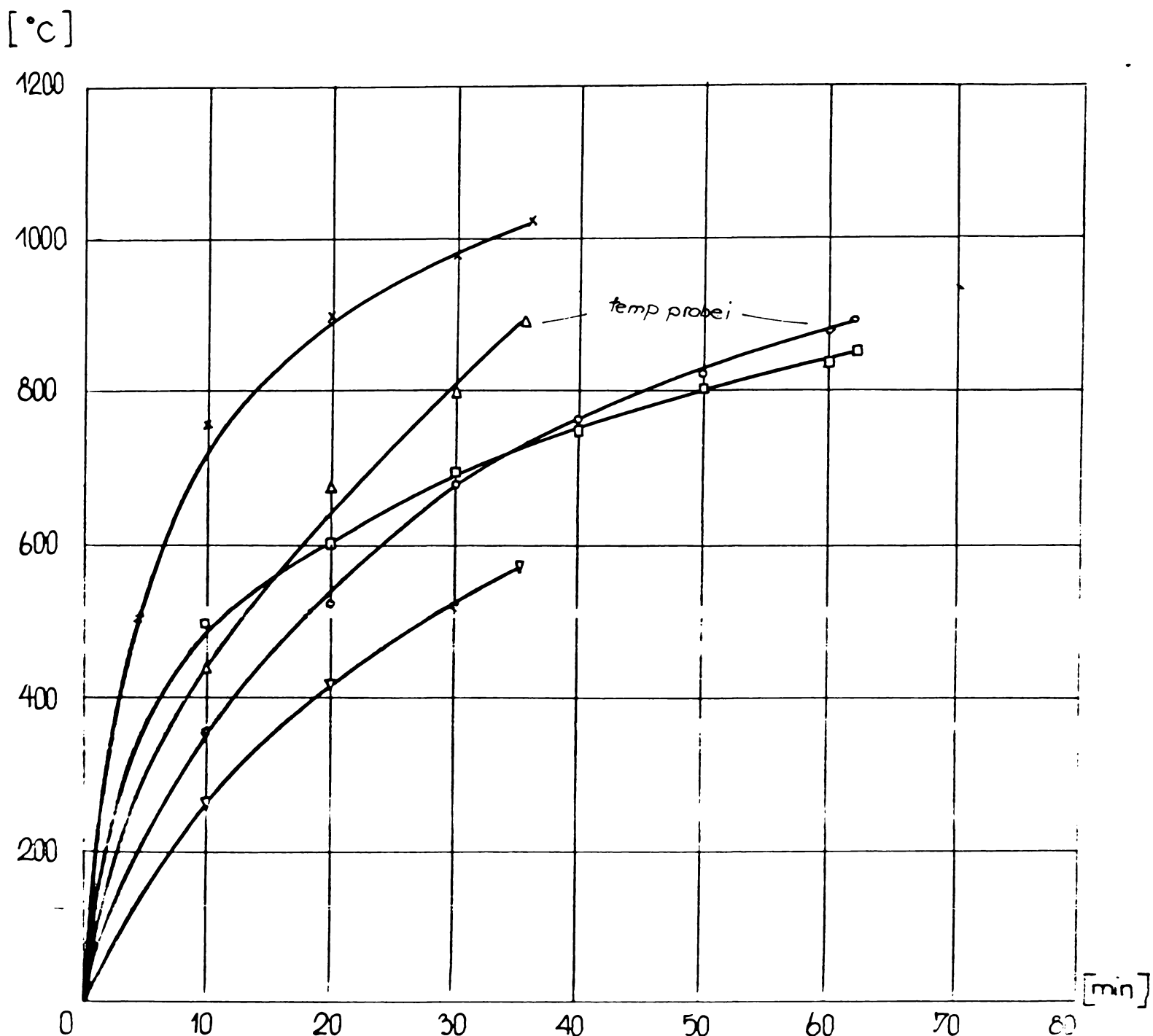
Comparată în ansamblu, funcționarea cuptorului, la aceeași încărcare termică de 331 KW/m^3 , cu zidărie normală, cu pereți permeabili $\varnothing 10$ și $\varnothing 4 \text{ mm}$ utilizînd probe identice, încălzite pînă la 900°C (fig.3.4.12), reiese creșterea rolului zidăriei (permeabile) în procesul complex de transfer a căldurii spre materialul ce se încălzește spre deosebire de cuptorul cu zidărie normală unde rolul acesteia în procesul de transfer termic radiant se diminuează.



Viteza de încălzire a materialului și peretilor

- - temperatura peretelui permeabil pe fața interioară
- ▲ - temperatura peretelui permeabil pe fața exterioară
- ▼ - temperatura peretelui clasic pe fața interioară
- ✗ - temperatura materialului
- - temperatura peretelui clasic la cuptorul cu zidărie normală
- - temperatura în cuptor

Fig.3.4.lo



Viteza de încălzire a probei și zidăriei.

- -temperatura probei (zidărie clasică)
- -temperatura zidăriei clasice
- △ -temperatura probei (zidăriei permeabilă)
- ✗ -temperatura peretelui permeabil
- ▼ -temperatura zidăriei clasice (cu zidărie permeabilă)

Fig.3.4.11

odată cu ridicarea temperaturii în cuptor (ponderea de radiație deținînd-o numai gazele arse).

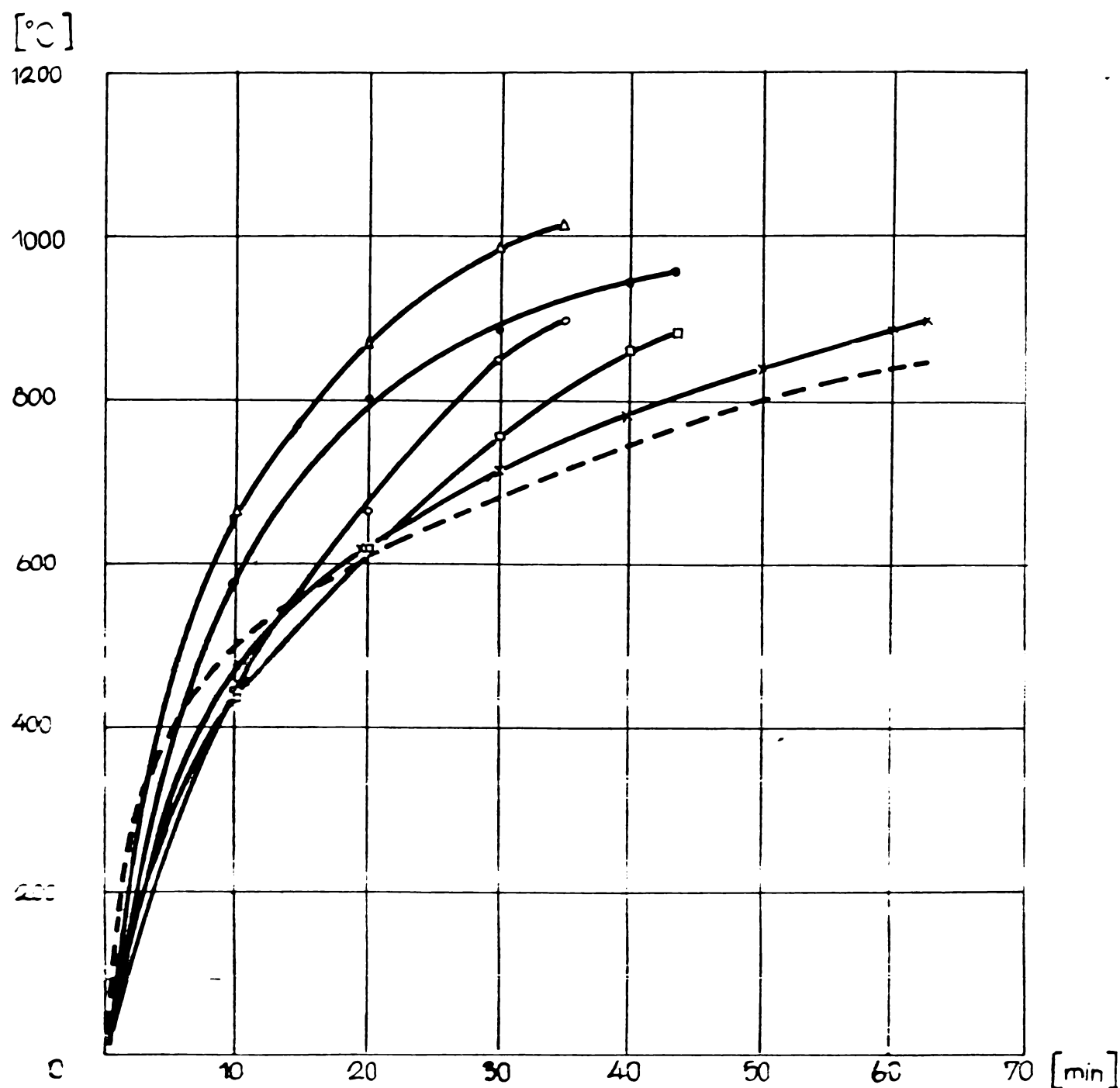


Fig.3.4.12 - Variatia temperaturii materialului la incarcarea termica de 331 kW/m^3 .

- -temperatura probei în cuptorul cu zidărie permeabilă $\varnothing 4$
- -temperatura probei în cuptorul cu zidărie permeabilă $\varnothing 10$
- ×
- △ -temperatura probei în cuptorul cu zidărie clasică
- -temperatura zidăriei permeabile $\varnothing 4$
- -temperatura zidăriei permeabile $\varnothing 10$
- -temperatura în cuptorul cu zidărie normală

Creșterea coeficientului global de transfer termic global, calculat anterior, se justifică prin ridicarea substanțială a temperaturii peretilor permeabili, care devin suprafete puternic rădian-

te, precum și a temperaturii gazelor de ardere din incinta de lucru.

Odată cu intrarea în regimul termic staționar a zidăriei cuptorului, cînd se finalizează acumularea de căldură în pereti, atît în cei normali cît și în cei permeabili, efectul zidăriei permeabile constă în extragerea suplimentară de căldură din gazele de ardere, avînd ca efect suplimentarea aportului radiației termice aparținînd zidăriei, asupra materialului ce se încălzește. După cum rezultă și din diagrama temperaturilor zidăriei cuptorului (fig. 3.4.13), după cca 3,5 ore de la aprinderea focului în cuptor (încărcare termică 331 KW/m^3) pe suprafața interioară atît a zidăriei clasice (curba o) cît și a celei permeabile (curbele x și Δ) se atinge temperatura de regim termic stabilizat (tab. 3.3.1, respectiv tab. 3.4.2) urmînd ca acumularea definitivă de căldură să se finalizeze pentru funcționarea cuptorului cu zidărie clasica după 13,14 ore iar pentru funcționarea cuptorului cu zidărie permeabilă, după 11,34 ore (fig. 3.3.1).

Curba (•) creșterii temperaturii zidăriei normale (fig. 3.4.12) aparținînd cuptorului cu zidărie permeabilă se situează valoric sub curba temperaturii zidăriei normale aparținînd cuptorului clasic cu cca 335°C , ce implică reducerea căldurii acumulate în zidărie normală corespunzător valorilor prezentate din tabelul 3.4.1.

Avinde în vedere că regimul de funcționare pentru majoritatea cuptoarelor de încălzire și tratament termic de mică și medie capacitate, este discontinuu, prin modificarea zidăriei acestora, în sensul montării pereților permeabili reducerea de consum de combustibil se situează către valorile maxime obținute în cadrul experimentărilor de laborator, luînd în considerare că regimul termic al zidăriei nu este stabilizat.

Pentru cuptoarele cu funcționare continuă, reducerea globală a consumului se mai diminuează ajungînd la 12 - 16%, comparativ cu reducerea de consum la funcționare în regim termic nestaționar care se situează în cadrul experimentărilor de laborator în jurul valorii de 38 - 43%.

Valoarea măsurată a temperaturii gazelor arse înaintea intrării în recuperatorul preîncălzitor de aer la funcționarea cuptorului cu zidărie normală și permeabilă la aceeași încărcare termică a spațiului de lucru, prezintă diferențe apreciabile aşa cum rezultă și din diagrama din fig. 3.4.14 dovedind că rostul zidăriei permeabile

[°C]

1400

1200

1000

800

600

400

200

0

0,5

1,0

1,5

2,0

2,5

3,0

3,5

[ore]

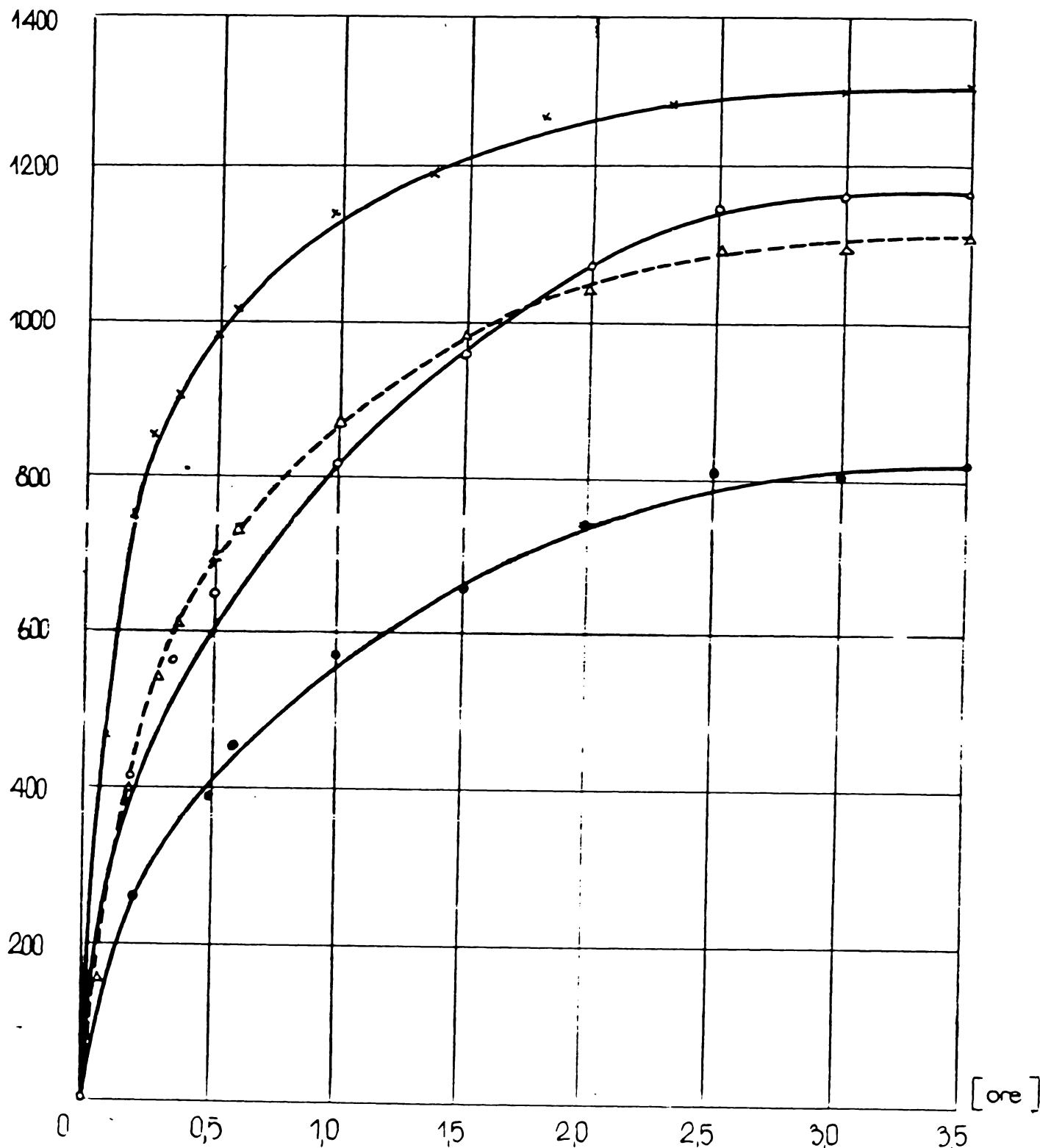


Fig.3.4.13 - Variația temperaturii zidăriei normale și permeabile la o încărcare termică de 331 Kw/m^3

- - temperatura zidăriei normale pe fața interioară
- - temperatura zidăriei normale pe fața interioară după montarea zidăriei permeabile
- ✗ - temperatura zidăriei permeabile pe fața interioară
- △ - temperatura zidăriei permeabile pe fața exterioară

Tabel 3.4.4

Tipul zidăriei cuptorului	Căldura acumulată în zidăria normală de la pornirea din stare rece pînă la atingerea temperaturii materialului de 900°C [%]	Căldura acumulată în zidăria normală pînă la atingerea regimului termic staționar [%]
zidărie clasică	100	100
pereți permeabili	38,62	71,62
reducere de căldură acumulată [%]	61,38	28,38

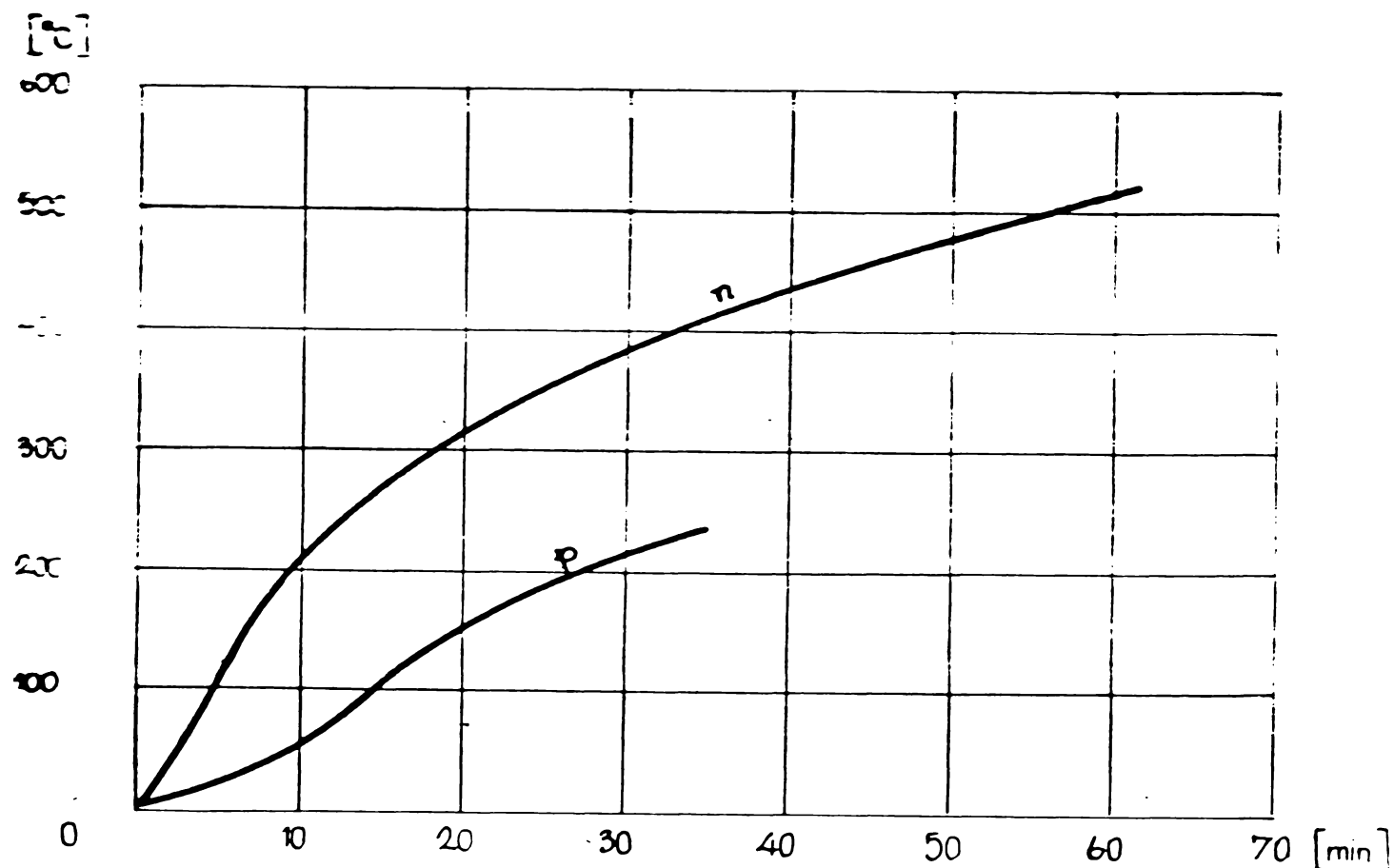


Fig.3.4.14 - Temperatura gazelor arse la intrarea în recuperator pentru cuptorul cu zidărie permeabilă (p) și normală (n).

este de a extrage căldură din gazele arse în scopul ridicării suplimentare a temperaturii acesteia și deci amplificării radiației termice.

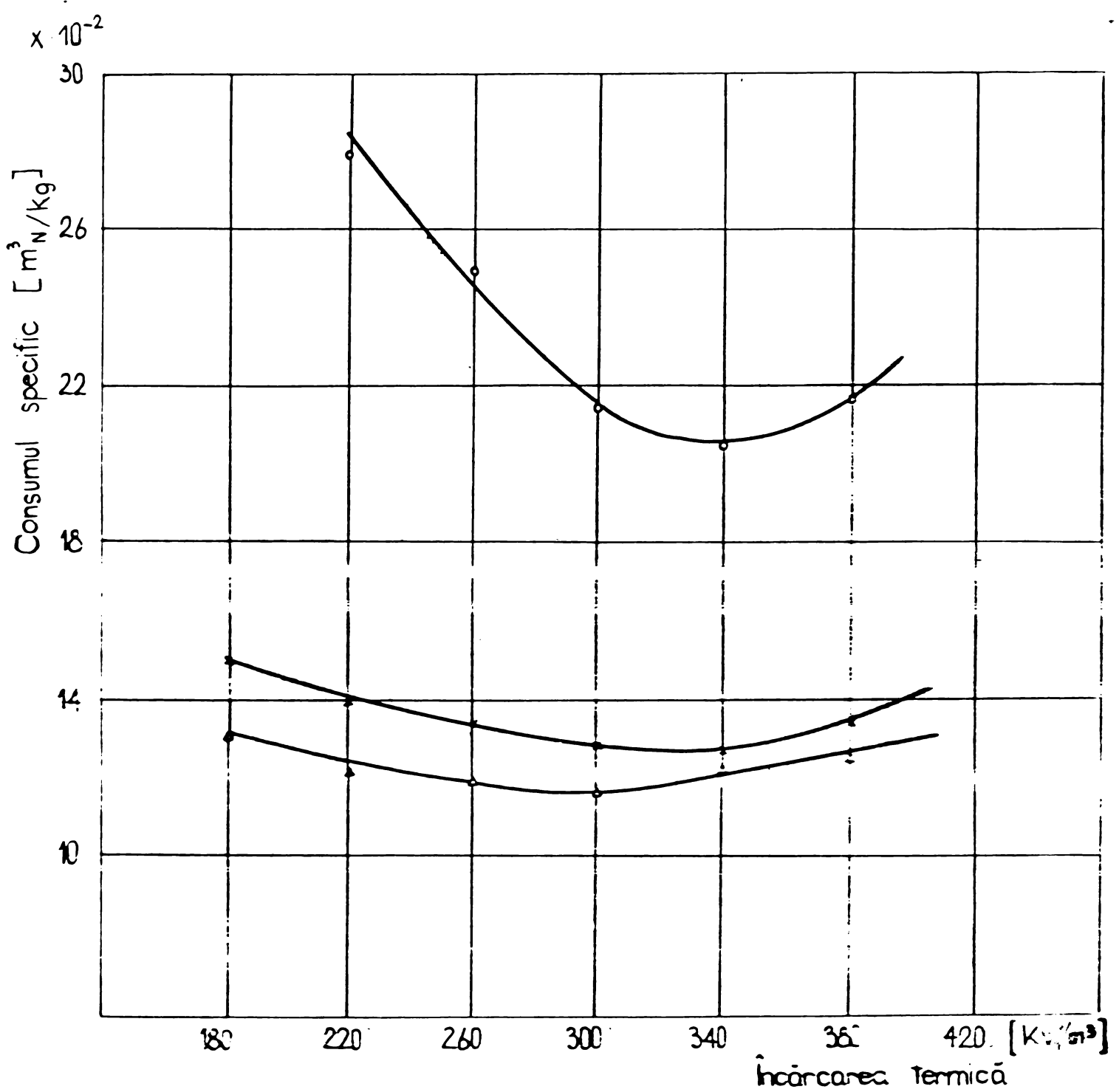


Fig.3.4.15 - Variația consumului specific de combustibil, cu încărcarea termică.

- - încălzire cu zidărie clasică
- × - încălzire cu perete permeabil $\phi 10$
- △ - încălzire cu perete permeabil $\phi 4$

Comparînd cele trei variante de funcționare a cuptorului (zidărie clasică, zidărie permeabilă $\phi 10$ mm și $\phi 4$ mm) sub aspectul consumului specific de combustibil realizat la cele șase regimuri de lucru rezultă că (fig.3.4.15) valoarea minimă a consumului specific

se obține la funcționarea cuptorului cu zidărie permeabilă ϕ 4 mm. iar regimul optim de încărcare termică se situează în intervalul $280 - 340 \text{ KW/m}^3$.

Utilizînd metodologia de calcul pentru fluxul termic în spațiul de lucru al cuptorului [21,23,28,36] a rezultat că fluxul termic prin pereți la funcționarea cuptorului cu zidărie normală stinge în regim termic stationar valoarea de

$$q = 1034,8 \text{ [W/m}^2]$$

reducîndu-se după montarea pereților refractari permeabili la

$$q = 698,9 \text{ [W/m}^2]$$

Fluxul termic din zidăria permeabilă însă are valori mult mai ridicate ($q = 6977,1 \text{ W/m}^2$), ceea ce dă zidăriei permeabile și un caracter de ecran termic al zidăriei normale.

Acumularea de ecran, atracția zidăriei permeabile la refractare nu este consacrată întru-cît cercetările și încercările în acest domeniu au arie foarte restrînsă în lume (R.F.Germania și R.P.Ungaria, rezultînd din bibliografie de specialitate existența unor experimentări de laborator).

Din cele expuse reiese clar rolul de suprafață puternic radiant a pereților permeabili, calitate dobîndită din extragerea unei cantități suplimentare de căldură din gazele de ardere înainte ca acestea să părăsească spațiul de lucru al cuptorului. Concomitent zidăria permeabilă "diminuează" fluxul termic incident la zidăria normală, reducîndu-i considerabil temperatura cu urmările economice care au fost subliniate.

3.5. Determinarea duratei de încălzire a materialului

Determinarea analitică a duratei de încălzire se face pornind de la ecuația conductionei termice (în coordonate cilindrice):

$$\frac{\partial t}{\partial \tau} = a \left(\frac{\partial^2 t}{\partial r^2} + \frac{1}{r} \frac{\partial t}{\partial r} \right) \quad (3.5.1)$$

Soluția generală a acestei ecuații este de forma unei serii infinite obținute prin calcule foarte laborioase.

In cazurile particulare se poate obține soluția ecuației sub forma criterială (temperatura inițială $t_0 = ct$):

$$\frac{t_m - t}{t_m - t_0} = f \left(\frac{\alpha \cdot R}{\lambda} ; \frac{a \cdot \tau}{R^2} ; \frac{r}{R} \right) \quad \text{sau}$$

$$\frac{t_m - t}{t_m - t_0} = f(B_i, F_o, \frac{r}{R}) \quad (3.5.2)$$

unde:

t_m -temperatura mediului de încălzire [°C]

t -temperatura unui punct curent pe raza materialului [°C]

t_0 -temperatura inițială a materialului [°C]

r -distanța unui punct curent, măsurată de la suprafață, pe rază [m]

Utilizarea criteriului F_o care prezintă o dependență inversă cu pătratul razei, duce la erori destul de mari, drept care, pentru evitarea acestui neajuns, s-a introdus un nou criteriu, Boussinesq (Bq) având expresia:

$$\frac{\theta_s}{\theta_c} = \frac{F_o(\frac{r}{R})^2}{\frac{\alpha^2}{R^2}} = \frac{\alpha^2 \cdot R^2}{\lambda^2} = \frac{\alpha^2}{\lambda^2} \cdot \tau, \quad (3.5.3)$$

cu soluțiile:

$$\frac{t_{med} - t}{t_{med} - t_0} = f(B_i; Bq; \frac{r}{R}) = \epsilon \quad (3.5.4)$$

Pentru $r = 0$, se obține soluția în centru suprafață (θ_s), iar pentru $r = R$, se obține soluția pentru centrul piesei (θ_c) și valoările $\theta_s = f(B_i, Bq)$, $\theta_c = f(B_i, Bq)$ rezultă din nomogramele 3.5.1 și 3.5.2.

De menționat că pentru oțelurile carbon și slab aliate, se poate neglija variația mărimilor fizice λ și C_p cu temperatura.

$$Bq = \frac{\epsilon}{\lambda^2} \cdot \alpha^2 \cdot \tau \quad \text{sau pentru: } \frac{\epsilon}{\lambda^2} = \frac{1}{\lambda \cdot \gamma \cdot C_p} = K \text{ rezultă:}$$

$$Bq = K \cdot \alpha^2 \cdot \tau \quad (3.5.5)$$

Pentru calculele practice se consideră $K = 0,26 \cdot 10^{-4}$:

$$Bq = 0,26 \cdot 10^{-4} \cdot \alpha^2 \cdot \tau \quad (3.5.6)$$

Cu ajutorul metodăi de calcul, utilizând criteriile adimensionale și nomogramele respective pot fi determinate grafo-analitic timpul de încălzire a piesei și durata de menținere pentru obținerea unui anumit grad de uniformitate a temperaturii în secțiunea piesei.

Valorile temperaturii în centru și pe suprafața cilindrului

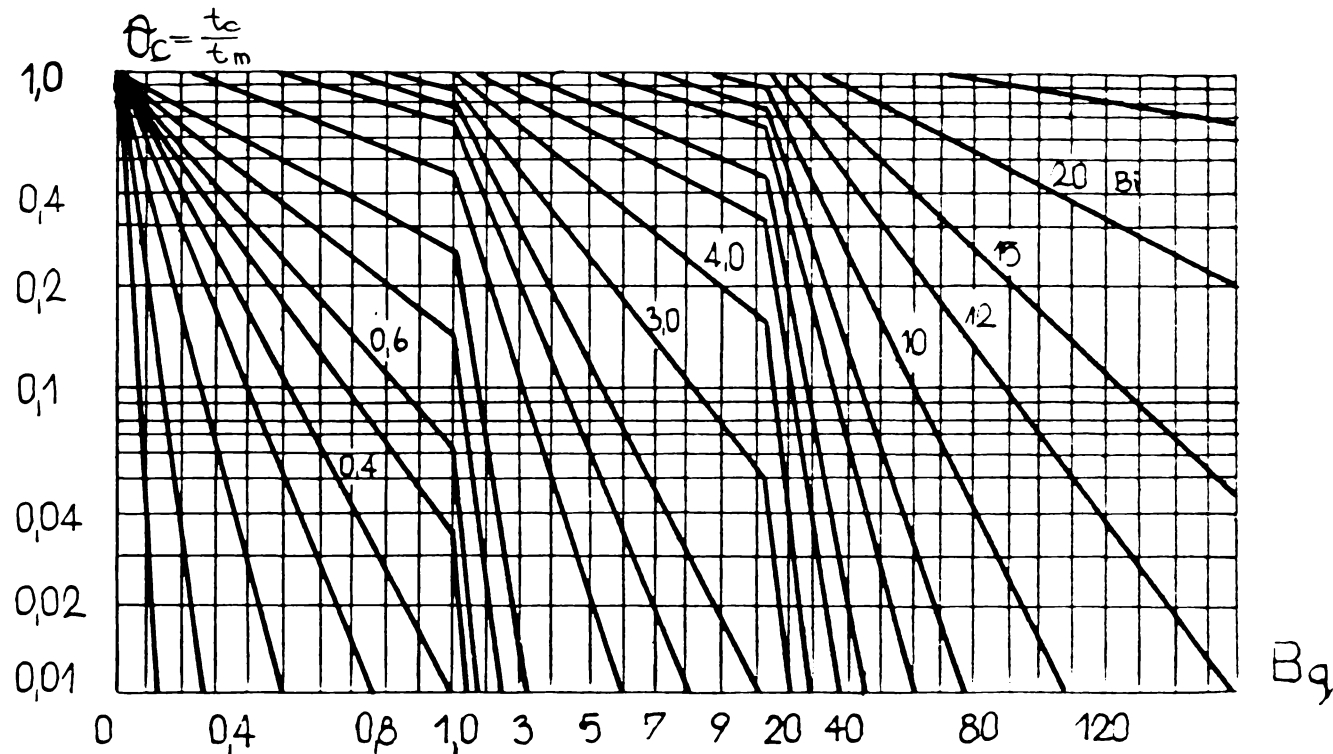


Fig.3.5.1 - Nomogramă de calcul pentru determinarea temperaturii în centrul cilindrului

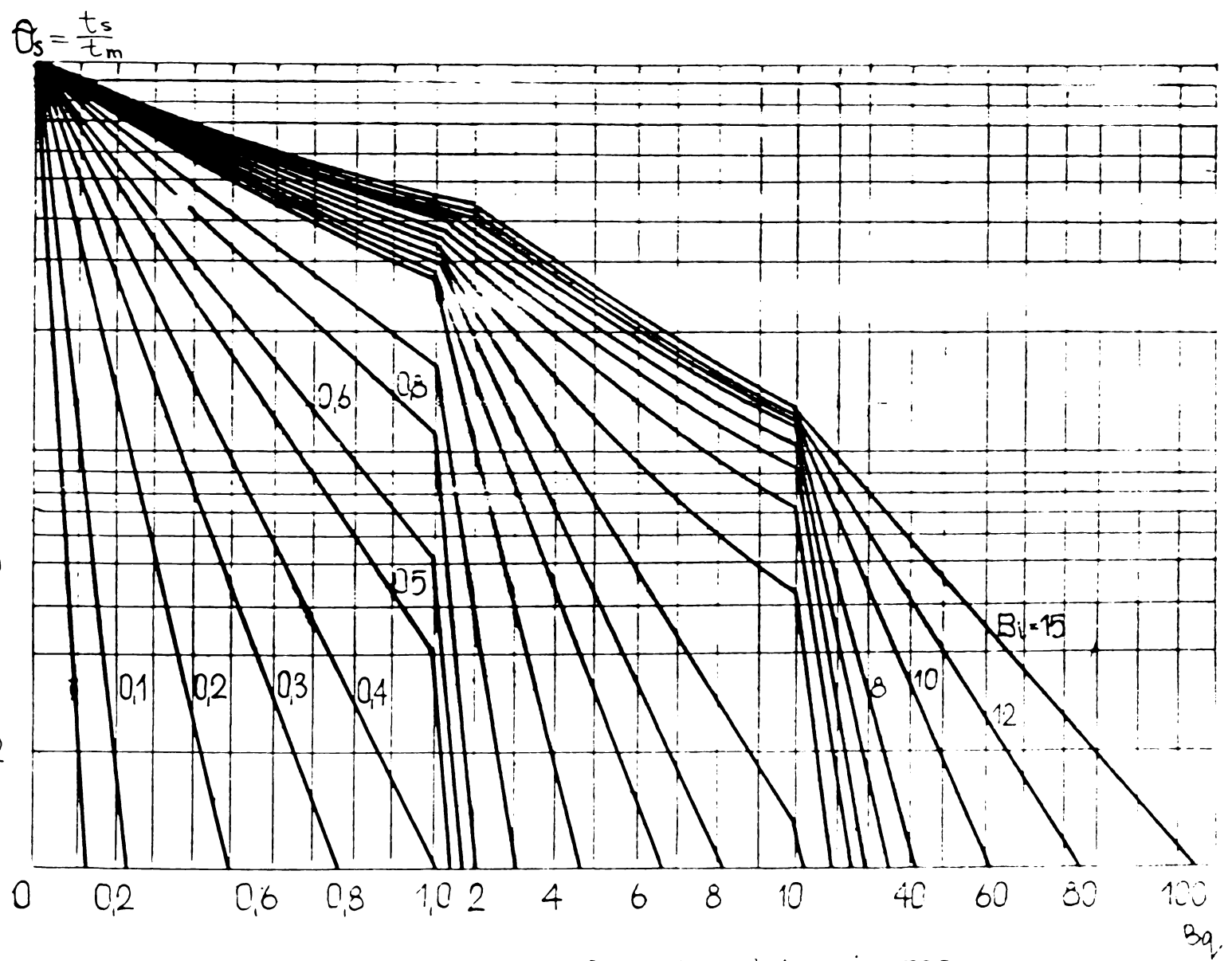


Fig.3.5.2 - Nomograma de calcul pentru determinarea temperaturii pe suprafața cilindrului

rezultă din

$$t_s = t_{med} - \theta_s (t_{med} - t_o) \quad (3.5.7)$$

$t_c = t_{med} - \theta_c (t_{med} - t_o)$, iar diferența de temperatură maximă va fi:

$$\Delta t = t_s - t_c = (t_{med} - t_o)(\theta_c - \theta_s) \quad (3.5.8)$$

Încălzirea se consideră încheiată în momentul în care suprafața a atins temperatura cerută. În momentul respectiv însă, există o diferență relativ mare, depinzând de forma și dimensiunile semifabricatului, între temperatura suprafetei și a centrului piesei notată cu:

$$\Delta t_{in} = t_{si} - t_{ci} \quad (3.5.9)$$

Pentru obținerea unei temperaturi corespunzătoare și în miez, piesa se mai menține un timp în cuptor, admitîndu-se o diferență de temperatură finală:

$$\Delta t_f = t_s - t_c \quad (3.5.10)$$

Gradul de neuniformitate a încălzirii se definește prin raportul: $\Delta \theta = \frac{\Delta t_f}{\Delta t_{in}}$, depinzând în timpul încălzirii de regimul termic

de încălzire, de material și dimensiunile piesei [45], valoarea sa rezultă din nomogramă [46].

Admitînd în final o anumită diferență de temperatură Δt_f , se calculează $\Delta \theta$, rezultă Bq și se stabilește durata de menținere

$$\tau = \frac{Bq}{0,26 \cdot 10^{-4} \cdot \alpha^2} \cdot$$

Considerîndu-se valorile medii ale temperaturii probei de încălzire în cuptorul cu zidăria normală și cea permeabilă, conform cu ecuația criterială

$$\theta = f(B_i, Bq, \frac{r}{R}) \quad (3.5.11)$$

s-a asimilat proba cu un cilindru avînd raza echivalentă 0,056 m.

Caracteristicile fizice și termice s-au determinat tot în baza valorilor lor medii, conform curbelor de încălzire pentru fiecare caz.

Alegerea valorilor coeficientului global de schimb termic din spațiul de lucru al cuptorului, prezintă însă cea mai mare greutate întrucît dependența sa de factorii implicați în procesul de încălzire.

zire nu poate fi pe deplin determinată. În literatura de specialitate [46, 49, 22,] metodele de calcul și determinare sunt foarte diverse și tot atât de diverse sunt și concluziile la care se ajunge în exprimarea cât mai exactă a valorii lui α .

Statistic, α se plasează în jurul unor valori care au fost determinate și în experimentările expuse în prezenta lucrare sau calculate analitic.

Din aceste considerente s-a calculat distribuția temperaturii în probă prin metoda criterială mai sus expusă, având în vedere valoarea lui α determinată experimental și cea determinată nomografic.

Din tabelul 3.5.1 rezultă valorile temperaturii probei la suprafață și în centru cunoscîndu-se experimental timpul de încălzire pentru fiecare sistem de zidărie.

Comparînd aceste rezultate cu cele obținute direct prin măsurători (tab.3.5.2) se trage concluzia că temperatura finală la suprafață și în centru probei obținută valoric prin metoda analitică (tab.3.5.1) cu cele două valori ale coeficientului global de transfer termic (experimental și teoretic) nu diferă substanțial de temperatura rezultată prin măsurători directe.

Este necesar să se precizeze că temperaturile obținute conform tabelului 3.5.1 sunt afectate de erori tecnică datorită metodelor de calcul cu nomograme, acestea neînînd seama de condițiile specifice (tipul cuptorului, organizarea circulației gazelor, etc) de încălzire a probei cât și de faptul că proba nu are profil rotund ci pătrat, fiind doar asimilată cu o secțiune circulară conform cu

$$R_e = \sqrt{\frac{S}{\pi}} \quad (3.5.12)$$

În ceea ce privește măsurătorile directe din timpul funcționării cuptorului, gradul de neuniformitate a încălzirii în camera de lucru a cuptorului nu a putut fi complet înălăturată fapt ce reiese și din tabelul 3.5.3.

Sistemul cuptoarelor cu flacără întoarsă oferă pînă la ora actuală cea mai eficace soluție de repartizare uniformă a fluxului termic din spațiul de lucru.

Totuși în condițiile existenței unui singur arzător, acest deziderat nu poate fi pe deplin realizat.

Se justifică astfel (vezi tabel 3.5.3) diferența de temperatură

Tabel 3.5.1

Tipul zidăriei	Temp. medie a probei [°C]	Temp. medie a gazelor din găspitor [°C]	λ_{med} [W/mK]	C_{med} [J/KgK]	ϱ [kg/m³]	Tipul dă în călzire [h]	α [W/m²K]	Bq	Bi	t_s [°C]	t_c [°C]
normală	671,7	849,3	19,58	727,4	8100	1,03	135,14 (exp.)	0,583	0,386	807,8	799,5
permabilă	628	1036	19,58	727,4	8100	0,60	159,5 (exp.)	0,48	0,45	883,6	863,3
permeabilă	628	1036	19,58	727,4	8100	0,60	215 (teor.)	0,868	0,615	939,4	924,2

Tabel 3.5.2

Tipul zidăriei	Timpul zidăriei [min]	Temp.zidăriei normală [°C]	Temp.zidăriei permeabilă [°C]	t_s	t_c	Temp.gazelor arse [°C]	Temp.aerului preîncălzit [°C]
normală	0	20	-	20	20	20	20
	10	435	-	360	225	710	43
	20	550	-	520	400	780	70
	30	635	-	670	565	825	111
	40	710	-	760	675	830	133
	50	750	-	820	730	900	165
	60	807	-	895	810	920	190
	62	815	-	901	820	930	194
	0	20	20	20	20	20	20
	5	48	465	245	110	360	22
	10	142	755	450	300	900	27
	15	210	850	565	440	1000	35
	20	275	910	665	555	1050	42
	30	390	985	825	735	1130	69
	36	455	1020	911	828	1165	83

Tabel 3.5.3

Tipul zidăriei	Timpul [min]	Temp. supraf. ts_2 [°C]	Temp. supraf. ts_1 [°C]	Temp. în centru tc_2 [°C]	Temp. în centru tc_1 [°C]
normală	0	20	20	20	20
	10	360	280	225	182
	20	520	420	400	305
	30	670	570	565	470
	40	760	680	675	592
	50	820	765	730	655
	60	895	825	810	732
	62	900	840	825	765
Temp. finală medie		870		795	
permeabilă	Timpul	ts_1	ts_2	tc_1	tc_2
	0	20	20	20	20
	5	245	260	110	110
	10	450	425	300	278
	15	565	520	440	400
	20	665	618	555	502
	30	825	790	732	675
	35	908	875	828	775
Temp. finală medie $^{\circ}\text{C}$		891,5		801,5	

la suprafața probei la un capăt și celălalt atât în sistemul zidăriei normale cât și a celei permeabile; după 30 de minute de încălzire la cuptorul cu zidărie normală apare o diferență de temperatură la suprafață de 100°C iar la cuptorul cu zidărie permeabilă, 65°C .

Din cele de mai sus rezultă însă și o altă concluzie ce favorizează sistemul de zidărie permeabilă, anume, diferența de temperatură este mai mică la încălzirea cu zidărie permeabilă decât la cea clasică.

Deci gradul de uniformitate a temperaturii este mai ridicat la zidăria permeabilă comparativ cu cea clasică.

Fenomenul se explică prin staționarea mai îndelungată a gazelor în spațiul de lucru prin rezistența hidraulică mai ridicată a zidăriei permeabile precum și de supraîncălzirea acesteia, datorită fenomenului foarte intens de transfer termic de la gazele de ardere.

In plus, viteza de încălzire a materialului în cuptorul cu zidăria permeabilă este mult mai mare comparativ cu cea de la zidăria clasică ce implică posibilitatea aparției (în condiții normale) unor diferențe de temperatură și mai mari și a unor neuniformități a fluxului termic mai accentuate.

3.6. Calculul vitezei limită de încălzire a probei

In stabilirea tehnologiei de încălzire sau tratament termic prima condiție care este de altfel cea mai importantă, o constituie asigurarea unei viteze de încălzire a materialului care să nu determine apariția fisurilor care ar putea compromite încărcătura.

Ori, prin amplificarea schimbului de căldură în cuptor odată cu montarea pereților refractari permeabili, menținind constant consumul de combustibil, viteză de încălzire crește foarte mult (v.3.4). În cadrul experimentărilor de laborator s-a ținut seama de acest fenomen, drept pentru care în subcapitolul de față s-a prezentat modul de calcul al tensiunilor termice și vitezei limită de încălzire precum și rezultatele acestor calcule concretizate asupra parametrilor funcționali ai cuptorului experimental de laborator.

Intreaga instalație de laborator este concepută pentru realizarea încălzirii semifabricatelor pînă la o anumită temperatură (900°C), prin urmare cercetările au fost conduse în ideea reducerii consumului de combustibil fără modificarea încărcării termice a cuptorului ci prin mărirea vitezei de încălzire, deci a reducerii timpului de încălzire.

Alta este situația cuptoarelor de tratament termic, unde pentru realizarea unei mai mari uniformități a temperaturii în semifabricat, viteză de încălzire nu suferă modificări, reducerea consumului de combustibil rezultînd din micșorarea încărcării termice a spațiului de lucru.

Valoarea vitezei de încălzire este legată de apariția tensiunilor termice care apar în masa semifabricatului [53,54].

Tensiunile care apar în oțel pot deveni periculoase în intervalul de temperaturi $0\dots 500^{\circ}\text{C}$, peste aceste valori, tensiunile dispare prin apariția deformărilor plastice.

Pentru oțelul moale, viteză de încălzire nu se limitează nici la valorile temperaturilor pînă la 500°C , deoarece acesta posedă o plasticitate ridicată.

În condițiile în care piesele tratate sau încălzite au secțiuni mici, viteză de încălzire nu se limitează pentru oțelul carbon sau aliat, tensiunile ce apar neprezentînd pericol.

În cazul încălzirii lingourilor sau semifabricatelor din stare rece, cînd deja acestea au dobîndit o stare tensională cu caracter volumetric după procesul de turnare, se suprapun tensiuni datorate neuniformității încălzirii care în final pot determina apariția fi-

surilor profunde în material deci rebutarea șarpei.

Expresiile tensiunilor termice care apar la încălzirea unui cilindru sănt:

$$\sigma_r = \frac{\beta \cdot E}{1 - \nu} \left(\frac{1}{R^2} \int_0^R tr dr - \frac{1}{r^2} \int_0^R tr dr \right) \quad (3.6.1)$$

$$\sigma_o = \frac{\beta \cdot E}{1 - \nu} \left(-t + \frac{1}{R^2} \int_0^R tr dr + \frac{1}{r^2} \int_0^R tr dr \right) \quad (3.6.2)$$

$$\sigma_z = \varepsilon_z \cdot E + \frac{\beta \cdot E}{1 - \nu} \left(-t + \frac{2\nu}{R^2} \int_0^R tr dr \right) \quad (3.6.3)$$

unde: - σ_o , σ_r , σ_z sănt tensiunile tangențiale, radiale și axiale provocate de neuniformitatea încălzirii cilindrului [N/mm^2];

- ε_z deformatie specifică axială [mm/mm].

Expresia cîmpului de temperatură din secțiunea transversală a cilindrului este dată de relația (3.6.4):

$$t = \Psi(\tau) + \sum_{n=1}^{\infty} N_n I_o(\mu_n \frac{r}{R}) \quad (3.6.4)$$

în care:

t -temperatura în cilindru [$^{\circ}C$]

$\Psi(\tau)$ -funcția de temperatură pe suprafața cilindrului [$^{\circ}C$]

N_n -termenul din suma seriei infinite

β -coeficientul dilatării liniare [$\frac{1}{m/K}$]

ν -raportul lui Poisson

E -modulul de elasticitate [N/mm^2]

τ -timpul de încălzire [h]

astfel că relația finală de calcul va fi:

$$\sigma_z = \frac{\beta \cdot E}{1 - \nu} \sum_{n=1}^{\infty} N_n \frac{1}{\mu_n} \left[2 I_1(\mu_n) - \mu_n I_o(\mu_n \frac{r}{R}) \right] \quad (3.6.5)$$

$$\sigma_r = \frac{\beta \cdot E}{1 - \nu} \sum_{n=1}^{\infty} N_n \frac{1}{\mu_n} \left[I_1(\mu_n) - \frac{R}{r} I_1(\mu_n \frac{r}{R}) \right] \quad (3.6.6)$$

$$\sigma_o = \frac{\beta \cdot E}{1 - \nu} \sum_{n=1}^{\infty} N_n \frac{1}{\mu_n} \left[I_1(\mu_n) + \frac{R}{r} I_1(\mu_n \frac{r}{R}) - \mu_n I_o(\mu_n \frac{r}{R}) \right] \quad (3.6.7)$$

Analizînd relațiile de mai sus se poate concluziona că la suprafața cilindrului:

$$\begin{aligned}\tau_r &= 0 \\ \tau_o = \tau_z &= \frac{\beta \cdot E}{1 - \nu} \sum_{n=1}^{\infty} N_n \frac{1}{\mu_n} [2 I_1(\mu_n) - \mu_n I_0(\mu_n)] \quad (3.6.8)\end{aligned}$$

iar în axul cilindrului:

$$\tau_r = \tau_o = \frac{E}{1 - \nu} \sum_{n=1}^{\infty} N_n \frac{1}{\mu_n} [I_1(\mu_n) - \frac{1}{2} \mu_n] \quad (3.6.9)$$

$$\tau_z = \frac{E}{1 - \nu} \sum_{n=1}^{\infty} N_n \frac{1}{\mu_n} [2 I_1(\mu_n) - \mu_n] \quad (3.6.10)$$

rezultînd că:

$$\tau_r = \tau_o + \tau_z \quad (3.6.11)$$

Considerînd variația liniară a temperaturii suprafeței materiei-lui încălzit (vezi subcapitolul 3.3 și 3.4), care în mod inițial are aceeași temperatură pe toată secțiunea, iar încălzirea se face cu o viteză uniformă, expresiile tensiunilor termice devin:

$$\begin{aligned}\tau_r &= \frac{\beta \cdot E}{1 - \nu} \frac{C R^2}{16 a} \left(1 - \frac{r^2}{R^2}\right) + \frac{\beta \cdot E}{1 - \nu} \frac{C R^2}{a} \sum_{n=1}^{\infty} \frac{2}{\mu_n^4} [\\ &\quad 1 - \frac{R}{r} \frac{I_1(\mu_n \frac{r}{R})}{I_1(\mu_n)}] e^{-\mu_n^2 \frac{a^2}{R^2}} \quad (3.6.12)\end{aligned}$$

$$\begin{aligned}\tau_o &= \frac{\beta \cdot E}{1 - \nu} \frac{C R^2}{16 a} \left(1 - 3 \frac{r^2}{R^2}\right) + \frac{\beta \cdot E}{1 - \nu} \frac{C R^2}{a} \sum_{n=1}^{\infty} \frac{2}{\mu_n^4} [\\ &\quad 1 + \frac{R}{r} \frac{I_1(\mu_n \frac{r}{R})}{I_1(\mu_n)} - \mu_n \frac{I_0(\mu_n \frac{r}{R})}{I_1(\mu_n)}] e^{-\mu_n^2 \frac{a^2}{R^2}} \quad (3.6.13)\end{aligned}$$

$$\begin{aligned}\tau_z &= \frac{\beta \cdot E}{1 - \nu} \frac{C R^2}{a} \frac{1}{8} \left(1 - 2 \frac{r^2}{R^2}\right) + \sum_{n=1}^{\infty} \frac{2}{\mu_n^4} [\\ &\quad 2 - \mu_n \frac{I_0(\mu_n \frac{r}{R})}{I_1(\mu_n)}] e^{-\mu_n^2 \frac{a^2}{R^2}}\end{aligned}$$

sau:

$$\zeta_z \frac{1-\nu}{\beta \cdot E} \cdot \frac{1}{C} = \frac{R^2}{a} \left[\frac{1}{8} \left(1 - 2 \frac{r^2}{R^2} \right) + f \left(\frac{a \tau}{R^2}, \frac{r}{R} \right) \right] \quad (3.6.14)$$

Conform fig. 3.6.1, pentru $\tau > 0,5 \frac{R^2}{a}$, funcțiile "f" pot fi neglijate, și considerind

$$\Delta t_m = \frac{C R^2}{4a}, \quad (3.6.15)$$

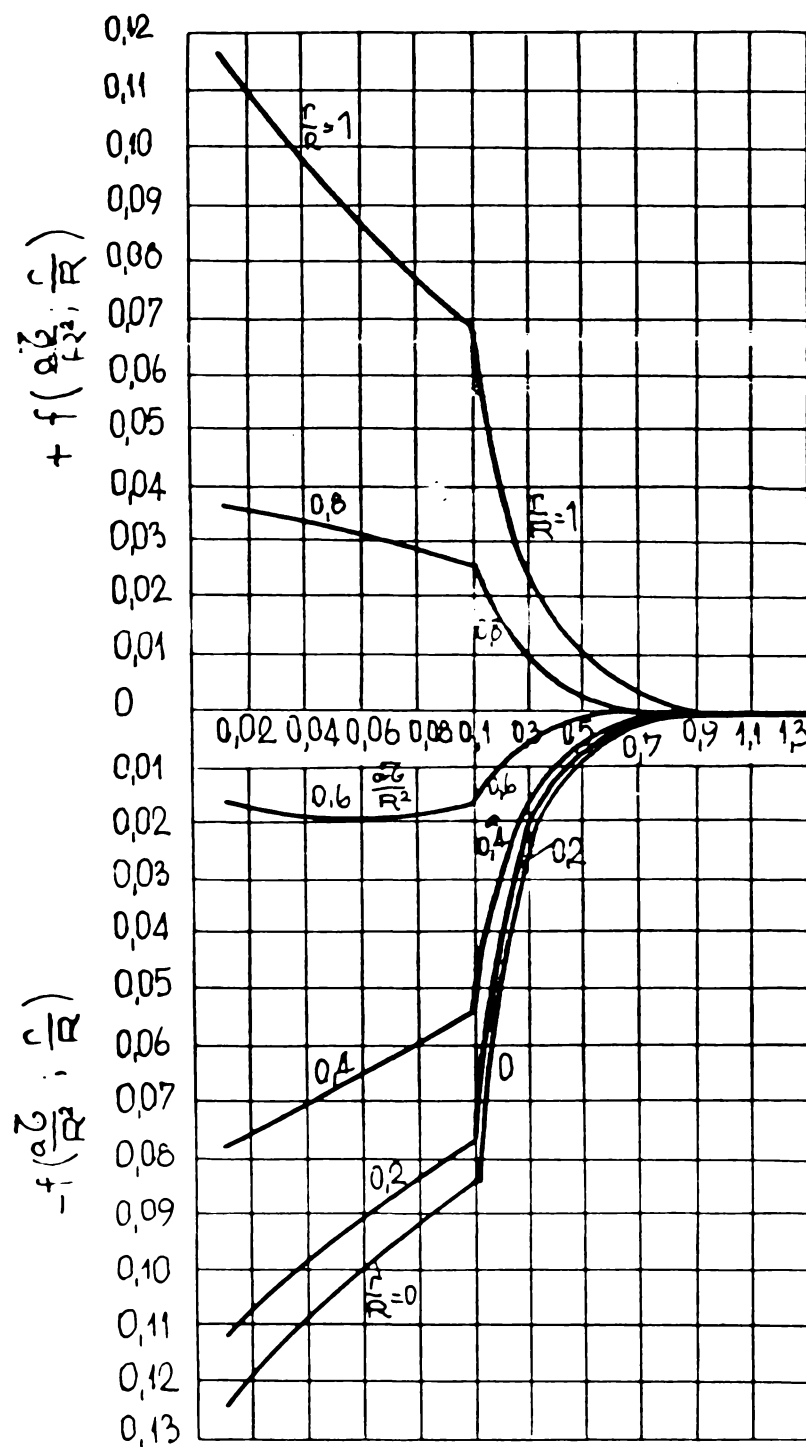


Fig. 3.6.1 - Funcțiile $f \left(\frac{a \tau}{R^2}; \frac{r}{R} \right)$ pentru tensiunile axiale în cilindrul, în cazul schimbării liniare a temperaturii la suprafață.

unde:

t_m - diferență maximă de temperatură, dintre suprafață și ax [°C]

C - viteza de încălzire [°/h]

R - raza echivalentă a cilindrului [m]

$$\tilde{\sigma}_r = \frac{\beta \cdot E}{1-\nu} \frac{C R^2}{16a} \left(1 - \frac{r^2}{R^2}\right) = \frac{\beta \cdot E}{1-\nu} \frac{\Delta t_m}{4} \left(1 - \frac{r^2}{R^2}\right) \quad (3.6.16)$$

$$\tilde{\sigma}_o = \frac{\beta \cdot E}{1-\nu} \frac{\Delta t_m}{4} \left(1 - 3 \frac{r^2}{R^2}\right) \quad (3.6.17)$$

$$\tilde{\sigma}_z = \frac{\beta \cdot E}{1-\nu} \frac{\Delta t_m}{2} \left(1 - 2 \frac{r^2}{R^2}\right) \quad (3.6.18)$$

Dacă încălzirea se face după o curbă cu mai multe etape asimilate cu sectoare rectilinii, se poate utiliza relația:

$$\tilde{\sigma}_z = \frac{\beta \cdot E}{1-\nu} \frac{R^2}{a} \left\{ \frac{C_m}{8} \left(1 - 2 \frac{r^2}{R^2}\right) + C_1 z + \frac{1}{2} (C_2 - C_1) z^2 + \frac{1}{3} (C_3 - C_2) z^3 + \dots \right\} \quad (3.6.19)$$

În condiții reale, variația temperaturii materialului nu este riguros liniară, uneori ea nu poate fi chiar în totalitate asimilată cu o dreaptă, deoarece curba de temperatură se împarte în sectoare aproximativ rectilinii, putîndu-se astfel aplica relațiile (3.6.16 - 3.6.19).

Valorile maxime ale tensiunilor care apar la suprafața corpului (pentru $\nu = 0,3$),

$$\tilde{\sigma} = \frac{\beta \cdot E}{1-\nu} \frac{C R^2}{8a} = \frac{\beta \cdot E}{1-\nu} \frac{\Delta t_m}{2} = 0,72 \cdot \beta \cdot E \cdot \Delta t \quad (3.6.20)$$

vorbă determină în final valoarea vitezei de încălzire admisibile pentru oțel:

$$C = \frac{5,6 a \cdot \tilde{\sigma}_{ad}}{\beta \cdot E R^2} \quad (3.6.21)$$

și a valorii diferenței admisibile de temperatură:

$$\Delta t_{ad} = \frac{1,4 \cdot \tilde{\sigma}_{ad}}{\beta \cdot E} \quad (3.6.22)$$

Relațiile (3.6.21) și (3.6.22) determină valorile medii pe întreaga perioadă de încălzire, dar în realitate în timpul încălzirii proprietățile fizice și tensiunile suferă modificări sensibile.

Astfel, pentru axul cilindrului tensiunea:

$$\sigma_{ad} = \frac{\beta \cdot E}{1 - \nu} \left[\frac{C R^2}{8 a} + \left(\frac{C R^2}{a} - 4 \cdot \Delta t_0 \right) f\left(\frac{a \tau}{R^2}\right) \right] \quad (3.6.23)$$

unde σ_{ad} reprezintă tensiunea admisibilă [daN/mm²], ajungînd la valoarea admisibilă, va determina valoarea vitezei maxime admisibile de încălzire pentru orice interval de temperatură, dar nu prin rezolvarea directă a ecuației (3.5.23), ci prin metoda selecționării.

Pentru utilizarea practică a relației, perioada de încălzire se va împărți în intervale egale, astfel că viteză de încălzire va fi:

$$C = \frac{100}{T} \quad (3.6.24)$$

dacă intervalul cuprinde o creștere a temperaturii cu 100°.

Cunoscîndu-se valoarea expresiei $(1 - \nu) \frac{\sigma_{ad}}{\beta E} = 0,7 \frac{\sigma_{ad}}{\beta E}$ se poate determina cu nomograma din fig.3.6.2, valoarea vitezei admisibile de încălzire, în intervalul dat de temperatură.

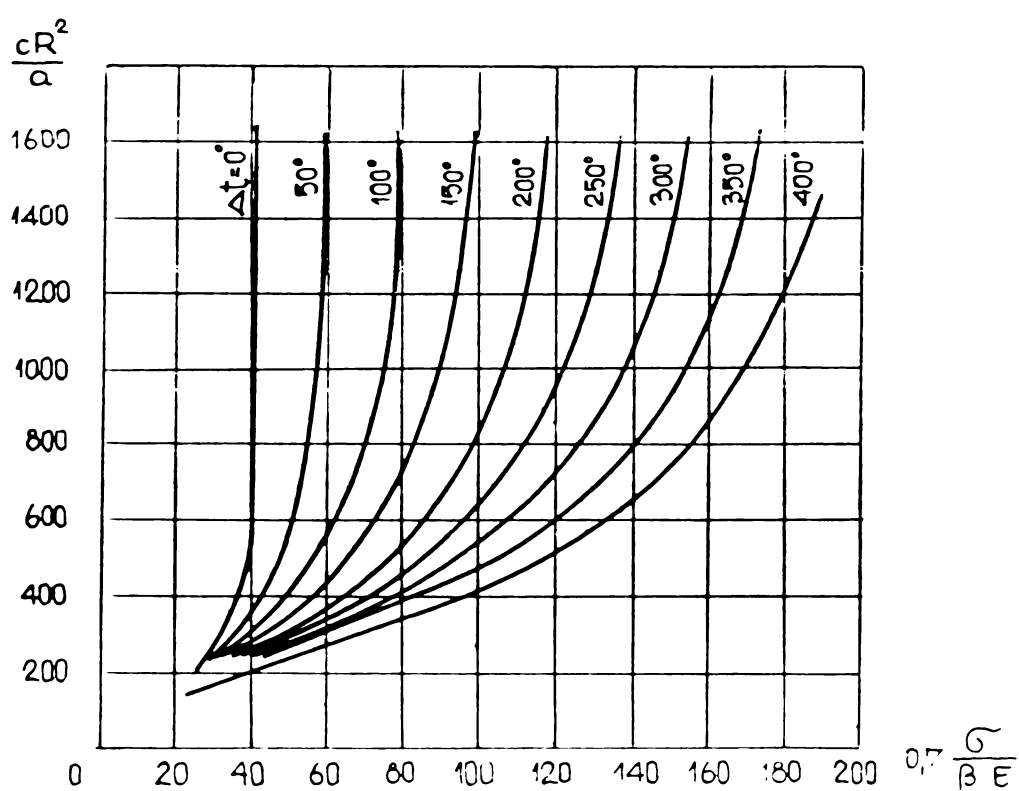


Fig.3.6.2 - Viteză admisibilă de încălzire a cilindrului

Diferența inițială Δt_0 a temperaturilor din fiecare interval devine diferența finală a intervalului precedent, în nomograma 3.6.3 fiind prezentată dependența dintre viteză de încălzire și Δt_0 .

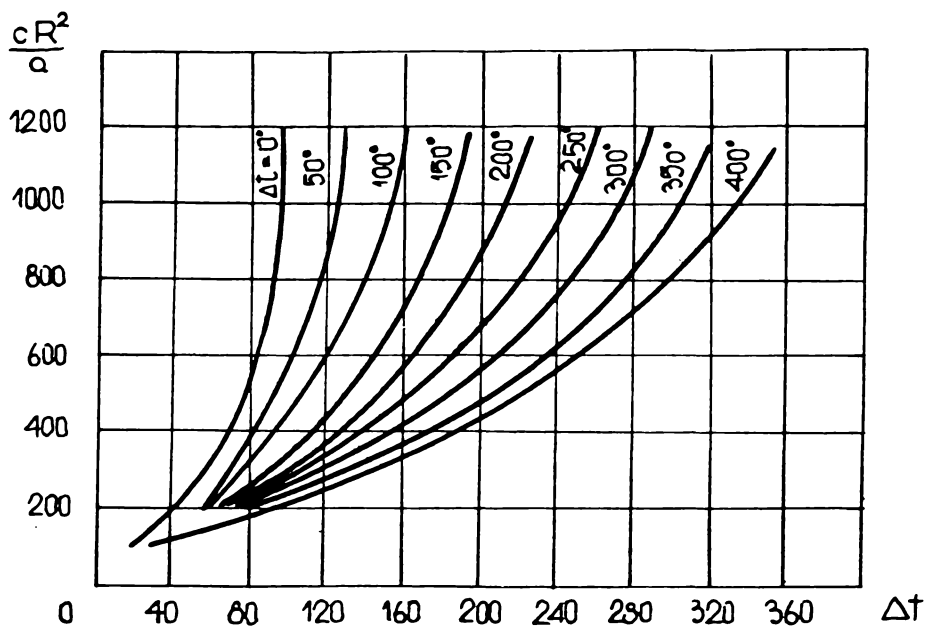


Fig.3.6.3 - Diferența de temperatură suprafăță - ax,
la un cilindru

Calculul temperaturii în cuptor corespunzătoare vitezei de încălzire admisibile, are la bază relațiile:

$$t_s = 100 \sqrt[4]{\frac{q}{\sigma_{ap}} + \left(\frac{T_0}{100}\right)^4} - 273 \quad [^\circ C] \quad (3.6.25)$$

$$q = 2 \Delta t_m \frac{\lambda}{S} \left(1 - \frac{1}{2K} F\right) + \frac{1}{K} \cdot \Delta t_0 \frac{\lambda}{S} F \quad (3.6.26)$$

unde: F depinde de valoarea criteriului $F_0 = \frac{a^2}{R^2}$

Valorile funcției F se determină din nomogramele 3.6.4, 3.6.5 și 3.6.6.

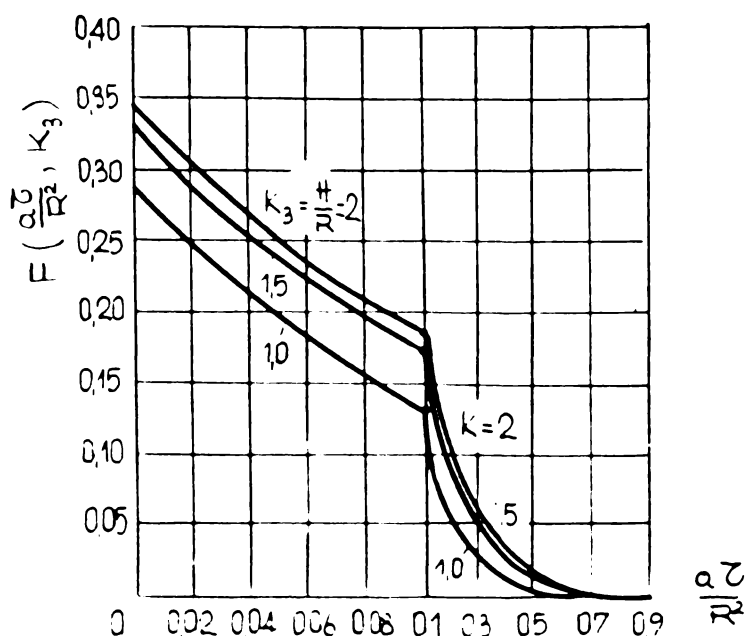


Fig.3.6.4 - Funcțiile
 $F\left(\frac{a^2}{R^2}; k_3\right)$ pentru
temperaturile cuptorului și a flu-
xului de căldură
la o variație li-
niară a temperatu-
rii suprafetei ci-
lindrului de lungi-
me finită:
 $2H$ -înălțimea;
 R -raza cilindrului

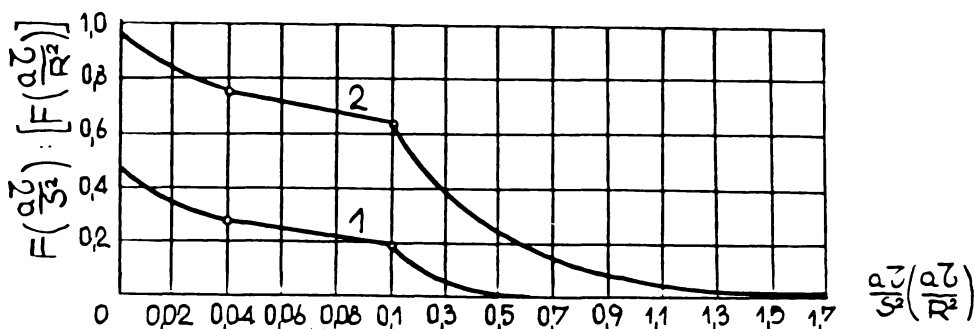


Fig.3.6.5 - Funcțiile $F(\frac{2a}{S^2})$ pentru temperaturile cuptorului și pentru fluxul termic la o variație liniară a temperaturii plăcii și cilindrului de lungime infinită
1-cilindru; 2-placă.

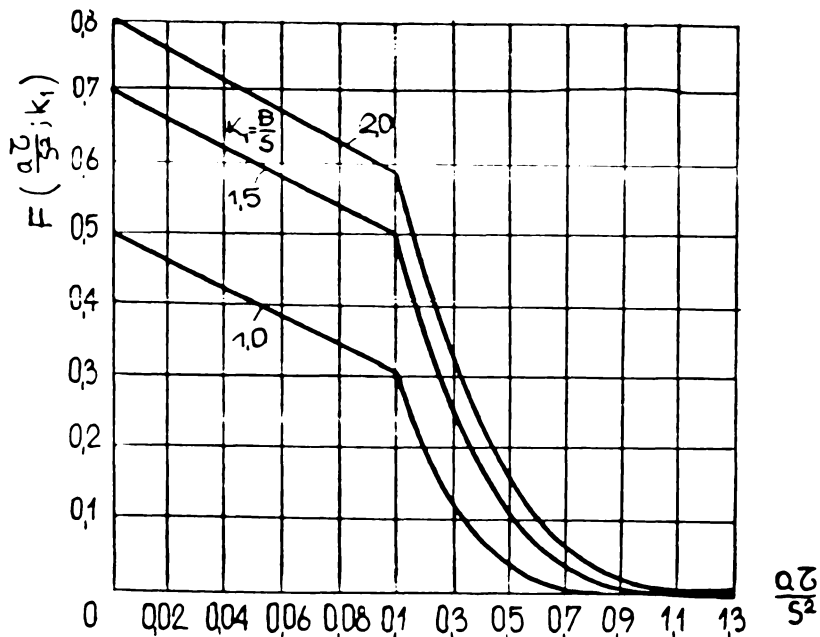


Fig.3.6.6 - Funcțiile $F(\frac{2a}{S^2}; K_1)$ pentru temperaturile cuptorului și pentru fluxul de căldură la o variație liniară a temperaturii suprafetei unei prisme dreptunghiulare de lungime infinită: B și S dimensiunile prismei

Temperatura admisibilă a cuptorului rezultă din nomogramele 3.6.7, 3.6.8 și 3.6.9, ultima implicind și valoarea coeficientului global de transmitere a căldurii. Potrivit celor de mai sus, s-a efectuat calculul procesului de încălzire pînă la atingerea temperaturii suprafetei de 500°C , corelat cu valorile tensiunilor admisibile și a vitezelor reale și admisibile de încălzire. În tabelul 3.6.1 sunt centralizate datele calculului pentru încălzirea probei din oțel carbon de formă paralelipipedică cu dimensiunile $100 \times 100 \times 290$

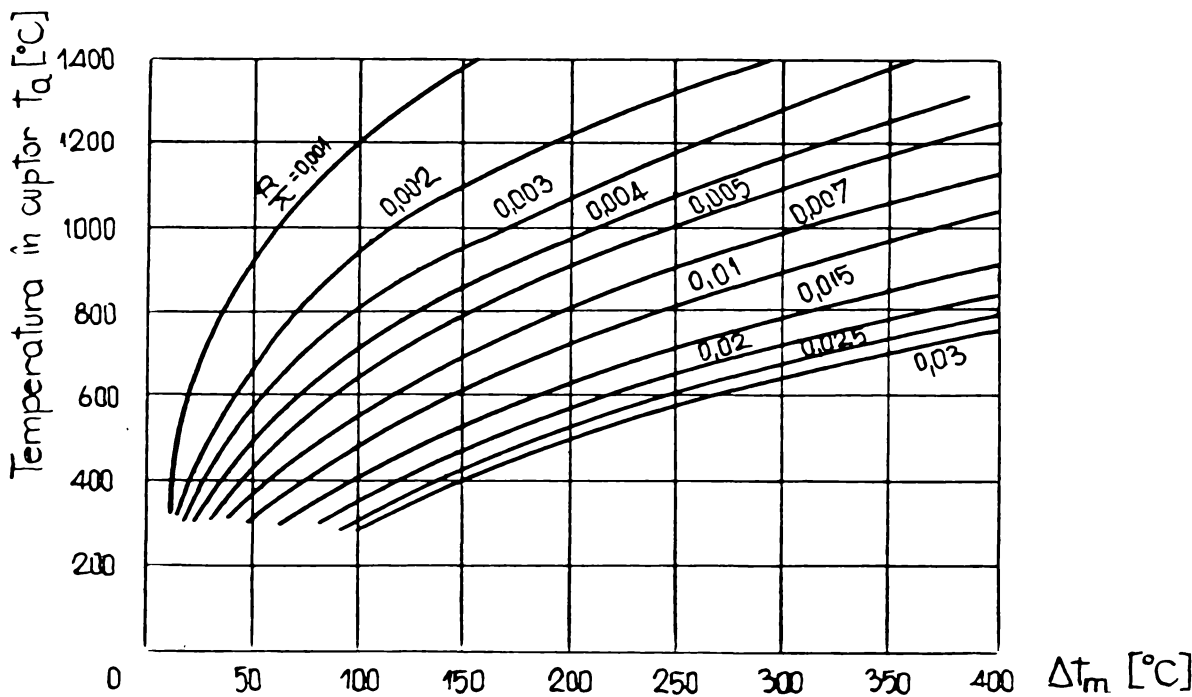


Fig.3.6.7 - Temperatura admisibilă în cuptor, în funcție de diferența maximă a temperaturii suprafetei și axului cilindrului.

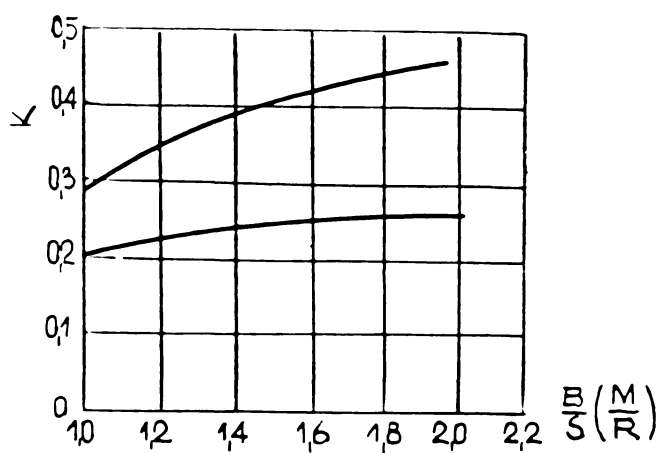


Fig.3.6.8 - Coeficienții formei pentru prisma dreptunghiulară și cilindru de lungime finită: 1-cilindru; 2-prismă

și asimilată cu un cilindru de lungime finită avînd $\phi 112,8$ și lungimea $H = 290$ mm. Comparativ sînt redate datele experimentale obținute la încălzirea probei în cuptorul cu zidărie clasică.

Se poate observa o foarte bună corelare a datelor teoretice cu cele experimentale, ceea ce denotă că metoda teoretică de calcul de mai sus expusă, redă fidel fenomenul real.

In tabelul 3.6.2 sînt redate rezultatele calculului la încălzirea aceleiași probe, în cuptorul modificat, cu zidărie permeabilă, dar la aceeași încărcare termică a camerei de lucru ca și în cazul

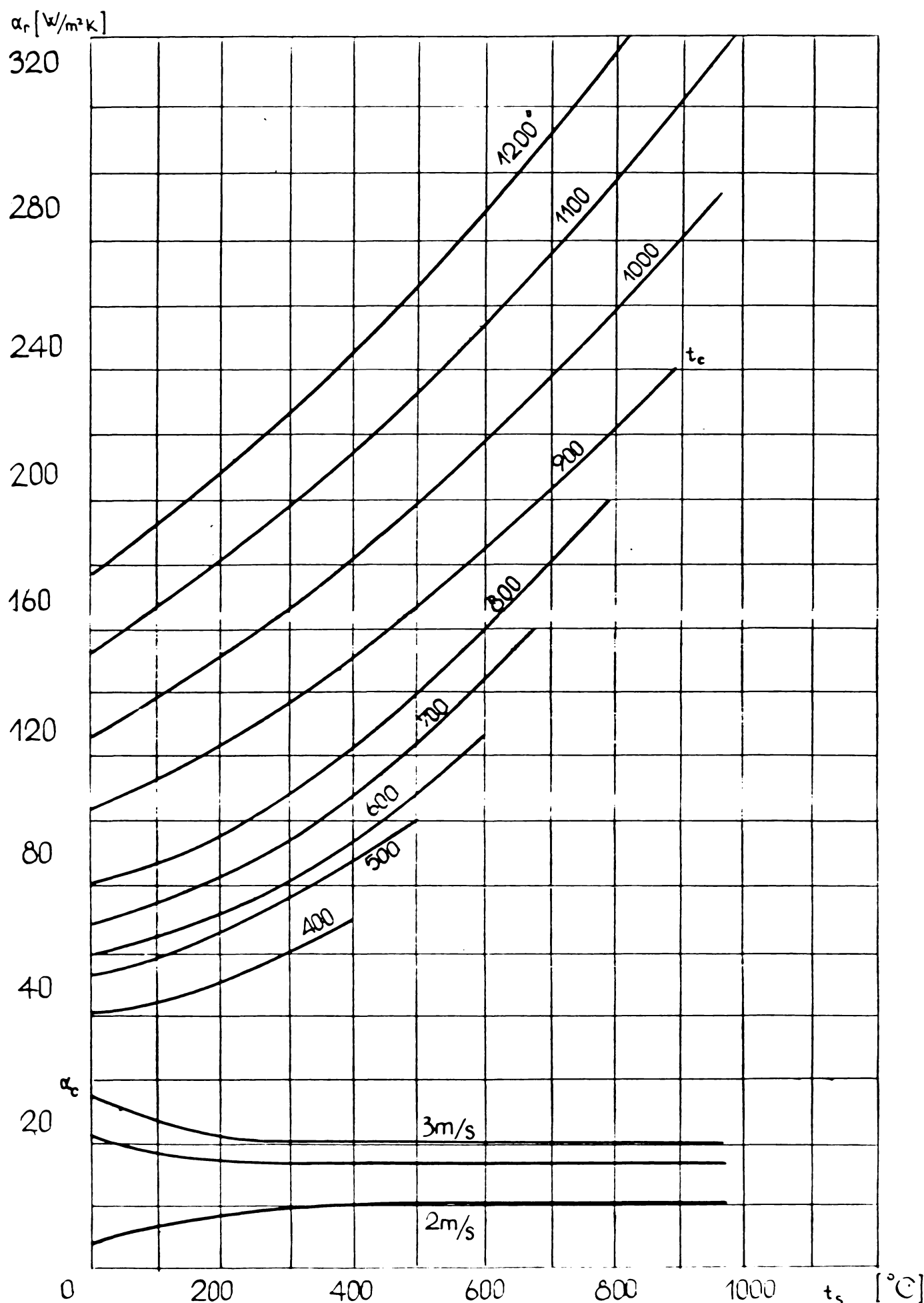


Fig.3.6.9 - Dependența coeficientului α_r de temperatură suprafaței produselor t_s și de temperatura cuptorului t_c ; și a coeficientului α_c de viteza de mișcare a aerului.

zidăriei clasice (331 KW/m^3).

Rezultatele teoretice și experimentale și de această dată sunt foarte apropiate ca valoare, ținând mai ales seama că atât calculul (bazat în mare măsură pe nomograme) cît și măsurările experimentale prezintă erori sistematice.

În tabelul 3.6.1 și 3.6.2 :

t_s -temperatura la suprafață [°C]

t_c -temperatura în axul cilindrului [°C]

Δt -diferența de temperatură dintre suprafață și ax [°C]

$t_{c \text{ exp}}$ -temperatura în ax, măsurată experimental [°C]

a -difuzibilitatea termică [m^2/h]

c -capacitatea calorică specifică a oțelului [KJ/KgK]

t_e -temperatura în cuptor (admisibilă) [°C]

Se poate concluziona că valorile vitezei de încălzire a probei sunt situate sub valorile limită admisibile (vezi tabelul 3.6.1 și 3.6.2) pentru toate cele cinci intervale de calcul, fără a se modifica încărcarea termică a spațiului de lucru al cuptorului. Așa cum s-a mai arătat, peste valoarea temperaturii suprafeței materialului de 500°C , posibilitatea apariției tensiunilor termice periculoase practic este înălțată motiv pentru care și calculele s-au finalizat la această temperatură.

În condițiile încălzirii oțelului turnat la dimensiuni care depășesc cu mult pe cele ale probei din cuptorul experimental (lingouri, cilindri de laminor, piese turnate mari, etc), modul de calcul mai sus expus, se aplică noilor condiții concrete fără nici o modificare, obținând astfel indicii asupra nouui regim de încărcare termică necesar, odată cu modificarea zidăriei prin montarea peretilor refractari permeabili.

Exactitatea metodei depinde în foarte mare măsură de precizia cu care s-a determinat distribuția cîmpului de temperatură în materialul care se încălzește, motiv pentru care s-a conceput un program de calcul original bazat pe metoda diferențelor finite avînd dublu scop: determinarea cu precizie a distribuției temperaturii în material și verificarea autenticității valorilor coeficientilor globali de transfer a căldurii în spațiul de lucru obținuți pe cale analitică și experimentală.

t_s^o [$^{\circ}\text{C}$]	$\beta \cdot 10^6$	L [N/mm^2]	σ_{ad} [N/mm^2]	λ [W/mK]	C [kJ/KgK]	$a = \frac{\lambda}{g \cdot c}$ [m^2/h]	t_s [$^{\circ}\text{C}$]	t_c^o [$^{\circ}\text{C}$]	t_3 [$^{\circ}\text{C}$]	Δt_o [$^{\circ}\text{C}$]
0	11,20	201,105	373	45,36	0,519	0,040	100	0	0	0
100	11,89	204,048	353	44,20	0,555	0,037	200	0	20	100
200	12,47	194,238	334	43,03	0,591	0,034	300	20	95	180
300	13,26	187,371	324	40,13	0,628	0,029	400	95	220	205
400	13,90	172,656	304	37,22	0,684	0,025	500	220	330	180
500	14,36	153,036	206	32,57	0,739	0,020	600	330	470	170

t_s^o [$^{\circ}\text{C}$]	Δt [$^{\circ}\text{C}$]	t_c^{exp} [$^{\circ}\text{C}$]	$0,7 \cdot \sigma_{\text{ad}}$ $\frac{\sigma_{\text{ad}}}{\beta \cdot L}$	C_{ad} [$^{\circ}\text{C}/\text{h}$]	τ [ore]	$\frac{a}{R^2}$	$F(\frac{a}{R^2})$ [$^{\circ}\text{C}$]	t_a [$^{\circ}\text{C}$]	$\frac{R}{\lambda}$ [m^2Wk]	f_{real} [$^{\circ}\text{C}/\text{h}$]
0	100	20	1115,9	1500	18850	0,033	0,415	0,03	1120	0,0012
100	180	60	101,8	1500	17450	0,042	0,488	0,025	1280	0,0012
200	205	110	95,52	890	9515	0,050	0,535	0,020	1300	0,0013
300	180	230	91,14	650	5927	0,083	0,757	0,020	1300	0,0014
400	170	345	88,66	150	5738	0,091	0,715	0,020	1300	0,0015
500	130	470	76,61	440	2767	0,108	0,679	0,020	1300	0,0017

$t_{\text{B}} \times 10^6$	σ_{ad}	E	λ	C	$a = \frac{\lambda}{g \cdot c}$	t_B	t_C	$t_{\text{C}} - t_C$	Δt_0
[°C]	[1/mK]	[N/mm²]	[N/mm²]	[W/mK]	[KJ/KgK]	[m²/h]	[°C]	[°C]	[°C]
0	11,20	373	201	105	45,36	0,519	0,040	100,1	0
100	11,89	353	204	048	44,20	0,555	0,037	200	30
200	12,47	334	194	238	43,05	0,594	0,034	300	105
300	13,26	324	187	371	40,13	0,628	0,029	400	195
400	13,90	304	172	656	37,22	0,684	0,025	500	220
500	14,36	206	153	036	32,57	0,739	0,020	600	325
									468
									175

$t_{\text{B}} \times 10^6$	$\frac{\sigma_{\text{ad}} \cdot 0,7}{\beta \cdot E}$	$\frac{0 \cdot R^2}{a}$	C_{ad}	τ	$\frac{a}{R^2}$	$F(\frac{a}{R^2})$	t_a	$\frac{R}{\lambda}$	C_{real}
[°C]	[°C]	[°C]	[°C/h]	[ore]	[°C]	[°C]	[°C]	[m²/W · K]	[°C/h]
0	100	25	115,9	1590	18,850	0,041	0,515	0,020	1,200
100	170	70	101,8	1500	17,452	0,033	0,348	0,032	1,350
200	195	130	96,52	940	19,050	0,041	0,438	0,025	1,350
300	180	240	91,14	700	6,383	0,041	0,374	0,033	1,350
400	175	340	88,66	710	5,581	0,053	0,416	0,028	1,350
									377
									315

3.7. Determinarea cîmpului de temperatură în secțiunea transversală a probei prin metoda diferențelor finite, cu mijloace de calcul electronic.

Cunoașterea cîmpului de temperatură în secțiunea semifabricatelor supuse încălzirii sau tratamentului termic are o deosebită importanță așa cum s-a mai arătat, pentru determinarea valoilor tensiunilor termice care prin depășirea valorilor admisibile pot compromite calitățile fizico-mecanice ale materialului supus în călzirii sau tratamentului termic.

Determinarea cîmpului de temperatură prin mijloace de calcul electronic are ca scop în cazul de față, verificarea valabilității calculului coeficienților globali de transfer termic în spațiul de lucru al cuptorului pentru cele două variante de funcționare, cu zidărie clasică și după montarea peretilor permeabili.

Considerind încadrarea probei în coordinate carteziene (fig. 3.7.1), și divizarea volumului în cuburi cu latura Δ astfel ca la

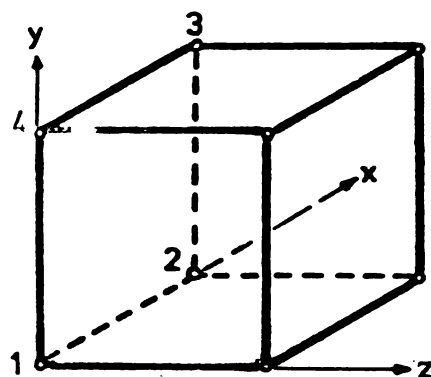


Fig. 3.7.1

distanțe $\alpha_{x_1} \neq \alpha_{x_2}$ și $\alpha_{y_1} \neq \alpha_{y_2}$.

Tinînd seama de condițiile de stabilitate potrivit căror pentru ecuațiile de suprafață

$$1 - \frac{4}{M} > 0 \quad (3.7.1)$$

sau

$$\frac{\Delta^2}{a \cdot \Delta T} \geq 4 \quad \text{și} \quad \Delta T \leq \frac{\Delta^2}{4a} \quad (3.7.2)$$

iar pentru ecuațiile de muchie

$$1 - \frac{2N + 4}{M} \geq 0 ; \quad N = \frac{\alpha \cdot \Delta}{\lambda} \quad (3.7.3)$$

$$\Delta \leq \frac{\Delta^2}{2a(\frac{\alpha \cdot \Delta}{\lambda} + 2)} \quad (3.7.4)$$

și pentru ecuațiile de colț

$$1 - \frac{4 + 2M_x + 2M_y}{M} \geq 0 \quad (3.7.5)$$

$$\Delta \leq \frac{\Delta^2}{2a(\frac{\alpha_x \cdot \Delta}{\lambda_x} + \frac{\alpha_y \cdot \Delta}{\lambda_y} + 2)} \quad (3.7.6)$$

se vor putea scrie ecuațiile de transmitere a căldurii, precum și soluțiile particulare ale ecuației lui Fourier luând în considerare relația (3.7.1. - 3.7.6):

- ecuația pentru suprafață:

$$\lambda \frac{\bar{t}_{x,y+\Delta} - \bar{t}_{x,y}}{\Delta} \cdot \Delta^2 + \lambda \frac{\bar{t}_{x-\Delta,y} - \bar{t}_{x,y}}{\Delta} \cdot \Delta^2 = \lambda \frac{\bar{t}_{x,y} - \bar{t}_{x,y-\Delta}}{\Delta} \cdot \Delta^2 + \lambda \frac{\bar{t}_{x,y} - \bar{t}_{x+\Delta,y}}{\Delta} \cdot \Delta^2 + g \cdot c \cdot \frac{\bar{t}_{x,y} - \bar{t}_{x,y}}{2\Delta} \cdot \Delta^3 \quad (3.7.7)$$

$$\bar{t}_{x,y} = \frac{1}{M} \left[\bar{t}_{x,y+\Delta} + \bar{t}_{x+\Delta,y} + \bar{t}_{x,y-\Delta} + \bar{t}_{x-\Delta,y} \right] + (1 - \frac{4}{M}) \bar{t}_{x,y} \quad (3.7.8)$$

- ecuația pentru muchie:

$$\alpha_y \cdot (\bar{t}_{gy} - \bar{t}_{xy}) \cdot \Delta^2 + \lambda \frac{\bar{t}_{x-\Delta,y} - \bar{t}_{x,y}}{\Delta} \cdot \frac{\Delta^2}{2} = \lambda \frac{\bar{t}_{xy} - \bar{t}_{x+\Delta,y}}{\Delta} \cdot \frac{\Delta^2}{2} + g \cdot c \cdot \frac{\bar{t}_{xy} - \bar{t}_{xy}}{2\Delta} \cdot \frac{\Delta^3}{2} \quad (3.7.9)$$

$$\bar{t}_{x,y} = (1 - \frac{2Ny + 4}{M}) \bar{t}_{xy} + \frac{1}{M} (\bar{t}_{x-\Delta,y} + \bar{t}_{x+\Delta,y} + 2\bar{t}_{x,y}) + \frac{2Ny}{M} \bar{t}_{gy} \quad (3.7.10)$$

- ecuația pentru colț:

$$\alpha_x \cdot (\bar{t}_{gx} - \bar{t}_{xy}) \cdot \frac{\Delta^2}{2} + \alpha_y \cdot (\bar{t}_{gy} - \bar{t}_{xy}) \cdot \frac{\Delta^2}{2} = \frac{\lambda}{\Delta} [(\bar{t}_{xy} - \bar{t}_{x+\Delta,y}) \cdot \Delta^2 + (\bar{t}_{xy} - \bar{t}_{x,y+\Delta}) \cdot \frac{\Delta^2}{2}] + g \cdot c \cdot \frac{\bar{t}_{xy} - \bar{t}_{xy}}{2\Delta} \cdot \frac{\Delta^3}{4} \quad (3.7.11)$$

$$\begin{aligned} \bar{t}_{xy}^2 &= \bar{t}_{xy} \left[1 - \frac{4}{M} - \frac{2N_x + 2N_y}{M} \right] + \frac{2}{M} \left[t_x + \Delta, y + t_x, y + \Delta \right] + \\ &+ \frac{2}{M} (N_x t_{gx} + N_y t_{gy}) \end{aligned} \quad (3.7.12)$$

Cu aceste relații de calcul s-a conceput un program FORTRAN prezentat în anexă împreună cu datele și rezultatele calculului.

Finalizarea calculului constă din imprimarea unor matrici de distribuție temperaturilor în secțiunea transversală a probei, la diferite momente ale procesului de încălzire, pentru funcționarea cuptorului cu zidărie clasică și cu zidărie permeabilă.

Datele de calcul pentru cuptorul cu zidărie clasică sunt centralizate în tabelul 3.7.1 iar datele pentru cuptorul cu zidărie permeabilă, în tabelul 3.7.2.

Comparând datele de calcul cu valorile înregistrate ale temperaturilor zidăriei și probei în cele două variante de funcționare a cuptorului cu zidărie clasică (fig.3.7.2 - 3.7.3), și a cuptorului cu zidărie permeabilă (fig.3.7.4 - 3.7.5) la o încărcare termică a spațiului de lucru de 331 KW/m^3 , rezultă că diferențele între valorile măsurate și cele calculate sunt foarte mici, comparativ cu erorile de măsurare directă, după cum reiese și din tabelul 3.7.3.

Suprapunerea valorică de date calculate și măsurate duce în concluzia că metodele de determinare și calcul a coeficientilor globali de transfer termic în spațiul cuptorului utilizate în cercetările de față, sunt cele mai potrivite, putîndu-se utiliza în cazul cuptoarelor de încălzire și tratament termic industriale, cum s-a procedat și la aplicarea industrială a cercetărilor de laborator ce fac obiectul prezentei lucrări.

Impul [min]	Gaze [°C]	t_{mat} [°C]	λ [W/mK]	c [J/kgK]	a [m ² /min]	Δ [mm]	$\alpha_{x1} = \alpha_{x2}$ [W/m ² K]	α_{y1} [W/m ² K]	α_{y2} [W/m ² K]	ΔC_{int} [min]
0-20	665	335	36,5	565	4,94 10 ⁻⁴	25	98,82	111,76	53,42	0,316
20-40	820	680	27,20	740	2,81 10 ⁻⁴	25	159,20	180,03	86,05	0,556
40-62	905	820	23,30	838	2,13 10 ⁻⁴	25	197,22	223,04	106,60	0,733

Impul [min]	$N_{z1} = N_{z2}$	N_{y1}	N_{y2}	$\Delta \bar{C}_{muchie}$	$\Delta \bar{C}_{colt}$	$\Delta \bar{C}$ [min]	M
0-20	0,067	0,076	0,036	0,306	0,305	0,296	0,294
20-40	0,146	0,165	0,079	0,518	0,514	0,535	0,485
40-62	0,212	0,239	0,114	0,663	0,655	0,694	0,605

Table 1

Temp [min]	t_{gaze} [°C]	t [°C]	$\frac{W}{m^2.K}$	c [J/kg.K]	$\alpha_{x1} = \alpha_{x2}$		α_{y1}		α_{y2}		ΔT_{int} [min]
					$\frac{u}{min}$	$\frac{m^2}{min}$	$\frac{W}{m^2.K}$	$\frac{W}{m^2.K}$	$\frac{W}{m^2.K}$	$\frac{W}{m^2.K}$	
0-10	810	248	32,2	540	4,58 10 ⁻⁴	25	107,93	122,06	58,34	0,34	
10-20	982	560	25,6	690	7,85 10 ⁻⁴	25	168,83	190,93	91,26	0,54	
20-35	1047	776	18,7	815	1,76 10 ⁻⁴	25	224,29	253,66	121,23	0,88	
Temp [min]			ΔT_{muchie}		ΔT_{colt}		ΔT		M		
			N_{x1}	N_{x2}	N_{y1}	N_{y2}	[min]	[min]	[min]	[min]	
0-10	0,083	0,094	0,045	0,308	0,307	0,314	0,297	0,294	0,307	0,25	5,45
10-20	0,164	0,186	0,089	0,464	0,460	0,480	0,433	0,426	0,462	0,25	8,77
20-35	0,299	0,339	0,162	0,715	0,703	0,757	0,637	0,620	0,708	0,25	7,10

Table 3.

Cuptor cu zidărie clasică				Cuptor cu zidărie permeabilă			
Timp [min]	Temperatura [°C]		In centrul probei	Timp [min]	Temperatura [°C]		In centrul probei
	La suprafață	In interior			La suprafață	In interior	
Calculată	Măsurată	Calculată	Măsurată	Calculată	Măsurată	Calculată	Măsurată
0	18	18	18	0	18	18	18
20	423,34	470	406,53	400	366,70	385	328,79
40	712,74	720	691,35	675	669,56	642	615,07
60	873,52	860	1153,52	810	869,13	808	809,65
62	871,12	870	1161,57	825	922,50	892	879,88
				35			853

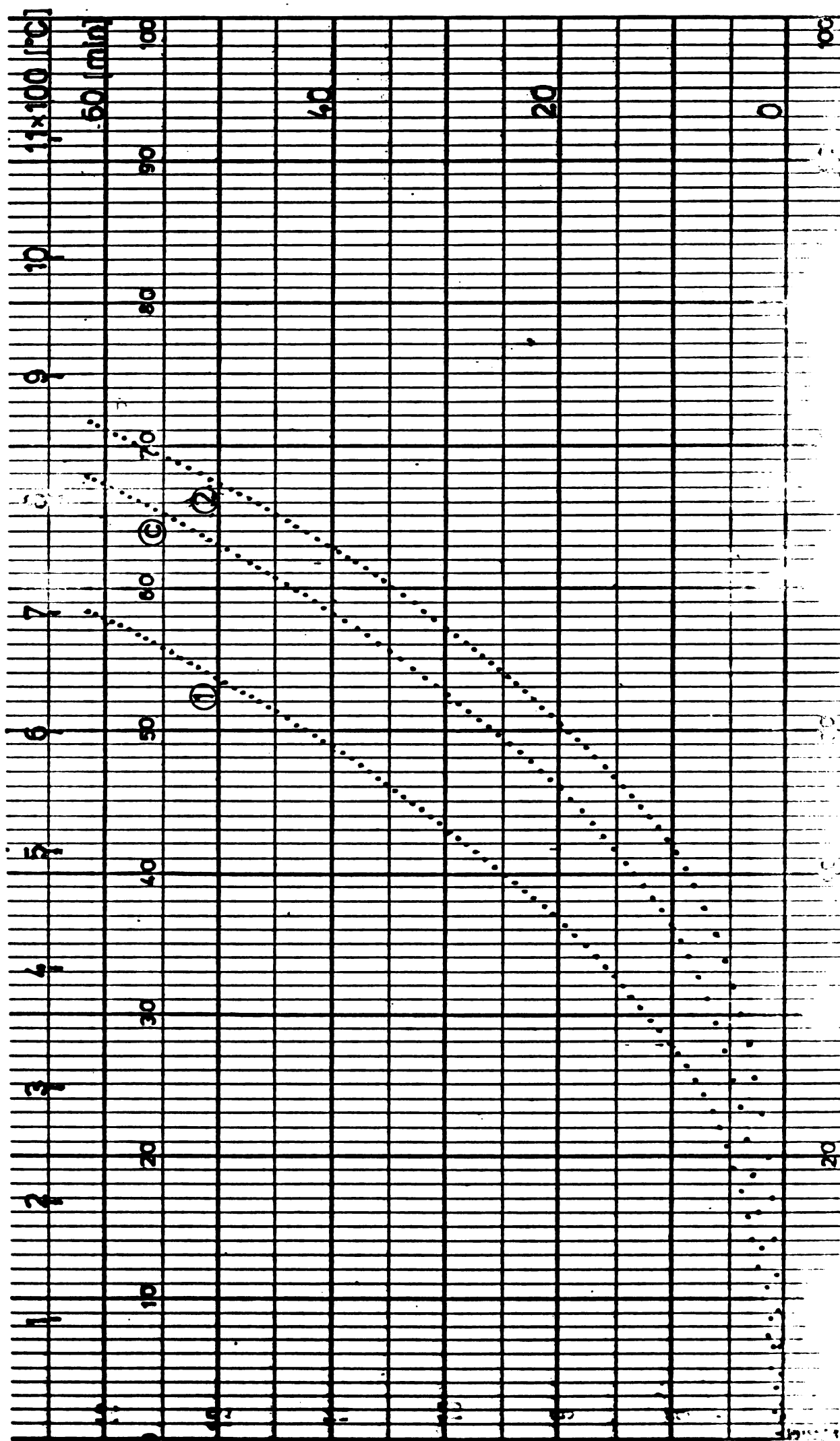


FIG. 3.7.2 - Diagrama dispersie a temperatură de capturulă 1a
Încărcare termică de 331 KW/m^3
① - zona I (capturator); C - zona II (distanță cuprinsă)

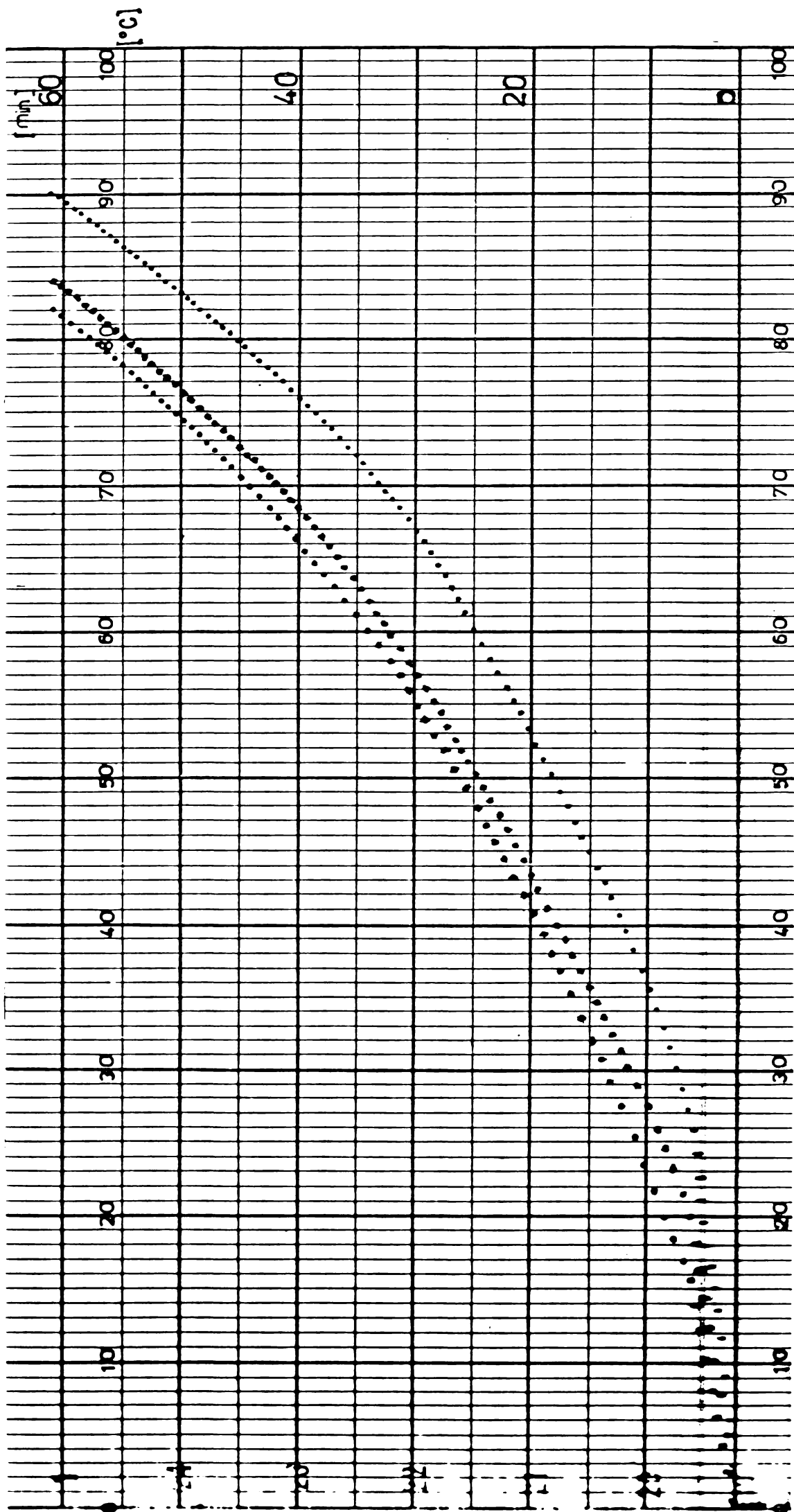


Fig. 3.7.3 - Diagrama înregistrată a temperaturii probei (100 x 100 x 290) din oțel, încălzită în cuptorul cu zidărie normală.

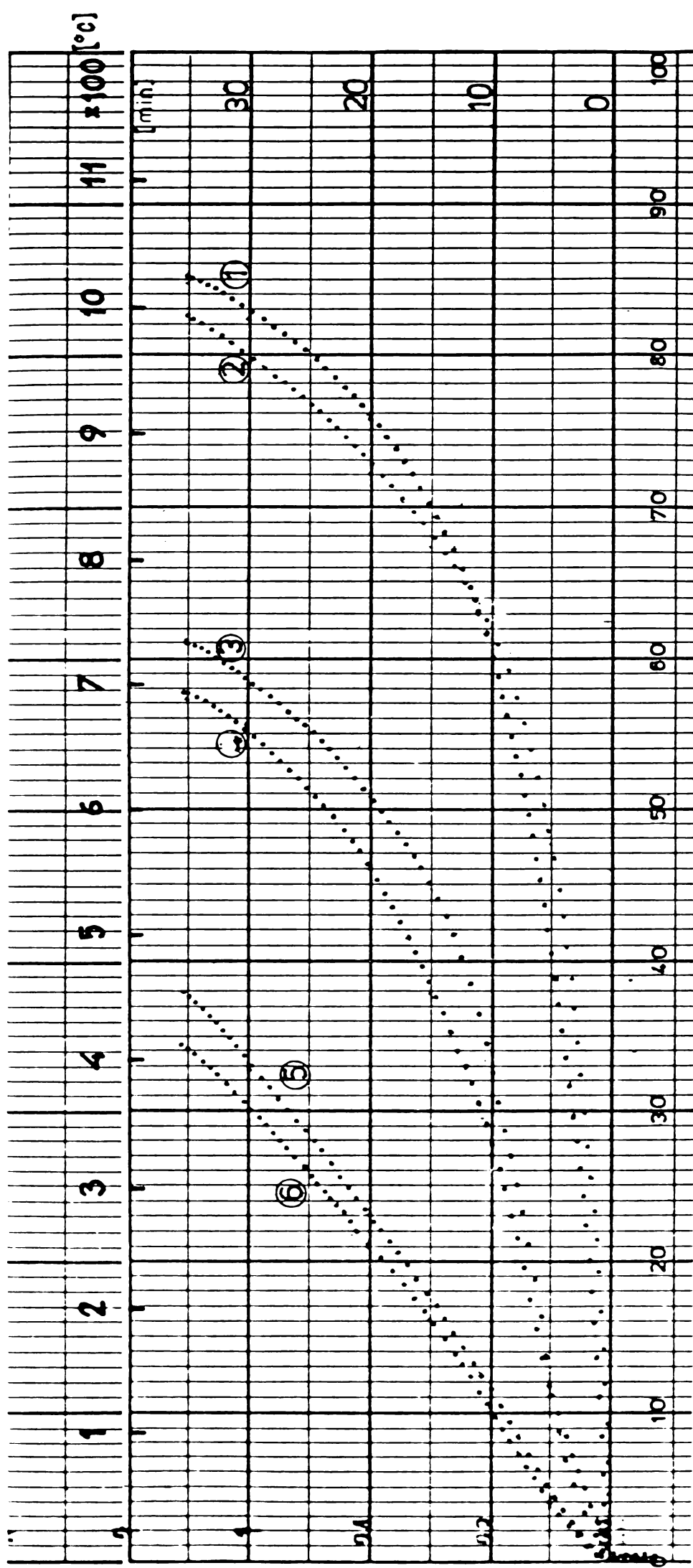


Fig. 3.7.4. - Diagrame înregistrată a temperaturii zidăriei normale și permeabile a cuporului, la încărcarea termică de 331 KW/m^3

- 1,2 -temperatura peretelui permeabil pe fața interioară
- 3,4 -temperatura peretelui permeabil pe fața exterioară
- 5,6 -temperatura peretelui normal pe fața interioară.

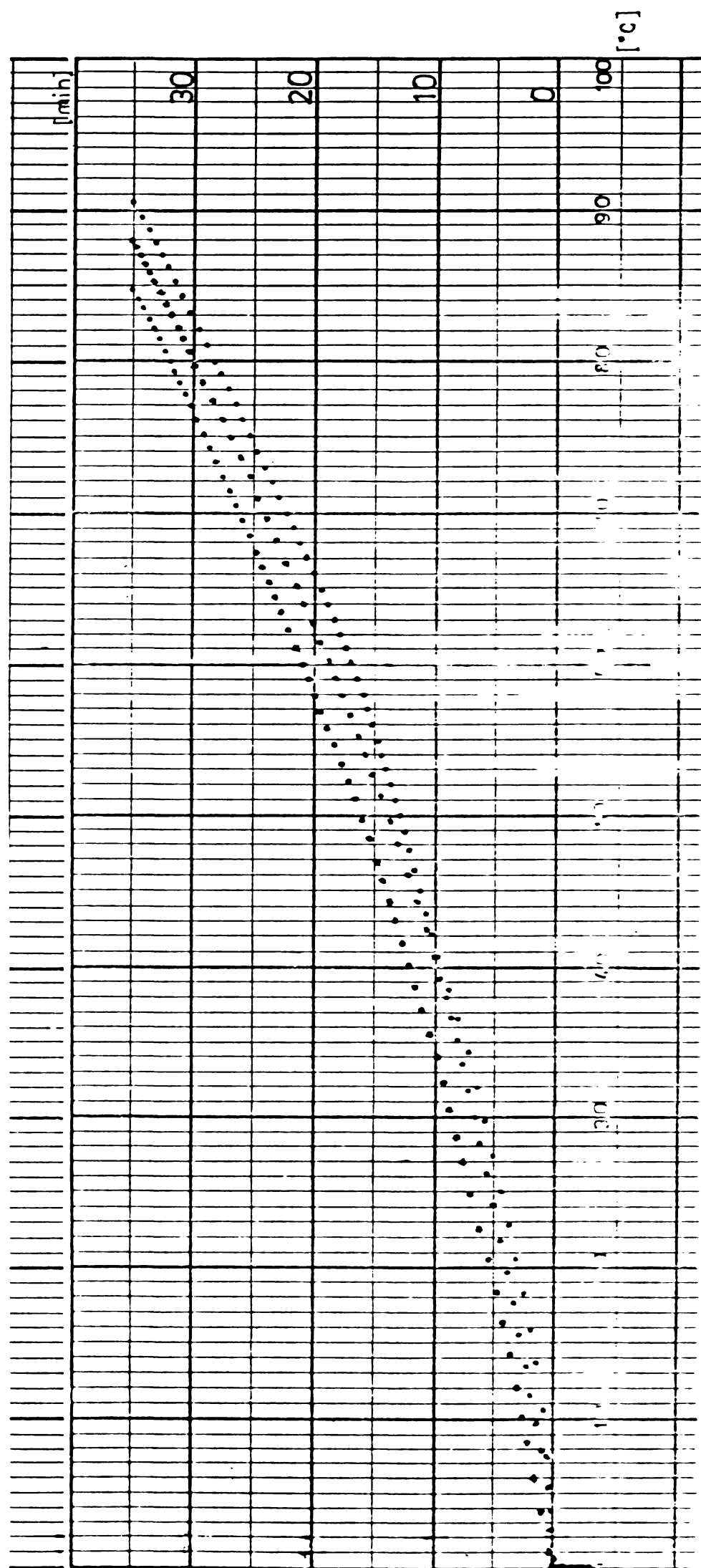


Fig. 3.7.5. - Diagrama înregistrată a temperaturii probei (100 x 100 x 290), din oțel, incălzită în cuptorul cu ziduri permisibilă de ϕ 4 mm.

CAPITOLUL 4

APLICAREA LA SCARA INDUSTRIALA

A CERCETARILOR PRIVIND MODIFICAREA SPATIULUI DE LUCRU AL CUPTOARELOR METALURGICE PRIN MONTAREA PERETILOR REFRACTARI PERMEABILI

4.1. Experimentarea la scară industrială

Aplicarea rezultatelor cercetărilor efectuate în laborator a avut loc la un cuptor de tratament termic al cilindrilor de laminat, aparținind turnătcriei de cilindri a Intreprinderii "Victoria" Jălan.

Cuptorul de tratament termic este de tipul cu vatră mobilă utilizând gaz natural, fără recuperarea energiei gazelor de ardere evacuate.

Caracteristicile de bază ale cuptorului sunt următoarele:

- regim de lucru discontinuu în trei schimburi;
- dimensiunile vetrei: lungimea 5,2 m; lățimea 2,0 m; înălțimea 1,8 m;
- sarcina maximă pe vatră: 25 t;
- consum maxim de gaz natural : 180 m^3 /h;
- arzătoare cu impuls cu supraveghetor de flacără și auto-prin-zător;
- debitul nominal al unui arzător : 10 m^3 /h;
- acționarea vetrei : electromecanic;
- reglarea presiunii cu clapetă autoreglabilă (cu contragaz evitate);
- ventilator centrifugal $V=432/2$; $Q=1000 \text{ m}^3/\text{h}$; $H=467 \text{ mm}$; $P=3\text{KW}$ (2 buc.);
- evacuarea gazelor prin tiraj natural;
- greutatea construcției metalice 24884 Kg;
- greutatea zidăriei 84200 Kg;

În cadrul experimentărilor s-au urmărit parametrii tehnologici și termodinamici ai cuptorului pentru tratamentul termic al cilindrilor de laminor din fontă aliată, cu dimensiunile $\varnothing 570 \times 900$, tratamentul executîndu-se pentru o încărcătură formată din patru asemenea cilindri.

Diagrama de tratament este conform cu fig.4.1.1 potrivit căreia temperatura de început a tratamentului este de 300°C , și durează

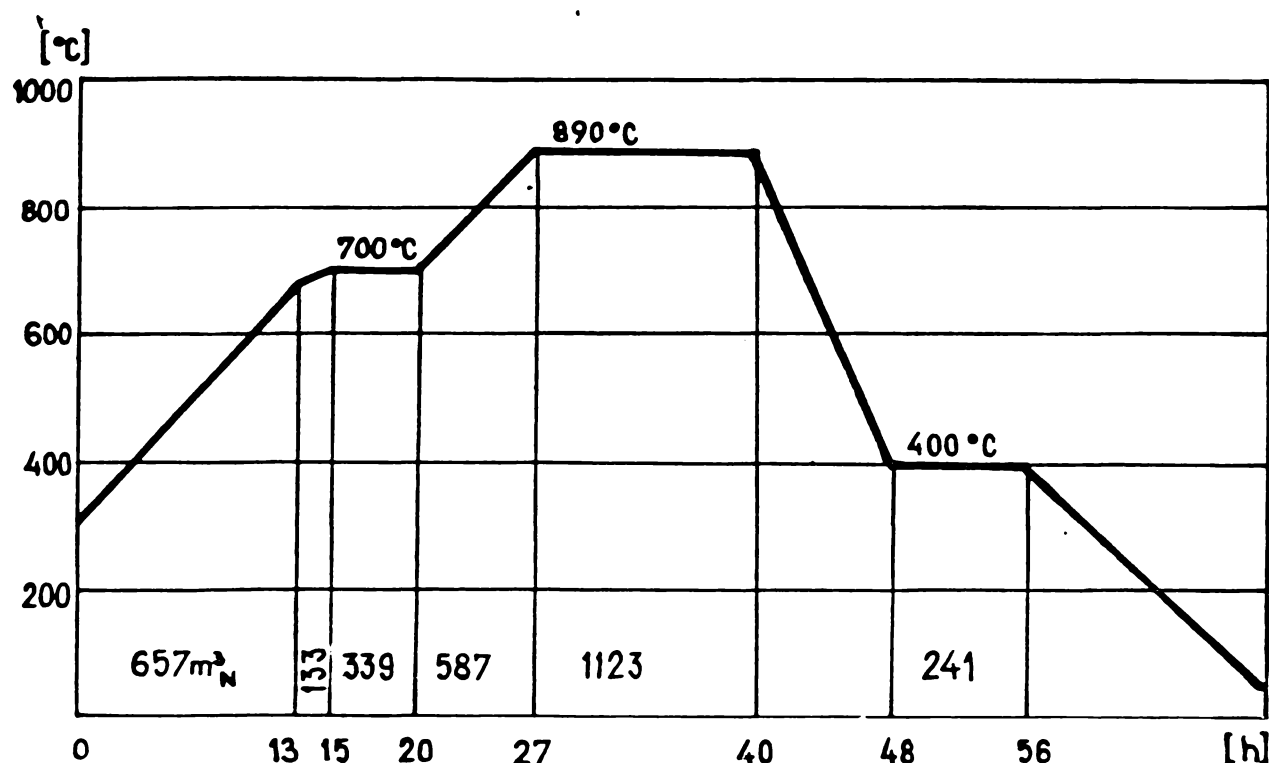


Fig.4.1.1

48 de ore cu consum de combustibil și cca 72 ore în totalitate, luîndu-se în calcul și cele două perioade de răcire.

Se realizează tratamente termice de omogenizare austenitică, încălziri pulsatorii, pentru măruntirea grăuntelui austenitic și călire.

S-a analizat funcționarea cuptorului pentru tratamentul sus amintit în perioada ianuarie - iulie 1981, perioadă în care nu s-a modificat tehnologia de tratament, dar s-au măsurat toți parametrii termodinamici de bază cu aceeași aparatură în scopul evitării apariției erorilor nesistematice.

Din această perioadă s-au selectat tratamentele cele mai reprezentative, efectuîndu-se medii ale consumurilor de combustibil din fiecare etapă de tratament, întocmindu-se un bilanț termic al funcționării cuptorului defalcat pe fiecare etapă, conform diagramei reale de tratament.

Se remarcă o neconcordanță a diagramei reale de tratament care începe încălzirea de la 20°C (față de diagrama din proiectul tehnologic care prevede o încălzire de la 300°C) nefiind optimizat procesul de prelucrare mecanică a cilindrilor (strunjire de degro-

şare executată la altă secţie uzinală) cu procesul de tratament termic. Din aceste motive cuporul staţionează 2-3 zile, timp în care zidăria îşi pierde în totalitate căldura acumulată la tratamentul precedent.

Prin urmare toate referirile asupra funcţionării cuporului se fac la diagrama reală de tratament conform cu fig. 4.1.2. și 4.1.3.

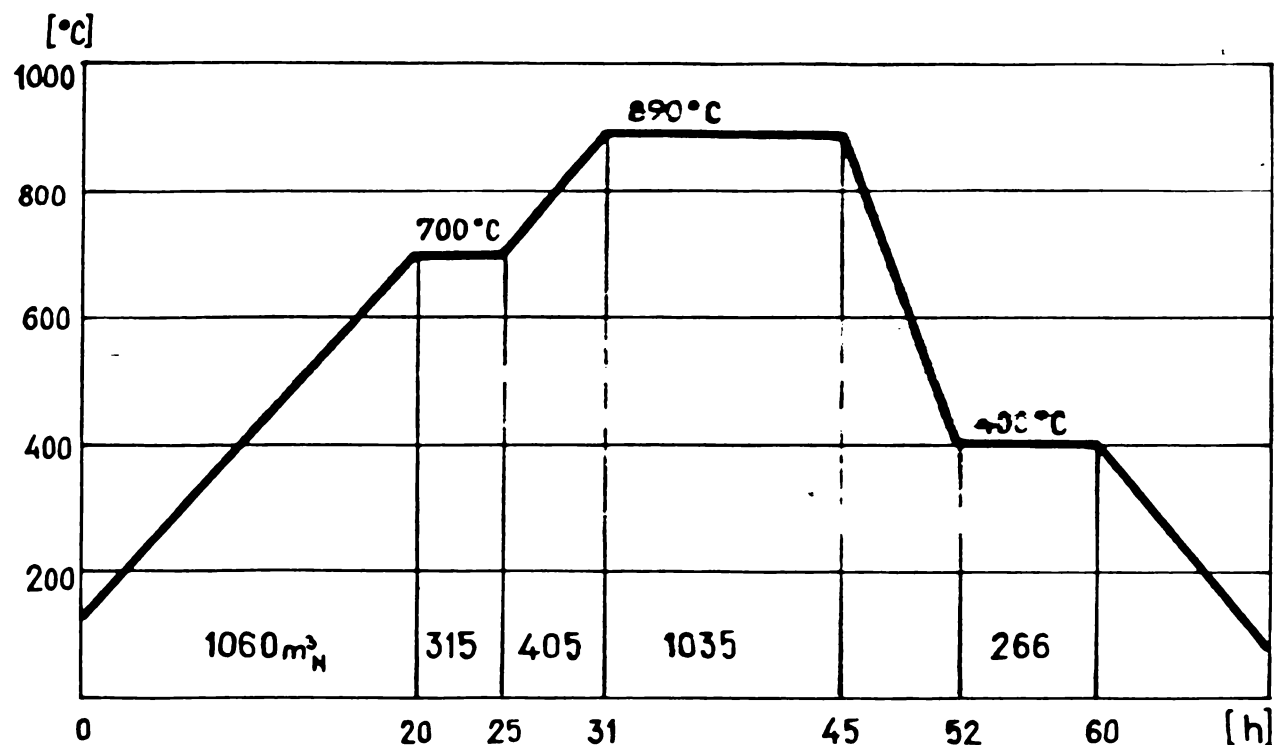
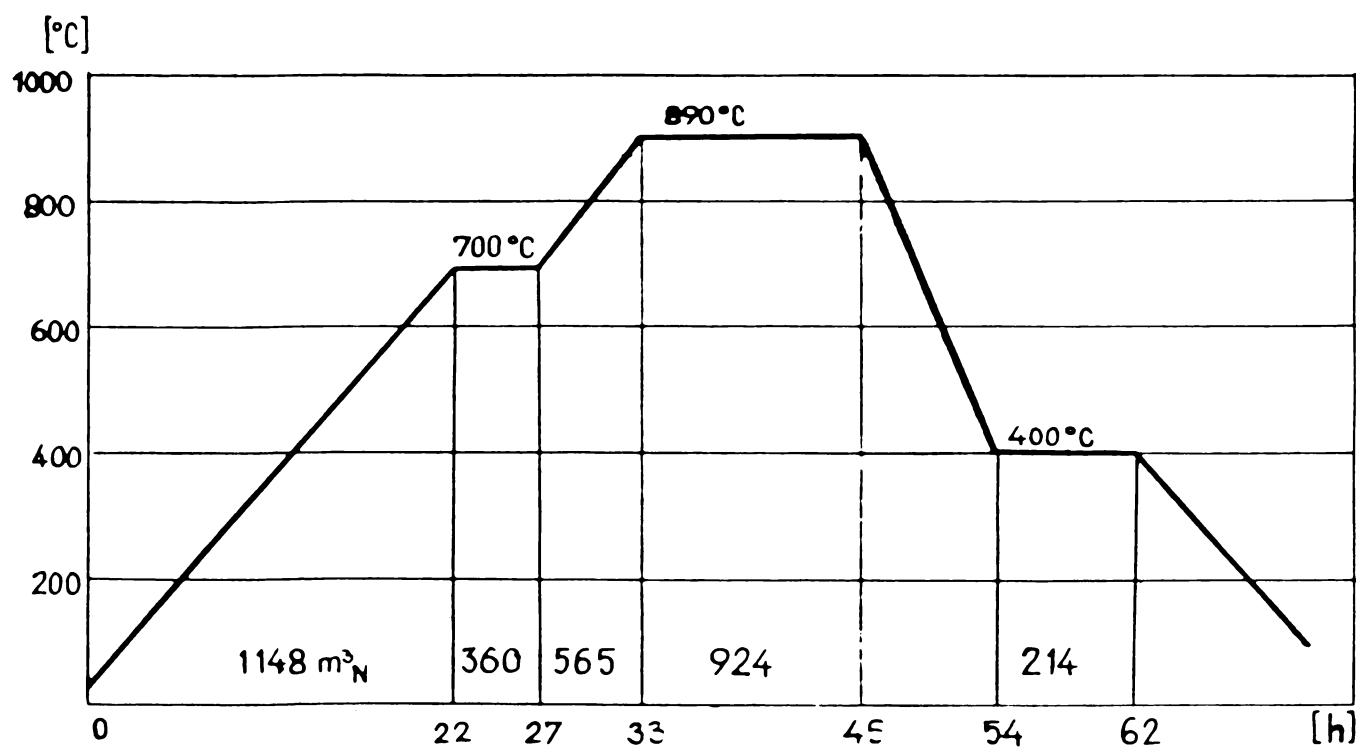


Fig. 4.1.2



La începutul lunii august 1981 s-a modificat zidăria cuptorului, prin montarea unui perete permeabil paralel cu peretele posterior, în fața gurii canalului de evacuare a gazelor arse (fig.4.1.4)



Fig.4.1.4 - 1 -peretele posterior;
2 -peretei laterali;
3 -bolta;
4 -bloc de arzătoare (stîng);
5 -canalul pentru evacuarea gazelor de ardere

Ieretele s-a zidit pe o grindă de rezistență formată din profile U 20 și I 14 din oțel termorezistent, căptușită cu material izolator în scopul protejării termice a grinzelii și asigurării unei rezistențe la fluej cît mai ridicate.

În dreptul gurii de evacuare a gazelor, peretele este înzidit cu cărămidă normală RCA 73 pentru împiedecarea trecerii gazelor arse, direct spre canalul de fum, rezolvându-se astfel o încălzire uniformă pe întreaga suprafață a peretelui refracțar permeabil (fig. 4.1.5).

Cărămidă refracțară ce formează peretele permeabil s-a executat conform desenului de execuție fig.4.1.a, prezentindu-se la Intreprinderea de Produse Refracțare Baru(Centrala Ind.Brașov), trei variante (conf. cu desenele 4.1.a, 4.1.b și 4.1.c).

Executantul cărămidilor este Intreprinderea de Produse Refracțare Baru, unde s-a ales pentru fabricare tipul de cărămidă conf. desenului 4.1.a, după ce în paralel s-a încercat tehnologia de fabrica-

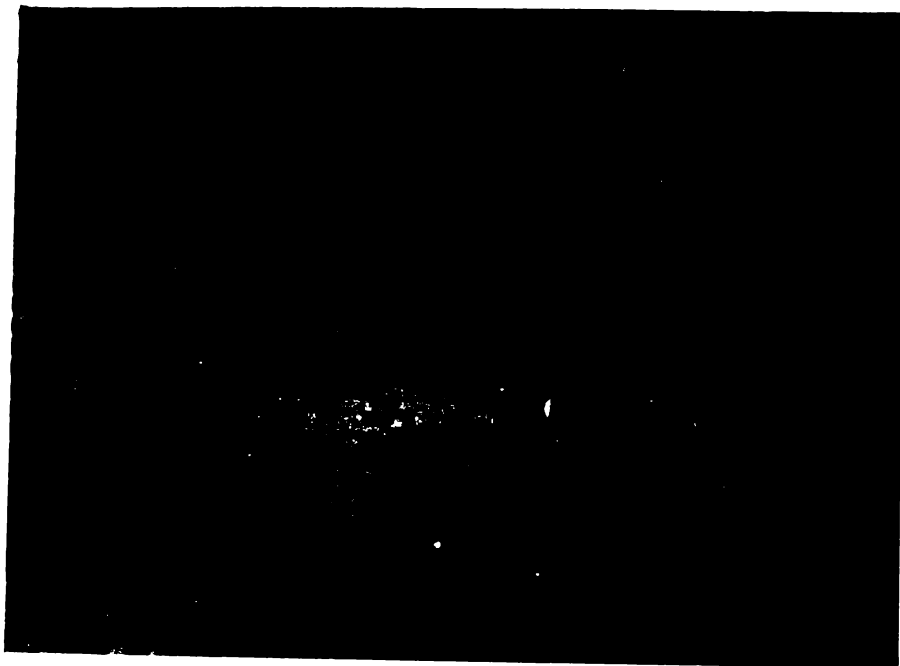


Fig.4.1.5. - 1 -peretele refractar permeabil;
2 -ecranul impermeabil în fața gurii de evacuare a gazelor de ardere;
3 -blocul stîng de arzătoare.

tie pentru toate cele trei tipuri.

Deoarece cărămizile ca dimensiuni de gabarit, se încadrează cu dimensiunile standardizate (250 x 125 x 65 mm), producătorul a modificat numai un plan al matriței, presarea plastică și uscarea neprezentând dificultăți aparte. Costul de fabricare s-a încadrat în prețul de cost și livrare pentru cărămizi refractare RCA 73 format normal standardizat, în cazul de față serie mică, deoarece comanda s-a referit la o cantitate de 3,1 t.

La celelalte două variante s-a renunțat deoarece cărămizile se deformau după uscare și ardere, prezintau fisuri profunde, cantitatea de rebuturi fiind considerabilă întrucât și posibilitățile tehnologice de fabricare ale întreprinderii sunt limitate.

Calculul peretelui refractar permeabil

Potrivit configurației zidăriei normale (5,fig.4.1.4) secțiunea canalului pentru evacuarea gazelor de ardere este

$$S = 0,460 \times 0,345 = 0,159 \text{ m}^2,$$

astfel că pentru un debit maxim de combustibil $B = 180 \text{ m}^3/\text{N}/\text{h}$ va rezulta un debit al gazelor de ardere:

$$\dot{V}_{gt} = B \quad V_{gt} = B(V_{CO_2} + V_{CO} + V_{H_2} + V_{O_2} + V_{H_2O})$$

(4.1.1) .

$$\dot{V}_{gt} = 3398,3 \text{ m}^3/\text{h}$$

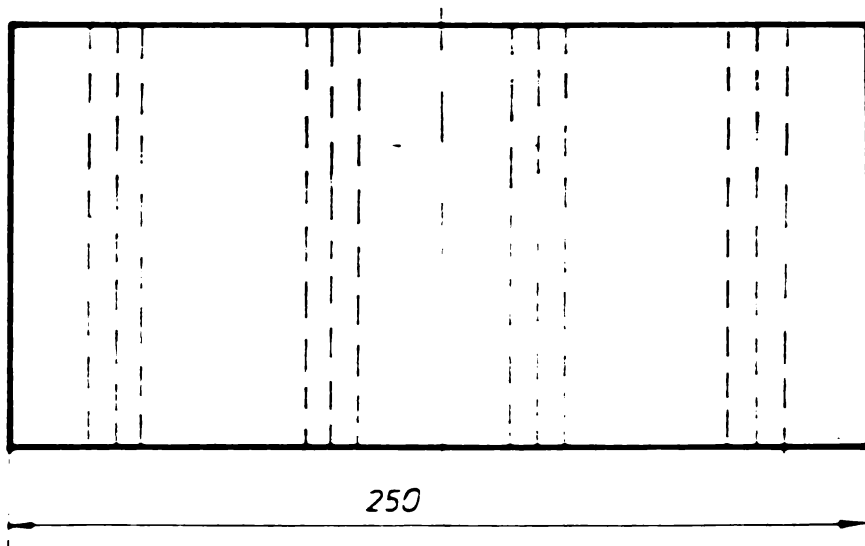
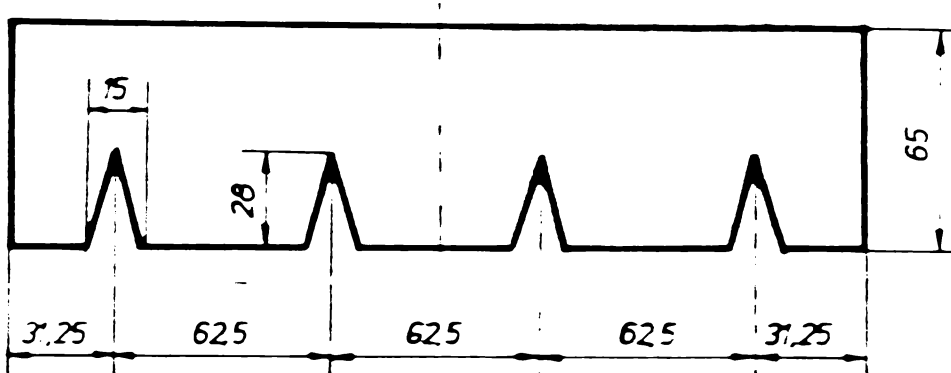
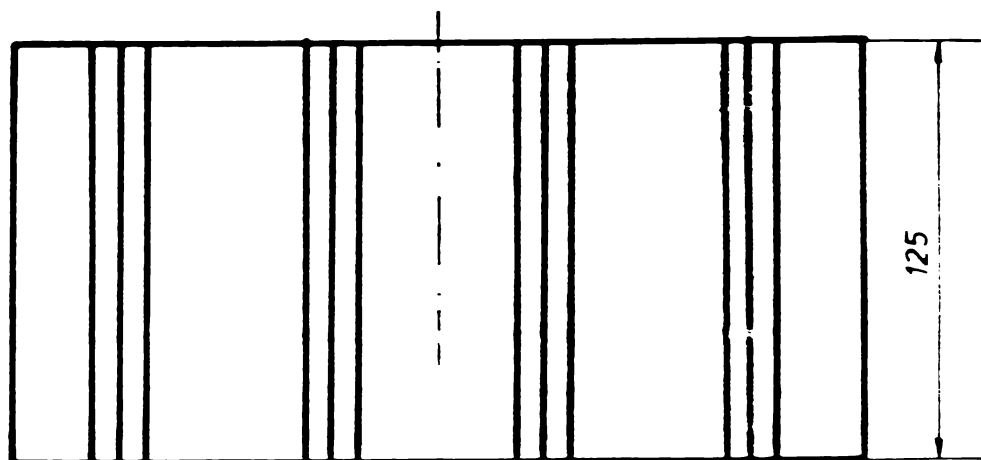


Fig.4.1.a

Viteza teoretică a gazelor prin canelul de fum este:

$$w_g = \frac{\dot{V}_{gt}}{S} = 5,94 \text{ m/s}, \quad (4.1.2)$$

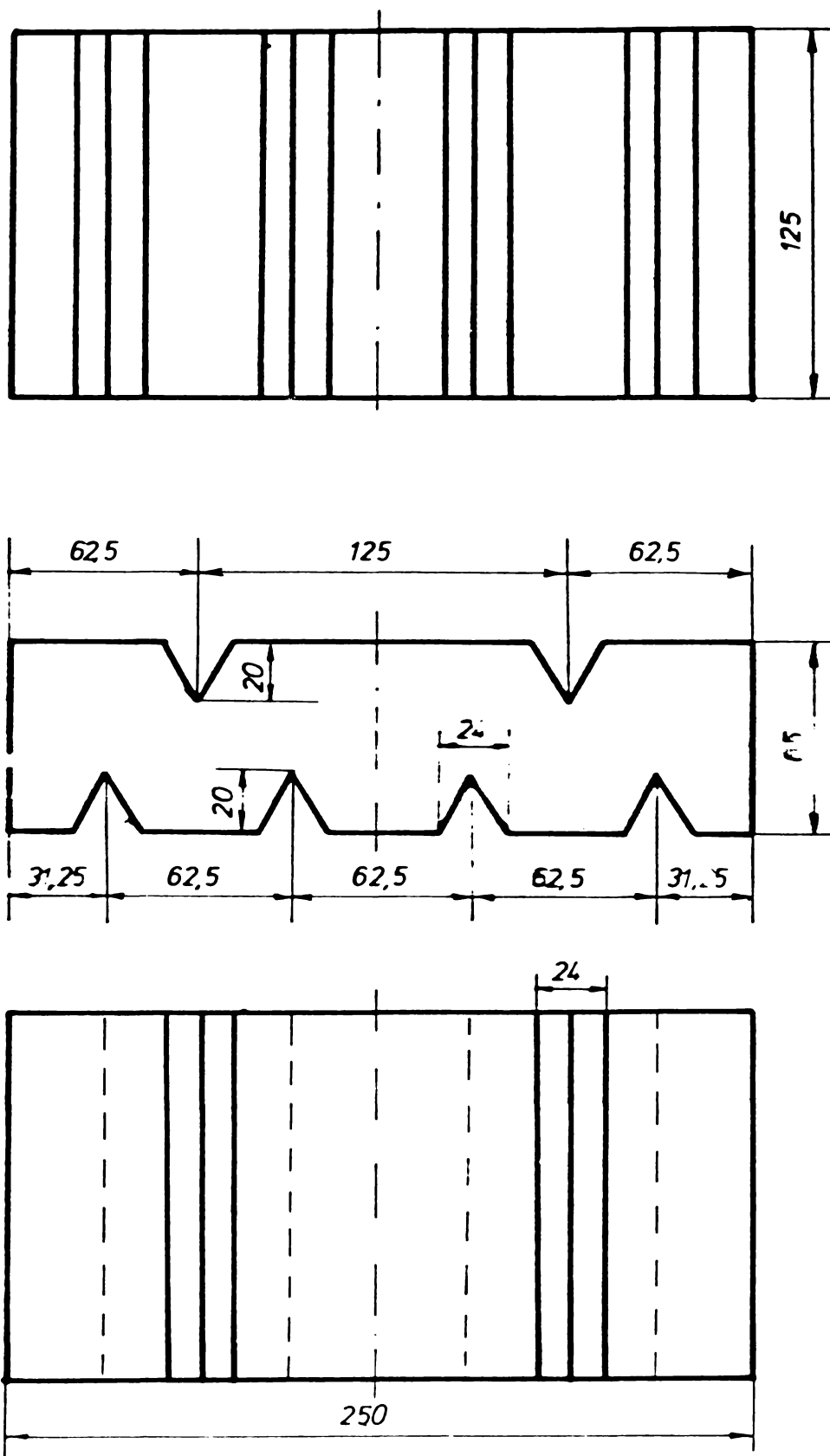


Fig.4.1.b

ținind seama însă de pierderea de gaze arse prin neetanșeitate, care la regimul de debit maxim este (v.4.3) :

$$\dot{V}_{gtp} = 68 \text{ m}^3/\text{h} , \quad (4.1.3)$$

va rezulta viteza reală a gazelor prin canal

$$w_{g \text{ real}} = 5,8 \text{ m/s.} \quad (4.1.4)$$

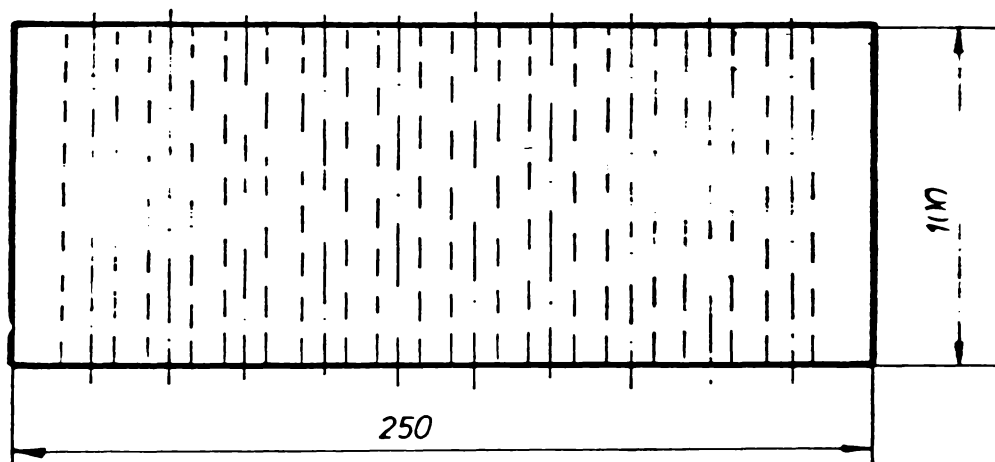
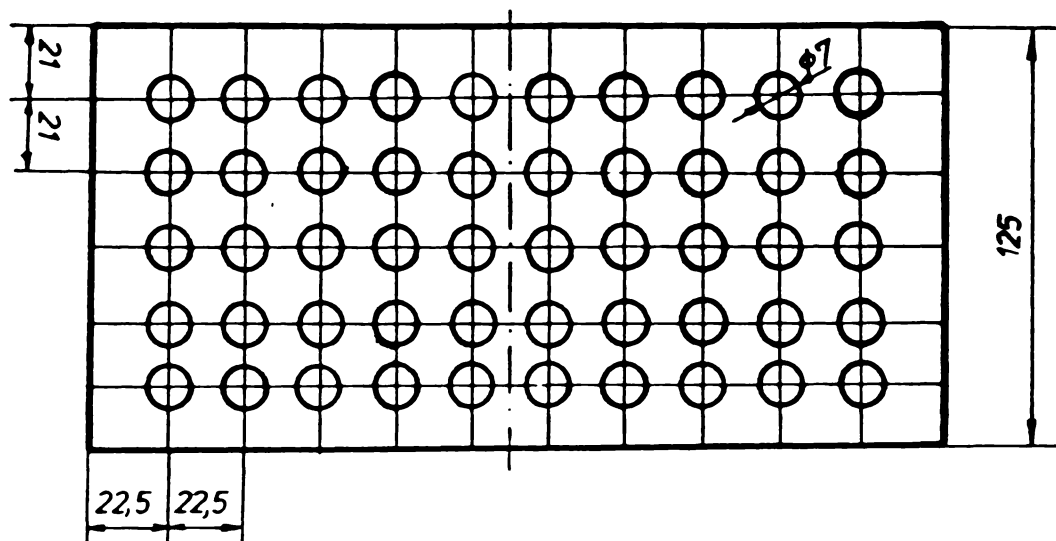


Fig.4.1.c

Defalcat pe etapele de tratament corespunzătoare diagramei de încălzire (fig.4.1.3), valorile medii ale vitezei gazelor de ardere se prezintă ca în tabelul 4.1.1.

Tabel 4.1.1

Etapa [h]	0 - 22	22-27	27-33	33-46	46-54	54-62
viteza medie a gazelor de ardere [m/s]	1,82	2,51	3,29	2,48	-	0,94

Prin montarea peretelui permeabil (fig.4.1.5) pe o grindă metalică de rezistență, căptușită cu mortar termorezistent de turnătorie (fig.4.1.6), secțiunea echivalentă de trecere a gazelor de ardere s-a fost calculată astfel ca rezistența hidraulică opusă de canale să

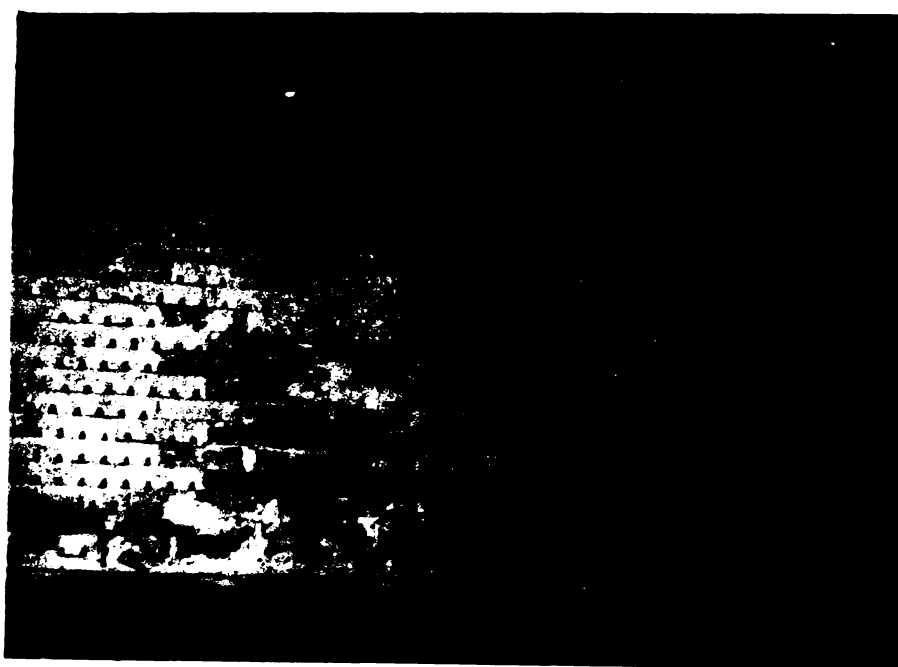


Fig.4.1.6 - 1 -grinda metalică de susținere a peretelui refracțar permeabil;
2 -peretele refracțar permeabil.

nu modifice presiunea în cuptor ($1,2 - 1,8 \text{ mm H}_2\text{O}$); avînd în vedere că evacuarea gazelor de ardere se face prin tiraj natural, reglat manual cu o clapetă.

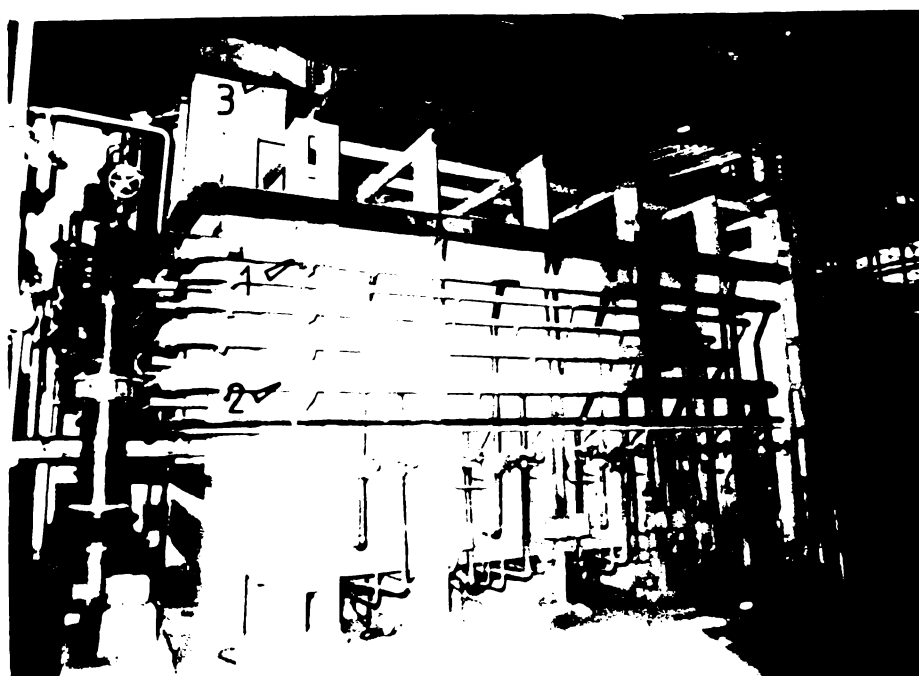


Fig.4.1.7 - 1 -conductă de gaz natural;
2 -conductă de aer de ardere;
3 -canalul de evacuare a gazelor de ardere;
4 -ventilatorul de aer.

.. In prealabil s-a calculat tirajul coșului [5] după relația

$$H \left(\frac{P_1}{\gamma_2} - 1 \right) + \frac{P_1}{\gamma_2} + \frac{w_1^2}{2g} = \frac{P_2}{\gamma_2} + \frac{w_2^2}{2g} + \sum \frac{w^2}{2g} \lambda \frac{l}{d_{ec}} + \sum \lambda \frac{w^2}{2g} \quad (4.1.5)$$

unde:

P_1 - suprapresiunea cu care se introduc gazele de ardere [daN/ m^2],

w_1 - viteza gazelor de ardere la intrarea în canalul de gaze [m/s],

P_2 - suprapresiunea sau depresiunea datorată vîntului [daN/ m^2],

λ - coeficienții de frecare cu peretii,

λ - coeficienții pierderilor locale,

H - înălțimea coșului [m],

pierderile de presiune prin frecare cu peretii precum și pierderile locale s-au calculat după cum urmează:

- Pierderile datorate frecării pe canalul de fum s-au calculat

funcție de regimul de curgere laminar sau turbulent, urmând ca

pentru curgerea laminară [60] :

$$\lambda = \frac{64}{Re} \quad (4.1.6)$$

$$\Delta p = 3,2 \eta \frac{w \cdot l}{d_{ec}^2} [daN/m^2] \quad (4.1.7)$$

pentru curgerea turbulentă

$$\lambda = \frac{0,3164}{\sqrt{Re}} \quad (4.1.8)$$

După Schach, pentru gazele de evacuare, pierderea de presiune este :

$$\Delta p = \frac{7,5}{1,269} w^{1,852} \frac{T}{273} \frac{l}{D_{ec}} [daN/m^2] \quad (4.1.9)$$

unde

$$D_{ec} = \frac{4S}{P} = 0,394 \text{ m} \quad (4.1.10)$$

- Pierderile locale de presiune s-au calculat ținind seama de existența pe canalul de fum a trei coturi de 90° fiecare, avînd coeficientul de rezistență locală $\lambda = 1,5$:

$$\Delta p = \frac{w^2}{2g} \cdot \lambda \cdot \lambda [N/m^2] \quad (4.1.11)$$

Rezultatele calculului pierderilor de presiune sînt centralizate pentru fiecare etapă a diagramei de încălzire, în tabelul 4.1.2

Tabel 4.1.2

Etapa de încălzire [h]	0-22	22-27	27-33	33-46	46-54	54-62
Regim de curgere Re	931,3	1284,4	1683,4	1268,9	-	480,9
Pierderi prin frecare [daN/m ²]	0,018	0,025	0,033	0,025	-	0,009
Pierderi locale [daN/m ²]	0,019	0,026	0,034	0,026	-	0,009
Total pierderi de presiune [daN/m ²]	0,037	0,051	0,067	0,051	-	0,018

Suprafața ecranată este de $5,76 \text{ m}^2$, zona paretelui posterior de sub arcul boltii rămînînd neecranată, ecranul închizîndu-se în partea superioară (fig.4.1.8) cu cărămidă normală și mortar de şamotă.

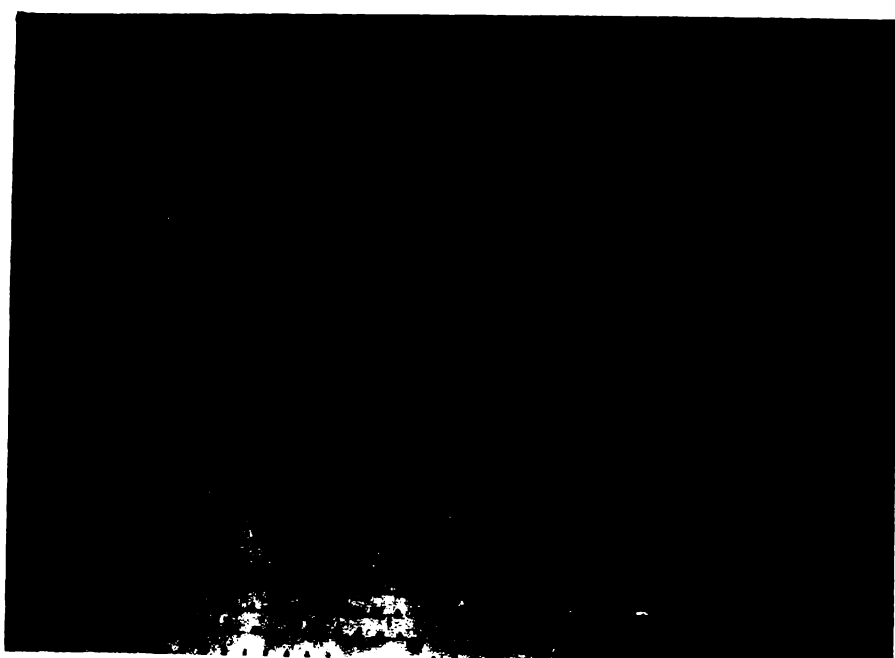


Fig.4.1.8 - 1 -bolta cuporului
2 -peretele posterior neecranat
3 -rîndul de cărămizi refractare de închidere a ecranului permeabil

Potrivit acestei variante de ecranare rezultă ca necesar de cărămizi cu canale pentru peretele ecran:

$$n_c = \frac{S_{\text{perete}}}{S_c} = 325 \text{ buc} \quad (4.1.12)$$

Suprafața secțiunii transversale a unui canal este $S_c = 210 \text{ mm}^2$, fiecare cărămidă conținând patru canale (fig.4.1.a), suprafața totală a orificiilor unei cărămizi fiind:

$$S_{c.c} = 210 \cdot 4 = 840 \text{ mm}^2 \quad (4.1.13)$$

În scopul evitării trecerii directe a gazelor arse prin peretele permeabil, la canalul de fum, acesta a fost complet ecranat, conținându-se cărămizi normale și obligând astfel trecerea gazelor arse prin peretele permeabil pe o arie cît mai întinsă.

După cum reiese din (2,fig.4.1.5), canalul de fum a fost ecranat complet cu cărămidă normală pe o suprafață de $0,489 \text{ m}^2$ (30 cărămizi RCA 73 format $250 \times 125 \times 65$).

Prin urmare suprafața efectivă de ecran permeabil este

$$S_{e \text{ ef}} = 5,271 \text{ m}^2 \quad (4.1.14)$$

conținând 295 cărămizi cu canale având formă și dimensiunile conform fig.4.1.a.

Pierderea de presiune [5] la trecerea gazelor de ardere printr-un canal triunghiular al unei cărămizi

$$\Delta p = \sum \frac{w^2}{2g} \cdot \lambda \cdot \frac{l \cdot \delta}{d_{ec}} + \sum \lambda \frac{w^2}{2g} \cdot \delta , \quad (4.1.15)$$

se calculează având în vedere valorile vitezelor de trecere a gazelor de ardere prin orificii conform tabelului 4.1.3

Tabel 4.1.3

Etapa [h]	0 - 20	20 - 25	25 - 31	31-44	44-49	49-57
Viteza medie a gazelor arse [m/s]	1,28	1,77	2,32	1,75	-	0,66

Valoarea pierderilor locale este nulă, urmând a se calcula pierderile hidraulice prin frecale. Diametrul echivalent al canașului de

secțiune triunghiulară, conform rel.(4.1.10) este $D_{ec} = 11,2 \text{ mm}$ și

$$\Delta P = \lambda \frac{L \cdot w^2 \cdot g}{20 D_{ec}} \quad [\text{daN/m}^2] \quad (4.1.16)$$

unde: L - lungimea canalului din cărămida ($= 125 \text{ mm}$); rezultatele calculului, conform rel.(4.1.7 și 4.1.10) sunt concentrate în tabelul 4.1.4.

Tabel 4.1.4

Etapa de încălzire [h]	0 - 20	20-25	25-31	31-44	44-49	49-57
Regim de curgere Re	187,5	259,3	339,8	256,3	-	97,1
Pierderi prin fricare conf. rel. (4.1.16) [daN/m^2]	0,139	0,196	0,253	0,192	-	0,072
Pierderi prin fricare conf. rel. (4.1.17) [daN/m^2]	0,143	0,198	0,260	0,196	-	0,074

Pentru calculul regimului de curgere s-a avut în vedere relația de calcul a vîscozității dinamice a gazelor de ardere pentru temperatură medie a fiecărei etape [13,37] potrivit relației

$$\eta_T = \eta_0 \sqrt{\frac{T}{273,15}} \frac{1 + \frac{C}{273,15}}{1 + \frac{C}{T}} \quad (4.1.17)$$

în care:

C - constanta lui Sutherland ($= 112$).

La calculul secțiunii de trecere a gazelor arse s-a avut în vedere ca valorile medii ale vitezei gazelor de ardere în fiecare etapă de tratament să fie mai mici decât vîteza gazelor prin canalul central de fum, în scopul de a se obține căderi de presiune minime concomitent cu asigurarea unui schimb termic prin convecție al gazelor cu peretele permeabil cît mai bun.

In conformitate cu ecuația criterială [22] pentru calculul convecției în canale ie un rechin de curgere laminar

$$Nu = \sqrt[3]{3,66^3 + 1,61^3} Re Pr dec/L \cdot \left(\frac{Pr}{Pr_p} \right)^{0,11} \quad (4.1.18)$$

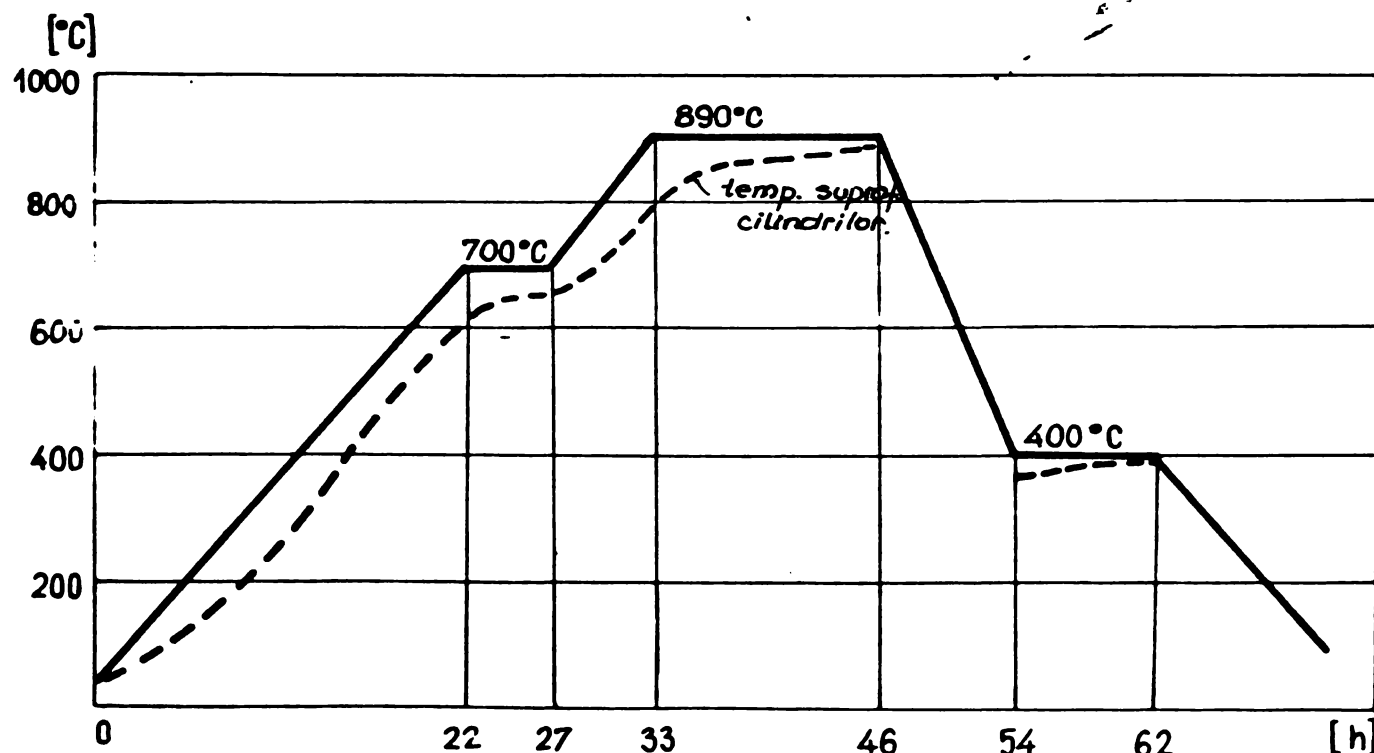
valorile coeficientului α de convecție sînt prezentate pentru fiecare etapă de tratament în tabelul 4.1.5.

Tabel 4.1.5

Etapa de încălzire [h]	0-20	20-25	25-31	31-44	44-49	49-57
Valoarea cifrei Re	187,5	259,3	339,8	256,3	-	97,1
Valoarea cifrei Nu	4,61	4,88	5,18	4,89	-	4,12
Coeficientul de convecție α [W/m ² K]	33,22	35,23	37,32	35,23	-	29,68

4.2. Determinarea coeficientului global de transfer termic pentru cilindri de laminor.

Calculul coeficientului global de schimb termic în spațiul cuptorului de tratament termic al cilindrilor de laminor se efectuează pe etapele de încălzire și menținere în palier conform diagramei de încălzire din figura 4.2.1.



Potrivit bilanțului masic al arderii gazului natural și analizei chimice a gazelor uscate de ardere (val.măs.)

$$\begin{aligned}(\text{CO}_2)_f &= 4,35 \% \\(\text{O}_2)_f &= 11,20 \% \\(\text{CO})_f &= 1,45 \%\end{aligned}\quad (4.2.1)$$

rezultă din diagrama Ostwald (fig.2.3.2) un exces real al aerului de ardere

$$\lambda = 1,90 \quad (4.2.2)$$

Necesarul teoretic de aer pentru ardere în exces cu $\lambda = 1,90$ precum și cantitatea de oxigen consumat reies conform relațiilor (2.3.3 - 2.3.5). În figura 4.2.2. se observă blocul stîng al arzătoarelor verticale cu impuls.

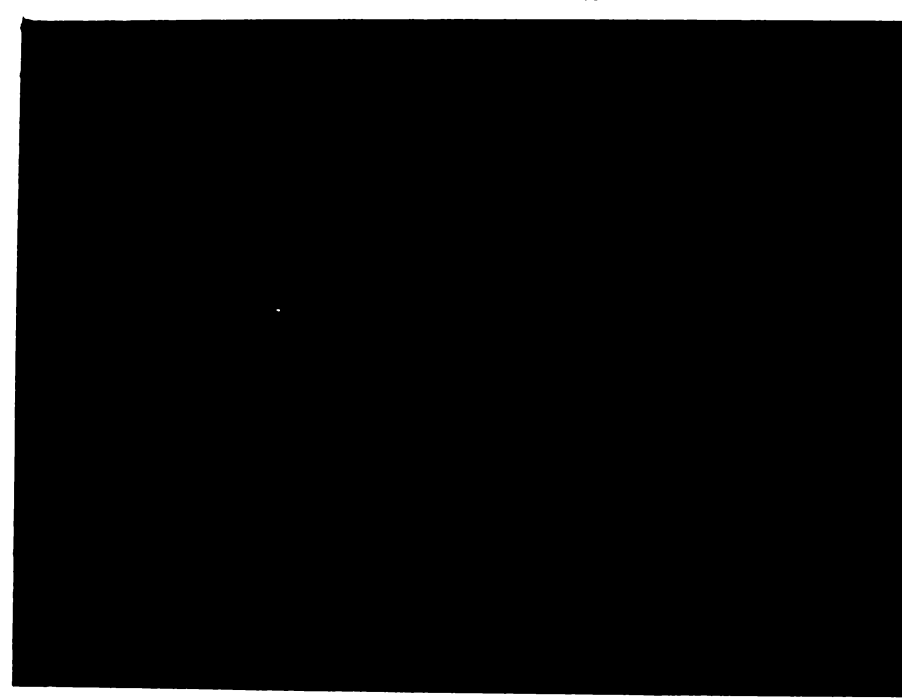


Fig.4.2.2 - Pentru asigurarea recirculării gazelor de ardere blocul de arzătoare este prevăzut cu lănci de recirculare (2).

Se observă zona în care flamă spală peretii laterali (1), zidăria fiind mai deschisă la culoare

Produsele arderii imperfecte și participarea componentelor de ardere se deduc conform relațiilor (2.3.6 - 2.3.14).

Din relația (2.3.12) pentru coeficientul excesului de aer $\lambda=1,90$ rezultă gradul de perfecțiune al arderii:

$$x = 0,7476 \quad (4.2.3)$$

Cu aceste date se poate calcula compozitia volumetrică a gazelor de ardere, unde:

$$\begin{aligned}
 (CO_2)_{f_u} &= \frac{V_{CO_2}}{V_{gt}} = 3,89 \% \\
 (CO)_{f_u} &= \frac{V_{CO}}{V_{gt}} = 1,08 \% \\
 (O_2)_{f_u} &= \frac{V_{O_2}}{V_{gt}} = 10,13 \% \\
 (N_2)_{f_u} &= \frac{V_{N_2}}{V_{gt}} = 73,44 \% \\
 (H_2O)_{f_u} &= \frac{V_{H_2O}}{V_{gt}} = 11,46
 \end{aligned} \tag{4.2.4}$$

Avind în vedere compozitia volumetrică a gazelor de ardere, presiunea parțială a componentelor radiante CO_2 ; H_2O și grosimea medie a stratului de gaze din spațiul de lucru al cuptorului [33], [44], [45],

$$\begin{aligned}
 p_{CO_2} &= 0,0389 \cdot 120 = 4,668 \text{ bar.cm} \\
 p_{H_2O} &= 0,1146 \cdot 120 = 13,752 \text{ bar.cm}
 \end{aligned} \tag{4.2.5}$$

se obțin coeficientii de negreală pentru bioxidul de carbon; vaporii de apă și coeficientul global de negreală al gazelor de ardere (tabel 4.2.1) la diferite temperaturi conform [33], [36] și relației (4.2.6)

$$\varepsilon_g = \varepsilon_{CO_2} + \beta \cdot \varepsilon_{H_2O} - \Delta \varepsilon_g \tag{4.2.6}$$

Tabel 4.2.1.

t gaze [°C]	ε_{CO_2}	ε_{H_2O}	β	ε_g
360	0,078	0,192	1,08	0,285
700	0,091	0,163	1,08	0,267
795	0,090	0,145	1,08	0,246
890	0,088	0,129	1,08	0,227
400	0,080	0,188	1,08	0,283

Calculul s-a condus în ipoteza unei temperaturi și capacitate uniforme de absorbție a gazelor de ardere în întreg spațiul de lucru al cuptorului.

Intocmind bilanțul căldurii produse prin ardere, a căldurii transmise de zidărie și a celei radiate de suprafața șarpei, se obține expresia pentru debitul calorific recepționat de șarjă:

$$Q = \sigma_g \cdot \epsilon_m \frac{[\varphi_z^m(1-\epsilon_g) + 1] - \frac{(q_{sp} - q_w)(1-\epsilon_g)}{\sigma_g(T_g^4 - T_m^4) \cdot 10^{-8}}}{\varphi_z^m(1-\epsilon_g)[\epsilon_m + \epsilon_g(1-\epsilon_m)] + \epsilon_g} F_m(T_g^4 - T_m^4) \cdot 10^{-8} \quad [W] \quad (4.2.7)$$

Se admite în scopul simplificării relației că în regim cvasistacionar căldura transmisă prin convecție zidăriei este egală cu căldura pierdută de aceasta la mediul ambiant [46].

Deci:

$$Q = \sigma_g \cdot \epsilon_m \frac{\varphi_z^m(1-\epsilon_g) + 1}{\varphi_z^m(1-\epsilon_g)[\epsilon_m + \epsilon_g(1-\epsilon_m)] + \epsilon_g} F_m(T_g^4 - T_m^4) \cdot 10^{-8} \quad [W] \quad (4.2.8)$$

sau

$$Q = \sigma_{ap} F_m \left[\left(\frac{T_2}{100} \right)^4 - \left(\frac{T_u}{100} \right)^4 \right] \quad [W] \quad (4.2.9)$$

unde

$$\sigma_{ap} = C_N \cdot \epsilon_g \cdot \epsilon_m \frac{\varphi_z^m(1-\epsilon_g) + 1}{\varphi_z^m(1-\epsilon_g)[\epsilon_m + \epsilon_g(1-\epsilon_m)] + \epsilon_g} \quad [W/m^2 K^4] \quad (4.2.10)$$

reprezintă coeficientul aparent de radiație [42].

Coefficientul de negreală al materialului (șarpei) ϵ_m , se apreciază conform [56], [53], [52], iar coefficientul unghiular φ_z^m s-a calculat după [59], [39], fiind funcție de configurația geometrică a suprafețelor de radiație.

In cazurile practice se poate considera valoarea coefficientului unghiular:

$$\varphi_z^m = \frac{F_m}{F_z} \quad (4.2.11)$$

unde: F_m - suprafața metalului [m^2];
 F_z - suprafața zidăriei [m^2].

presupunîndu-se acoperirea completă a vîtrei cuptorului **cu** materialul şarjei.

In cazul experimentărilor industriale ipoteza nu s-a respectat, şarja constînd din patru cilindri de laminor cu diametru \varnothing 590 mm, lăţimea vîtrei fiind de 2000 mm.

In aceste condiţii relaţia (4.2.11) devine

$$\varphi_z^m = \frac{F'_m}{F_z} \quad (4.2.12)$$

valoarea lui F'_m reprezentînd suprafaţa efectivă a metalului şi care se poate determina tabelar [53], (v. tabel 4.2.2)

Tabel 4.2.2

Raportul dintre lăţimea intervalelor şi grosimea semifabricatului											
0,00	0,25	0,50	0,75	1,00	1,50	2,00	2,50	3,00	3,50	4,00	
1,00	0,98	0,97	0,93	0,89	0,79	0,71	0,65	0,60	0,55	0,51	Raportul $\frac{F'_m}{F_m}$
1,00	0,98	0,97	0,93	0,89	0,79	0,71	0,65	0,60	0,55	0,51	

Va rezulta astfel valoarea coeficientului de negreală al metalului

$$\epsilon'_m = \frac{\epsilon_m}{1 - (1 - \epsilon_m) \varphi_m^m} \quad (4.2.13)$$

unde

$$\varphi_m^m = 1 - \frac{F'_m}{F_m} \quad (4.2.14)$$

După [42], [28] se poate determina analitic temperatura zidăriei

$$T_z^4 = T_m^4 + \frac{\epsilon_E [1 + (1 - \epsilon_E)] (1 - \epsilon_m)}{(1 - \epsilon_E) [\epsilon_m + \epsilon_E (1 - \epsilon_m)] + \epsilon_E} (T_E^4 - T_m^4) \quad [K] \quad (4.2.15)$$

In realitate transmiterea căldurii în cuptor are loc prin radiatorie şi convecţie şi ar trebui deci ca relaţia fluxului termic să aibă expresia:

$$Q = \sigma_{ap} F_m \left[\left(\frac{T_g}{100} \right)^4 - \left(\frac{T_m}{100} \right)^4 \right] + \alpha_c F_m (T_g - T_m) [W] \quad (4.2.16)$$

dar ținind seama că la cuptoarele de încălzire și tratament ponderea convecției este de 8 - 10% [51], [50],[56], s-a restrâns expresia (4.2.16) sub forma

$$Q = \sigma_{ap} F_m m_c \left[\left(\frac{T_g}{100} \right)^4 - \left(\frac{T_m}{100} \right)^4 \right] [W] \quad (4.2.17)$$

unde m_c devine un coeficient de convecție.

Din expresia (4.2.17) se poate deduce coeficientul transmiterii de căldură

$$\alpha = \sigma_{ap} m_c 10^{-8} (T_g^3 + T_g^2 T_m + T_g T_m^2 + T_m^3) \left[\frac{W}{m^2 K} \right], \quad (4.2.18)$$

iar pentru corpul negru,

$$\alpha_N = C_N 10^{-8} (T_g^3 + T_g^2 T_m + T_g T_m^2 + T_m^3) \left[\frac{W}{m^2 K} \right] \quad (4.2.19)$$

expresia (4.2.18) devenind în final

$$\alpha = \frac{\sigma_{ap}}{C_N} \cdot \alpha_N m_c \left[\frac{W}{m^2 K} \right] \quad (4.2.20)$$

Valoarea lui α_N se determină din diagramă, funcție de temperatură în cuptor și temperatura materialului [53],[18].

Referitor la valoarea reală a temperaturii în cuptor, aceasta nu este identică cu temperatura măsurată de termocuplul introdus în spațiul de lucru, de obicei prin bolta cuptorului. Acest procedeu clasic de măsurare a fost aplicat atât la experimentările de laborator cât și la cele industriale. Având în vedere condițiile specifice de laborator, s-au făcut măsurători ale temperaturii gazelor din spațiul de lucru cu termocuplu ecranat cu folie de aluminiu [29],[7], caz în care

$$\left(\frac{T_{cupt.}}{100} \right)^4 = \varepsilon_g \left(\frac{T_g}{100} \right)^4 + (1 + \varepsilon_g) \left(\frac{T_z}{100} \right)^4 \quad (4.2.21)$$

La măsurările industriale posibilitățile de a efectua măsurători de mare precizie sunt mai reduse drept pentru care noțiunea de temperatură a cuptorului înglobează o valoare intermedieră între temperaturile gazelor, a zidăriei și a metalului.

Experimentările au demonstrat [1], [12], [17], [65] măsurând temperatura cu termocupluri plasate în boltă, la 1/3 din înălțimea spațiului de lucru, valoarea lui σ_{ap} se plasează în intervalul 2,8 - 3,8 [$W/m^2 K^4$], micșorîndu-se pe măsura creșterii temperaturii materialului.

Valorile calculate a lui σ_{ap} prin metodologia de mai sus depășesc pe cele calculate pornind de la temperatura teoretică de ardere a combustibilului (v.l.3).

În urma aplicării relațiilor de calcul din subcap. 1.2, 1.3 și 1.5, au rezultat următoarele valori ale coeficientului global de schimb termic pentru fiecare etapă de tratament, concentrate în tabelul 4.2.3:

Tabel 4.2.3

Etapa [h]	t_m [$^{\circ}C$]	t_g [$^{\circ}C$]	α_N [$\frac{W}{m^2 K}$]	ϵ_g	ϵ'_m	C_N [$\frac{W}{m^2 K^4}$]	φ_z^m	σ_{ap} [$\frac{W}{m^2 K^4}$]	α [$\frac{W}{m^2 K}$]
0 - 22	335	360	61,75	0,285	0,66	5,76	0,141	3,30	42,45
22- 27	670	700	195,72	0,267	0,66	5,76	0,141	3,25	121,47
27- 33	740	795	262,13	0,246	0,66	5,76	0,141	3,18	159,18
33- 46	860	890	355,32	0,227	0,66	5,76	0,141	3,11	191,85
46- 54	860 370	-	-	-	-	-	-	-	-
54- 62	390	400	65,24	0,783	0,66	5,76	0,141	3,27	44,19

De observat că valorile medii ale temperaturii materialului (cilindrilor de laminor) sunt mai scăzute decît cele ale temperaturii măsurate a gazelor [56] aşa cum reiese și din diagrama (fig. 4.2.1) de încălzire, unde cu linie întreruptă este reprezentată temperatura cilindrilor [52], [36] la suprafață.

4.3. Indicii tehnico-funcționali ai cuptorului înaintea modificării zidăriei

S-au efectuat măsurători asupra parametrilor termici ai cuptorului de tratament cilindri, avînd de fiecare dată același tip de încărcătură, în aceeași cantitate și anume cilindri de laminor din

fontă tip Adamit Ø 570 x 900 (4 buc).

Diagrama de tratament (fig.4.1.1) teoretică, prevede două etape de încălzire și două etape de egalizare următe de o răcire în aer liber în incinta halei și o menținere la 400°C în cuptor, după care urmează răcirea definitivă a cilindrilor în spațiul de lucru al cuptorului și deci finalizarea tratamentului.

Această diagramă este de altfel o îmbunătățire a unei alte diagrame de tratament (fig.4.3.1) care prevede patru încălziri și două răciri în aer liber, tratamentul întinzîndu-se pe o durată de 104 ore, față de 56 cîte presupune tratamentul îmbunătățit.

Efectul imediat este reducerea considerabilă a consumului de combustibil asociată cu creșterea calitativă a tratamentului termic aplicat cilindrilor de laminor tip Adamit.

Pentru prezentare s-au ales două tratamente termice reprezentative pentru întreaga gamă de tratamente care au fost urmărite, prezentate în diagramele din fig.4.1.2 și 4.1.3. Comparîndu-le cu diagrama teoretică din fig.4.3.1 se constată anumite abateri:

- Temperatura de început (300°C) a tratamentului nu este respectată, prelungind prima perioadă de încălzire de la 15 ore, la 20-23 de ore. Prelungirea mai sus menționată duce la o creștere a consumului de combustibil cu 7% față de cea normată.

- Etapa a doua de încălzire se caracterizează printr-un consum mai redus de combustibil, datorat însă scurtării etapei cu o oră.

- A doua egalizare durează 14 ore în loc de 13, presupunînd de asemenea o creștere a consumului de combustibil cu 7,6% față de cel normat.

Un alt tratament termic, prezentat prin diagrama din fig.4.1.3 se situează la cealaltă extremă față de diagrama normată.

In mod analog, datorită faptului că nu s-a putut asigura o nouă încărcătură imediat după descărcarea celei precedente, temperatura de începere a tratamentului a fost de 30°C .

- Prima etapă de încălzire durează 22 de ore față de 15, înregistrînd o depășire a consumului de combustibil cu 7,19%.

- A doua încălzire fiind scurtată cu o oră reduce consumul de combustibil cu 18%, dar viteza de încălzire reală crește față de cea normată cu 16,7%, creind posibilitatea apariției fisurilor și transformărilor structurale nefavorabile.

- Răcirea în aer liber are loc în 5 ore față de 7 ore cît este normat cu o viteză de $98^{\circ}/\text{h}$ față de $61^{\circ}/\text{h}$. Aceasta se explică prin

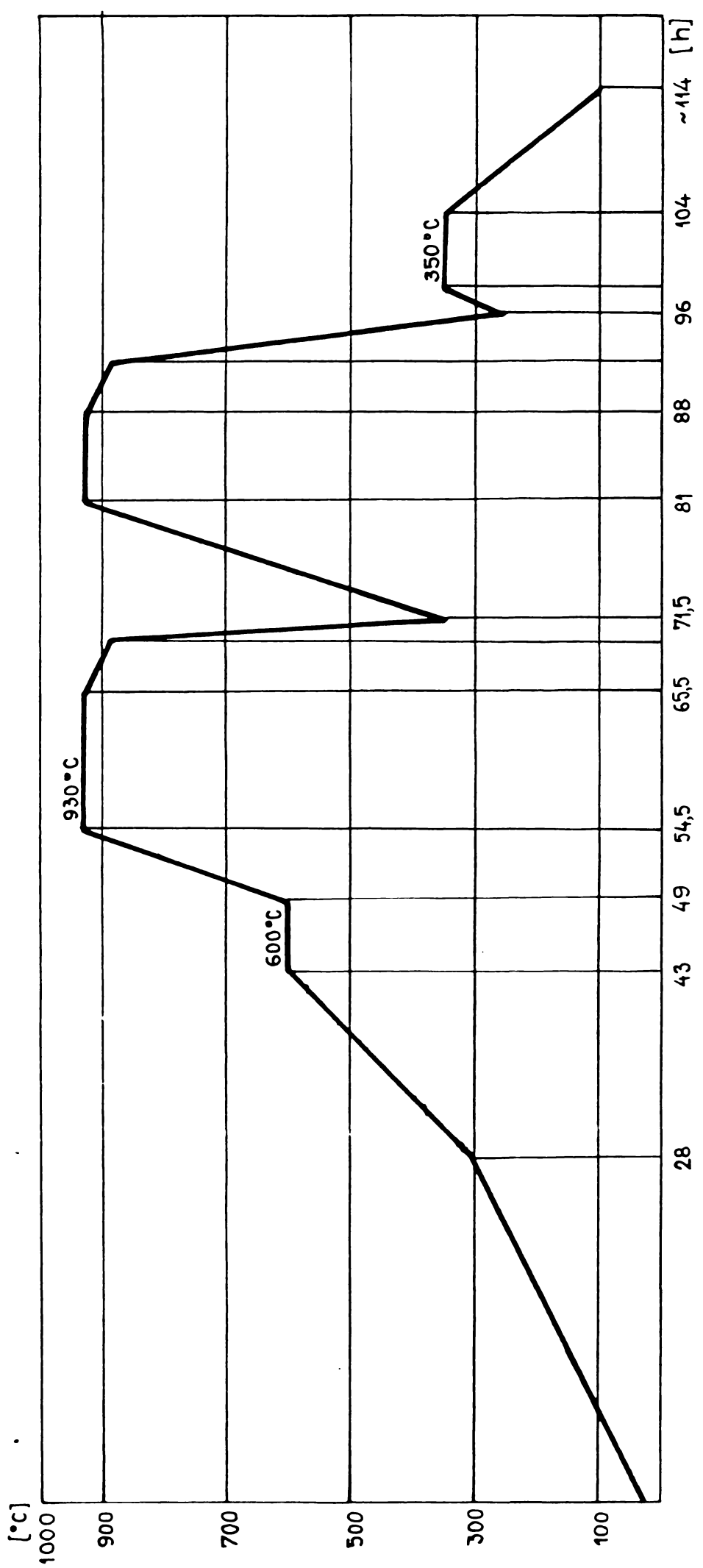


Fig. 4.3.1

faptul că tratamentul respectiv a fost efectuat pe timp rece, cînd în hală, temperatura mediului ambiant nu a depășit $8 - 10^{\circ}\text{C}$.

- Comparativ cu diagrama calculată, diagrama reală se situează sub consumul normat cu 6,34%.

In diagramele de consum din fig.4.3.2 și 4.3.3 se pot observa oscilațiile de consum aferente diagramelor de tratament din fig. 4.1.2 și 4.1.3.

Cuptorul are reglare automată a temperaturii după program, deschizînd sau închizînd complet arzătoarele de sarcină. Se observă că oscilațiile maxime de debit au loc în a doua perioadă de egalizare, iar în perioada primă de încălzire, creșterea debitului urmărește aproape riguros curba de creștere a temperaturii, cu o pantă mai mare datorită consumului de căldură necesar încălzirii zidăriei.

Așa cum s-a mai arătat în diagrama din fig.4.1.3, răcirea încărcăturii a avut loc timp de 5 ore față de 7 cît era calculat (datorită temperaturii coborîte a mediului ambiant) ceea ce a dus și la o răcire mai accentuată a zidăriei cuptorului. Prin aceasta se poate explica suprafață mai mare închisă de curba de consum din fig.4.3.3 din ultima perioadă de egalizare (52 - 60 ore) spre deosebire de cea din fig.4.3.2, unde zidăria nu a pierdut o cantitate atât de mare de căldură ca în cazul precedent.

Comparînd diagramele teoretice de încălzire din fig.4.1.1 și 4.3.1 se constată că suprafață delimitată de curba de încălzire și axa timpului nu diferă esențial, prin urmare necesarul de căldură pentru încălzirea șarjei este același. Diferența apare însă din modalitatea în care are loc tratamentul (o răcire în aer liber, respectiv două răciri în aer liber), cuptorul fiind deschis în această perioadă, deci permitînd pierderea masivă de căldură acumulată în zidărie.

Analizînd diagramele de consum de combustibil, rezultă într-adevăr că tratamentul după diagrama teoretică cu o singură răcire (fig.4.1.1) este mult mai economicos.

Pentru a susține cele afirmate mai sus s-a calculat consumul de combustibil pentru fiecare etapă a tratamentului conform diagramei din fig.4.1.1, mai precis conform unor date experimentale careies din diagrama reală (fig.4.1.2) cea mai apropiată ca formă și suprafață de diagrama teoretică.

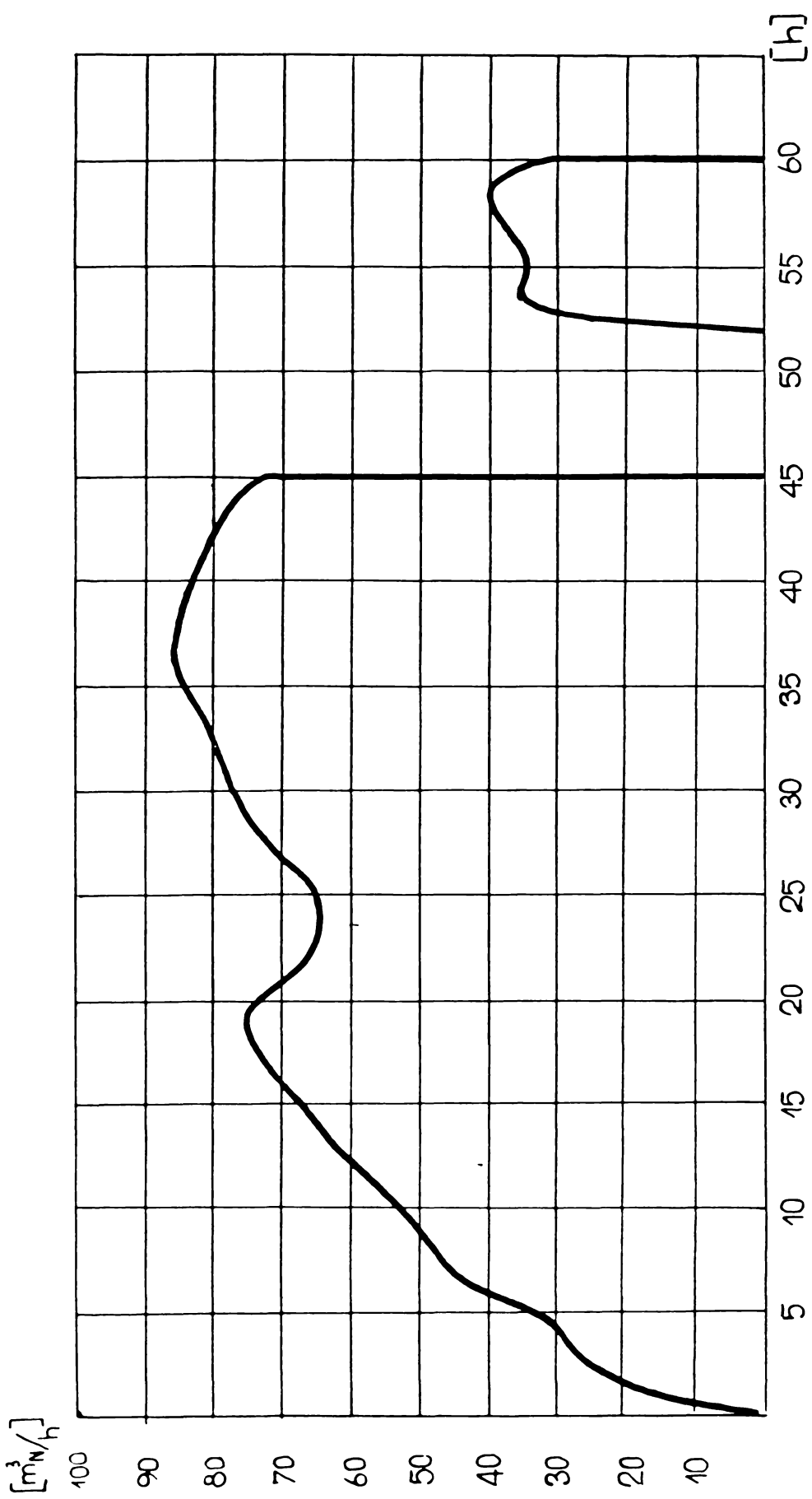


Fig.4.3.2 - Diagrama de consum de gaz natural pentru cupitorul cu zidărie clasică

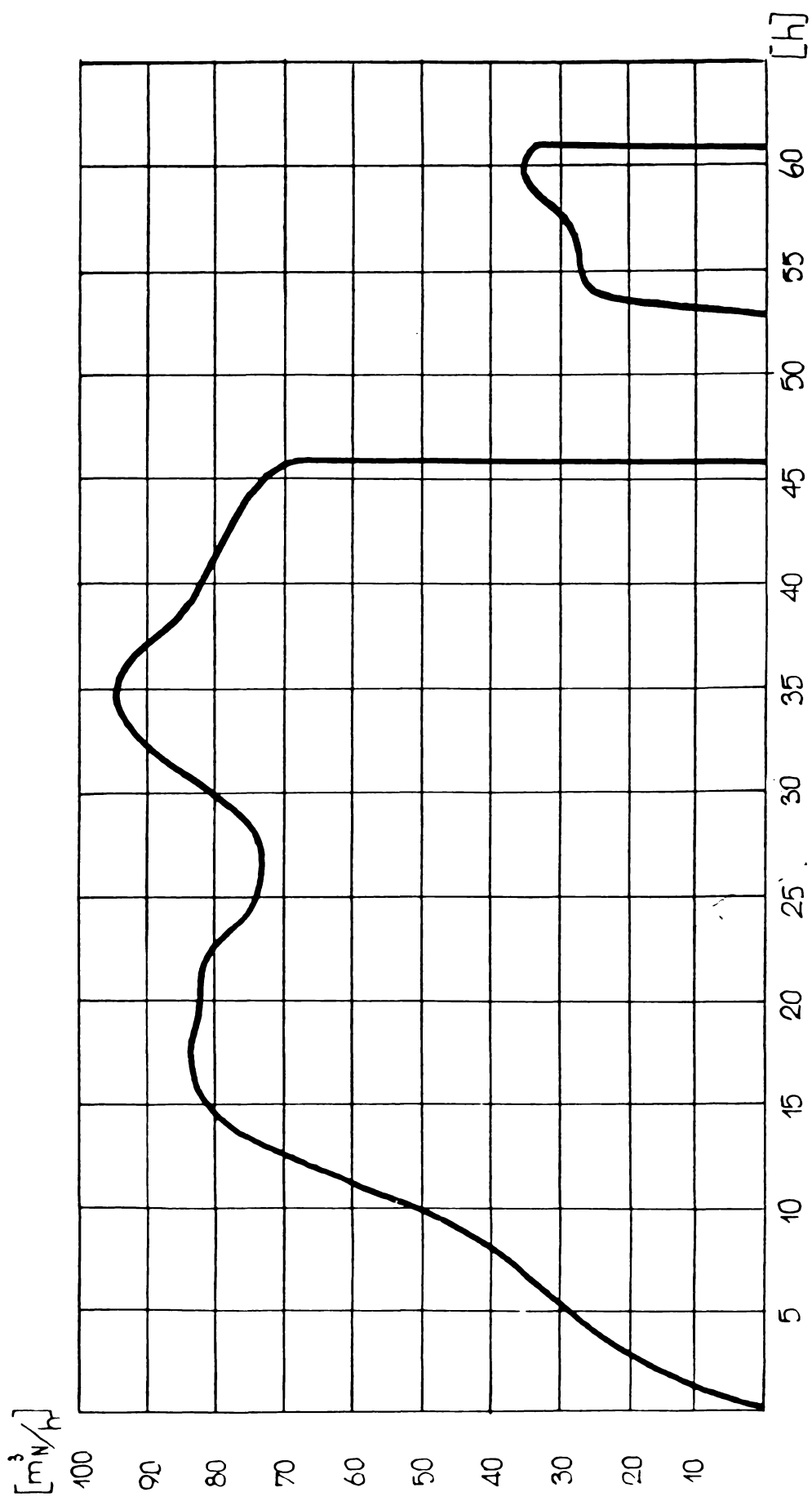


Fig.4.3.3 - Diagrama de consum de gaz natural pentru cupitorul cu zidăria clasică

Relativ la aceleasi etape s-a calculat căldura necesară șarjei pentru procesul de tratament termic, căldura înmagazinată în zidărie și căldura evacuată la coș.

Din măsurătorile experimentale a rezultat că arderea are loc cu un exces de aer $\lambda = 1,8 - 1,95$, excesul prescris prin datele de proiectare fiind $\lambda = 1,6$.

Temperatura cilindrilor s-a măsurat cu termocuplu de contact în momentul scoaterii pentru răcirea intermediară și a reintroducerii în cupor iar temperatura de evacuare la coș este măsurată permanent, entalpia gazelor rezultând din diagrama I-t (fig. 2.3.3).

Căldura necesară șarjei pentru încălzire se calculează conform ecuației calorimetrice

$$Q_u = m \cdot c \cdot \Delta t \quad [KJ] \quad (4.3.1)$$

iar căldura acumulată de zidărie este

$$Q_{sp} = m_p \cdot C_p (t_{mp} - t_o) \quad [KJ] \quad (4.3.2)$$

Referitor la căldura acumulată de încărcătură, s-a luat în considerare distribuția în timp a temperaturii pe secțiunea cilindrilor [52], [53], astfel că în perioada de egalizare încărcătura mai acumează circa 20% din totalul căldurii acumulate.

Calculul căldurii acumulate în zidărie s-a efectuat ținând seama de distribuția în timp a temperaturii, fiind analog procedeului de calcul prezentat în subcapitolul 3.3.

Din analiza chimică a gazelor de ardere a rezultat:

$$\begin{aligned} (CO_2)_f &= 4,35 \% \\ (O_2)_f &= 11,20 \% \\ (CO)_f &= 1,26 \% \\ (H_2)_f &= 0,00 \% \end{aligned} \quad (4.3.3)$$

putîndu-se astfel determina pierderile prin ardere imperfectă,

$$Q_{ai} = (12615 V_{CO} + 10780 V_{H_2}) B \quad [KJ] \quad (4.3.4)$$

Pierderile de căldură prin zidărie sunt constituite de schimbul de căldură prin convecția dintre mantaua cuporului și mediului ambient.

Schimbul calorice cu mediul ambient este nestaționar, avînd în

vedere modificarea permanentă a temperaturii mantalei în timpul funcționării, valori rezultate din diagramele de distribuție a temperaturii în zidăria cuptorului.

Pierderile de căldură prin neetanșeitate.

Spațiul de lucru al cuptorului conține gaze arse de evacuare calde cu greutatea specifică γ_2 fiind închis anterior cu o ușă având dimensiunile $1,8 \times 2,0$ [m] iar la partea inferioară (la nivelul vătrei) etansarea se face cu jgheab de nisip.

In spațiul cuptorului se stabilește o suprapresiune, nivelul de presiune zero calculîndu-se conform relației

$$H_2 = H_1 \frac{P_1}{P_2 - P_1} \quad [\text{m}] \quad (4.3.5)$$

unde:

H_2 - nivelul de presiune zero [m]

H_1 - înălțimea spațiului de lucru al cuptorului [m]

P_2 - presiunea în cuptor la nivelul boltii [daN/m^2]

P_1 - presiunea în cuptor la nivelul vătrei [daN/m^2]

Montarea clapetei de reglare a tirajului prevăzută în proiectul de execuție-montaj a cuptorului are rolul de a menține permanent linia de zero presiune, sub nivelul vătrei, cel mult la nivelul vătrei.

Nerespectarea acestei prescripții duce la pătrunderea de aer fals în spațiul de lucru, micșorînd randamentul cuptorului precum și gradientul util de temperatură a gazelor de ardere, influențînd în final negativ calitatea tratamentului termic aplicat produsului.

Schimbîndu-se încărcarea termică a cuptorului se modifică și debitul de gaz de evacuare și temperatura sa, de aceea trebuie acționată de fiecare dată clapeta astfel ca linia de zero presiune să nu depășească nivelul vătrei.

ACTIONAREA ACESTEI CLAPETE ESTE CEL MAI ADES NEGLIGATĂ, CU TOATE CĂ ÎN CAZUL CUPTORULUI DE TRATAMENT TERMIC CU VATRĂ MOBILĂ $10[\text{m}^2]$, ACTIONAREA ESTE CONCEPUTĂ AUTOMATĂ, FĂRĂ ÎNSUȚIU A PUTEA FUNCȚIONA CORECT.

In condițiile în care cuptorul funcționează conform prescripțiilor tehnice date de proiectant, debitul de gaze scăpate prin neetanșeitate (fante verticale) va fi

$$V = \alpha \cdot b \sqrt{\frac{2g}{\gamma_2}} \int_0^{H_1} [p_1 + H(\gamma_1 - \gamma_2)]^{\frac{1}{2}} \cdot dH \quad (4.3.6)$$

sau

$$V = \alpha \cdot b \sqrt{\frac{2g}{\gamma_2}} \left\{ \frac{[p_1 + H_1(\gamma_1 - \gamma_2)]^{\frac{3}{2}} - p_1^{\frac{3}{2}}}{\frac{3}{2}(\gamma_1 - \gamma_2)} \right\} \quad [m^3/s] \quad (4.3.7)$$

unde $\alpha = 0,65$

b = lățimea fantei [m]

p_1 = presiunea la nivelul văzut [daN/m²]

Dacă în spațiul de lucru există depresiune, prin neetanșeitate intrând aer fals în spațiul cuptorului, relația devine:

$$V = \alpha \cdot b \sqrt{\frac{2g}{\gamma_2}} \left\{ \frac{[p_1 + H_1(\gamma_1 - \gamma_2)]^{\frac{3}{2}} - p_1^{\frac{3}{2}}}{\frac{3}{2}(\gamma_1 - \gamma_2)} \right\} \quad [m^3/s] \quad (4.3.8)$$

Pentru fantele orizontale, valoarea presiunii din spațiul de lucru nu mai variază cu înălțimea H a fantei (care în acest caz este constantă) relația de calcul având expresia:

$$V = f \cdot \alpha' \cdot \sqrt{\frac{2g \cdot p}{\gamma_2}} \quad [m^3/s] \quad (4.3.9)$$

unde $\alpha' = 0,75$ (4.3.10)

Considerind o temperatură medie a gazelor de 700°C se poate astfel calcula debitul mediu scăpat prin neetanșeitateile ușii cuptorului.

Astfel pentru fantele verticale, având o lățime medie de 2 mm, debitul de gaze scăpate cu greutatea specifică:

$$\gamma_2 = \frac{273}{273 + 700} \cdot \gamma_0 = \frac{273}{273+700} 1,27 = 0,356 \quad [\text{daN/m}^3] \quad (4.3.11)$$

rezultă din relația (4.3.8).

Suprapresiunea crește pentru fiecare metru de înălțime a cuptorului cu:

$$l(\gamma_1 - \gamma_2) = l(1,27 - 0,356) = 0,914 \quad [\text{daN/m}^2] \quad (4.3.12)$$

Conform măsurătorilor efectuate după reglarea clapetei la nivelul văzut, presiunea este de $0,5 \quad [\text{daN/m}^2]$ iar la nivelul superior al ușii

$$\gamma_2 = (\gamma_1 - \gamma_2) H_1 = (1,293 - 0,356) l,8 = 1,69 \quad [\text{daN/m}^2] \quad (4.3.13)$$

Prin urmare, debitul de gaze de ardere scăpate prin fantele verticale este

$$v_v = 2 \cdot 0,65 \cdot 0,002 \sqrt{\frac{29,81}{0,356}} \left\{ \frac{[0,5+1,69]^{\frac{3}{2}} - (0,5)^{\frac{3}{2}}}{\frac{3}{2} (1,293 - 0,356)} \right\} \quad (4.3.14)$$

$$v_v = 0,04 [m^3/s] \quad (4.3.15) \text{ sau } v_v = 144 [m^3/h] \quad (4.3.16)$$

iar prin fantele orizontale:

$$v_o = 0,75 \cdot 0,002 \cdot 2 \sqrt{\frac{29,81 \cdot 1,1}{0,356}} = 0,023 [m^3/s] \quad (4.3.17)$$

sau

$$v_o = 84 [m^3/h] \quad (4.3.18)$$

Se obține astfel debitul de gaze de ardere scăpate prin neetanșeități, având valoarea

$$V = V_v + V_o = 228 [m^3/h] \quad (4.3.19)$$

Potrivit prescripțiilor tehnice din proiect, nivelul de presiune zero al cuptorului se va afla la

$$H_2 = H_1 \frac{p_1}{p_2 - p_1} = 1,8 \frac{0,5}{1,69 - 0,5} = 0,76 [m] \quad (4.3.20)$$

sub nivelul vărei.

In perioada de răcire a cilindrilor prin scoaterea acestora din spațiul cuptorului, în aer liber, are loc o intensă răcire a zidăriei cuptorului, căldură ce nu mai poate fi recuperată, conducind la creșterea acumulării de căldură în zidărie odată cu reînceperea tratamentului (conform ultimei perioade de menținere-egalizare la $400^\circ C$).

Cel mai mare neajuns al cuptorului îl constituie faptul că nu se poate închide în timpul celor 8 ore de răcire a cilindrilor în aer liber. Aceasta conduce la o răcire intensă a zidăriei, deci pierdere unei cantități însemnante de căldură acumulată, fără a fi utilizată în alt scop.

Greutatea aerului cald, careiese prin toate orificiile superioare ale cuptorului va fi

$$G = K_2 \sqrt{\frac{p_2 \cdot 273 \cdot t_1}{T_2}} \quad [\text{daN/s}] \quad (4.3.21)$$

sau

$$G = n \cdot K_2 \cdot r_1 \sqrt{\frac{273H \left(\frac{1}{T_1} - \frac{1}{T_2} \right)}{T_1 + n^2 \cdot T_2}} \quad [\text{daN/s}] \quad (4.3.22)$$

rezultînd că greutatea aerului rece, care intră în spațiul de lucru al cuptorului, este proporțională cu radicalul înălțimii spațiului de lucru.

Acest calcul s-a efectuat în cazul în care etanșarea cuptorului în perioada de răcire (v.diagrama de tratament: 890-400°C) nu este perfectă, nicidcum inexistentă.

Se impune aşadar ca orificiile din partea inferioară a cuptorului să fie cît mai mici, avînd în vedere în primul rînd etanșarea ușii și a vîtrei în zona canalelor cu nisip.

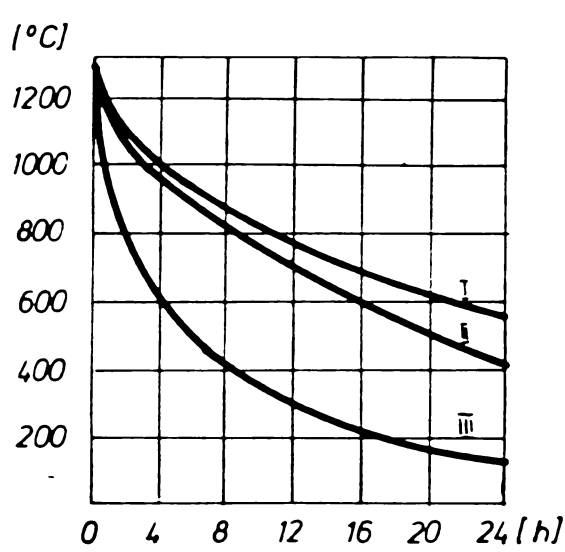


Fig.4.3.4 - Curbele de scădere a temperaturii cuptorului, în perioadele de staționare temporară.

In fig.4.3.4 este redată influența orificiilor asupra răcirii spațiului cuptorului în timpul întreruperii funcționării.

Curba I redă răcirea unui cuptor cu clapeta închisă și ușa bine etanșă, la curba II clapeta de evacuare a rămas deschisă iar la curba III

clapeta de evacuare este deschisă iar neetanșeităile din zona inferioară au rămas deasemenea neobturate.

Reîncălzirea cuptorului conform curbei III a necesitat 2,5[h] iar pentru condițiile conform curbei I, o,5[h].

Problema etanșeității ușii cuptorului se rezolvă în condiții destul de bune la pornirea sa din stare rece, întrucît funia de asbestos poate fi montată în mod nestincherit. Cu totul alta este situația însă după răcirea în aer liber (v.fig.4.1.1,2,3) cînd datorită temperaturii ridicate funia nu mai poate fi reașezată (în timpul tratamentului ea se lipește local și de zidăria ușii) și deci în ultima etapă de palier (400°C) etanșarea realizată este de slabă calitate (fig.4.3.5).



Fig.4.3.5 - 1 -mantaua metalică a cuptorului
2 -funia de azbest pentru etanșare
3 -peretele anterior

Cu aceste date s-a întocmit bilanțul optim (teoretic) al cuptorului (tabel 4.3.1) și bilanțul real (tabel 4.3.2), din care se remarcă valori foarte reduse ale randamentului termic al cuptorului deoarece încărcarea este mult sub cea nominală (6,5 t/ciclă în loc de 11,5 t/ciclă).

Analizînd comportarea cuptorului sub aspectul termodinamic al funcționării, rezultă următoarele ponderi ale căldurii acumulate în zidărie și căldurii evacuate la coș (tabel 4.3.3).

Prin planimetrarea diagramei (fig.4.3.3) rezultă un consum total de $3211 \text{ m}^3 \text{ N}$ gaz natural sau defalcat pentru fiecare etapă de tratament, consumul este menționat sub diagramă.

Se remarcă o scădere a consumului în perioadele de menținere în palier a cuptorului, lucru evident deoarece șarja absoarbe un debit calorific mult mai redus, dar reducerea de consum este mult mai accentuată în etapa de palier 890°C (33-46 h) cînd acumularea de căldură de către zidărie rezultă (v, tabel 4.3.3) a fi minimă. În ultima etapă de menținere în palier la 400°C , consumul este în creștere, urmînd ca în finalul perioadei de 8 h, consumul să se reducă.

De remarcat faptul că zidăria cuptorului nu atinge niciodată

Bilant optim teoretic

Tabel 4.3.1

Etapa [h]	Consum combus- abil [m ³ N]	Căldura dezvol- tată [KJ]	Căldura fizică a aerului a combus- tibilului [KJ]	Căldura fizică a căldură- i intrată [KJ]	Total căldură neceară garajei [KJ]	Căldura acumula- ță în zidărie prin pe- retă [KJ]	Căldura pierdută prin pie- neotangire [KJ]
0-15	762	2720114	515628	25146	27741942	1878870	13508870
15-20	336	11994192	202944	11088	12208224	469875	3019894
20-27	564	20133108	340656	18612	20492376	651533	4420759
27-40	1086	38766942	652944	35838	32458724	153883	1782919
40-48							2711882
48-56	173	6175581	104492	5709	6285782	324800	1000675
							1161699
							1162283

Căldură pierdută prin ar- deri im- perfecte [KJ]	Căldură evacuată la coagu- lare [KJ]	Total căldură iectată [KJ]	Procente termice [‰]	Rendament termic [‰]	Rendament termic năutat η _{th}
621452	10270000	27741942	0	62,9	
277200	7643847	12208224	0	37,4	
447282	13497056	20492376	0	34,1	
918277	29743294	39458724	0	24,6	
254305	2382020	6285782	0	62,1	

Bilant real

Tabel 4.3.2.

Etapa [h]	Consum combus- tibil [m ³ N]	Căldura dezvol- tată [KJ]	Căldura fizică a aerului combusti- bilului [KJ]	Total căldură fizică a intrată [KJ]	Căldura necesară în zidurie [KJ]	Căldura acumulață prin pe- reții [KJ]	Căldura pienută prin pe- necințare [KJ]
0-22	1148	40980385	737006	37952	41755343	1878370	1173697
22-27	360	12850992	231059	11901	13093952	469875	3019894
27-33	565	20168918	362634	18679	20550231	615533	4112750
33-46	924	32984212	593051	30547	33607810	153883	4780900
46-53							2920488
53-61	214	7639201	137352	7075	7783628	324800	1830500
							1161699
							143230

Căldura pierdută prin ar- deri im- perfecte [KJ]	Căldura evacuată la cos [KJ]	Total căldură iesită [KJ]	Broare [‰]	Randament termic [‰]	Per th
1305414	18138400	41209421	1,3	56,6	*
409363	8280000	13062495	0,2	36,7	
642473	13560000	20484481	0,3	34,0	
1050699	23328000	33008933	1,7	30,6	
243344	2782000	7755573	0,4	64,3	

Tabel 4.3.3

Perioada [h]	Total căldură intrată [%]	Temperatura în cuptor [°C]	Temperatura măsurată a gazelor ar- se [°C]	Căldura evacuată la coș [%]	Căldura acumulată în zidărie [%]
0-22	100	20 - 700	20-620	43,44	42,51
22-27	100	700	620	63,23	23,06
27-33	100	700-890	620-740	65,98	20,01
33-46	100	890	740	69,41	14,22
46-53	-	890-400	-	-	-
53-61	100	400	380	35,74	23,51

regimul staționar, ceea ce rezultă din diagramele de distribuție a temperaturii în zidărie pentru regim termic nestaționar.

4.4. Modificarea parametrilor termodinamici după montarea zidăriei refractare permeabile.

Se vor compara valorile parametrilor tehnico-funcționali ai cuptorului de tratament termic ai cilindrilor de laminor conform diagramelor de încălzire din fig.4.1.3 și fig.4.4.1 corespunzătoare cuptorului modificat.

După cum rezultă din diagrama de încălzire din fig.4.4.1

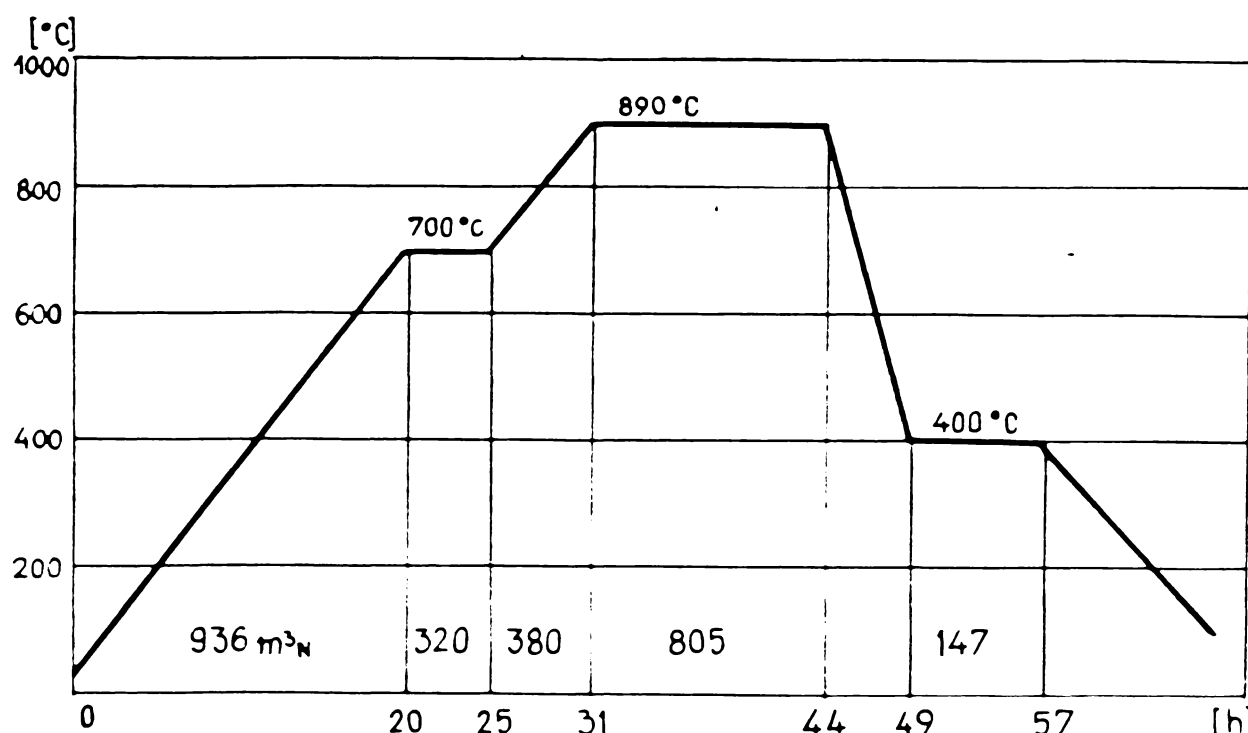


Fig.4.4.1

consumul de gaz natural se reduce în fiecare etapă de încălzire după cum reiese și din tabelul 4.4.1.

Tabel 4.4.1

Etapa de încălzire [°C]	20 - 700	700	700-890	890	400
Consumul mediu orar pentru zidăria normală [m ³ N/h]	52,18	72,00	94,16	71,10	26,8
Consum total [m ³ N]			3211 .		
Consumul mediu orar pentru zidăria cu perete permeabil [m ³ N/h]	46,80	64,00	63,32	61,90	18,41
Consum total [m ³ N]			2588		

Reducerea totală a consumului este de 623 m³N pe un ciclu de tratament termic. De remarcat că au existat regimuri de funcționare la care reducerea consumului de combustibil a fost și mai mare. În tabelul 4.4.2 sînt redate cîteva consumuri realizate de cupor înainte și după modificarea în perioada cînd s-a executat tratamentul termic pentru cilindri de lamină tip Adamit avînd aceleasi dimensiuni.

Din compararea celor două diagrame de încălzire, din fig.4.4.1 mai rezultă că în prima perioadă de încălzire de la temperatura de 20°C la 700°C perioada s-a redus cu două ore datorită creșterii coeficientului global de transmitere a căldurii către material ceea ce rezultă și din media de consum de gaz natural realizată (46,8 m³N/h față de 52,18 m³N/h).

În restul etapelor de tratament datorită condițiilor tehnologice impuse, viteza de încălzire rămînînd constantă, efectul reducerii de consum nu se concretizează prin reducerea timpului de încălzire ci prin micșorarea consumului mediu orar de gaz natural (vezi tabel 4.4.1).

Tabel 4.4.2

Consumul total al cuptorului cu zidărie normală [m ³ N]	3411	3211	3517	3483	3450
Media m ³ N			3414,4		
Consumul total al cuptorului cu perete permeabil [m ³ N]	2718	2588	2725	2714	2673
Media [m ³ N]			2683,6		
Reducerea de consum [m ³ N]	693	623	792	769	777
Reducerea medie de consum [m ³ N]			730,8		
Reducerea medie procentuală de consum [%]			21,40		

Diagrama de consum a cuptorului după modificarea zidăriei cu peretele refractar permeabil din fig.4.4.2 obținută din diagrama de consum înregistrată căreia i s-a redus scara timpului în scopul reducerii apreciabile a dimensiunilor, dă o imagine asupra comportării întregii instalații reieșind din alura curbei, fenomenele ce au loc în spațiul de lucru.

De observat că forma generală a curbelor de consum din fig.4.3.3 și fig.4.4.2 relative la funcționarea cuptorului în starea inițială și respectiv după modificare, este aceeași.

In perioada de încălzire 20-700°C panta curbei este mai mică reducindu-se astfel și suprafața delimitată de curbă și axa timpului. La încălzirea de la 700 la 890°C (perioada 25-31 ore) panta creșterii consumului este mult mai mică decât panta curbei de consum corespunzătoare aceleiași etape în funcționarea cuptorului cu zidăria inițială (media de consum 63,3 m³N/h față de 94,16 m³N/h).

Ultima etapă, cea de menținere-în palier la 400°C timp de 8 ore, este reflectată în diagrama din fig.4.4.2 de cea de-a doua curbă care prin alura ei arată că în ultimile două ore de tratament, datorită prezenței peretelui permeabil zidăria intră deja în regim termic staționar pierderile prin căldură acumulată în zidărie devenind astfel nule.

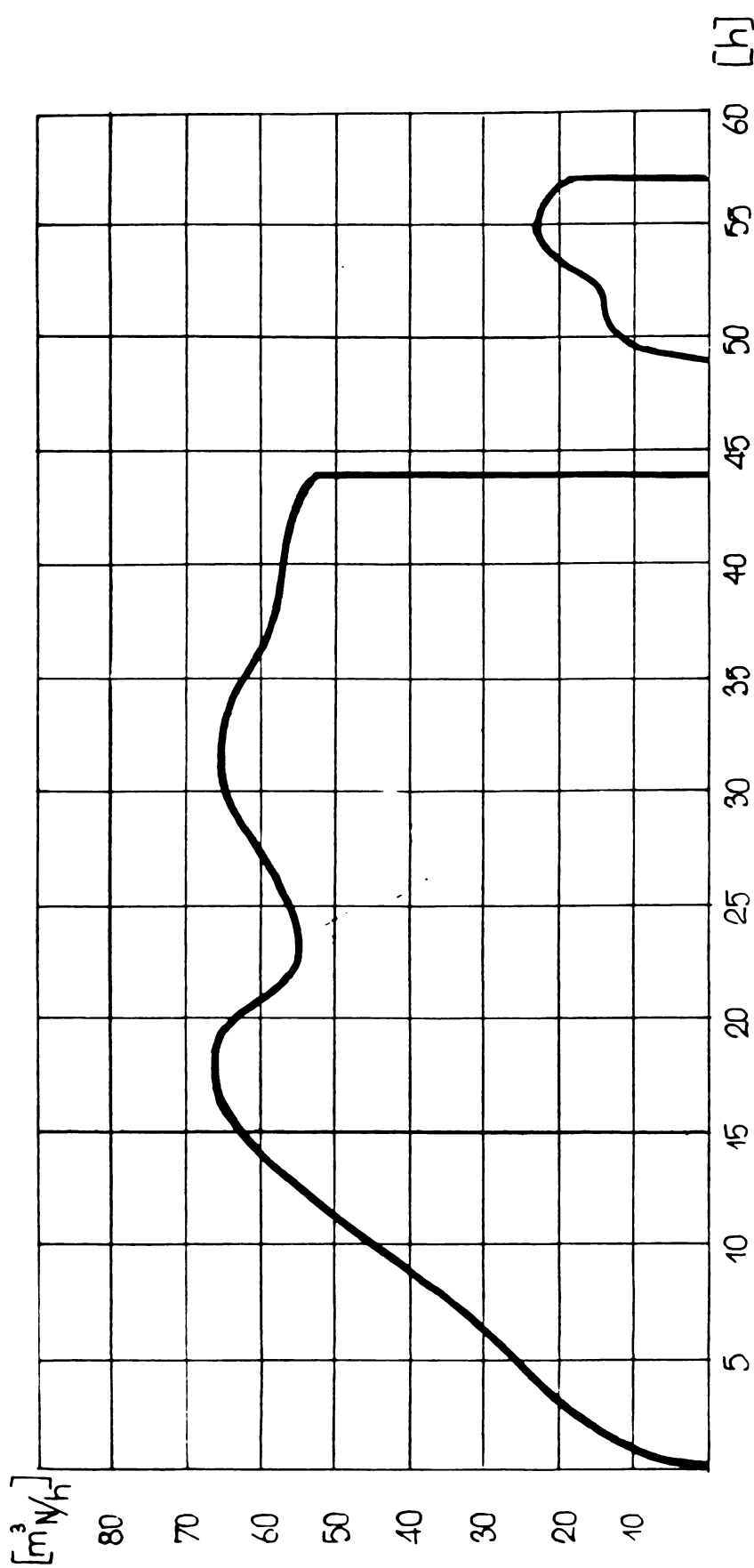


Fig.4.4.2 - Diagrama de consum de gaz natural după modificarea zidăriei cupitorului

Comparînd situația de mai sus cu cea din fig.4.3.3, intrarea zidăriei în regim termic staționar nu are loc în nici un moment al tratamentului, pierderile prin acumulare de căldură fiind astfel mult mai mari.

Efectul ecranului refractor permeabil asupra schimbului de căldură în spațiul de lucru al cuptorului apare sub două aspecte:

- mărirea coeficientului global de transfer termic datorită supraîncălzirii ecranului permeabil radiant, efect utilizat la cuptoarele de încălzire unde este posibilă ridicarea vitezei de încălzire a materialului, deci reducerea duratei de staționare a semifabricatelor în cuptor și a consumului specific de combustibil;

- reducerea consumului de combustibil datorită utilizării într-un grad superior a energiei gazelor arse în spațiul de lucru acestea fiind evacuate cu o entalpie inferioară valorii existente la funcționarea cuptorului cu zidărie clasică.

In sprijinul acestei afirmații vin și măsurătorile efectuate în timpul experimentărilor industriale asupra temperaturii gazelor arse evacuate.

Cuptorul neavînd recuperator preîncălzitor de aer, gazele arse sunt evacuate direct la coș. Temperatura acestora s-a măsurat pe canalul de fum în zona clapetei de reglare (fig.4.4.3).

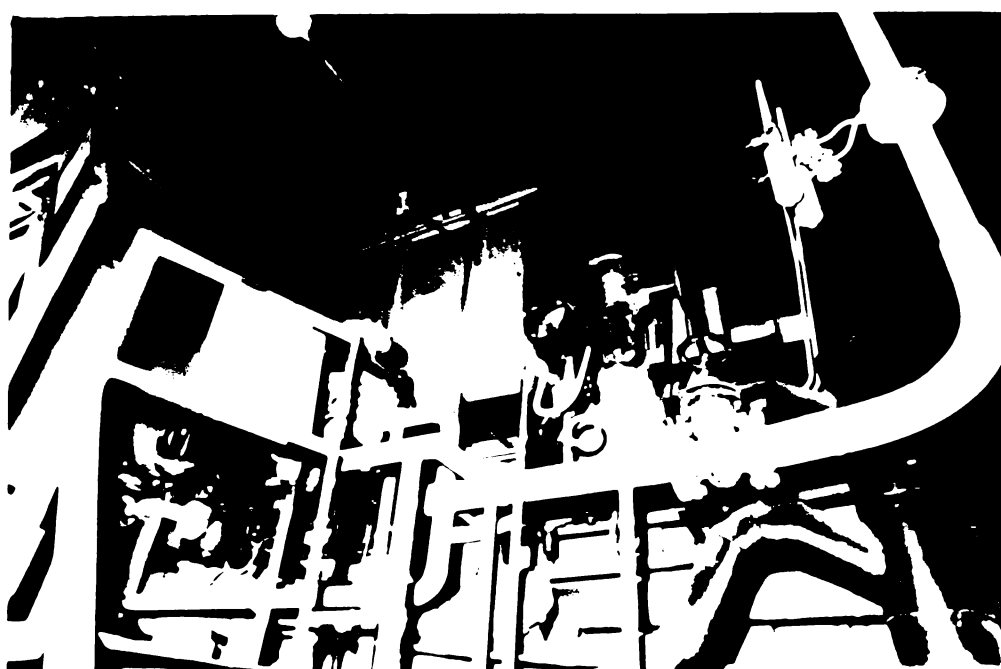


Fig.4.4.3 - 1 -clapeta de reglare a presiunii gazelor de ardere în cuptor

In tabelul 4.4.3 sînt redate valorile temperaturilor măsurate ale gazelor arse în condițiile funcționării cuptorului cu zidăria normală și cu ecranul refractar permeabil, din care se observă diferențe.

Tabel 4.4.3

Etapa de încălzire [°C]	20 - 700	700	700 - 890	890	400
Temperatura gazelor arse evacuate la cuptorul cu zidărie normală [°C]	20-620	620	620-740	740	380
Temperatura gazelor arse evacuate la cuptorul cu perete permeabil [°C]	20-430	430	430-550	550	260

rențe însemnate ale temperaturilor de evacuare în special în domeniul temperaturilor mai ridicate din cuptor, cînd efectul radiant al ecranului devine mai important.

Reducerea consumului de combustibil aşa cum rezultă și din tab. 4.4.2 are loc în fiecare etapă de tratament, cu precădere însă în etapele de ridicare a temperaturii șarjei, iar în ultima etapă, de menținere în palier la 400°C reducerea însemnată (tab.4.4.4) a consumului se datorează inertiei termice ridicate a peretelui permeabil, care în etapele precedente a intrat în regim termic staționar.

Tabel 4.4.4

Etapa de încălzire [°C]	20 - 700	700	700 - 890	890	400
Reducerea consumului de combustibil [%]	18,46	11,12	32,75	12,93	31,30

Iotrivit datelor experimentale s-a întocmit bilanțul termic al cuptorului pentru funcționarea cu perete permeabil refractar, rezultatele fiind centralizate în tabelul 4.4.5.

Modalitatea de întocmire a bilanțului a fost identică condițiilor de funcționare a cuptorului cu zidărie normală, bilanțul propriu-zis fiind defalcat pentru fiecare etapă de tratament în scopul unor

Tabel 4.4.5

Etapa [h]	Consum combus- tibil [m ³ N]	Căldura dezvol- tată [KJ]	Căldura fizică a aerului [KJ]	Căldura fizică a combusti- bilului [KJ]	Total căldură intrată [KJ]	Căldura necesară în zidărie [KJ]	Căldura acumulată în zidărie [KJ]	Căldura pierdută prin pe- reți [KJ]	Căldura pierdută prin neetan- jare [KJ]
0-20	936	33412392	600864	30888	34044144	1878870	17750207	1066997	875303
20-25	320	11423040	205424	10560	11639024	469875	3246570	834567	301934
25-31	380	13564860	243941	12540	13821341	615533	4112750	1079857	473665
31-44	805	28736085	516769	26565	29279419	153883	4780900	2920483	774963
44-49									
49-57	147	5247459	94366	4851	5346676	124800	1930500	1161629	919300
<hr/>									
Căldura pierdută prin ar- deri im- perfecte [KJ]	Căldura evacuată la cos [KJ]	Total căldură îșișită [KJ]	Înroare [%]	Rendament termic [%]	η_{th}				
1058242	11044805	33674419	1,08	67,55					
361792	6246400	11461138	1,50	46,33					
429628	7030500	13741636	0,58	49,14					
910133	19078500	28618867	2,2	34,83					
166198	1036350	5338847	0,15	80,61					

analyze mai corecte a fenomenelor termice.

Din analiza bilanțurilor termice pe etape reies unele concluzii privitoare la ponderea elementelor care intră și ies din conturul de bilanț, prezentate în tabelul 4.4.6.

Tabel 4.4.6

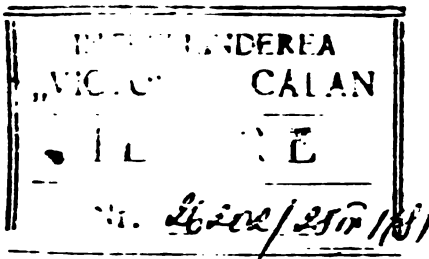
Etapa [h]	Total căldură intrată [%]	Tempera- tură în cuptor [°C]	Tempera- tură mă- surată a gazelor arse [°C]	Căldura evacuată la coș [%]	Căldura acumulată în zidărie [%]
0-20	100	20-700	20-430	32,44	52,14
20-25	100	700	430	53,66	27,89
25-31	100	700-890	430-550	50,86	29,75
31-44	100	890	550	65,16	16,32
44-49	-	890-400	-	-	-
49-57	100	400	260	19,38	36,11

Comparînd valorile cantităților de căldură evacuate cu gazele arse din tabelul 4.3.3 și 4.4.6 precum și valorile căldurii acumulate în etape identice de tratament rezultă evident calitatea de "recuperator" intern de energie, a peretelui refractar permeabil iar surplusul de căldură acumulată în zidărie va da cuptorului o capacitate de amortizare a variațiilor de temperatură, mai bună, calitate ce este de dorit a o avea în special cuptoarele de încălzire.

In special deci, la cuptoarele de încălzire unde au loc deschideri și încărcări-descărcări repetitive, rolul zidăriei permeabile de amortizare a variațiilor brusă de temperatură se face puternic simțit.

Gradul de perfectiune al arderii este deasemeni îmbunătățit, constatăndu-se diminuarea conținutului de CO din gazele de ardere (în cadrul unor cicluri de tratamente chiar nu s-a semnalat prezența oxidului de carbon în gazele de ardere), aducînd o calitate în plus peretelui permeabil, aceea de a reduce consumul suplimentar de combustibil prin ardere imperfectă, concomitent cu micșorarea gradului de poluare a atmosferei.

Centrala Industrială Siderurgică
Hunedoara
Intreprinderea "Victoria" Calan
Nr. / /



A P R E C I E R E

cantitativă și calitativă a eficienței contrac-
tului de cercetare științifică nr. 73/1981.

Cercetările efectuate în contractul sus amintit se încadrează în preocupările generale privind reducerea consumului de combustibil prin recuperarea energiei gazelor de ardere, în conformitate cu Directivele Congresului al XII-lea al P.C.R.

Soluțiile și propunerile efectuate de executant pentru reducerea consumului de combustibil de la cuptorul de tratament termic al Turnătoriei II - Cilindri din cadrul Intreprinderii "Victoria" Călan se bazează pe cercetări originale ale executantului.

În urma aplicării cercetărilor rezultă următoarele :

1) Modificîndu-se zidăria cuptorului de tratament prin montarea unui perete refractor permeabil în zona peretelui posterior, se obține o reducere a consumului de gaz natural în medie de 19,4 pînă la 23,2 %, rezultînd o economie anuală de cca. 36.000 m³ H gaz natural pentru instalatîa respectivă.

Rezultatele cercetărilor și experimentărilor industriale sunt aplicabile oricărui tip de cuptor industrial cu flacără pentru tratament termic și încălzire.

2) Prin modificarea întregii zidării a cuptorului (care necesită investiții) reducerea consumului de combustibil se ridică la cca. 35 - 38 %.

3) Prin corelarea proceselor de prelucrare mecanică și tratament termic al cilindrilor se poate obține o reducere suplimentară a consumului de 3 - 5 %.

DIRECTOR,
Ing. Eugen Dumitru

DIRECTOR USLU 2,
Ing. Matociu Leontin.

CONCLUZII FINALE

Așa cum s-a mai arătat, majoritatea cuptoarelor industriale de încălzire și tratament termic utilizate în industria metalurgică și construcții de mașini funcționează discontinuu adaptându-se la sistemul de organizare a fluxului tehnologic de prelucrări prin deformare plastică sau de prelucrări mecanice prin aşchiere. Aceasta implică supunerea cuptoarelor la regimuri termice de funcționare tranzitorii, perioade în care acumularea căldurii în zidărie necesită 55 - 75 % din dezvoltarea totală de căldură prin arderea combustibilului. Ori, oprirea cuptorului după efectuarea încălzirii sau tratamentului termic aplicat încărcăturii implică cel puțin pierderea a jumătate din căldura acumulată, mai mult, în faza de încălzire și entalpia gazelor arse evacuate are valori mult mai mari decât la funcționarea cuptorului în regim termic staționar (cu cca 12 - 18 %) .

Cu toate măsurile tehnologice de reducere a consumului specific de combustibil luate în special în industria siderurgică care ocupă o pondere de 5 - 8 % din consumul total de combustibil pe economia națională, de a recupera o parte din energia gazelor arse evacuate din cuptor prin montarea unor recuperatoare de radiatii sau convective, rezultatele obținute sunt departe de a fi mulțumitoare. Aceasta, deoarece cuptoarele de încălzire din industria siderurgică, efectuind încălziri ale materialului pînă la cca 1250° C evacuează gaze de ardere cu temperatură variind între $1100 - 1350^{\circ}$ C, temperatură la care recuperatoarele de radiatie (metalice și ceramice) rezistă foarte puțin timp după care răndamentul lor scade rapid, finalizînd cu scoaterea lor din uz.

Avînd în vedere că funcționarea cuptoarelor de încălzire a lingourilor, de exemplu, este tranzitorie problemele de calcul și proiectare a recuperatoarelor sunt deosebite, atingîndu-și parametrii doar în etapele de menținere în palier de temperatură. Este de dorit ca pentru ridicarea gradului de recuperare a energiei gazelor arse temperatura la care acestea părăsesc cuptorul să fie minimă, în condițiile respectării procesului tehnologic, creindu-se astfel condiții optime de recuperare în afara cuptorului.

Aplicarea rezultatelor cercetărilor de laborator la scară industrială, a avut ca obiect cuptorul de tratament termic al cilindrilor de laminor de la Intreprinderea "Victoria" Călan, unde (v. Cap. 4) s-au obținut reduceri ale consumului cu 10 - 23 % din consumul total de gaz natural.

Încă de la prima încercare rezultatele au fost dintre cele mai bune, zidăria permeabilă rămânând montată pînă la prima revizie curentă a cuptorului cînd s-a recalculate grinda de susținere a peretelui care datorită temperaturii ridicate s-a deformat la fluj, fără însă să se periclită stabilitatea construcției.

Pentru permanentizarea sistemului s-a întocmit un proiect de modificare a zonei de sprijin a peretelui posterior, pentru ca zidăria permeabilă să nu mai fie montată pe grindă metalică nerăcitată.

S-a realizat în medie o reducere a consumului cu cca $600 \text{ m}^3/\text{N}$ pe ciclu care anual înseamnă $26\,400 \text{ m}^3/\text{N}$ de gaz natural, dînd posibilitatea efectuării a încă 14 cicluri de tratament cu încadrarea în consumul normat prin planul de stat.

De reținut că valorile minime de reducere a consumului s-au obținut pentru datele recoltate în perioadele de funcționare a cuptorului cu zidăria nemodificată, cînd nu staționa mai mult de o zi sau două pînă la reluarea ciclului de tratament. Ori în aceste condiții zidăria nu-și pierde întreaga căldură acumulată fapt ce se răsfringe pozitiv asupra consumului de combustibil.

Valorile maxime ale reducerii de consum au rezultat din consumurile realizate din funcționarea cuptorului pornind din stare rece, cînd și căldura acumulată de zidărie atinge valoarea maximă. Aceasta este o dovedă în plus asupra oportunității prezenței peretilor refractari permeabili în camerele cuptoarelor de încălzire și tratament cu funcționare în regim necontinuu.

În C. S. Hunedoara, Uzina 4 laminare, secția Blooming 1000 - 1300 mm, cele 22 de cuptoare adinci cu flacără înfoarsă, care consumă fiecare $660 \text{ m}^3/\text{N}/\text{h}$ gaz natural și funcționează în medie 300 de zile pe an, sunt considerate ca fiind cele mai reușite cuptoare recuperînd energia gazelor arse evacuate la 1320° abia după diluarea lor cu aer pînă la atingerea temperaturii de 1120° C în scopul protejării recuperatoarelor.

Potrivit rezultatelor cercetărilor de laborator și industria-

le privind recuperarea energiei gazelor de ardere în spațiul de lucru al cuptorului, prin montarea în zona peretilor laterală a ecranelor refractare permeabile, operațiune care nu necesită modificarea esențială a zidăriei normale a cuptorului și a circulației gazelor în cuptor, se pot realiza economii de gaz natural oscilând între 10 - 23 % care înseamnă în cazul de față, la un consum mediu anual de $104,5 \cdot 10^6 \text{ m}^3 \text{ N}$ gaz natural economii conform datelor din tabel :

Total con-sum gaz natural [$\text{m}^3 \text{N}$]	Redu-cerea consu-mului [%]	Reducerea consumului [$\text{m}^3 \text{N}$]	Reducerea consumului [Kg c.c]	Echivalent barili	Economii (dolari)	Pret \$/baril
$104,5 \cdot 10^6$	10	$10,4 \cdot 10^6$	$12,7 \cdot 10^6$	$56,4 \cdot 10^3$	1.974 000	35
	23	$24,1 \cdot 10^6$	$29,5 \cdot 10^6$	131,1	4 588 500	35

Aplicabilitatea zidăriei refractare permeabile este imediată la cuptoarele de forjă și tratament termic de capacitate mică și medie din industria constructoare de mașini.

Intreprinderea de Tractoare Brașov utilizează în secțiile de forjă și tratamente termice cuptoare cu flacără funcționând cu gaz natural. Astfel, cele 60 de cuptoare de forjă consumă anual $47\ 575\ 000\ \text{m}^3 \text{ N}$ gaz natural iar cele 43 de cuptoare de tratament (excluzând cele 19 cuptoare de tratament de pe liniile automate) consumă $19\ 360\ 000\ \text{m}^3 \text{ N}$ gaz natural anual, pînă la ora actuală funcționarea fiind fără nici un sistem de recuperare a energiei gazelor de ardere, evacuate. Dacă prin modificarea zidăriei acestora, montînd pereti refractari permeabili, economia de combustibil s-ar ridica la numai 10 %, s-ar realiza economii anuale de gaz natural în valoare de cca 1 183 000 \$.

Pretul de fabricare a cărămidilor refractare de format special produse de Intreprinderea de Produse refractare Baru nu diferă față de cel al cărămidilor refractare de format standardizat (1800 lei/tonă), iar manopera de zidărie se încadrează în baremul pentru zidării obisnuite.

Datorită calităților zidăriei permeabile, cuptoarelor li se împrină o mai mare supletă în funcționare în special la regimul termic tranzitoriu specific cuptoarelor de tratament și forjă, oscilațiile de temperatură la încărcarea acestora în timpul func-

ționării fiind mult reduse.

În aceeași idee, zidăria normală a cuptoarelor poate fi redusă dimensional realizându-se instalatii mai ușoare și mai ieftine, iar temperatura gazelor evacuate fiind mai mică cu cca 200-300° C devine optimă pentru recuperarea în aparate termice de schimb fără a le deteriora asigurîndu-se astfel un grad maxim de recuperare a energiei gazelor arse.

Efectul zidăriei permeabile la cuptoarele de tratament termic constă în îmbunătățirea substanțială a randamentului energetic, economia de combustibil rezultînd din evacuarea gazelor de ardere la o temperatură mult mai coborită, coeficientul global de schimb de căldură nemodificîndu-se datorită unei viteze de încălzire a încărcăturii impuse de tehnologia de tratament.

Pentru cuptoarele de încălzire (secții de laminoare, forje, matrițare la cald, etc.), peretei permeabili amplifică cu 12 - 18 % coeficientul global de transfer de căldură permitînd ridicarea temperaturii materialului într-un timp mai scurt cu același consum orar de combustibil pînă la atingerea valorii temperaturii de menținere în palier (reiese din rezultatele experimentărilor de laborator, Cap. 3), binențeles cu viteza de încălzire pînă la limita maximă admisibilă, după care, în perioada de egalizare a temperaturii consumul se reduce datorită efectului de utilizare intensificată a energiei gazelor de ardere.

Autorul consideră că a reușit să-și aducă un aport la rezolvarea problemelor menționate mai sus, prin următoarele contribuții originale :

- Stabilirea metodei mai exacte de calcul a coeficientului global de schimb termic prin efectuarea calculului pe două căi diferite care ajung în final la același rezultat (Cap. 2) ;
- Conceperea și realizarea standului de încercări de laborator precum și alegerea parametrilor termodinamici specifici care definesc fenomenul (Cap. 3) ;
- Elaborarea programului FORTRAN pentru stabilirea distribuției cîmpului de temperatură în probă de încălzit în scopul verificării autenticității valorilor coeficientilor globali de schimb termic calculați analitic (Cap. 3) ;
- Interpretarea rezultatelor experimentale de laborator și industriale și alegerea modelului optim de zidărie permeabilă

(Cap. 3 - 4) ;

- Aplicarea la scară industrială a rezultatelor cercetărilor teoretice și experimentale, în baza modelului de laborator prin stabilirea soluției optime de modificare a zidăriei cuptorului industrial .

Verificarea experimentală a metodelor propuse atestă aplicabilitatea imediată a rezultatelor obținute în lucrare.

După experimentarea industrială, metoda a fost propusă pentru brevetare ca inovație la Ministerul Industriei Metalurgice, prin Centrala Industrială Siderurgică Hunedoara.

Preocupările autorului în domeniul recuperării energiei termice se încadrează în contextul problemelor practice și teoretice abordate de un colectiv mixt de la Institutul de Subingineri Hunedoara și Centrala Industrială Siderurgică Hunedoara.

BIBLIOGRAFIE

1. ADRIANOV, V. N. - Radiometriceski pribor dlia izmerenia lucistih potokov, Moskva, 1960 ;
2. ATKINSON, P. - Gaz Concil Communication (nov. 1956) ;
3. Mc ADAMS, W. H. - Transmision de la chaleur, Paris, 1961 ;
4. BARTES, I. G. - Trans of A.S.M.E., nr. 8, 1957 ;
5. BRUNKLAUS, H. I. - Der Industrieofen mit innerer Rekuperation Wärmetechnik 3 (1952). Gaswärme 15 (1966) ;
6. COMAN, GH. - Tehnica măsurării presiunii și debitului, E.D.P., 1963 .
7. DAHLANS, A. I. - Flock Thermocouple pyrometere for gas turbines, A.S.M.E., 1949 ;
8. DIOSZEGHY, D. - Die Ralle der Ofenwand bei hohen Temperaturen, T H Aachen, 1967 ;
9. DIOSZEGHY, D. - Theoretische und praktische Entwicklung der Flammenforschung, Freiberger Forschungshefte, 1964 ;
10. ECKERT, E. R., SPARROW, E. M. - Int. Journ. Heat and Mass Transfer, nr. 1, 1961 ;
11. EBERHARDT, J. E., HOTTEL, H. C. - Trans. Amer. Soc. Mech. Eng. 1936 ;
12. ESTERKIN, R. I. - Metode de măsurare termotehnice și încercări la ardere, Moscova, 1972 ;
13. GHEORGHE, G. - Distribuția și utilizarea gazelor naturale, E.T., București, 1973 ;
14. GORDOV, A. N. - Osnovî pirometrii, Metallurghia, Moskwa, 1964 ;
15. GHERASCENKO, A. I. - Tehnica teplotehnicescovo experimenta, Kiev, 1964 .
16. GURVICI, A. M. - Teploobmen v topkah parovîh kotlov, Gosenergoizdat, 1950 ;
17. GLASER, P. E. - Rev. Sci. Instr. (nr.12, 1958) ;
18. HOTTEL, H. C. , SAROFIM, A. F. - Int. Journ. Heat and Mass Transfer , nr. 8, 1965 ;
19. HIROSHI, T. , MASAYUKI, F. - Analiza numerică a distribuției temperaturilor într-un cuptor tridimensional, I.B.T., 1971 ;
20. KELLER, I. A. - A. R. S. Journal (1961) ;
21. KINDJERI, V. D. - Izmerenia prii visokikh temperaturah, Moskwa, 1963 .
22. KONDRATIEV, G. M. - Teplonie izmerenia, Moskwa, 1967 ;

23. KONDRATIEV, G. M.
24. KOVADEROV, A. V.
25. KONAKOV, P. K. ; FILIMONOV, S. S.
26. KONAKOV, P. K.
27. KARASSIMA, P. A.
28. KUROSAKI, Y.
29. MATTES, B. , PERLS, T.
30. MITOR, V. V.
31. MITOR, V. V.
32. MIASNIKOV, P. A.
33. MIHREV, M. A.
34. MURIN, G. A.
35. NEVSKI, A. S.
36. NEVSKI, A. S.
37. POPESCU, P.
38. PREOBRAJENSKI, V. P.
39. RICHMOND, I. C. , HARRISON, W. N. .
40. SPARROW, E. M.
41. SURINOV, I. A.
42. THRING, M. W.
43. TIMOFEEV, V. N.
44. UNGUREANU, C.
45. BLOCH, A. G.
46. IVANTOV, G. P.
47. NEVSKI, A. S. , LIKOV , A. V.
- Izmerenie nestationalnih temperatur u teplonih potokov, Moskwa, 1966 ;
 - Teplovaia rabota plamenih pecei, Metal-lurghizdat, 1962 ;
 - Teploesmen v camerai sgernaia parovih Katlov, Pecinoi transport, 1960 ;
 - Teoria podosia i modelirovanie, Iz-vo A.N., 1951 ;
 - Sbornik naucinikh trudov VNIMT, nr. 21, Metallurghia, 1969 ;
 - Transferul de căldură simultan prin radiație și alte moduri elementare de trecere a căldurii, Termotehnica, nr. 9, 1972 ;
 - Rev. Sci. Instr., nr. 3, 1961 .
 - Energomasinostroenie, nr. 7; 10; 1957 .
 - Teploobmen v topkah, Masghiz, 1963 ;
 - Sbornik naucinikh trudov, V.N.I.M.T., nr. 21, Metallurghia, 1969 ;
 - Bazele transmiterii căldurii, E.E.S., 1953 ;
 - Măsurări termotehnice, E.E.S., 1954 ;
 - Sbornik naucinikh trudov, U.N.I.M.T., 1966 ;
 - Suscistii teploesmen v peciach i topkah, Izd. Met., 1971 ;
 - Măsurarea debitului în tehnică, E.T., 1969 ;
 - Măsurări și aparate de măsurat, E.T., 1960 ;
 - Journ. of Research of The National Bu-reau of Standards - C. Eng. and Instr., nr. 3, 1962 ;
 - Mass ant oth. Trans A S M E , nr. 2, 1961 ;
 - Cernaia metalurghia, nr. 3, 1966 ;
 - Iron Steel, nr. 12, 1959 ;
 - V. T. I., nr. 2, 1941 ;
 - Generatoare de abur, București, E.T., 1979 ;
 - Teplovoe izlucenie v kotelnih ustankah Leningrad, Energhia, 1967 ;
 - Hagrev metalla, Moskwa, 1948 ;
 - Teplo i masoperenos, Moskwa, 1966 ;

48. DETKOV, S. P. ,
VINOGRAĐOV, A. V.
- Energhetica, nr. 10, 1964 ;
49. HOTTEL, H. C. ,
COMEN, E. S.
- American Inst. Chemical Engineers,
nr. 4, 1958 ;
50. THORNEYCROFT, W. T. ,
THRING, M. W.
- Trans. Inst. Chem. Engineers, 1960 ;
51. HOTTEL, H. C.
- Chem. Engineering Japan, 1962 ;
52. STARK, P. U. ,
IVANTOV, C. P.
- Nagrev metalla, Moskwa, 1954 ;
53. TAIT, N. I.
- Tehnologhia nagreva stali, Metallurghizdat, Moskwa, 1950 ;
54. KUROCIKIN, B. I.
- V. N. I. I. M. T., Metallurghizdat,
nr. 4, 1958 ;
55. GLINKOV, M. A.
- Martenovskaja peci kak teplotehniceski agregat, Moskwa, 1964 ;
56. MIASNIKOV, P. A.
- Procesi nagreva, Metallurghizdat,
1969 ;
57. KRIVANDIN, V. A. ,
MOLCEANOV, N. G. ;
SOLOMENTEV, S. L. :
- Cuptoare metalurgice, E.T., Bucureşti, 1963 ;
58. LINCEVSKI, V. P.
- Cuptoare de încălzire, E.T., Bucureşti, 1952 ;
59. POLIAK, G. L.
- Elaborarea metodelor de calcul ale schimbului de căldură în cuptoare cu cameră, O.E.I.A.N., 1941 ;
60. SCHÄFER, G.
- Wärmebelastung und Wabbezahl, Gaswärme 12, 1963 ;
61. HOLLIDAY, K. ,
THRING, M. W.
- Journal of institute of fuel, N.Y.
1957, b. 3 ;
62. POPA, B.
- Transferul de căldură în procese industriale, Bucureşti, E.T., 1975 ;
63. MINKLER, W.
- Schutzgasanlagen, Gaswärme 7, 1958 ;
64. HEILIGENSTAEDT, W.
- Wärmotechnische Rechnungen für Industrie öfen, Dusseldorf, 1951 ;
65. MÂNEA, L.
- Cercetări privind amplificarea radiației termice în cuptoare de încălzire și tratament cu zidărie permeabilă, Buletinul științific I.P. "T.V." Timișoara, 1981 ;
66. MÂNEA, L. ,
MAKSAY, S.
- Cercetări privind modelarea încălzirii lingourilor, Buletinul științific al I.P. "T.V." Timișoara, 1980 ;

oooooooooooo

C U P R I N S

CONTRIBUTII PRIVIND INFLUENTA PERETILOR REFRACTARI PERMEABILI ASUPRA SCHIMBULUI DE CALDURA IN CUPTOARE METALURGICE

<u>INTRODUCERE</u>	1
Cap. 1. <u>METODE DE CERCETARE A SCHIMBULUI DE CALDURA PRIN RADIATIE IN SPATIUL DE LUCRU AL CUPTOARELOR INDUSTRIALE CU FLACARA</u>	
1.1. Schema ideală a schimbului de căldură prin radiatie în cazul mediului mobil.....	2
1.2. Calculul transferului termic radiant după schema monodimensională.....	3
1.3. Metoda zonală de calcul a cedării de căldură prin radiatii termice.....	8
1.4. Metode de rezolvare a ecuațiilor zonale.....	13
1.5. Metode zonale bazate pe utilizarea coeficienților de determinare a schimbului reciproc de căldură prin radiatie.....	18
1.6. Aspecte particulare ale schimbului termic în cuptoarele de încălzire și tratament.....	22
1.7. Concluzii privind metodele de calcul al schimbului de căldură prin radiatii.....	26
Cap. 2. <u>BAZELE TEORETICE ALE CERCETARII PROCESULUI DE AMPLIFICARE A RADIATIEI TERMICE IN CUPTOARELE INDUSTRIALE, PRIN UTILIZAREA PERETILOR REFRACTARI PERMEABILI</u>	
2.1. Problematica teoretică generală a funcționării cuptoarelor industriale.....	30
2.2. Calculul bilanțului și randamentului termic optim al cuptoarelor industriale cu funcționare necontinuă.....	34
2.3. Calculul combustiei.....	44
2.4. Analiza erorilor la măsurarea temperaturii...	53

Cap. 3. REZULTATELE CERCETARILOR DE LABORATOR ASUPRA UTILIZARII PERETILOR REFRACTARI PERMEABILI LA CUPTOARELE DE INCALZIRE SI TRATAMENT TERMIC

3.1. Instalația experimentală de laborator.....	58
3.2. Calculul termic al zidăriei normale aferentă cuptorului.....	65
3.3. Bilanțul termic al cuptorului cu zidărie normală.....	69
3.4. Bilanțul termic al cuptorului cu zidărie permeabilă.....	79
3.5. Determinarea duratei de încălzire a materialui.....	104
3.6. Calculul vitezei de încălzire a probei.....	111
3.7. Determinarea cîmpului de temperatură în secțiunea transversală a probei prin metoda diferențelor finite cu mijloace de calcul electronic	
124

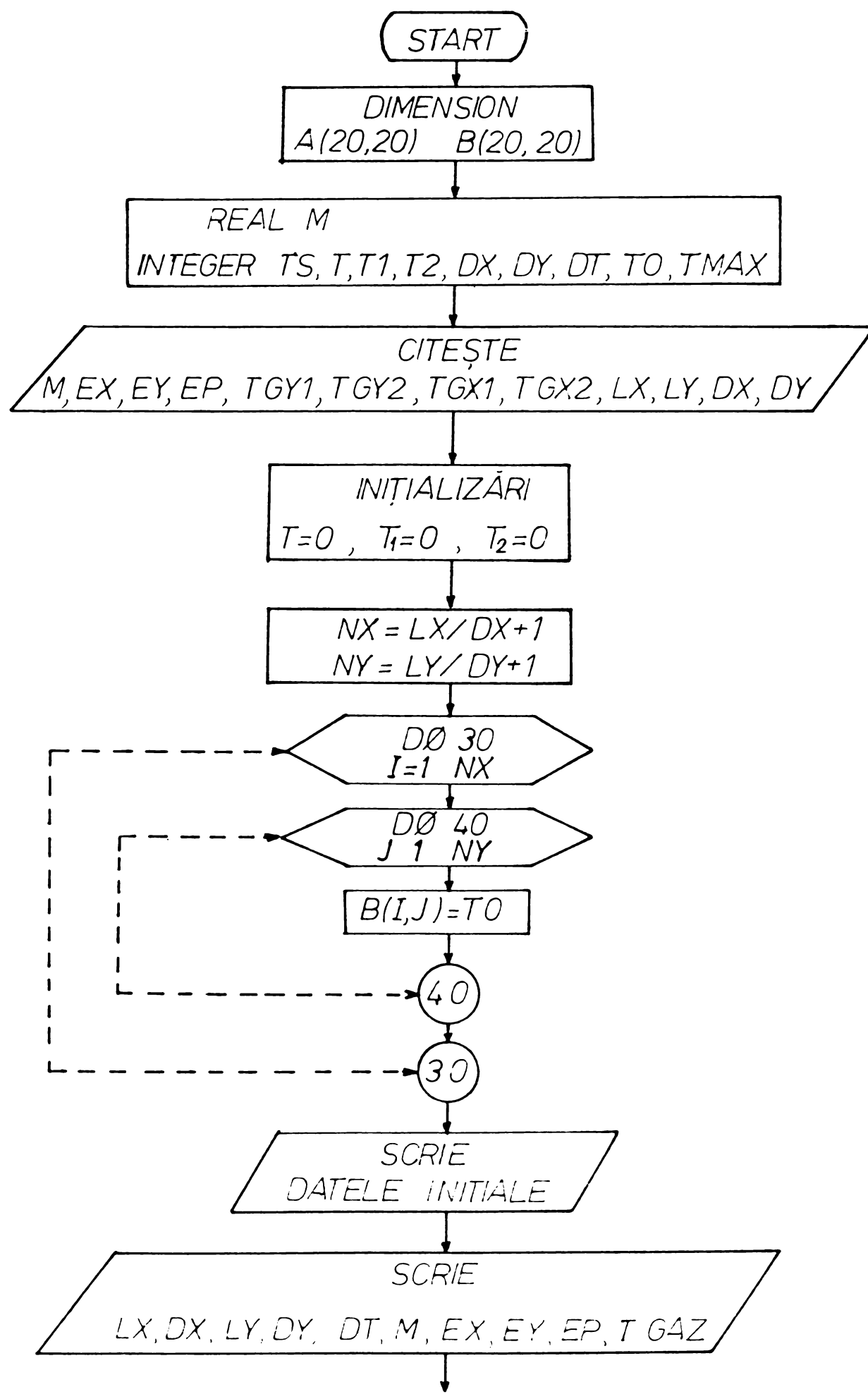
Cap. 4. APLICAREA LA SCARA INDUSTRIALA A CERCETARILOR PRIVIND MODIFICAREA SPATIULUI DE LUCRU AL CUPTOARELOR METALURGICE PRIN MONTAREA PERETILOR REFRACTARI PERMEABILI

4.1. Experimentarea industrială.....	134
4.2. Determinarea coeficientului global de transfer termic în cuptorul de tratament termic pentru cilindrii de laminor.....	147
4.3. Indicii tehnico - funcționali ai cuptorului înaintea modificării zidăriei.....	153
4.4. Modificarea parametrilor termodinamici după montarea zidăriei refractare permeabile.....	167
Concluzii finale.....	175
BIBLIOGRAFIE.....	180
A N E X A	185

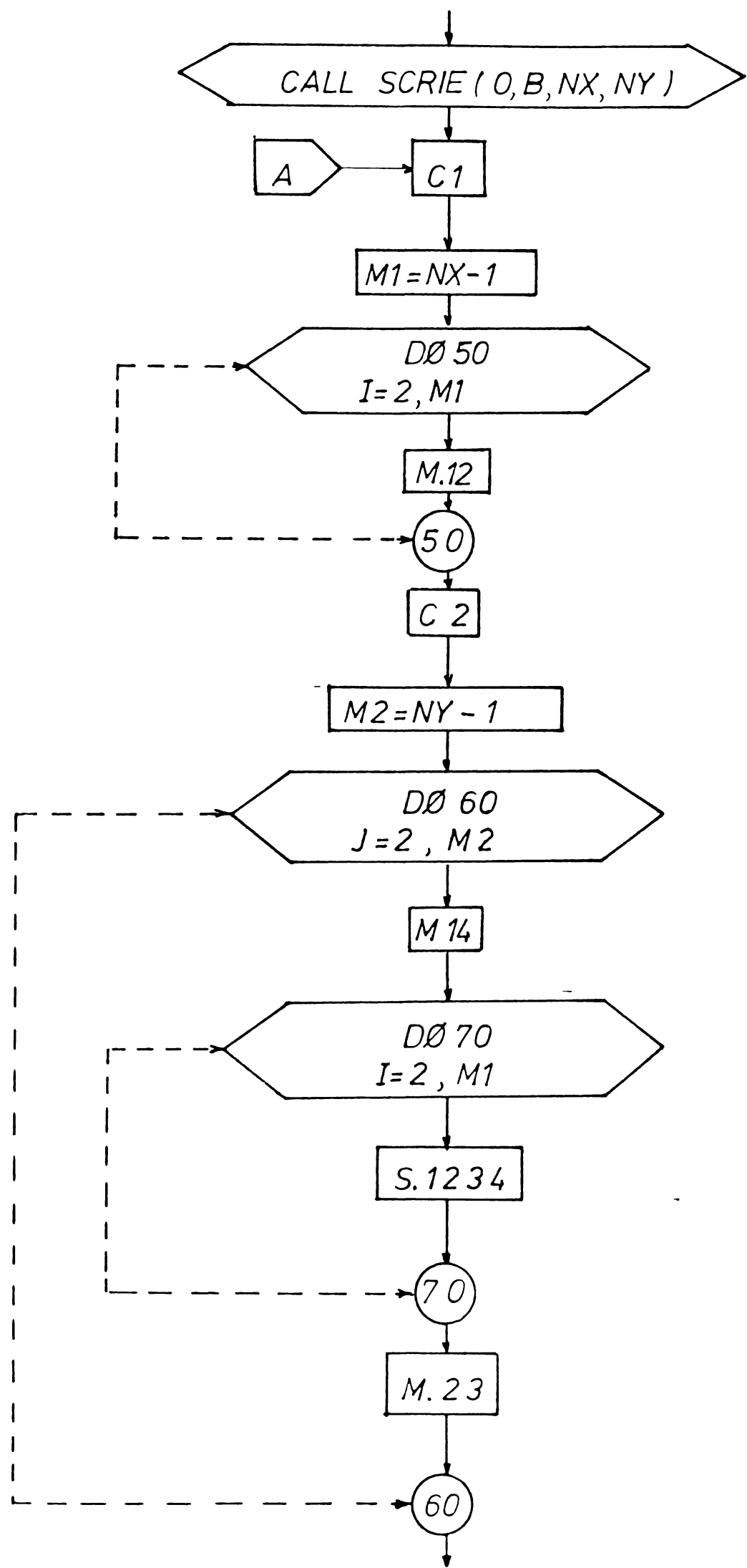
A N E X A

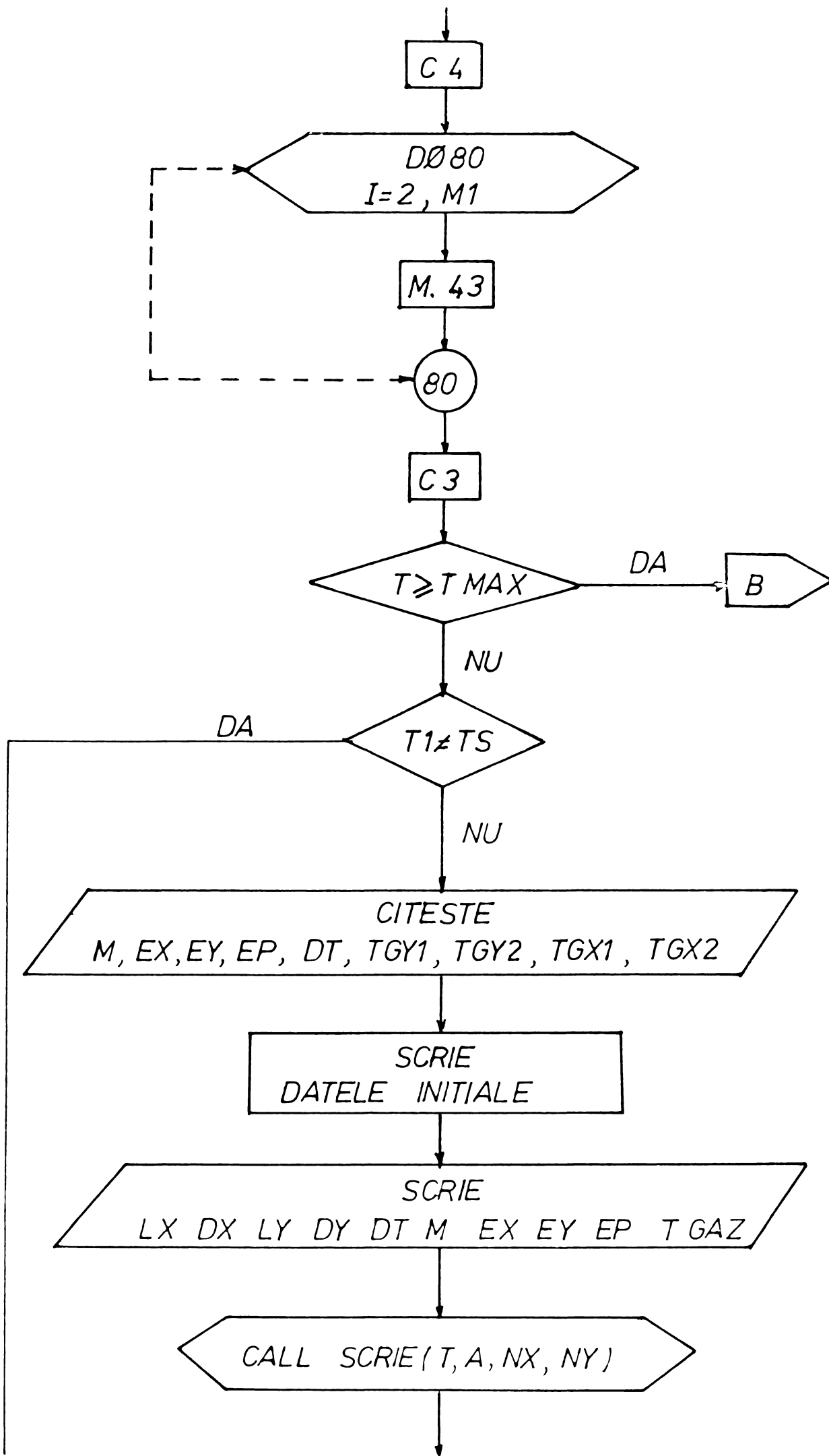
PROGRAMUL PRINCIPAL

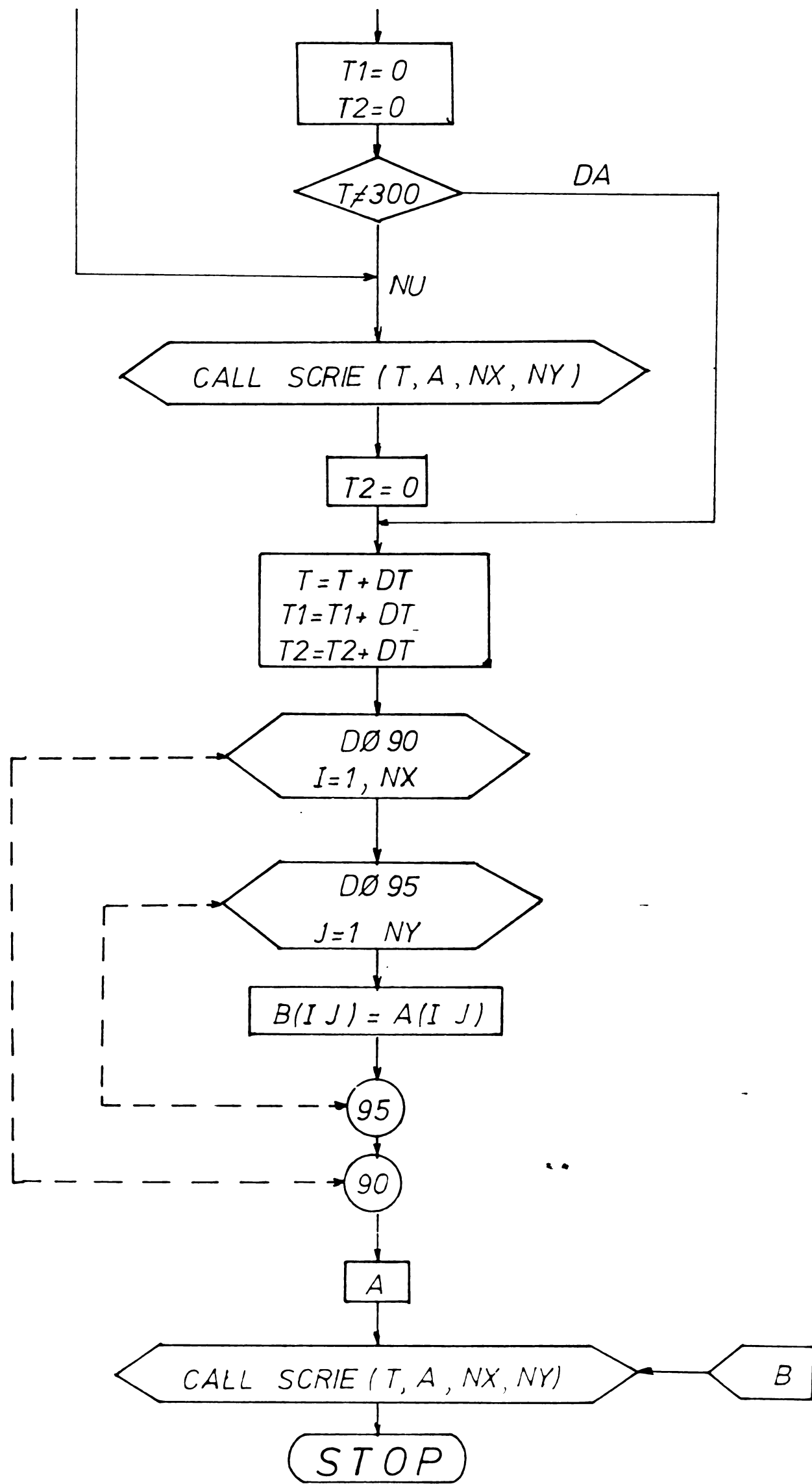
①

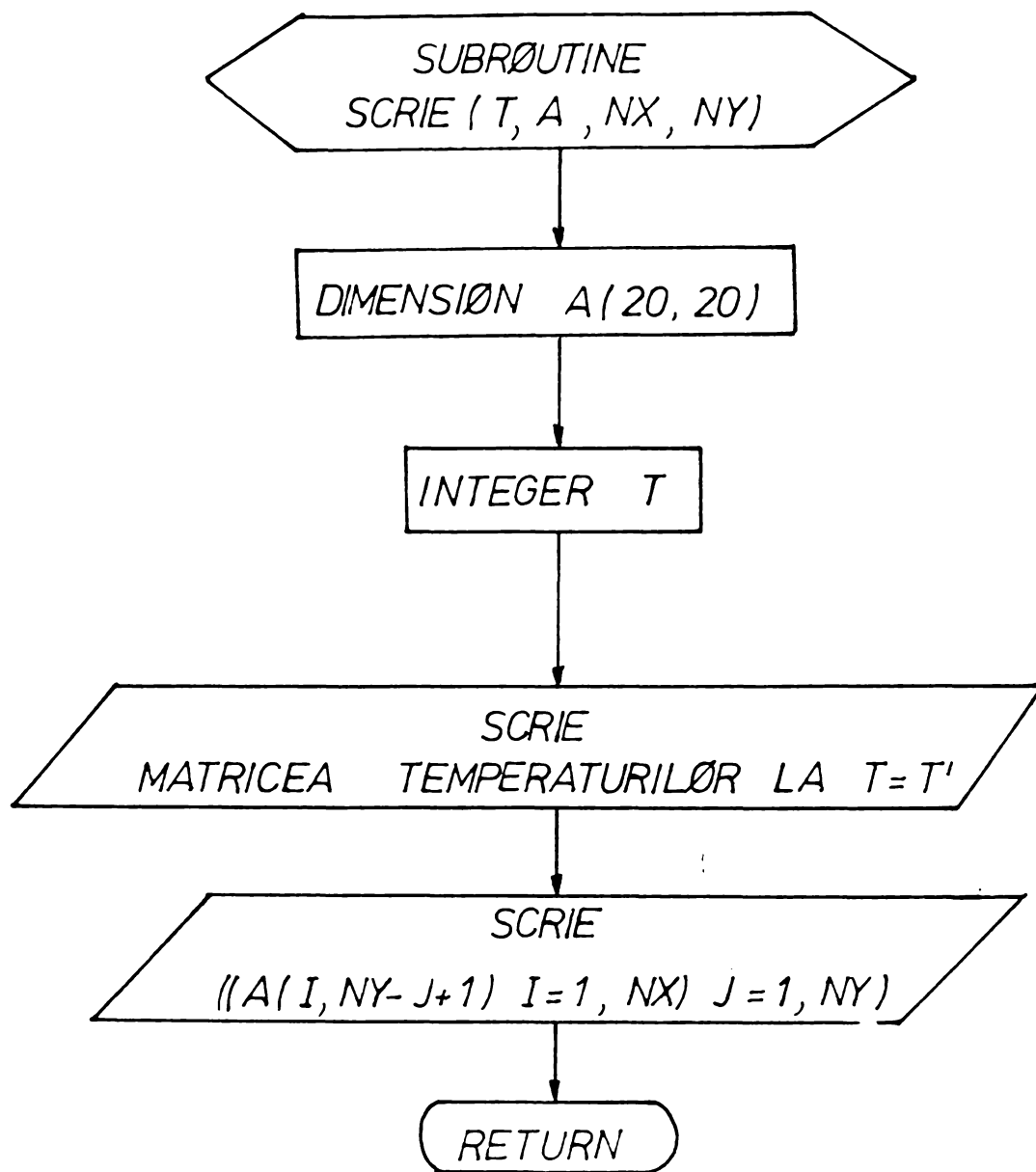


(2)









Distribuția temperaturii în material la încălzirea
în cuptorul cu zidărie clasică.

CHTRAN

```

120 T=T+DT
T1=DT
T2=DT
DO 95 JE1,NX
DO 95 JE1,NY
95 BX(J,J)EAC(I,J)
90 CONTINUE
DO TO 25
100 CALL SCRIE(T,A,NX,NY)
STOP
END

```

SUBROUTINE SCRIE(T,A,NX,NY) TEPY 09/11/81 18.15.30
 DIMENSION A(20,20)
 INTEGER I,T
 WRITE(10,10) T
10 FORMAT(1X,5X,I4) MATRICEA TEMPERATURILOR LA T=,I7/5X,00(1H+)
25 WRITE(10,25) ((A(I,NY-J+1),I=1,NX),J=1,NY)
FORMAT(10,5F10.3)
RETURN
END

DATELE INITIALE

LX1 100	DX1 25	LY1 100	DY1 25	DTAU1 15
M 5.00	NX1 .067	NY1 ,036	NYP1 ,075	TGAZ1 665,00

MATRICEA TEMPERATURILOR LA T= 0

18,000	18,000	18,000	18,000	18,000
18,000	18,000	18,000	18,000	18,000
18,000	18,000	18,000	18,000	18,000
18,000	18,000	18,000	18,000	18,000
18,000	18,000	18,000	18,000	18,000

MATRICEA TEMPERATURILOR LA T= 300

219,030	192,297	183,273	190,553	213,432
187,245	162,024	153,144	161,047	185,382
171,234	145,634	137,062	145,395	170,525
164,129	143,660	135,231	143,658	169,896
160,326	155,601	147,208	155,889	180,142

MATRICEA TEMPERATURILOR LA T= 600

317,541	293,667	285,782	291,102	309,021
289,743	269,187	261,632	261,552	286,650
275,570	255,634	248,151	254,523	274,319
273,024	252,921	245,958	252,512	272,440
281,508	261,643	255,148	261,600	281,102

MATRICEA TEMPERATURILOR LA T= 900

395,143	373,921	366,551	370,334	384,382
370,647	353,821	347,323	351,065	366,650
356,457	342,323	336,401	341,250	356,700
356,002	340,079	334,454	334,917	355,204
362,562	347,064	341,027	346,636	361,997

PAG 100004/TEST

DATELE INITIALE

LXI: 100	DXI: 25	LYI: 100	DYI: 25	CYAU: 25
XI: 4,64	NXI: 146	NYI: 074	NYF: 165	T6AZI: 620,00

MATRICEA TEMPERATURILOR LA $T_E = 1200$

455,773	437,482	430,697	433,261	444,173
434,912	421,049	415,391	418,516	430,199
424,325	411,452	406,532	410,166	422,346
421,971	409,370	404,610	408,689	421,005
427,012	414,753	410,393	414,254	425,323

MATRICEA TEMPERATURILOR LA $T_E = 1500$

516,971	569,616	553,060	560,125	585,964
564,476	530,049	516,242	524,011	554,047
541,439	508,625	496,285	506,133	537,619
538,450	506,315	494,826	505,187	536,695
552,131	521,742	511,042	521,015	551,163

MATRICEA TEMPERATURILOR LA $T_E = 1800$

684,703	642,047	627,070	630,986	649,425
637,998	611,062	599,328	604,517	625,743
617,342	592,794	582,944	584,618	612,568
613,075	589,203	580,313	587,632	610,935
622,472	599,901	591,094	598,826	621,052

MATRICEA TEMPERATURILOR LA $T_E = 2100$

733,872	694,552	681,205	692,645	695,780
691,724	670,315	660,205	665,135	678,360
673,567	655,305	647,397	651,772	668,383
669,265	651,680	644,027	649,897	666,865
675,785	659,177	652,927	657,941	674,150

PAG100005/TEST

DATELE INITIALE

LX: 100 DX: 25 LY: 100 DY: 25 DTAU: 30
 H: 5.33 NX: ,212 NY: .114 NYF: .259 TGAZ: 905,00

MATRICEA TEMPERATURILOR LA T= 2300

770.300	733.084	721.033	720.944	730.151
731.575	714.271	705.378	706.641	717.417
715.559	701.801	695.350	699.027	709.924
711.202	698.274	692.953	696.358	708.600
715.585	703.433	698.654	702.086	713.824

MATRICEA TEMPERATURILOR LA T= 2700

662.050	805.345	788.796	788.016	803.670
802.390	774.240	760.672	764.163	783.329
779.490	755.936	745.636	751.264	772.542
774.937	752.606	743.598	750.439	772.065
783.347	762.512	755.090	761.409	781.560

MATRICEA TEMPERATURILOR LA T= 3000

895.918	842.625	825.029	829.108	834.558
840.449	817.953	805.900	806.965	819.979
819.155	801.937	793.491	796.674	811.479
813.627	797.551	790.772	795.008	810.287
810.869	804.121	798.216	802.436	816.754

MATRICEA TEMPERATURILOR LA T= 3300

919.642	868.815	852.023	844.000	850.456
807.361	846.951	838.120	837.524	846.155
847.661	835.244	825.267	824.721	839.601
842.122	830.712	825.401	828.007	838.577
845.264	834.827	830.256	833.016	842.973

PAG 100006/TEST

DATELE INITIALE
*****LX1 100 DX1 25 LY1 100 DY1 25
M1 5,33 NX1 ,212 NY1 ,116 NYP1 ,239 DTAU1 30
TEAZ1 905,00MATRICEA TEMPERATURILOR LA TE 3000

936,733	887,695	871,492	865,103	872,230
866,768	871,336	861,405	859,625	865,091
866,664	859,413	853,520	855,734	860,385
862,693	854,691	850,768	852,096	859,233
864,526	857,260	853,803	855,302	862,154

MATRICEA TEMPERATURILOR LA TE 3720

842,169	893,700	877,597	873,971	877,257
892,971	878,061	868,016	866,661	871,120
875,291	867,114	861,566	861,356	866,946
869,517	862,602	858,841	859,761	865,823
870,673	864,417	861,339	862,521	868,276

Distribuția temperaturii în material la încălzirea
în cuporul cu zidărie permeabilă.

(4)

LURTRAN

```

DIMENSION A(20,20),B(20,20)      TEST      09/11/81  17.22.11
REAL M
INTEGER T0,T,T1,DX,DY,DT,T0,TMAX
READ(105,10)M,EX,EY,EP,TGY1,TGY2,TGX1,TGX2,LX,LY,DX,DY
10 FORMAT(4F0.3,B14)
READ(105,20)TMAX,T0,DT,TS
20 FORMAT(16,3I4)
NX=lx/dx+
NY=ly/dy+
NEX+NY
T=0
T1=0
T2=0
DO 30 I=1,NX
DO 40 J=1,NY
40 B(I,J)=T0
30 CONTINUE
50 WRITE(106,150)
150 FORMAT(11,5X,'DATELE INITIALE /4X,16(1H*)')
50 WRITE(106,150)LX,DX,LY,DY,DT,M,EX,EY,EP,TGX1,TGX2,TGY1,TGY2
100 FORMAT(101,5X,1LX,1,I4,1DX,1,I4,5X,1LY,1,I4,1DY,1,I4,3X,1DTAU,1,
113/SX,1M1,F5.2,1NX1,F5.3,1NY1,F5.3,1NYP1,F5.3,1TGAC,1,F
27,2)
CALL SCRIE(0,3,NX,NY)
35 A(1,1)=B(1,1)+(1-(4+2*EX+2*EY)/M)+2*(B(2,1)+B(1,2))/M+2*(EX+TGX1+E
*Y+TGY1)/M
M2=NX-1
50 A(1,1)=B(1,1)*(1-(2*EY+4)/M)+(B(I-1,1)+B(I+1,1)+2*B(I,2))/M+2*EY*I
*G1/Y
A(NX,1)=S(NX,1)*(1-(4+2*EX+2*EY)/M)+2*(B(NX-1,1)+B(NX,2))/M+2*(E
*TGX2+EY*TGY1)/M
M2=NY-1
DO 60 J=2,M2
60 A(1,J)=B(1,J)*(1-(2*EX+4)/M)+(B(1,J-1)+B(1,J+1)+2*B(2,J)+2*EX+TGX1
*)/M
DO 70 I=2,M1
70 A(I,J)=B(I,J+1)+B(I+1,J)+B(I,J-1)+B(I-1,J))/M+(1-4/M)*B(I,J)
60 A(NX,J)=B(NX,J-1)+(B(NX,J-1)+B(NX,J+1))/M+2*B(NX-1,J))/M
*2*EX*TGX2/M
A(1,NY)=B(1,NY)*(1-(4+2*EX+2*EY)/M)+2*(B(2,NY)+B(1,NY-1))/M+2*(E
*TGX1+EP+TGY2)/M
DO 80 I=0,NY
80 A(I,NY)=B(I,NY)*(1-(2*EP+4)/M)+B(I,NY)+(B(I-1,NY)+B(I+1,NY)+2*B(I,NY-1))/M
*4*EP*TGY2/M
A(NX,NY)=B(NX,NY)*(1-(4+2*EX+2*EP)/M)+2*(B(NX-1,NY)+B(NX,NY-1))/M+
*2*(E*TGX2+EP+TGY2)/M
TEST      09/11/81  17.22.11
IF(T,GE,TMAX) GO TO 100
IF(T,NE,TS) GO TO 110
READ(105,115)M,EX,EY,EP,DT,TGY1,TGY2,TGX1,TGX2
115 FORMAT(4F0.3,5I4)
50 WRITE(106,151)
151 FORMAT(11,5X,'DATELE INITIALE /4X,16(1H*)')
50 WRITE(106,151)LX,DX,LY,DY,DT,M,EX,EY,EP,TGX1,TGX2,TGY1,TGY2
161 FORMAT(101,5X,1LX,1,I4,1DX,1,I4,5X,1LY,1,I4,1DY,1,I4,3X,1DTAU,1,
113/SX,1M1,F5.2,1NX1,F5.3,1NY1,F5.3,1NYP1,F5.3,1TGAC,1,F
27,2)
CALL SCRIE(T,A,NX,NY)
T1=0
T2=0
110 IF(T2,NE,500) GO TO 120
CALL SCRIE(T,A,NX,NY)
•T2=0

```

```

120 T=T+DT
130 T1=T1+DT
140 T2=T2+DT
150 DO 90 I=1,NX
160 DO 95 J=1,NY
170 E(I,J)=A(I,J)
180 CONTINUE
190 GO TO 35
200 CALL SCRIE(T,A,NX,NY)
210 STOP
220 END

```

SUBROUTINE SCRIE(T,A,NX,NY) TEST 09/11/81 17.22.20
 DIMENSION A(20,20)
 INTEGER T
 REAL TE(100,10)
 10 FORMAT(//5X,'MATRICEA TEMPERATURILOR LA T=',17/5X,40(1H*))
 20 FORMAT(100,25)((A(I,NY-J+1)),I=1,NX),J=1,NY)
 25 FORMAT(100,5F10.3)
 RETURN
 END

PAG 100003/TEST

DATELE INITIALE

LAI: 100	DX: .25	LY: 100	DY: .25	CTAU: 15
M: 5.45	N: .003	V: .045	NP: .094	TOTAL: 810.00
LX: 810 DX: 810		LY: 810 DY:		

MATRICEA TEMPERATURILOR LA T= 0

15.000	15.000	15.000	15.000	15.000
16.000	16.000	16.000	16.000	16.000
17.000	17.000	17.000	17.000	17.000
18.000	18.000	18.000	18.000	18.000
19.000	19.000	19.000	19.000	19.000

MATRICEA TEMPERATURILOR LA T= 300

299.567	299.632	299.470	299.552	299.514
292.537	292.551	292.544	292.514	292.550
224.791	224.773	224.827	224.905	224.890
227.296	227.300	227.362	227.499	226.552
245.733	247.554	245.669	247.592	243.514

PAGI00004/TEST

DATELE INITIALE

LX: 100 RX: 65 LY: 100 DY: 25 DT&L: 15 TGAZ: 982.00
 M: 0.77 R: 0.164 N: 0.064 NYF: 0.106

LX: 982 RX: 982 LY: 982 DY:

MATRICEA TEMPERATURILOR LA T= 600

427.109	595.104	581.532	589.775	413.564
367.545	355.455	347.555	355.897	382.675
307.672	339.035	328.792	337.783	365.735
364.379	335.832	325.457	335.224	363.391
375.577	505.805	539.286	340.303	375.770

MATRICEA TEMPERATURILOR LA T= 900

500.474	597.022	573.595	585.343	530.267
559.132	531.575	510.047	525.558	576.452
553.062	497.054	479.737	494.401	546.968
549.728	499.515	475.137	495.360	548.172
573.775	521.600	503.746	521.077	572.817

PAGI00005/TEST

DATELE INITIALE

LX: 100 RX: 65 LY: 100 DY: 25 DT&L: 30 TGAZ: 1047.00
 M: 7.10 R: 0.299 N: 0.152 NYF: 0.339

LX: 1047 RX: 1047 LY: 1047 DY:

MATRICEA TEMPERATURILOR LA T= 1200

771.501	710.022	695.542	695.567	726.145
705.115	659.747	621.926	652.010	688.515
672.522	630.935	615.058	627.206	666.002
656.470	626.522	611.581	624.500	654.580
683.551	605.505	631.526	644.020	682.007

MATRICEA TEMPERATURILOR LA T= 1500

940.540	807.742	710.934	725.247	507.554
834.484	775.305	745.777	765.564	816.552
795.523	755.425	713.530	731.648	791.365
774.514	734.734	713.129	732.625	792.157
817.517	765.703	740.560	764.044	816.004

PAGI0000e/T237

DATILE INITIALE

LX: 100 DX: 25 LY: 100 DY: 25 PTAU: 30
Mx: 7.10 NX: .249 NY: .162 NYF: .334 TGZ: 1047.00
LX:1047 DX:1047 LY:1047 DY:

MATRICEA TEMPERATURILOR LA T= 1800

1007.045	915.025	888.149	892.509	920.973
910.415	861.341	836.451	847.190	884.440
873.044	824.481	809.650	822.139	864.501
807.290	823.565	806.953	820.766	863.720
884.015	844.071	830.574	845.146	881.920

MATRICEA TEMPERATURILOR LA T= <100

1045.640	963.437	938.045	938.889	953.385
960.450	921.562	902.137	905.537	932.537
927.467	894.605	879.860	887.733	917.533
920.300	864.016	876.508	885.812	916.272
931.444	903.447	892.590	901.439	929.027

I N D E X

cuprinzind lista principalelor simboluri continute în Capitolul I

- G_o - coeficientul radiației specifice a mediului gazos mobil [$\frac{W}{m^2 K^4}$] ;
 W - viteza de circulație a mediului gazos [m/s], $\alpha = \frac{1}{W} [\frac{S}{m}]$;
 θ - temperatura relativă a mediului gazos ($\theta = \frac{T}{T_a}$) ;
 Q_5 - căldura pierdută de zidărie la mediul ambiant [J] ;
 B - consumul de combustibil gazos [$m^3 N_c/s$] ;
 V_g - volumul total al gazelor de ardere [$m^3 N/m^3 N_c$] ;
 q_x - densitatea fluxului termic raportată la unitatea de lungime a camerei de lucru [$W/m^2 \cdot m$] ;
 $E_{r,z}$ - densitatea fluxului termic reflectat de zidăria laterală a ceme-
rei de lucru [W/m^2] ;
 T_a - temperatura teoretică de ardere [K] ;
 θ_l - temperatura relativă finală a gazelor de ardere ;
 θ - temperatura relativă a zidăriei ;
 z - distanța relativă măsurată de la zona de intrare a gazelor în
camera de lucru, spre zona de ieșire ($z = 0 \dots 1$) ;
 T_y - temperatura gazelor de ardere determinată prin rezolvarea seri-
ilor convergente conform [46], [K] ;
 $Q_{r,l}$ - căldura degajată pe întreaga lungime a camerei de lucru [J] ;
 Q_x - căldura degajată pe unitatea de lungime a camerei de lucru [J] ;
 q_o - densitatea fluxului termic spre zidărie [W/m^2] ;
 x_i - lungimea unei zone a camerei de lucru [m] ;
 $E_{r,i}$ - densitatea fluxului termic rezultant al zonei "i" [W/m^2] ;
 H_{F-V} - suprafața de contact între zona volumetrică și cea de suprafață
[m^2] ;
 H_{V-V} - suprafața de contact între zonele volumetrice vecine [m^2]
 r - numărul zonelor q prin limitele cărora mediul intră în zona p ;
 ψ - coeficient al schimbului termic între zonele volumetrice de
suprafață ;
 T_i, T_j - temperatura zonelor de suprafață (i, j) [K] ;
 T_p, T_q - temperatura volumului zonelor (p, q) [K] ;
 E_o - densitatea fluxului termic radiant emis pe unitatea de supra-
față a unei zone volumetrice [W/m^2] ;

a_k , r_k - coeficienți adimensionali, depinzînd de regimul de ardere din camera de lucru ;
 T_y - temperatura de evacuare a gazelor de ardere din camera de lucru [K] ;
 T_{ef} - temperatura efectivă a gazelor de ardere în camera de lucru [K].